

**BOLETIM DA**  
**SOCIEDADE BROTERIANA**  
VOL. XL (2. SÉRIE)  
1966



INSTITUTO BOTÂNICO DA UNIVERSIDADE DE COIMBRA

BOLETIM  
DA  
SOCIEDADE BROTERIANA

( FUNDADO EM 1880 PELO DR. JÚLIO HENRIQUES )

VOL XL (2.<sup>A</sup> SÉRIE)

REDACTORES

**PROF. DR. A. FERNANDES**

Director do Instituto Botânico

**DR. J. BARROS NEVES**

Professor catedrático de Botânica



COIMBRA  
1966

**C**omposição e impressão das Oficinas  
da Tip. Alcobacense, L<sup>da</sup>.—Alcobaça

## REVISION OF THE *COMBRETACEAE*

*bg*

A. W. EXELL and C. A. STACE

SINCE the publication of «The Genera of *Combretaceae*» by EXELL (1931), intensive work by STACE (1965 *a, b*) on epidermal structures in the family and the natural increase of knowledge during a period of 35 years have led to a few important changes in the classification. It now seems desirable to publish new keys to the subfamilies, tribes, subtribes and genera incorporating these changes. These new keys, if in some instances rather more complicated, are more precise and give, we hope, a more accurate picture of the relationships.

### a) *The Family Combretaceae*

The family in its present circumscription is, we believe, an extremely natural one. The characteristic compartmented hairs are found in every genus (including *Strephonema*) and in the vast majority of species. We have no doubt that every genus here included in the family rightly belongs to it; nor do we suspect that any other genus known to us and at present placed in another family has any claim to be transferred to the *Combretaceae*. As has long been recognized, the family nearest to it is probably the *Myrtaceae* where, in fact, compartmented hairs are known to occur in a few genera (SOLEREDER, 1908). :

A somewhat speculative account of ideas on lines of evolution in the family was given by EXELL (1962) in a paper entitled «Space Problems arising from the Conflict between two Evolutionary Tendencies in the *Combretaceae*». The

hypothesis elaborated was that several of the genera are based on characters which have arisen as solutions of problems resulting from evolutionary **tendencies**: (1) towards distribution by winged fruits; (2) towards massing of the flowers in more or less congested heads. The conjunction of these two tendencies seems to have resulted in certain problems concerning the spacing of the fruits in the **infructescence**.

A tendency towards elongation of the upper receptacle is well-marked in the *Combreteae* subtribe *Combretinae* (reaching a maximum in *Quisqualis indica*) and in the *Laguncularieae* but is absent in the *Combreteae* subtribe *Terminaliinae*. Any tendency towards increase in the number of stamens is extremely rare (*Combretum mellifluum* var. *hyperteleiantrum* Eichl. has 16 stamens) but a reduction to one whorl occurs in the *Combreteae* in subtribe *Combretinae* (*Meiostemon* and *Thiloa*), in subtribe *Terminaliinae* (*Terminaliopsis* and *Conocarpus*) and in the *Laguncularieae*. Nearly all the *Myrtaceae* have numerous stamens but as to whether the *Combretaceae* evolved from that condition by reduction or whether on the contrary the *Myrtaceae* show increase of stamens there is no evidence. The genus *Strephonema*, which by its only semi-inferior ovary has some claim to be an ancestral type in the *Combretaceae*, always has two whorls of stamens.

#### b) *Subfamilies, Tribes and Subtribes*

*Strephonema* differs fundamentally from all the other genera by its semi-inferior ovary, 2-armed hairs (in four of the five species), paracytic stomata and revolute domatia so that its recognition by ENGLEB & DIELS (1899) as a separate subfamily, *Strephonematoideae*, as distinct from the *Combretoidae*, seems entirely justified. ENGLER and DIELS (loc. cit.) divided the *Combretoidae* into four tribes: *Combreteae*, *Terminalieae*, *Calycopterideae* and *Laguncularieae*. Of these the *Laguncularieae* are very distinct from the other three in possessing a pair of bracteoles adnate to the lower receptacle and in the lack of development of a pattern of the venous system on the upper epidermis. They are best recognized as

of equal status to all the rest of the subfamily *Combretoidae*. They constitute the tribe *Laguncularieae* while the other three tribes of ENGLER and DIELS are considered to form the single tribe *Combreteae*.

The three genera of *Laguncularieae* (*Laguncularia*, *Lumnitzera* and *Macropteranthes*), although obviously closely related to each other, are quite distinct on floral, fruit and epidermal characters.

The remaining genera of *Combretoidae* might easily be placed in three subtribes, each equivalent to the corresponding tribes of ENGLER and DIELS (*loc. cit.*), but the validity of one of these, *Calycpterideae*, is doubtful. In the *Combreteae* as here defined two major lines of development are recognizable, centred around *Combretum* and *Terminalia* respectively. The genera of the first group, in the main, have scales or stalked glands on the leaves (and often elsewhere), have a scarcely or non-lignified pericarp, have bisexual flowers, tend to have 4-5-winged or, less often, 4-5-ridged fruits, have no petiolar sessile glands, have opposite or pseudovercillate leaves, have plicate cotyledons and have petals in most of the seven genera and in the great majority of the species. These are the *Combreteae* sensu Engler and Diels. Those of the second group, in the main, have no scales or stalked glands on the leaves (or elsewhere), tend to have a lignified pericarp, have andromonoecious flowers, tend to have flattened fruits, have alternate or spirally arranged leaves, have spirally convolute cotyledons and lack petals. These are basically the *Terminalieae* of ENGLER and DIELS. There are a few exceptions to almost all of these differences but petals are always absent and (as far as is known) the cotyledons are always spirally convolute in the *Terminalia*-group. A combination of characters will effect good separation of the two groups.

*Calycpteris*, the only genus of the tribe *Calycpterideae* Engl. & Diels, although separable from each of the above groups on a single well-defined character, does not form a group as distinct as either of them. Although it lacks petals and has spirally convolute cotyledons, both of which are Terminalian characters, it is clearly closer to the *Combretum*-

group as it has bisexual flowers, opposite leaves without petiolar glands and, most important, well-developed scales on the leaves. The distinctive character of *Calycopteris*, the accrescent petaloid calyx, is no more important than certain characters in such genera as *Buchenavia* and *Conocarpus* which might equally well be used to separate various tribes or subtribes.

*Pteleopsis*, included by ENGLER and DIELS in their *Combretaceae*, provides a problem, however, to which we have given long consideration. It appears to be exactly intermediate between the *Combretum*-group (subtribe *Combretinae* in our classification) and the *Terminalia*-group (*Terminaliinae*) and rather than attach it arbitrarily to either of these we have decided that it is best placed in a third subtribe, the *Pteleopsidinae*. It agrees with the *Combretinae* in having petals (absent without exception in the *Terminaliinae*) and opposite leaves: it agrees with the *Terminaliinae* in having spirally convolute cotyledons (recently kindly confirmed for us by T. MÜLLER who has germinated seedlings in Salisbury, Rhodesia), in the usually flattened fruits, in the andromonoecious flowers and, very important, in the complete lack of scales and stalked glands. Although the number of characters listed above seems to indicate a relationship rather nearer to the *Terminaliinae* than to the *Combretinae* great weight must obviously be given to the presence of petals (always absent in the *Terminaliinae*). It is easy to envisage a loss of petals occurring at some stage after the separation of the two main subtribes, as is presumably the case in *Thiloa*, *Calycopteris*, *Guiera*, *Combretum rupicola* and *C. apetalum*. But a *re-acquisition* of petals by *Pteleopsis* would seem far less probable. If that be excluded the only justification for placing it in the *Terminaliinae* would be to consider it a kind of prototype of that subtribe retaining the *Combretum*-like characters of petals and opposite leaves. In the absence of convincing evidence for this we eventually decided that its intermediate position is best indicated by giving it the status of a separate subtribe.

Thus three subtribes are recognized in the tribe *Combretaceae*: *Combretinae*, comprising the *Combretaceae* (excluding



*Pteleopsis*) and *Calycopterideae* of ENGLER and DIELS; *Pteleopsidinae*, with the single genus *Pteleopsis*; and *Terminaliinae* comprising the tribe *Terminalieae* of ENGLER and DIELS. They are considered to represent two main natural monophyletic evolutionary groups with a third intermediate group which may have evolved from either of them or may be equally ancient.

c) *Subtribe* Combretinae

This subtribe comprises the genera *Combretum* (with the great majority of species), *Quisqualis*, *Meiostemon*, *Thiloo*, *Calopyxis*, *Guiera* and *Calycopteris*.

*Combretum* itself has been divided into separate genera in various ways, the two most frequent segregates being *Cacoucia* and *Poivrea*. None of the characters used to delimit them is constant, however, and both names have been used for various quite different concepts. The distinctive characters of *Combretum* are the petalous bisexual flowers, the stamens in two whorls of 4-5 each (or rarely with one or two extra whorls in some specimens) and the presence of scales or stalked glands on the leaves (and elsewhere). Only two species, apart from occasional abnormal forms. Lacking petals, do not fit this diagnosis: *C. rupicola* (sect. *Terminaliopsis*, not to be confused with the genus of that name) with dioecious apetalous flowers (the male unknown) and scales on the leaves; and *C. apetalum* (sect. *Apetalae*) with bisexual flowers with ten stamens in two whorls but with no petals, and with scales and stalked glands on the leaves. *C. tetrandrum* and *C. humbertii*, each with only one whorl of four stamens, have been transferred to the new genus *Meiostemon*. The two aberrant species, *C. rupicola* and *C. apetalum* are in quite different categories. *C. rupicola* is obviously an isolated (it is confined to Fernando Noronha) evolution from sect. *Combretastrum* which has developed dioecism and lost its petals. Its place in the system is clearly next to that section. *C. apetalum* has no close relationship with any other species or section and will be considered later.

Apart from *C. apetalum*, the genus *Combretum* can be divided into two large groups: species with scales and those without scales but with stalked glands on the leaves and elsewhere. These two groups, based on the glandular trichomes, are easily distinguishable, at least microscopically, and are considered to represent two separate evolutionary lines which we recognize as **subgenera**: subgen. *Combretum*<sup>1</sup> (containing the type species of the genus, *C. fruticosum*) with scales; and subgen. *Cacoucia*<sup>1</sup> with stalked glands but no scales.

Up to the present *Cacoucia* (the earliest generic name available for scale-less species) has almost always been reserved (as a genus or section) for those species with elongated curved upper receptacles: we are thus considerably extending its circumscription. As far as we know the genus *Combretum* has never before been divided into subgenera but there have been several attempts to separate the pentamerous species (as genera or sections) from the tetramerous ones, the former usually under the name *Poivreia* [*Poivreia* Comm. ex Juss., Gen. PL: 320 (1789) in syn. (sphalm. *Pevraea*); ex Thou., Obs. PL Iles Austr. Afr.: 28 (1801) based on a Madagascar plant to which COMMERSON gave the manuscript name of *Poivreia*, later named *Combretum coccineum* (Sonnerat.) Lam.]. Thus EICHLER (1867) divided the genus *Combretum* (excluding *Cacoucia*) into three groups of which *Poivreia* contained the pentamerous species (comprising in Brazil only certain forms of one lepidote species, *C. hilarianum*, the scales being overlooked). CLARKE (1878) recognized four sections of *Combretum*, the name *Poivreia* being again used for the pentamerous species which, except for *C. apetalum*, were all non-lepidote. PERRIER DE LA BÂTHIE (1953) used *Poivreia* (as a genus) for only the Madagascan species of *Combretum*, but he was clearly in error as

<sup>1</sup> *Combretum* subgen. *Combretum* ramulis, foliis, floribus et fructibus lepidotis.

*Combretum* subgen. *Cacoucia* (Aubl.) Exell & Stace, subgen. et stat. nov. [*Cacoucia* Aubl., Pl. Guian. 1: 450, t. 179 (1775)] ramulis, foliis, floribus et fructibus elepidotis cum glandulis stipitatis.

the species of the island fall into two glandular sections and one lepidote section of **ENGLER** and **DIELS**.

As will be seen **from** the above, there is a loose correlation between pentamery and stalked glands on the one hand and between tetramery and scales on the other, but pentamery and tetramery show considerable inconstancy in *Combretum*, pentamerous and tetramerous species often being apparently closely related to each other, and both types of flower are at times found on the same individual. We are strongly of the opinion that the two main subgenera of *Combretum* should not be delimited on the pentamerous or tetramerous nature of the flowers but on the presence of either stalked glands or scales.

It remains to consider the second aberrant species mentioned above, *C. apetalum*, a very distinct species with no obvious close relations. **Besides** lacking petals it possesses both scales and stalked **glands**, a character otherwise very rare in *Combretum*. The scales are also unique in anatomy. As the loss of petals occurs elsewhere in *Combretum* (e. g. in *C. rupicola* and in abnormal forms and as the trichomes combine the characters of the subgenera *Combretum* and *Cacoucia* there seems little justification for separating it as a genus. We have decided to treat it as a subgenus, *Apetalanthum*<sup>1</sup>.

*Quisqualis* was separated from *Combretum* by **EXELL** (1931) on the character of the **adnation** of the style to the upper receptacle. This led, however, to the transference of *Combretum hensii* to *Quisqualis* and this **has** since proved to be unsatisfactory as this species is certainly much better placed in *Combretum*. Moreover, **L. LIBEN** kindly **sent** us a specimen of *Ghesquière 2706*, which he has since described as *Combretum ghesquierei* (**LIBEN, 1965**), in which the style is very shortly **adnate** to the upper receptacle. This species has scales on the **leaves** (a character unknown in *Quisqualis*) and is undoubtedly a true *Combretum*. *Quisqualis* has there-

<sup>1</sup> *Combretum* subgen. *Apetalanthum* Exell & Stace, subgen. nov. Ramulis, foliis, floribus et fructibus lepidotis et cum glandulis stipitatis; petalis nullis. Type-species *Combretum apetalum* Wall. [Num. List no. 3990 (1828)].

fore had to be redefined and separated from *Combretum* by a combination of two characters: adnation of the style to the upper receptacle together with non-exsertion of the stamens (EXELL and STACE, 1964).

*Quisqualis*, with stalked glands but no scales, appears to be related to *Combretum* subgen. *Cacoucia*.

*Meiostemon* is a new genus which we are erecting for the two species *Combretum tetrandrum* and *C. humberitii*, each of which has only four stamens, petals, and very small flowers. *Meiostemon* differs from *Combretum* in having only one whorl of stamens, agreeing in this respect with *Thiloa* but differing from the latter in having petals. These relationships and differences are set out in the following table:

<i>Combretum</i> subgen. <i>Combretum</i>	<i>Combretum</i> subgen. <i>Cacoucia</i>	<i>Combretum</i> subgen. <i>Apetalanthum</i>
<b>Petals present (absent in <i>C. rupicola</i> and abnormally in <i>C. molle</i>, etc.)</b>	<b>Petals present</b>	<b>Petals 0</b>
<b>2 whorls of stamens</b>	<b>2 whorls of stamens</b>	<b>2 whorls of stamens</b>
<b>Scales</b>	<b>Stalked glands</b>	<b>Scales and stalked glands</b>
<i>Meiostemon</i>	<i>Thiloa</i>	
<b>Petals present</b>	<b>Petals 0</b>	
<b>1 whorl of stamens</b>	<b>1 whorl of stamens</b>	
<b>Scales</b>	<b>Scales</b>	

*Meiostemon* has an equal claim to generic status with several small genera in subtribe *Terminaliinae* and bears exactly the same relationship to *Combretum* as *Terminaliopsis* does to *Terminalia*. The two species *Combretum tetrandrum* and *C. humberitii*, unlike the aberrant *C. rupicola*, show no affinity with any known section of *Combretum*. The type of distribution (one species in Zambia and Rhodesia the other in Madagascar) is by no means unknown but indicates that the separation from *Combretum* is unlikely to be very recent.

The two species transferred to *Meiostemon* are *Combretum tetrandrum* Exell and *C. humberitii* Perrier. The first was

placed by EXELL in *Combretum* sect. *Haplostemon* Exell, a new section erected for it. This was logical at the time since he then considered *Terminaliopsis* to be a synonym of *Terminalia* and *C. tetrandrum* clearly required similar treatment under *Combretum*. The second was sent to EXELL by PERRIER DE LA BÂTHIE in 1953 as a possible new species of *Terminalia*. He was informed that it was a new species of *Combretum* (cf. sect. *Haplostemon* Exell) and published it with a query in that genus. It was the only species of *Combretum* (though with a query) which he admitted in Madagascar as he included all the other species of the genus in *Poivreia*. He made no mention of the important fact that the species has only four stamens. The fruit of *C. humbertii* is still unknown.

*Guiera* has distinctive scales and slender fruits topped by a persistent calyx.

The remaining three genera of the *Combretinae* (*Calopyxis*, *Calycopteris* and *Thiloa*) have no petals. They are all small except *Calopyxis* (22 spp., perhaps fewer) and the vast majority of species in the subtribe have petals. The loss of petals seems to have occurred quite independently in these genera and none of them shows any close relationship to the *Terminaliinae*.

*Calycopteris* has a persistent accrescent petaloid calyx: it has scales.

*Calopyxis* has stalked glands but no scales and a petaloid deciduous upper receptacle. Its relationship seems to be with *Combretum* subgen. *Cacoucia*.

*Thiloa* has a single whorl of four stamens (sometimes with a second whorl of four staminodes) and large scales (scales and stalked glands in one species). It apparently has no compartmented hairs on the vegetative parts but they occur on the disk and inside the upper receptacle.

#### d) Subtribe Pteleopsidinae

This contains the single genus *Pteleopsis*. The subtribe is intermediate between the *Combretinae* and *Terminaliinae* and its status and relationships have already been discussed above.

e) *Subtribe* Terminaliinae

The number of genera recognized within this group has varied with different opinions, but certain genera are well-defined. These are: *Buchenavia*, with anthers **adnate** to the **filaments**; *Bucida*, with small wingless fruits with a persistent calyx and upper receptacle; *Conocarpus*, with beakless flattened fruits tightly packed into a cone and stalked glands on the leaves (a unique character in the subtribe); *Anogeissus*, with beaked flattened fruits rather loosely packed into a **cone**; and *Finetia*, differing from the last in that the beak represents about half (rather than all) of the stalk-like portion of the upper receptacle. All the species not in the above five genera, as well as some which are, have been included at one time or another in the large genus *Terminalia*.

*Ramatuella* has been treated as distinct for well over a century, having woody **actinomorphic 4-5-winged** fruits clustered in more or less spherical heads. Such a combination is never found in *Terminalia* and it is feasible to retain *Ramatuella* as a distinct genus although its claim to be so appears to be rather smaller than that of any other genus here recognized. It is probable that we should have left the *Ramatuella* species in *Terminalia* if we had been examining the situation *de novo*; on the other hand we do not feel that there are strong enough reasons for altering the status quo, at least until *Terminalia* has been thoroughly studied.

Most other segregates from *Terminalia*, such as *Chuncoa* and *Pentaptera*, were founded on certain species without a full world-wide investigation of the genus and cannot be satisfactorily separated.

*Terminaliopsis*, however, based on *T. tetrandra*, differs in having one instead of two whorls of stamens (i. e. **4-5** instead of **8-10**) and thus differs from *Terminalia* in exactly the same way that *Meiostemon* differs from *Combretum*. We consider that the character is of sufficient importance to maintain both these genera as distinct. Their claim to generic status seems to be as least as strong as that, say, of *Ramatuella* or even of *Buchenavia*, *Thiloa*, *Calopyxis* and *Quisqualis*. *Terminaliopsis* is endemic to Madagascar and consists

only of the species *T. tetrandra* as the other species which has been described in the genus, *T. seyrigii* Perrier, has in fact 8-10 stamens and is a normal *Terminalia*, as also noted by R. CAPURON on a ticket attached to the type-specimen in the Paris Herbarium.

f ) *Systematic Summary and Keys*

In the two large genera *Combretum* and *Terminalia* we have not repeated the extensive generic synonymy given by EXELL (1931). Our summary stops short in this work at the generic level. We are still working at the very numerous sections of *Combretum* and hope that we may be able to give a systematic account of them at a later date.

**COMBRETACEAE**

**Combretaceae** R. Br., Prodr. 1: 351 (1810). — DC., Mém. Fam. Combrét.: 1-42, Pl. I-V (1828) pro parte excl. gen. *Agathisanthes* Bl. et *Ceratostachys* Bl. — G. Don, Gen. Syst. 2: 655 (1832). — Hook. f. in Benth. & Hook., Gen. PL 1, 2: 683 (1865) pro parte excl. gen. *Illigera* BL, *Gyrocarpus* Jacq. et *Sparattanthelium* Mart. — Eichl. in Mart., Fl. Bras. 14, 2: 78 (1876). — Brandis in Engl. & Prantl, Nat. Pflanzenfam. 3, 7: 106 (1893). — Engl. & Diels, Mon. Afr. Pflanz.-Fam. u. Gatt. 3, 1: 2 (1899). — Exell in Journ. of Bot. 69: 113 (1931).

20 genera throughout the tropics and subtropics.

Type genus: *Combretum* Loefl.

**Key to the Subfamilies**

Ovary semi-inferior; cotyledons hemispherical, massive; 2-armed hairs present in 4 species but absent in 1; stomata paracytic . . . . . 1. *Strephonematoideae*  
 Ovary quite inferior; cotyledons convolute or variously plicate; 2-armed hairs always absent; stomata cyclocytic or anomocytic . . . . . 2. *Combretoideae*

1. **Strephonematoideae** Engl. & Diels

**Strephonematoideae** Engl. & Diels, Mon. Afr. Pflanz.-Fam. u. Gatt. 3, 1: 2 (1899).

1 genus: *Strephonema* Hook. f.

1. **Strephonema** Hook. f. in Benth. & Hook., Gen. Pl. **1**, **3**: 782 (1867). Lectotype species [Exell in Journ. of Bot. 69: 116 (1931)]: *S. manni* Hook. f.

7 spp. described in Western tropical Africa from Sierra Leone to the Congo.

## 2. **Combretoidae**

19 genera.

### Key to the Tribes

Lower receptacle without adnate bracteoles . . . . . 1. *Combreteae*  
 Lower receptacle with 2 adnate bracteoles . . . . . 2. *Laguncularieae*

### 1. **Combreteae**

16 genera.

### Key to the Subtribes

Flowers all usually bisexual (dioecious in *Combretum rupicola*); petals usually present (absent in *Thiloa*, *Calycopteris*, *Calopyxis* and a very few species of *Combretum*, but then scales and/or stalked glands present on the leaves); fruits never in tight cones, usually terete or 4-5-winged or -ridged, with scarcely or non-lignified pericarp; leaves usually opposite or verticillate, and without petiolar glands, with scales or stalked glands (rarely both). . . . . 1. *Combretinae*

Flowers andromonoecious; petals absent (except in *Pteleopsidinae* which have no scales or stalked glands); fruits sometimes in tight cones, terete or flattened, often 2-5-winged or -ridged, with pericarp often lignified; leaves usually spiral or alternate (opposite in *Pteleopsidinae*), often with petiolar glands, without scales or stalked glands (except in *Conocarpus* which has fruits in tight cones):



- Petals present; leaves  $\pm$  opposite . . . 2. *Pteleopsideinae*  
 Petals absent; leaves usually spiral or alternate (rarely  
 subopposite) . . . . . 3. *Terminaliinae*

### 1. Combretinae

7 genera.

#### Key to the Genera

- Upper receptacle not persistent in fruit; leaves with or  
 without scales:
- Petals present (absent in a very few species of *Combretum*  
 but then stamens 8-10 or flowers dioecious and leaves  
 with scales) :
- Stamens 8-10(16) (unknown in *Combretum rupicola*  
 which has dioecious flowers) :
- Style not adnate to the tube of the upper receptacle  
 or only extremely shortly so; stamens usually  
 exerted (if not exerted then upper receptacle  
 patelliform to campanulate) ; leaves with scales or  
 stalked glands (rarely both) . . . 2. *Combretum*
- Style adnate to the tube of the upper receptacle for  
 about  $\frac{1}{2}$  the length of the latter; stamens not  
 exerted; leaves with stalked glands; upper recep-  
 tacle infundibuliform, elongate-infundibuliform or  
 bucciniform . . . . . 3. *Quisqualis*
- Stamens 4; flowers bisexual . . . . . 5. *Meiostemon*
- Petals absent:
- Stamens 4; upper receptacle not petaloid; leaves with  
 conspicuous scales . . . . . 6. *Thiloa*
- Stamens 8-10; upper receptacle petaloid; leaves with  
 stalked glands but no scales . . . . . 4. *Calopyxis*
- Upper receptacle persistent in fruit; leaves with scales:
- Petals present; calyx-lobes not accrescent in fruit . . . .  
 . . . . . 7. *Guiera*
- Petals absent; calyx-lobes accrescent, conspicuous . . . .  
 . . . . . 8. *Calycopteris*

2. **Combretum** Loefl., *Iter Hispan.* App.: 308 (1758) *nom. conserv.* [see Exell in *Journ. of Bot.* **69**: 116 (1931) for full synonymy].

Type species: *C. fruticosum* (Loefl.) Stuntz.

Throughout the tropics (except in Australia) and extending to the subtropics in Asia, Africa and S. America.

Number of species still very uncertain: there will probably be between 150 and 200 when all are fully investigated.

3. **Quisqualis** L., *Sp. Pl.* ed. 2, **1**: 556 (1762). — Exell in *Journ. of Bot.* **69**: 117 (1931) *excl. Q. hensii*. — Exell & Stace in *Bol. Soc. Brot. Sér.* 2, **38**: 139 (1964).

*Udani* Adans., *Fam. Pl.* 2: (22) (1763), *nom. illegit.*

*Kleinia* Crantz, *Inst.*: 448 (1766) non Jacq. (1763).

*Sphalanthus* Jack in *Mal. Misc.* 2, 7: 55 (1822).

*Campylogyne* Welw. ex Hemsl. in *Hook., Ic. Pl.*: t. 2550 (1897).

Type species: *Q. indica* L.

About 16 species in tropical Asia and tropical and subtropical Africa.

4. **Calopyxis** Tul. in *Ann. Sci. Nat., Sér.* 4, **6**: 86 (1856).

Lectotype species [Exell in *Journ. of Bot.* **69**: 125 (1931)]: *C. sphaeroides* Tul.

22 spp. have been described, all endemic in Madagascar, but it is likely that the number will be reduced on investigation. PERRIER DE LA BÂTHIE (154) recognized 18.

5. **Meiostemon** Exell & Stace, gen. nov.<sup>1</sup>. **TAB. I.**

*Combretum* sect. *Haplostemon* Exell in *Journ. of Bot.* **77**: 173 (1939).

Type species: *M. tetrandrus* (Exell) Exell & Stace.

2 species: one in Zambia and Rhodesia, the other in Madagascar.

<sup>1</sup> *Meiostemon* Exell & Stace, gen. nov. Ab *Combreto* differt staminibus 4, uniseriatis.

## Key to the Species

Petals elliptic, **c.** 1 X 0.7 mm; **leaf-lamina** conspicuously **lepidote** beneath, otherwise glabrous except for pubescence on the midrib above and domatia in the axils of the principal nerves beneath; **inflorescences** up to 9 cm **long**; bracts rather persistent, equalling the lower receptacle. . . . . 1. *tetrandrus*

Petals narrowly elliptic, minute, **c.** 0.5 X 0.2 mm; **leaf-lamina** inconspicuously lepidote, pubescent above, rather densely pubescent to pilose beneath; **inflorescences** up to 3 cm long; bracts absent or caducous . . . 2. *humbertii*

1. **Meiostemon tetrandrus** (Exell) Exell & Stace, comb. nov.

**Type:** *W. Allen* 3 (BM, holotype; **FHO**).

*Combretum tetrandrum* Exell in Journ. of Bot. **77**: 172 (1939).

Type as above.

Zambia and Rhodesia.

2. **Meiostemon humbertii** (Perrier) Exell & Stace, comb. nov.

**Type:** *Humbert* 12554 (P, holotype).

*Combretum? humbertii* Perrier in Ann. Mus. Col. Marseille, Sér. 7, **1**: 37 (1953).

Type as above.

Madagascar.

6. *Thiloa* **Eichl.** in Flora, **49**: 149 (1866).

Lectotype species [**Exell** in Journ. of Bot. 69: 125 (1931)]: *T. glaucocarpa* (Mart.) Eichl.

3 spp. in Brazil, Venezuela, Paraguay, Bolivia and Colombia.

7. **Guiera** **Juss.**, Gen. Pl.: 320 (1789).

Type **species:** *Guiera senegalensis* Lam.

1 sp. in savanna regions of northern tropical Africa.

8. *Calycopteris* **Lam.**, Ill. Gen.: t. 357 (1791-96); **Tabl. Encycl.** 2: 485 (1819).

*Getonia* Roxb., Pl. Corom. 1: 61, t. 87 (1798).—Exell in Journ. of Bot. 69: 127 (1931).

Type species: *C. floribunda* (Roxb.) Lam.

1 sp. in India, Assam, Burma, Indo-China and the Malay Peninsula.

For a discussion of the question of priority between *Calycopteris* and *Getonia* see EXELL [in Fl. Males., Ser. 1, 4: 584 (1954)].

## 2. **Pteleopsidinae** Exell & Stace, subtrib. nov.<sup>1</sup>

1 genus: *Pteleopsis* Engl.

9. **Pteleopsis** Engl. [in Abh. Preuss. Akad. Wiss. 1893-95: 25 (1894) *nom. nud.*] Pflanzenw. Ost-Afr. C: 293 (1895).

Type species: *P. variifolia* Engl.

Probably about 10 spp., all in tropical Africa.

## 3. **Terminaliinae** Exell & Stace, subtrib. nov.<sup>2</sup>

«Terminaliées» DC, Mém. Fam. Combrét.: 4 (1828) pro parte.

*Terminalieae* G. Don, Gen. Syst. 2: 656 (1832) pro parte. Eichl. in Mart., Fl. Bras. 14, 2: 81 (1867).—Engl. & Diels, Mon. Afr. Pflanz.-Fam. u. Gatt. 3: 2 (1899).

Type genus: *Terminalia* L.

8 genera.

<sup>1</sup> Subfam. *Combretoideae* trib. *Combreteae* subtrib. **Pteleopsidinae** Exell & Stace, subtrib. nov. *Flores* andromonoecii. *Petala* 5. *Fructus* 2-5-alatus. *Cotyledones* convolutae. *Folia* ± opposita, *petiolis* eglandulosis. *Lepides* et *glandulae stipitatae* nullae. Genus uni cum: *Pteleopsis* Engl.

<sup>2</sup> Subfam. *Combretoideae* trib. *Combreteae* subtrib. **Terminaliinae** Exell & Stace, subtrib. nov. *Flores* andromonoecii. *Petala* nulla. *Fructus* complanatus vel teres nonnunquam 2-5-alatus vel -angulatus, *pericarpio* plerumque lignoso. *Cotyledones* convolutae. *Folia* plerumque spiraliter ordinata vel alterna, *petiolis* nonnunquam glanduliferis. *Lepides* et *glandulae stipitatae* (salvo in *Conocarpum*) nullae. Genus typicum: *Terminalia* L.

## Key to the Genera

Fruits not aggregated into tight cones:

  Anthers versatile:

    Stamens 8-10:

      Upper receptacle deciduous:

        Fruits flattened or terete or **2-5**-winged or -ridged, if winged then usually not actinomorphic, or if both winged and actinomorphic then without strongly lignified pericarp (except Sect. *Pentaptera*), not crowded into  $\pm$  spherical heads at maturity. . . . . **10. Terminalia**

        Fruits **4-5**-winged, actinomorphic, with strongly lignified pericarp, crowded into  $\pm$  spherical heads at maturity. . . . . **11. Ramatuella**

      Upper receptacle persistent until maturity of fruits . . . . . **13. Bucida**

      Stamens **4(5)**. . . . . **12. Terminaliopsis**

    Anthers adnate to the filaments . . . . . **14. Buchenavia**

Fruits aggregated into tight cones:

  Fruit beaked; leaves without stalked glands:

    Beak of fruit consisting of the whole of the stalk-like portion of the upper receptacle; fruit **2**-winged . . . . . **15. Anogeissus**

    Beak of fruit consisting of about half of the stalk-like portion of the upper receptacle; fruit c. **4-10**-ridged . . . . . **16. Finetia**

  Fruit not beaked; leaves with stalked glands. . . . . **17. Conocarpus**

**10. Terminalia** L., Syst. Nat. ed. **12, 2: 674** (err. **638**) (1767); Mant. PL: **21** (1767) *nom. conserv.*

  Type species: *T. catappa* L.

  Number of spp. will probably prove to be between **100** and **150**, throughout the tropics (including Australia and Polynesia).

  For full synonymy see **EXELL** [in Journ. of Bot. **69: 125** (1931) excl. *Terminaliopsis* Danguy].

**11. Ramatuella** Kunth, Nov. Gen. & Sp. PL **7: 253** (1825) («Ramatuella»).—Maguire in Mem. N. Y. Bot. Gard.

8: 130 (1953).— Exell & Stace in Bull. Brit. Mus. (Nat. Hist.) Bot. 3, 1: 38 (1963).

Type species: *R. argentea* Kunth.

6 spp. in Venezuela, Colombia and Brazil.

For a discussion of the spelling of the generic name and a revision of the species see EXELL and STACE (loc. cit.).

12. **Terminaliopsis** Danguy in Bull. Mus. Hist. Nat. Par. 29: 108 (1923).

Type species: *T. tetrandra* Danguy.

1 sp. from Madagascar.

*T. seyrigii* Perrier [in Ann. Mus. Col. Marseille, Sér. 7. 1: 21 (1953)] was described in this genus but is a species of *Terminalia*. The type of *Terminaliopsis seyrigii* (Seyrig 323) was cited by PERRIER DE LA BÂTHIE under *Terminalia monoceros* Perrier [in Fl. Madag., Combrét.: 52 (1954)] and was figured (as *Terminaliopsis*) with 8 stamens.

13. **Bucida** L., Syst. Nat. ed. 10, 2: 1025 (1759) *nom. conserv.*

*Buceras* P. Browne, Hist. Jam.: t. 23 (1756).

Type species: *B. buceras* L.

9 spp. have been described, all from tropical and subtropical America, but several of these are probably not distinct.

14. **Buchenavia** Eichl. in Flora, 49: 164 (1866) — Exell & Stace in Bull. Brit. Mus. (Nat. Hist.) Bot. 3, 1: 4 (1963).

Lectotype species [Exell in Journ. of Bot. 69: 126 (1931)]: *B. capitata* (Vahl) Eichl.

22 spp. in the West Indies, Panama, tropical South America and southern Brazil.

Since the revision by EXELL and STACE (loc. cit.) a study of further material kindly sent from Brazil shows that *B. discolor* Diels is a synonym of *B. ochroprumna* Eichl. and that *B. huberi* Ducke is a synonym of *B. grandis* Ducke.

15. **Anogeissus** [Wall., Numer. List: no. 4014 (1832) *nom. nud.*] Guill. & Perr. in Guill., Perr. & Rich., Fl. Senegamb. Tent. 1: 280, t. 65 (1833).

*Andersonia* Roxb. ex DC, Mém. Fam. Combrét.: 8 et 25 (1828) *nom nud.* non R. Br.

*Andersoma* Buch.-Ham. ex Wall., Numer. List: sub no. 4014 (1832) nom. *nud.* non R. Br.

Type species: *A. acuminata* (Roxb. ex DC.) Wall.

14 spp. have been described in tropical Asia and tropical Africa.

16. **Finetia** Gagnep. in Notul. Syst. 3: 278 (1916).

Type species: *F. rivularis* Gagnep.

1 sp. in Indo-China.

17. *Conocarpus* L., Sp. Pl. 1: 176 (1753); Gen. Pl. ed. 5: 81 (1754).

*Rudbeckia* Houst. ex L., Gen. Pl. ed. 5: 81 (1754) in syn. non L.

*Rudbeckia* Adans., Fam. 2: 80 et 599 (1763) non L.

Type species: *C. erectus* L.

2 spp.: 1 widely distributed in tropical and subtropical America and Western tropical Africa; 1 in Somalia and Arabia.

## 2. Laguncularieae Engl. & Diels

Laguncularieae Engl. & Diels, Mon. Afr. Pflanz.-Fam. u. Gatt.: 3, 1: 2 (1899).

### Key to the Genera

Bracteoles not accrescent; stomata cyclocytic; leaves with abundant water-storage tissue; plants exclusively maritime:

Leaves opposite; deeply sunken glands present on leaves . . . . . 18. *Laguncularia*

Leaves alternate; glands absent from leaves . . . . .

. . . . . 19. *Lumnitzera*

Bracteoles accrescent to form 2 wings to the fruit; stomata simply anomocytic; leaves without obvious water-storage tissue; plants not maritime . . . . 20. *Macropteranthes*

18. **Laguncularia** Gaertn. f., Fruct. 3: 209, t. 217 (1807).

*Sphenocarpus* Rich., Démonstr. Bot.: 92 (1808) nom. *nud.*

**1** or **2** spp. in littoral regions of tropical and subtropical America and Western tropical Africa.

*Borau* Adans. is excluded from the synonymy as it is now known to be *Avicennia* L.

**19.** *Lumnitzera* Willd. in Ges. Naturf. Fr. Berl. Neue Schr. 4: 186 (1803).

For synonymy see EXELL [in Journ. of Bot. **69**: 128 (1931)].

Type species: *L. racemosa* Willd.

**2** spp. : **1** in Eastern tropical Africa, Madagascar, tropical Asia, Northern Australia and Polynesia; **1** in tropical Asia, Northern Australia and Polynesia.

**20.** *Macropteranthes* (F. Muell.) F. Muell. in Fragm. Phytogr. Austral. 3: 91 (1862).

*Lumnitzera* sect. *Macropteranthes* F. Muell., op. cit. 2: 149 (1861).

Type species: *M. montana* (F. Muell.) F. Muell. EXELL [in Journ. of Bot. **69**: 128 (1931)] chose *M. leichhardtii* as the lectotype as «this was the first species to which MUELLER gave the name *Macropteranthes*». *M. montana*, however, was in fact the first species to which this name was applied [F. Muell. op. cit. 2: 149 (1861) under *Lumnitzera* sect. *Macropteranthes* which MUELLER elevated to generic rank the subsequent year].

**4** spp. in north and north-east Australia.

#### REFERENCES

- CLARKE, C. B.  
1878 *Combretaceae* in HOOKER, Flora of British India, 2.
- EICHLER, A.  
1867 *Combretaceae* in C. F. P. VON MARTIUS, Flora Brasiliensis, 14, 2.
- ENGLER, A. & DIELS, L.  
1899 Monographien Afrikanischer Pflanzen-Familien und -Gattungen, III & IV *Combretaceae*.
- EXELL, A. W.  
1931 The Genera of *Combretaceae*. Journ. of Bot. 69: 113-128.  
1962 Space Problems arising from the Conflict between two Evolutionary Tendencies in the *Combretaceae*. Bull. Soc. Roy. Bot. Belg. 95: 41-49.



EXELL, A. W. & STACE, C. A.

- 1964 A Reorganization of the Genus *Quisqualis* (Combretaceae). *Bol. Soc. Brot.*, Sér. 2, 38: 139-143.

FERRIER DE LA BÂTHIE, H.

- 1935 Révision des Combretacées de Madagascar et des Comores. *Ann. Mus. Col. Marseille*, Sér. 7, 1: 1-43.

- 1954 *Combretaceae* in H. HUMBERT. Flore de Madagascar et des Comores.

SOLEREDER, H.

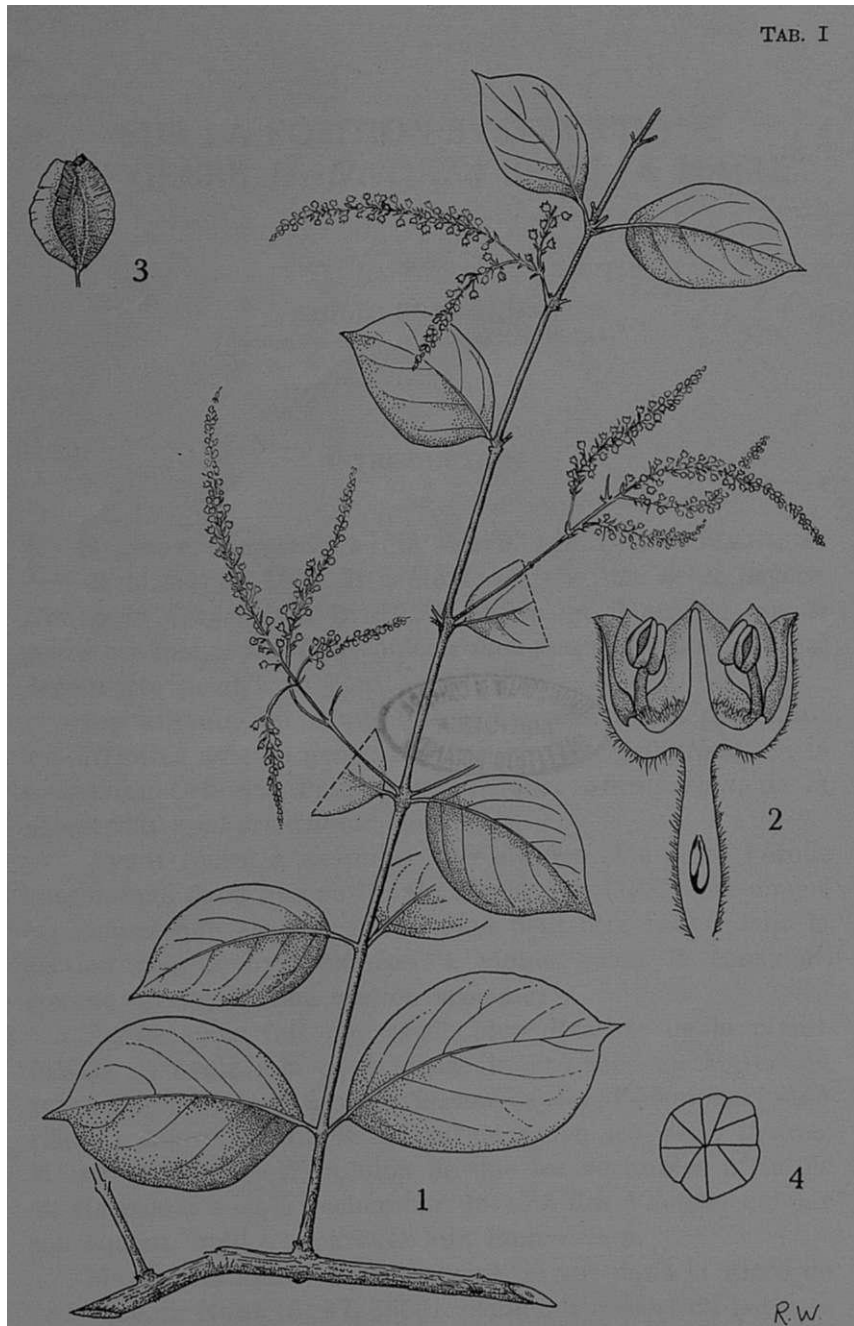
- 1908 Systematic Anatomy of the Dicotyledons, transi. BOODLE, L. & FRITSCH, F. E., revised by SCOTT, D. H.

STACE, C. A.

- 1965a The Significance of the leaf Epidermis in the Taxonomy of the *Combretaceae*, I—A General Review of Tribal, Generic and Specific Characters. *Journ. Linn. Soc., Bot.* 59: 229-252.

- 1965b Cuticular Studies as an aid to Plant Taxonomy. *Bull. Brit. Mus. (Nat. Hist.) Bot.* 4: 3-78.





***Meiostemon tetrandrus* (Exell) Exell & Stace**

1. Flowering branchlet ( $\times \frac{2}{3}$ ) *Fanshawe 4896*; 2. Vertical section of flower ( $\times 10$ ) *Fanshawe 4896*; Fruit ( $\times 1$ ) *Bainbridge 502*; Scale ( $\times 270$ ) from a drawing by C. A. STACE.



# SUR LA POSITION SYSTÉMATIQUE DU GENRE *HANNONIA* BR.-BL. & MAIRE

*par*

ABÍLIO FERNANDES

Institut Botanique de l'Université de Coimbra

## INTRODUCTION

LE genre *Hannonia* a été décrit par BRAUN-BLANQUET & MAIRE en 1931. Il a été fondé sur une seule espèce, *Hannonia hesperidum* Br.-Bl. & Maire, et il semble que le genre est monospécifique, puisqu'aucune autre espèce n'a été découverte jusqu'à ce jour.

Les auteurs ont admis que le nouveau taxon présentait des affinités avec le genre austro-africain *Cyrtanthus*, de la sous-tribu *Crininae* Pax, et encore avec *Sternbergia*, de la sous-tribu *Zephyranthinae* Pax.

Ayant réussi à examiner des graines et à faire l'étude anatomique de la hampe florale, EMBERGER (1932) est amené à conclure que «le genre *Hannonia* peut être rangé dans la section des Zéphyranthinées, à moins qu'on le considère comme le type d'une section spéciale».

Après avoir fait une étude plus détaillée de la plante (1933) et avoir mis en évidence la présence au Maroc du genre *Vagaría*, dont, à son avis, une espèce, *V. legionariorum* (Emb.) Maire, ferait la transition entre les deux genres, MAIRE (1936) émet l'opinion de que les véritables affinités du *Hannonia* sont à rechercher du côté des *Vagaría* et, par conséquent, qu'il s'apparente aux *Pancratium*.

MAIRE maintient le même point de vue dans la Flore de l'Afrique du Nord (6: 47, 1959), comme il ressort du passage suivant: «Cette plante (*Hannonia hesperidum*) est très voisine du *Vagaría Ollivieri* Maire, dont elle est difficile à distinguer à l'état végétatif, mais elle est plus grêle, à fleurs

toujours géminées, et elle fleurit plus tôt. En raison de ses affinités avec le *V. Ollivieri* nous l'avons rangée dans les *Dentiferae*, malgré l'absence totale de paracorolle».

D'après HUTCHINSON (1959), *Hannonia* ne peut pas se distinguer de *Vagaría* et, par ce fait, il considère le premier genre comme synonyme du deuxième.

L'opinion de MAIRE n'est pas partagée par TRAUB (1963), auteur qui, bien que provisoirement, car il attendait du matériel vivant pour faire des études plus achevées, range *Hannonia* dans la tribu *Galantheae* Salisb., entre les genres *Lapiedra* Lag. et *Leucojum* L., et classe *Vagaría* Herb. dans la tribu *Pancreatíeae* auprès de *Pancratium* L.

Ayant pu nous procurer quelques bulbes et des graines du *Hannonia hesperidum* et du *Vagaría Ollivieri*, nous avons eu l'opportunité d'examiner les chromosomes somatiques de ces taxa et d'étudier les respectifs caryotypes. Ces données caryologiques sont employés ici dans le but d'essayer à résoudre le problème controversé de la position systématique du genre *Hannonia*.

#### MATÉRIEL ET TECHNIQUE

Grâce à l'obligeance de M. l'Ing. J. GATEFOSSÉ, à qui nous exprimons notre profonde gratitude pour l'aide qu'il a toujours bien voulu nous accorder en nous envoyant généreusement des bulbes d'Amaryllidacées du Maroc, nous avons réussi à obtenir quelques bulbes du *Hannonia hesperidum* récoltés sur les «berges de l'oued Sous au l'oued Zeïma (entre Agadir et Taroudante)».

D'autre part, Monsieur L. S. HANNIBAL, dont l'enthousiasme pour la culture des Amaryllidacées est bien connu, nous a envoyé des graines de ce taxon. Nous lui présentons nos plus vifs remerciements, non seulement pour l'offre des graines, mais aussi pour l'intérêt qu'il a toujours témoigné à l'égard de notre travail.

Monsieur J. GATEFOSSÉ nous a procuré aussi des bulbes du *Vagaría Ollivieri*, ramassés à l'«embouchure de l'oued Drâa (Sudouest du Maroc)».

Les bulbes et les graines de ces plantes nous ont fourni des méristèmes radiculaires qui ont été fixés au liquide de Navachine (modification de Bruun). Les coupes transversales, d'une épaisseur de 18  $\mu$ , ont été colorées au violet de gentiane.

Malheureusement, la culture de ces plantes s'est révélée très difficile sous le climat de Coimbra. Les bulbes étaient morts l'année suivante après son arrivée et nous n'avons réussi à obtenir aucune plante à partir des graines qui ont germé. Par cette raison, nous n'avons pas pu examiner les caractères de la morphologie externe de ces taxa.

#### OBSERVATIONS

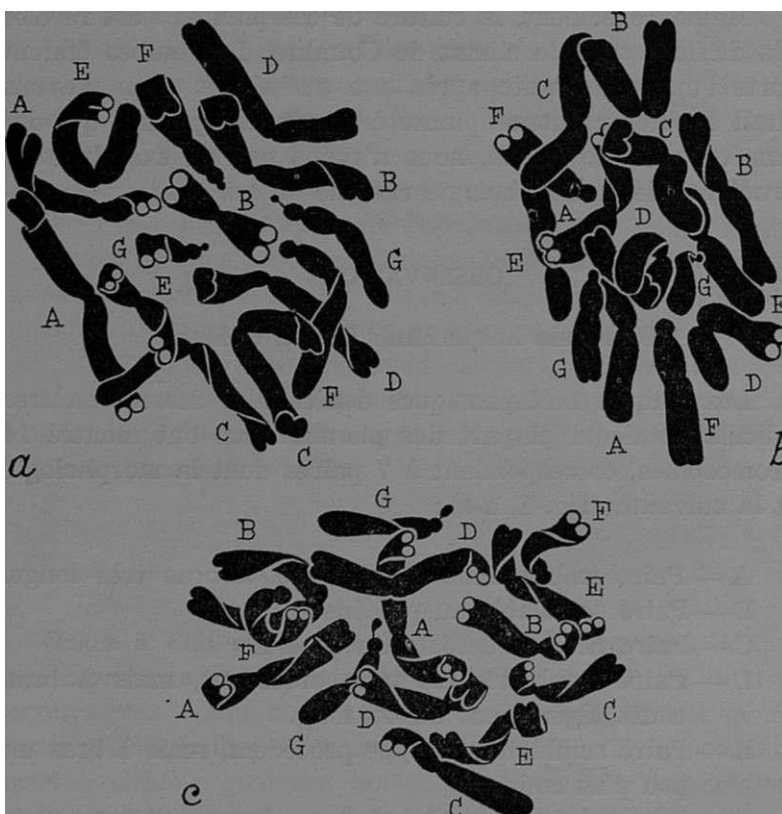
##### **Hannonia hesperidum** Br.-Bl. & Maire

Les plaques métaphasiques des cellules des méristèmes radiculaires de la plupart des plantes nous ont montré 14 chromosomes, correspondant à 7 paires dont la morphologie est la suivante (fig. 1, *a-c*) :

- A — Paire isobrachiale ou presque, à bras très longs.
- B — Paire semblable au précédente.
- C — Paire hétérobrachiale du type Ll.
- D — Paire semblable au type précédent, mais à bras court légèrement moins long.
- E — Paire semblable au type précédent, mais à bras un peu plus courts.
- F — Paire céphalobrachiale longue, à constriction acinétique au tiers proximal. Un satellite à l'extrémité proximale d'un des éléments de la paire a été observé sur quelques figures.
- G — Paire céphalobrachiale plus courte que la précédente, à satellite à l'extrémité proximale et à constriction acinétique au tiers proximal. Quelques images de ce chromosome ont suggéré que cette constriction aurait de l'activité centromérique.

L'idiogramme peut donc être représenté par la formule suivante :

$$2n = 14 = 4 LL (Ll) + 4 Ll + 2 lm + 2 L. + 2 l.'$$



**Fig. 1.** — *Hannonia hesperidum* Br.-Bl. & Maire. *a*, Plaque équatoriale dans une cellule de la région médiane du périlème de la racine, montrant des chromosomes allongés. Remarquer la présence d'un satellite à l'extrémité proximale d'un des chromosomes de la paire F. *b*, Idem dans une région plus profonde, montrant des chromosomes plus raccourcis. *c*, Idem dans la racine d'une plantule obtenue par germination d'une graine. Les paires chromosomiques sont indiquées par les lettres A-G. X ca. 3000.



Dans les méristèmes radiculaires fournis par un des bulbes, nous avons dénombré 21 chromosomes. Il s'agissait donc d'une plante triploïde. La garniture observée correspondait à la triplification de celle de l'état haploïde (fig. 2).

### **Vagaria Ollivieri** Maire

Dans les vues polaires des métaphases des cellules des méristèmes radiculaires, nous avons dénombré 22 chromosomes, aux caractères morphologiques suivants (fig. 3) :

- A—Paire isobrachiale ou presque, à bras très longs.
- ~~B~~— Paire hétérobrachiale du type Lp.
- C — Paire semblable au type précédent.
- D — Paire semblable au type précédent, mais à bras long un peu plus court.
- ~~E~~—Paire semblable au type antérieur.
- F — Paire céphalobrachiale satellitifère.
- G — Paire semblable au type antérieur, mais à satellites hétéromorphes (un assez gros et un autre très petit). Il est probable que des plantes à satellites égaux existent aussi.
- H—Paire céphalobrachiale du type 1.
- I — Paire semblable au type antérieur, mais un peu plus courte.
- J — Idem.
- K—Paire courte presque isobrachiale.

De cette façon, la garniture diploïde peut être représentée par la formule suivante:

$$2n = 22 = 2 LL + 8 Lp + 2 L.' + 2 L.' + 6 l + 2 PP$$

### DISCUSSION

Comme nous l'avons remarqué, la description originale du *Hannonia hesperidum* par BRAUN-BLANQUET & MAIRE (loc. cit.) a été accompagnée de la suggestion de l'affinité de ce taxon avec le genre *Cyrtanthus*. Les études sur la caryologie de ce dernier genre sont particulièrement dûes à WILSENACH (1963) qui a établi l'idiogramme de 19 espèces.

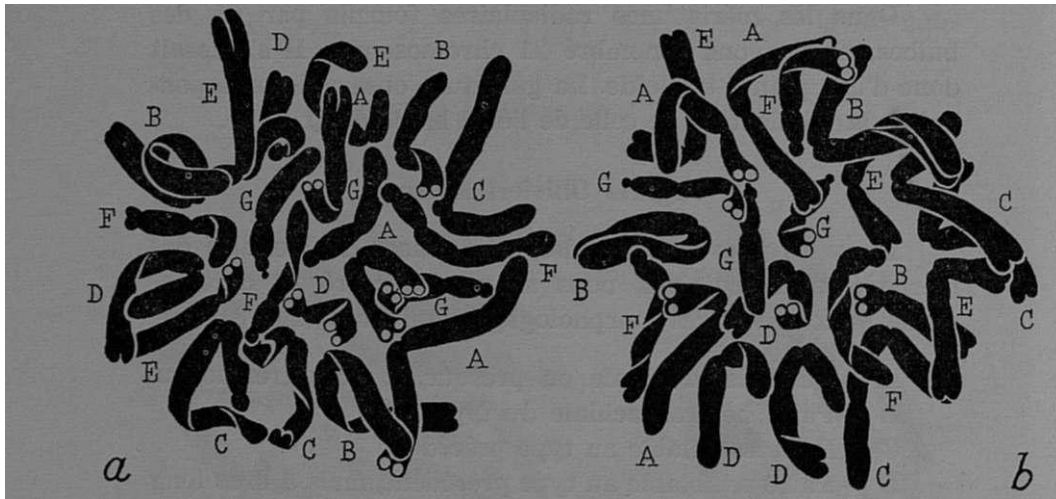


Fig. 2. — *Hannonia hesperidum* Br.-Bl. & Maire. *a* et *b*, Plaques équatoriales dans des cellules du méristème racinaire d'une plante triploïde. Les chromosomes sont indiqués par les lettres A-G.  
X ca. 3000.

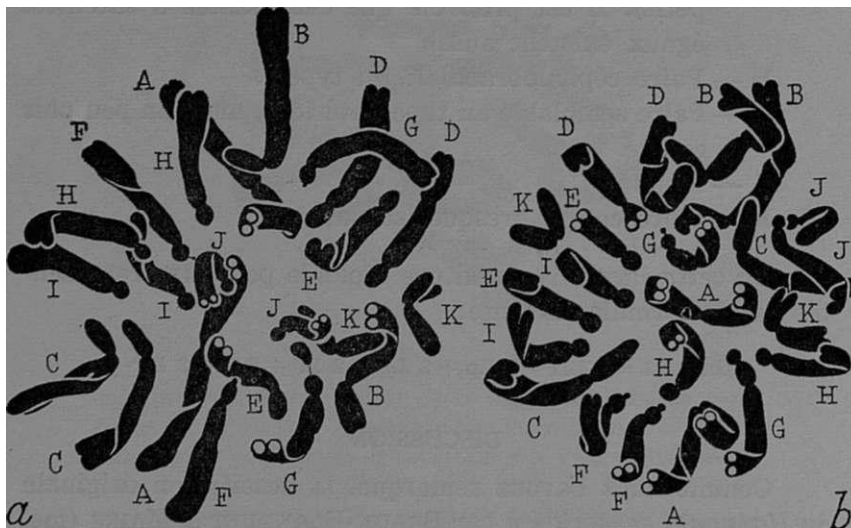


Fig. 3. — *Vagaría Ollivieri* Maire. *a* et *b*, Plaques équatoriales dans des cellules du méristème racinaire montrant 22 chromosomes. Les paires sont indiquées par les lettres A-K.  
X ca. 3000.

La comparaison des chromosomes du *Hannonia* avec ceux des espèces de *Cyrtanthus* montre le suivant:

- a) Le nombre de base est **7** chez *Hannonia* et **8** chez *Cyrtanthus* et les genres voisins (*Anoiganthus* et *Vallota*);
- b) L'ensemble des chromosomes céphalobrachiaux et hétérobrachiaux à bras court moins long que la moitié du bras long est plus élevé chez les espèces de *Cyrtanthus* que chez *Hannonia*, dont l'idiogramme ne possède que deux paires céphalobrachiales.

Il semble donc que les caractères caryologiques ne s'accordent pas très bien avec l'idée de considérer le genre *Hannonia* comme voisin de *Cyrtanthus*.

Bien que nous n'ayons examiné aucun spécimen du *Hannonia*, il nous semble, d'après les descriptions, que les caractères de la morphologie externe de cette plante ne s'accordent pas aussi avec le même point de vue. En effet, chez *Cyrtanthus*, le tube du périgone est assez long et considérablement élargi supérieurement, tandis que chez *Hannonia* il est cylindrique et ne dépasse pas **5** mm. D'autre part, les graines des *Cyrtanthus* sont aplaties, tandis que celles du *Hannonia* sont ovées-subfusiformes. D'autres différences moins importantes concernant le nombre des fleurs par inflorescence, longueur des filets, forme du stigmate, etc. existent aussi.

La caryologie du *Sternbergia lutea* Ker.-Gawl. a été étudiée par plusieurs auteurs (vid. MOOKERJEA, 1954; DARLINGTON & WYLIE, 1955; SHARMA, 1955), mais ce sont les recherches de BATTAGLIA (1949) qui nous semblent les plus exactes. D'après cet auteur, le nombre de base du genre est **11** et l'idiogramme de l'espèce étudiée est constitué par une paire de chromosomes isobrachiaux, deux paires hétérobrachiaux et **8** paires céphalobrachiaux. De cette façon, on constate que, au point de vue caryologique, *Hannonia* est très différent de *Sternbergia* pour que les deux genres puissent être rapprochés.

En ce qui concerne les caractères de la morphologie externe, les différences les plus importantes sont celles mentionnées dans le Tableau I.

TABLEAU I

<i>Hannonia</i>	<i>Sternbergia</i>
Hampe florale $\pm$ fistuleuse, à faisceaux libéro-ligneux disposés en un seul cercle.	Hampe florale pleine, à faisceaux libéro-ligneux disposés en plusieurs cercles.
Fleurs géminées dans un involucre à deux spathes.	Fleur généralement solitaire dans une spathe tubuleuse à la base.
Fleurs pédonculées.	Fleur sessile.
Tube du périgone cylindrique, jusqu'à 0,5 cm long.	Tube du périgone cylindrique, 0,6-2,5 cm long.
Style filiforme à stigmate entier et non renflé.	Style filiforme à stigmate $\pm$ renflé ou brièvement 3-lobé.
Fruit sec.	Fruit un peu charnu.
Graines ovées-fusiformes ou subglobuleuses, ca. $2,5 \times 2$ mm.	Graines subglobuleuses, $3-4 \times 2,5$ mm.

Quant aux genres *Gethylis* et *Apodolirium* aussi suggérés par EMBERGER (loc. cit.) comme ayant des affinités avec *Hannonia*, les différences morphologiques sont encore plus nettes.

À notre connaissance, la caryologie du genre *Vagaria* était inconnue. Les observations rapportées ici montrent que le nombre de base est **11** et que, par son caryotype, le genre se rattache à la tribu des *Pancratiaceae* où il est rangé par TRAUB (loc. cit.). Ce fait est mis en évidence, d'une façon assez nette, par la comparaison des plaques métaphasiques de notre fig. 3 avec les figures présentées par FERNANDES (1933) pour *Pancratium maritimum* L., SATÔ (1938) et BRUMFIELD (1941) pour *P. illyricum* L., SHARMA & BAL (1956) pour *P. zeylanicum* L., REESE (1957) pour *P. saharae* Coss. et MORTON (1965) pour *P. hirtum* A. Chev.

Étant donné que *Vagaria* appartient à la tribu *Pancratiaceae*, les ailes des filets qu'on trouve chez les espèces de ce genre doivent être considérées comme correspondant à l'ébauche de la couronne staminale qu'on rencontre très bien déve-

loppée chez *Pancratium*, *Chapmanolirion* et *Klingia* (vid. TRAUE, loc. cit.).

La comparaison de l'idiogramme du *Hannonia* avec celui du *Vagaria* montre tout d'abord qu'il s'agit de deux genres distincts et, par conséquent, que HUTCHINSON (loc. cit.) a tort quand il considère *Hannonia* comme synonyme de *Vagaria*. D'autre part, les différences entre les idiogrammes montrent que les deux genres ne peuvent pas se ranger dans le même groupe. Le manque de couronne staminale chez *Hannonia* est d'accord avec ce point de vue. Tous ces faits mettent donc en évidence que l'affinité suggérée par MAIRE ne peut pas se maintenir.

Il ne nous reste qu'examiner la suggestion de TRAUB (loc. cit.), c'est à dire que le genre *Hannonia* doit être rangé dans la tribu *Galantheae* Salisb.

Dans cette tribu, on trouve les nombres de base **5**, **7**, **8**, **9** et **11** et des idiogrammes constitués par des chromosomes appartenant aux types qu'on rencontre chez *Hannonia*. Particulièrement remarquables sous ce point de vue sont *Leucojum autumnale* (vid. NEVES, 1939), qui possède le même nombre de base et des chromosomes des mêmes types, et *Lapiedra Martinezii* (vid. FERNANDES, 1950), qui, bien que possédant un autre nombre de base (**11**), présente aussi des chromosomes du même type. Les données fournies par le caryotype du *Hannonia* ne s'opposent donc à l'idée de considérer ce genre comme appartenant à la tribu *Galantheae* Salisb.

En outre les caractères de la morphologie externe mentionnés par TRAUB (loc. cit.), nous pouvons ajouter un caractère anatomique rapporté par EMBERGER (loc. cit.) concernant la disposition en un cercle des faisceaux libéro-ligneux de la hampe florale du *Hannonia*. Ce caractère est aussi mentionné par PAX & HOFFMANN (1930) dans la diagnose de la sous-tribu *Galanthinae* Pax.

Étant donné que chez *Galanthus* et *Leucojum* les anthères sont basifixes et poricides, il semble que *Hannonia* a plus d'affinités avec *Lapiedra*, puisque chez ces deux derniers genres les anthères sont dorsifixes et s'ouvrent par des fentes longitudinales. Comme nous l'avons remarqué, les types chro-

mosomiques existant chez *Hannonia* et *Lapiedra* sont les mêmes. Le fait que chez le premier genre le nombre de base est 7, tandis que chez le deuxième est 11, peut n'avoir pas de signification, puisque chez *Leucojum* nous trouvons des espèces à 7 et d'autres à 11 chromosomes.

Cependant, on constate que chez *Leucojum* les anthères ne sont vraiment poricides, car il y a, comme MAIRE (pag. 12, 1959) le signale, des «fentes de déhiscence se formant seulement dans leur moitié supérieure». Ce caractère et le fait que chez le sous-genre *Acis* de *Leucojum* les divisions du périanthe sont quelquefois brièvement soudées à la base révèlent aussi des affinités entre *Hannonia* et ce sous-genre de *Leucojum*. Il est à remarquer que quelques espèces du sous-genre *Acis* (*L. autumnale* et *L. trichophyllum*) possèdent une garniture à  $\eta = 7$ , constituée par des chromosomes de types semblables à ceux qu'on trouve chez *Hannonia*.

Nous pourrions donc conclure que, d'après les caractères caryologiques et de ceux de la morphologie externe, le genre *Hannonia* doit être rangé entre *Lapiedra* et *Leucojum*.

En discutant les nombres chromosomiques de la famille des *Amaryllidaceae*, comprise dans l'acception de comporter des plantes à inflorescence en ombelle soit avec l'ovaire supère ou infère, TRAUB (loc. cit.) est amené à la conclusion qu'il est probable que le nombre de base de la famille soit 6. En partant de cette supposition, qui nous semble bien vraisemblable, le genre *Galanthus* aurait été engendré par polyploïdie, puisque nous y trouvons des espèces à  $2n = 24, 36$  et  $48$ . Il pourra arriver même que des formes à  $2n = 12$  existent encore à présent.

Le genre *Hannonia* pourrait avoir pris naissance à partir de la forme ancestrale à  $\eta = 6$ , dont l'idiogramme serait constitué seulement par des chromosomes longs isobranchiaux et hétérobranchiaux, au moyen de la division transversale du centromère d'un chromosome hétérobranchial du type Ll. Cette clivage du centromère aurait été suivie de translocations qui ont rendu le centromère sous-terminal. Au moyen de ce processus, les chromosomes L. et l.' auraient été engendrés.

Il semble que le même mécanisme a agit dans l'évolution du genre *Leucojum*, puisqu'on constate d'une façon générale

que le nombre des chromosomes céphalobranchiaux monte et celui des isobranchiaux et hétérobranchiaux baisse au fur et à mesure que le nombre chromosomique devient plus élevé (vid. NEVES, loc. cit.: 568).

Cependant, une autre origine pourra être envisagée en ce qui concerne les espèces à  $\eta = 11$ : formation de tétraploïdes à partir de la forme ancestrale, clivage du centromère de certains chromosomes et élimination de chromosomes télacentriques correspondant à des bras. Nous considérons probable que *Lapiedra Martinezii* ait été engendré au moyen de ce processus.

#### RÉSUMÉ ET CONCLUSIONS

1. *Hannonia hesperidum* Br.-Bl. & Maire est une Amaryllidacée dont la position systématique a été l'objet de controverses. Ainsi, d'après BRAUN-BLANQUET & MAIRE, les affinités du genre seraient avec *Gyrтанthus*; d'après EMBERGER avec *Sternbergia* ou avec d'autres genres apparentés (*Gethyllis* et *Apodolirion*); d'après MAIRE et HUTCHINSON avec *Vagaría*; et d'après TRAUB avec *Lapiedra* et *Leucojum*.

2. Dans le but de contribuer à éclaircir ce problème, nous avons étudié la caryologie du *Hannonia hesperidum* et du *Vagaría Ollivieri* dont nous avons établi les respectives formules chromosomiques.

3. Les caractères caryologiques et ceux de la morphologie externe ne s'accordent ni avec l'idée de considérer *Hannonia* comme ayant des affinités avec *Gyrтанthus*, ni avec *Sternbergia*, ni avec *Vagaría*. Les ressemblances avec ce dernier genre sont superficielles, puisque *Hannonia* est dépourvu de la couronne staminale caractéristique des *Pan-cratieae* qui se trouve en ébauche sous la forme des ailes des filets chez *Vagaría*.

4. Les données caryologiques (nombre et forme des chromosomes) indiquent des affinités avec les *Galantheae*, particulièrement avec *Lapiedra* et *Leucojum*, ce qui est en accord avec les points de vue de TRAUB. Les caractères de la morphologie externe et les anatomiques parlent aussi en faveur de cette opinion.

5. Il est probable que *Hannonia hesperidum* ait été engendré à partir d'une forme ancestrale à  $\eta = 6$ , au moyen de la division transversale du centromère d'un chromosome du type LI, suivie de translocations qui ont rendu les centromères sous-terminaux.

6. Les formes à  $\eta = 11$ , qui sont fréquentes chez les Amaryllidacées, pourraient avoir été engendrées à partir de formes tétraploïdes à nombre de base 6, au moyen de la division transversale des centromères de quelques chromosomes, suivie de l'élimination de quelques bras correspondant à des chromosomes télacentriques.

## BIBLIOGRAPHIE

- BATTAGLIA, E.  
1949 Diploidia e triploidia in *Sternbergia lutea* (L.) Ker.-Gawl. *Caryologia*, 1: 269-279.
- BRAUN-BLANQUET, J. & MAIRE, R.  
1931 Contributions à l'étude de la Flore Marocaine. *Bull. Soc. Hist. Nat. Afr. Nord*, 22: 104.
- BRUMFIELD, R. T.  
1941 Asymmetrical spindles in the first microspore division of certain Angiosperms. *Amer. Journ. Bot.* 28: 713-722.
- DARLINGTON, C. D. & WYLIE, A. P.  
1955 *Chromosome Atlas of Flowering Plants*. London.
- EMBERGER, L.  
1932 À propos d'une plante peu connue: *Hannonia hesperidum* Br.-Bl. & Maire. *Bull. Soc. Bot. Fr.* 79: 834-835.
- FERNANDES, A.  
1933 Note sur les chromosomes de *Pancratium maritimum* L. *Bol. Soc. Brot. sér. 2*, 8: 168-175.  
1950 Sur la caryologie de *Lapiedra Martinezii* Lag. *Bol. Soc. Brot. sér. 2*, 24: 291-322.
- HUTCHINSON, J.  
1959 *The Families of Flowering Plants*, ed. 2, 2: 646. Oxford.
- MAIRE, R.  
1933 Contributions à l'étude de la Flore de l'Afrique du Nord. *Bull. Soc. Hist. Nat. Afr. Nord*, 24: 229.  
1936 Sur les affinités du *Hannonia hesperidum* Br.-Bl. & Maire. *Bull. Soc. Hist. Nat. Afr. Nord*, 27: 77-78.  
1959 *Flore de l'Afrique du Nord*, 6: 47. Paris.
- MOOKERJEA, A.  
1955 Cytology of Amaryllids as an aid to the understanding of evolution. *Garyologia*, 7: 1-71.



MORION, I. K.

1965 The experimental taxonomy of the West African species of *Pancratium* L. (*Amaryllidaceae*). *Kew Bull.* 19, 2: 337-347.

NEVES, J. B.

1939 Contribution à l'étude caryologique du genre *Leucojum* L. *Bol. Soc. Brot. sér. 2*, 13: 545-572.

PAX, F. & HOFFMANN, K.

1930 *Amaryllidaceae* in ENGL. & PRANTL, *Nat. Pflanzenfam.* ed. 2, 15a: 391-430.

REESE, G.

1957 Über die Polyploidiespektren in der nordsaharischen Wüstenflora. *Flora*, 144: 598-634.

SATO, D.

1938 Karyotype alteration and phylogeny. IV. Karyotypes in *Amaryllidaceae* with special reference to the SAT-chromosomes. *Cytologia*, 9: 203-242.

SHARMA, A. K.

1956 A new concept of a means of speciation in plants. *Caryologia*, 9: 93-130.

SHARMA, A. K. & BAL, A. K.

1956 A cytological study of a few genera of *Amaryllidaceae* with a view to find the basis of their phylogeny. *Cytologia*, 21: 329-352.

TRAUB, H. P.

1963 *The Genera of Amaryllidaceae*. The American Plant Life Society.

WILSENACH, R.

1963 A cytotaxonomic study of the genus *Cyrtanthus*. *Cytologia*, 28: 170-180.



UM NOVO FUNGO  
ISOLADO DO RIZOMA DE *HEDYCHIUM*  
*GARDNERIANUM* ROSCOE  
«CONTEIRA»\*

*por*

ANICETA CLOTILDE DOS SANTOS

Laboratório de Patologia Florestal — Oeiras  
(Estação de Biologia Florestal)

*O Hedychium Gardnerianum* Roscoe, popularmente denominado «Roca de Vénus» (MENEZES, 1926), foi introduzido no Arquipélago dos Açores como planta ornamental onde lhe é dado o nome de «Conteira». Porém, devido às condições ecológicas destas ilhas, atingiu tal desenvolvimento e dispersão que constitui actualmente uma verdadeira praga.

As plantas de «Conteira» utilizadas neste trabalho foram colhidas pelo Eng. Silvicultor D. NATALINA FERREIRA DOS SANTOS DE AZEVEDO, em Junho de 1960, na Mata da Granja, próximo de Ponta Delgada, na Ilha de S. Miguel.

Os rizomas, a parte da planta em que apareciam sinais de podridão, apresentavam, além do micélio característico de *Armillaria mellea* (Vahl. ex Fr.) Kummer, um outro micélio branco, nalguns pontos levemente acastanhado, do qual fizemos isolamentos em meios culturais, tendo obtido os melhores resultados em aveia e malte a pH 4.5.

O desenvolvimento deste fungo é bastante demorado. Nos primeiros dias o inóculo começa por apresentar um micélio aéreo branco e abundante, que se estende ao longo da cultura e após quinze a vinte dias inicia-se a formação de manchas castanhas escuras junto à superfície do substrato. Só muito mais tarde começam a aparecer as pri-

\* Comunicação apresentada à 12.<sup>a</sup> Secção do XXVI Congresso Luso-Espanhol para o Progresso das Ciências — Porto, 22-27 de Junho de 1962.

meiras formações negras onde são originados os conceptáculos. Estes, muito ricos em esporos — «cirros de esporos» — têm superficialmente o aspecto de uma massa de cor branco-sujo, passando algumas vezes a amarelo-salmão.

A fim de completar as observações fizemos culturas em troncos de pinheiros esterilizados e obtivemos colónias com aspecto macroscópico e microscópico idêntico ao das culturas feitas em gelose.

O fungo apresentava nas culturas em meio gelosado e em troncos de pinheiros as características seguintes:

*Observações microscópicas*

Formações estromáticas esparsas 750-900 X 525-825  $\mu$ , cónico-obtusas, de vértice bastante proeminente, negras, contendo vários lóculos; lóculos de forma irregular e variada. 225  $\mu$  diam., de excípulo negro mais ou menos carbonáceo, revestido internamente por inúmeros esporóforos fasciculados, cilíndricos, na maioria simples, raramente bifurcados, hialinos, 12.6-16.2 X 1.6  $\mu$ ; esporos biformes: A — numerosíssimos, oblongo-ovóides, elipsóides com duas gotas, contínuos, hialinos, 5.4-9 X 1.8-2.7  $\mu$ ; B — raríssimos, filiformes, curvos numa das extremidades, hialinos, 16.2-23.4 X 1.4-1.6  $\mu$ .

No rizoma de *Hedychium Gardnerianum* Roscoe, Ilha de S. Miguel, pr. Ponta Delgada, Mata da Granja, Natalina de Azevedo, Junho 1960, s. n.: F. 241.

Fizemos várias tentativas para obter a forma perfeita deste fungo, mas ainda não conseguimos.

Portanto :

**SPHAEROPSIDALES (LÉV.) SACC.**

**SPHAERIOIDACEAE SACC.**

**Hyalosporae SACC.**

**Phomopsioides P. COSTA & CAM.**

**Phomopsioides Natalinae n. sp. (Fig. 1).**

*Stromatibus, in culturis, sparsis, 750-900 X 525-825  $\mu$ , obtuse conoides, profunde immersis, vertice tantum prominulis, atris intus plurilocularibus; loculis irregularibus 225  $\mu$*

diam.; excipulo atro fere carbonaceo; sporophoris numerosis, fasciculatis, cylindraceutis, simplicibus vel 2-furcatis, hyalinis, 12.6-16.2 X 1.6  $\mu$ ; sporulis, biformibus: A —oblongo-ovoides, ellipsoideis, biguttulatis, hyalinis, 5.4-9 X 1.8-2.7  $\mu$ ; B —paucis, hamatis, hyalinis, 16.2-23.4 X 1.4-1.6  $\mu$ .

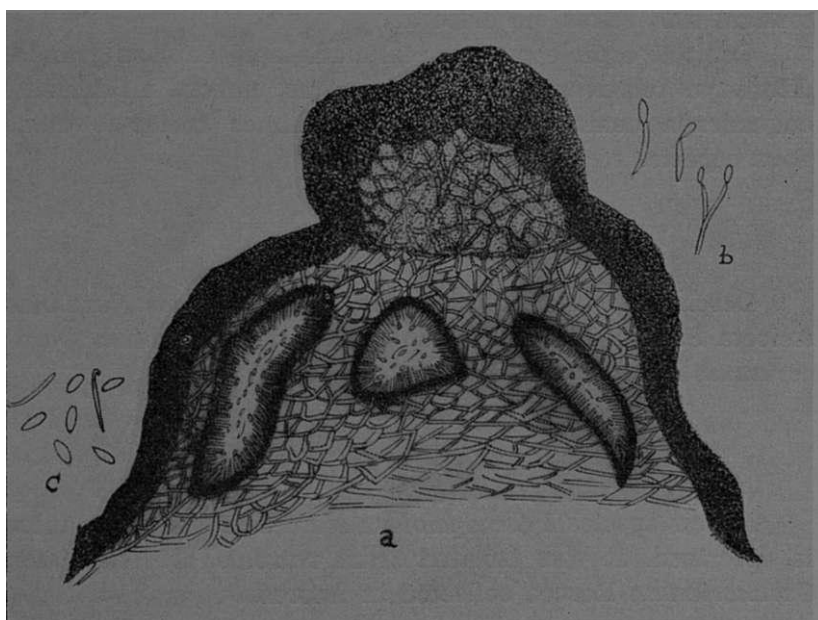


Fig. 1. — *Phomopsioides Natalinae*: a —estroma; b —esporóforos com esporos; c — esporos.

In rhizomate *Hedychii Gardneriani* Roscoe, Ilha de S. Miguel, Mata da Granja (*Natalina de Azevedo*, Junio 1960, s. n.: F. 241).

A claríssima Eng. Silv. D. NATALINA DOS SANTOS DE AZEVEDO dicata especies.

MARIA E. A. PEREIRA COSTA & E. SOUSA DA CÂMARA (1954) criaram o género *Phomopsioides*, com o qual o fungo por nós agora estudado apresenta grandes afinidades. Os mesmos autores, em 1955 (MARIA R. SOUSA DIAS & E. SOUSA DA CÂMARA), e ainda ANICETA C. DOS SANTOS & E. SOUSA DA CÂMARA, no mesmo ano, citam nos seus trabalhos fungos do mesmo género.

Em 1958, ANICETA C. DOS SANTOS determinou um outro *Phomopsioides* em *Poinsettia (Euphorbia) pulcherrima* (Willd.) R. Grah.

Pelas características atrás citadas, fomos levados a incluir o fungo encontrado no *Hedychium Gardnerianum* Roscoe no mesmo género, embora as nossas observações tenham sido feitas em cultura.

Como a espécie por nós estudada apresentasse grandes diferenças relativamente às já descritas, embora nitidamente enquadrada dentro do género, concluímos tratar-se duma nova espécie.

#### SUMÁRIO

Descreve-se uma nova espécie, *Phomopsioides Natalinae* Aniceta Santos. Foi isolada do rizoma de *Hedychium Gardnerianum* Roscoe, colhido nos Açores.

#### SUMMARY

A new species *Phomopsioides Natalinae* Aniceta Santos is described. It was isolated from rhizome of *Hedychium Gardnerianum* Roscoe collected in Azores.

#### BIBLIOGRAFIA

- COSTA, MARIA E. A. PEREIRA DA & CÂMARA, E. SOUSA DA  
 1954 *Species Aliquae Mycologicae Lusitaniae. Portug. Acta Biol.* (B), 4 (3): 335.  
 1955 *Species Aliquae Mycologicae Lusitaniae. Agron. Lusit.* 17: 157-158.
- DIAS, MARIA R. DE SOUSA & CÂMARA, E. SOUSA DA  
 1955 *Fungi Lusitaniae XI. Agron. Lusit.* 17 (2): 104-106.
- MENEZES, C. A.  
 1926 *Novos subsídios para o estudo da flora do Arquipélago da Madeira. Brotéria*, 22: 23.
- SANTOS, ANICETA C.  
 1958 *Uma nova espécie de fungo na Poinsettia (Euphorbia) pulcherrima (Willd.) R. Grah. Bol. Soc. Brot.* 32 (2.ª Sér.): 297-299.
- SANTOS, ANICETA C. DOS & CÂMARA, E. SOUSA DA  
 1955 *Fungi Lusitaniae XIII. Agron. Lusit.* 17: 144-145.

**PHOMOPSIS CASUARINAE (F. TASSI)  
DIEDICKE \***

*por*

**ANICETA CLOTILDE DOS SANTOS**

Laboratório de Patologia Florestal — Oeiras  
(Estação de Biologia Florestal)

**INTRODUÇÃO**

No Horto do Laboratório de Patologia Florestal, na Quinta do Marquês, em Oeiras, vimos notando há tempo o aparecimento de tumores nos troncos e ramos das Casuarinas, especialmente na *Casuarina humilis* Otto & Dietr.<sup>1</sup>.

Este aspecto começou a tornar-se mais evidente em Agosto de 1961, verificando-se que as árvores, embora com aspecto saudável e verde, apareciam com pequenas formações que a pouco e pouco se avolumavam, atingindo o diâmetro aproximado de 4 X 5 cm. Estes tumores, inicialmente de cor amarelada, tornam-se acastanhados e finalmente negros.

A observação macroscópica levou-nos inicialmente a atribuir estas galhas a bactérias do tipo «crown-gall». Porém, por observação microscópica, verificámos a formação de picnídios, na Primavera e Verão, sobre a superfície das mesmas, os quais se apresentam com aspecto de pequenas pontuações negras. Internamente os tecidos apresentavam-se invadidos por hifas.

Segundo alguns autores, estas formações podem ser devidas a diversos agentes, entre eles, insectos, bactérias, fungos (BAXTER, 1952) e até por possíveis associações dos mesmos (CARTER, 1962).

\* Comunicação apresentada à 14.<sup>a</sup> Secção do XXVII Congresso Luso-Espanhol para o Progresso das Ciências — Bilbao, 20-24 de Julho de 1964.

<sup>1</sup> As espécies *C. Cunninghamiana* Miq., *C. glauca* Sieb. e *C. stricta* Ait., em cultura do mesmo local, não mostram sinais de infecção.

O agente responsável por estas formações parece ser o *Phomopsis casuarinae* (F. Tassi) Diedicke, aliás já citado por CÂMARA (1929), em *Casuarina stricta* Dry and, como *Phoma casuarinae* F. Tassi, considerado como parasita fraco e que penetra nos ramos e troncos através de feridas (BAXTER, 1952; BOYCE, 1961; e CARTER, 1961).

Duma maneira geral, os fungos do género *Phomopsis* são considerados como parasitas fracos; porém BIRCH (1935) considera principalmente o *P. strobilifera* fortemente parasita, produzindo cancro no tronco de *Pinus radiata* D. Don. Segundo BOYCE (1961), certos *Phomopsis*, como *P. (Phacidio-pycnis) pseudotsugae* (Wilson) Hahn. e *P. lokoyae* Hahn., causam cancos em *Pseudotsuga taxifolia* (Lam.) Br. = *P. menziesii* (Mirb.) Franco e *Abies*, e o *P. boycei* Hahn, em *Abies concolor* Lind. & Gord.

A espécie detectada por NATALINA DE AZEVEDO (1961), embora pouco frequente e não causando grandes estragos, pode, no entanto, por vezes, deformar muito os exemplares atacados, dando-lhes aspecto muito desagradável.

#### IDENTIFICAÇÃO

Nos cortes examinados notavam-se bastantes hifas negras que atravessavam as células em diversas direcções e, na periferia, picnídios gregários (2 a 3), raramente solitários, elipsóides, papilados, escuros, 262.3-375 X 165-225  $\mu$ ; esporóforos fasciculados, filiformes, 12.6-16.2 X 1.5-1.8  $\mu$ ; esporos oblongos, elípticos, com 2 gotas, hialinos, 5.4-9 X 1.9-2.2  $\mu$ .

Nos tumores de *Casuarina humilis* Otto & Dietr., colector NATALINA DE AZEVEDO, Agosto 1961 s. n.: F. 286, e ANICETA SANTOS, Maio 1963.

Atendendo à bibliografia consultada, dentro deste âmbito, as nossas observações harmonizam-se com as descritas por DIEDICKE (1911), pelo que concluimos que o fungo encontrado por nós é o *Phomopsis casuarinae* (F. Tassi) Diedicke.

Esta espécie foi identificada pela primeira vez, em 1896, por TASSI como *Phoma casuarinae*. Este taxonomista apresentou para o fungo a seguinte descrição:



«Peritheciis sparsis vel sub-seriatibus, paucis, globulosis, epidermide velatis, 200-250  $\mu$  diam., late pertusis, contextu luteo-fuligineo; sporulis oblongo-ellipticis, utrinque attenuatis, 2 vel 4 obsolete guttulatis, hyalinis, 6-8 X 2-3  $\mu$ , basidiis filiformibus triplo longioribus suffultis.

Hab. in ramulis emortuis *Casuarinae equisetifoliae*, in Horto Botanico Senensi».

Em 1911, DIEDICKE, integra-o nos *Phomopsis* como *Phomopsis casuarinae* (P. Tassi). Tab. I, fig. 6. «Diaporthe —; auf *Casuarina* Allescher VII p. 792). A länglich-elliptisch, beidendig verschmälert, mit zwei bis vier Öltropfen, 6-8 X 2-3  $\mu$ . Sporenträger fadenförmig, dreimal länger als die sporen.

Berst gerade, nadeiförmig 13-16 X 1-1.5  $\mu$ , späters förmig oder hakig gebogen, 20 X 1-1.5  $\mu$ . Gehäuse sehr gross (fast 1 mm). Dick warzenförmig, oben unregelmässig abgestutzt, sehr verdickt, unten vielfach kammerig».

Em Portugal, CÂMARA (1929) determinou o *Phoma casuarinae* F. Tassi: «In ramulis emortuis *Casuarinae strictae* Dryand, horto Coloniale Ajudense, Ulissippone, leg. *Branquinho de Oliveira*, Junio, 1927».

#### ISOLAMENTOS E CULTURAS

Procedemos aos isolamentos a partir de esporos retirados dos picnídios e de tecido obtido por corte à mão do material atacado. Utilizámos, como meio de cultura, gelose de Dox.

Das culturas obtidas seleccionámos uma que, pelo seu aspecto, se assemelhava a outras do género *Phomopsis* existentes na Micoteca deste Laboratório.

Fizemos então a sementeira do micélio em gelose de Dox, cenoura, aveia, milho, e incubámos em estufa à temperatura de 25° C. Obtivemos melhor desenvolvimento micelial em gelose de malte.

Para o estudo das suas características culturais, utilizámos o mesmo meio de cultura, verificando que inicialmente se desenvolveu um micélio branco, algodinoso, com predominância de hifas aéreas. Depois de cerca de 20 dias de incubação aparecem corpos escuros muito abundantes donde se liber-

tam cirros de esporos, idênticos aos que observámos nas Casuarinas doentes.

#### ESTUDO HISTOLÓGICO

Para melhor exame das formações tumorais, fixámos estas com Fixador I, incluímos-las em parafina e cortámos as peças no micrótomo a 14  $\mu$ .

Depois dos cortes montados e devidamente preparados, usámos corantes específicos para bactérias (Orange G) e fungos (Azul de algodão e Safranina).

Após cuidadosa observação ao microscópio, notámos que, na periferia, se encontravam conceptáculos do fungo determinado e que as hifas invadiam os tecidos tumorais, atravessando as paredes celulares.

#### SUMÁRIO

No Horto do Laboratório de Patologia Florestal, na Quinta do Marquês, em Oeiras, vimos notando há tempo o aparecimento de tumores nos troncos e ramos de *Casuarina* spp., especialmente na *Casuarina humilis* Otto & Dietr.

As espécies *C. cunninghamiana* Miq., *C. glauca* Sieb. e *C. stricta* Ait., em cultura no mesmo local, não mostram sinais de infecção.

Pelo aspecto apresentado por estas formações, fomos levados de início a considerá-los como tumores do tipo «crown gall». Porém, o estudo histológico, com colorações especiais para determinação de bactérias nos tecidos vegetais, levou-nos a pôr de lado esta hipótese.

No entanto, a observação microscópica de cortes imediatos permitiu-nos localizar picnídios em grande número na superfície dessas formações que, pelo aspecto macroscópico, pela sua constituição histológica e pelo agente que lhe dá origem devem ser considerados galhas.

Assim, determinámos um fungo, o *Phomopsis casuarinae* (F. Tassi) Diedicke, de que fazemos a descrição.

Procedemos aos isolamentos a partir de esporos retirados dos picnídios e obtivemos culturas com aspecto semelhante

a outras do género *Phomopsis* existentes na Micoteca do Laboratório. Após algum tempo de desenvolvimento foi possível, por observação de picnídios formados, confirmar que o fungo em cultura correspondia à espécie por nós detectada.

#### SUMMARY

In experimental plots the rearing-place of the Forestry Pathology Laboratory, at Quinta do Marquês, in Oeiras, we are detecting some tumours on the stems and branches of the *Casuarina* spp., especially the *Casuarina humilis* Otto & Dietr.

The exemplars of the species *C. Cunninghamiana* Miq., *C. glauca* Sieb. and *C. stricta* Ait., don't show any symptom of disease, although its culture at the same place.

The aspect of those formations seem very similar to the tumours of the type «crown gall». However doing its histopathological study by special colorations for determining bacterias in the vegetable tissue, we decided to change our first hypothesis.

So, by microscopic observation of some immediate tangencial sections we could find a great number of pycnidia on the surface of those formations which by its macroscopic aspect, its histologic constitution and the agent that gives its origin must be considered galls.

We determine that way a fungus the *Phomopsis casuarinae* (F. Tassi) Diedicke, which description we do.

We made the isolations from the spores removed from the pycnidia and we obtained some cultures of a similar aspect with others of the class *Phomopsis* that can be seen in the «myco cabinet» of the Laboratory. Some time after by observing the pycnidia we confirmed that the fungus in culture answered to the species we detected.

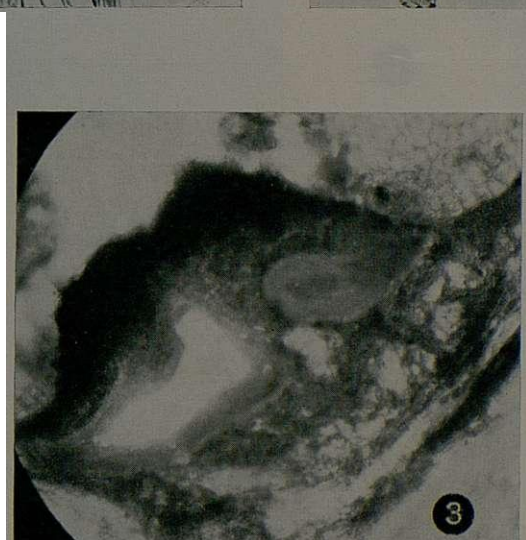
## BIBLIOGRAFIA

- BAXTER, D. V.  
1952 *Pathology in Forest Practice*. John Wiley & Sons, Inc., New York. Chapman & Hall Ltd. London.
- BIRCH, T. T. C.  
1935 A *Phomopsis* Disease of Conifers in New Zealand. *New Zeal. State Serv. Bull.* n° 7.
- BOYCE, J. S.  
1961 *Forest Pathology*. Mc Graw-Hill Book Company, Inc. New York, Toronto, London.
- CÂMARA, E. S. DA  
1929 *Mycetes aliquot novi aliique in mycoflora Lusitaniae ignoti*. *Rev. Agron.* 17 (2): 26.
- CARTER, J. C.  
1961 *Illinois Trees: Their Diseases*. *Illinois Natural History Survey Circular* 46.
- CARTER, W.  
1962 *Insects in Relation to Plant Disease*. Interscience Publishers. John Wiley & Sons. New York-London.
- DIEDICKE, H.  
1911 Die Gattung *Phomopsis*. *Ann. Mycol.* 9: 21.
- TASSI, F.  
1896 *Novae Micromycetum species descriptae et iconibus illustratae*. *Rev. Mycol.*: 161.

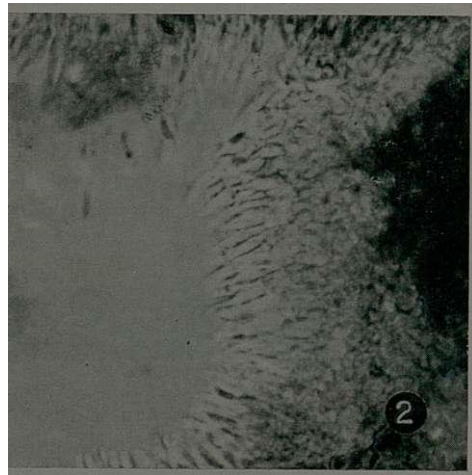
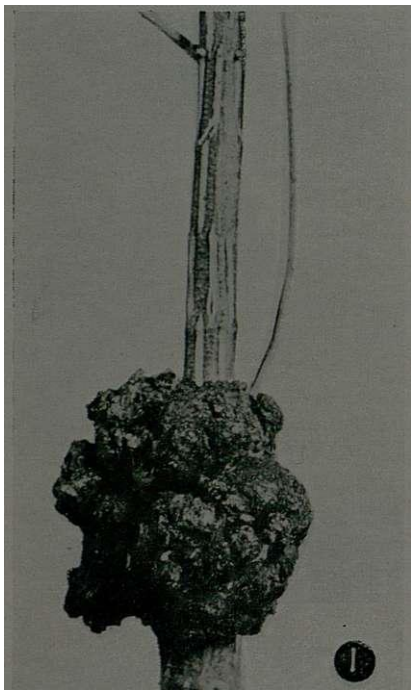
# ESTAMPAS

ESTAMPA I

- Fig. 1.** — Aspecto dum ramo muito novo de *Casuarina humilis* Otto & Dietr. com galhas.  
A young branch of *Casuarina humilis* Otto & Dietr. with some galls.
- Fig. 2.** — Ramo mais lenhificado com galhas bem desenvolvidas.  
A woody branch with well developed galls.
- Fig. 3.** — Picnídios gregários de *Phomopsis casuarinae* (F. Tassi) Diedicke.  
Two gregarious pycnidia of *Phomopsis casuarinae* (F. Tassi) Diedicke.



EST. II





ESTAMPA II

**Fig. 1.** — Pormenor duma das formações.  
A detail of gall.

**Fig. 2.** — Esporófitos e esporos do fungo.  
A detail of a pycnidium section showing the sporophores and the spores.



THE FAMILY  
*CISTACEAE* IN TROPICAL AFRICA

by

B. VERDCOURT  
Royal Botanic Gardens, Kew

UNTIL quite recently the family *Gistaceae* was not known from continental tropical Africa. In 1954, GILLET described a species from the Somali Republic (N. Region) based on three gatherings, two of which had been communicated to Kew by the East African Herbarium, Nairobi. Other species have been collected and it is the object of this short paper to deal with these as far as is possible at present. The occurrence of the family in the north-eastern part of tropical Africa is perhaps not surprising since two species have been known from southern Arabia for many years and another was described from the Cape Verde Islands well over 100 years ago.

KEY TO THE SPECIES OF *HELIANTHEMUM* KNOWN FROM  
TROPICAL AFRICA AND SOUTHERN ARABIA

Leaves narrowly linear-cylindrical, 1.2-3.7 cm. long, 0.8-1.5 mm. wide . . . . . *H. cylindrifolium* sp. nov.  
(Somali Republic)

Leaves not cylindrical, mostly elliptic and much broader:

Flowers sessile or almost so; style rather mushroom-shaped; stamens 6-40:

Sepals accrescent in fruit, about 5 mm. wide; stems often decumbent, not very pale nor whitish; stigma and style about 2 mm. long; indumentum of inflorescence rhachis fine and silky . . . *H. stipulatum* (Forsk.)

C. Christensen  
(French Somaliland)

Sepals not so accrescent in fruit, scarcely attaining **3** mm. in width; stems mostly erect, pale; stigma and style about **1** mm. long:

Indumentum of inflorescence rhachis coarsely granularly stellate . . . . . *H. ellipticum* (Desf.) Pers.  
(Central Sahara)

Indumentum of inflorescence rhachis finer and silkier; stamens often as few as **6**, rarely up to **25** . . . . .  
. . . . . *H. lippii* (L.) Dum. Cours.  
(S. Arabia and Tibesti)

Flowers pedicellate:

Inflorescence well exceeding the leaves or, if almost as long, then plant a dwarf woody herb about **5** cm. tall; stamens about **30-50**<sup>1</sup>:

Leaves very small, inrolled, about **6** × **2** mm.; pedicels **3** mm. long; inflorescence much exceeding the leaves; ovary densely silvery pubescent; erect shrublet **20** cm. tall with slender branches . . . . .  
. . . . . *H. argyraeum* Bak.  
(S. Arabia)

Leaves larger, up to **14** × **8** mm.:

Leaves with very fine stellate tomentum; inflorescence well exceeding the leaves; pedicels about **4** mm. long; ovary densely hairy. . . . .  
. . . . . *H. gorgoneum* Webb  
(Cape Verde Is.)

Leaves with fine pubescence and numerous longer apparently simple hairs about **1** mm. long (actually joined at the base); inflorescence **1-2**-flowered, just exceeding the leaves; pedicels **4.5-12** mm. long; ovary pubescent at apex and along the sutures . . . . .  
. . . . . *H. humile* sp. nov.  
(Somali Republic)

<sup>1</sup> In both *argyraeum* and *gorgoneum* the number is many more than that claimed by GROSSER (Pflanzenreich: *Gistaceae*) but in neither case have flowers been boiled up since the material is sparse; the numbers indicated can be seen in the dry state and are doubtless an underestimate.

Inflorescence scarcely, if at all exceeding the leaves; woody shrub 50-70 cm. tall; leaves 1.1-2.3 cm. long, 6-10 mm. wide; stamens about 100 . . . . .  
 . . . . . *H. somalense* Gillett  
 (Somali Republic)

DESCRIPTION OF NEW SPECIES AND NOTES  
 ON SOME OTHERS

***Helianthemum cylindrifolium*** Verdcourt sp. nov.

A congeneribus foliis lineari-cylindricis floribus axillari-  
 bus valde differt.

*Suffrutex* 0.5 m. altus, ramis basi lignosis circa 5 mm. diametro, cortice saturate griseo-brunneo desquamante obtectis. *Ramuli* juveniles 1.5 mm. diametro, velutine appresse griseo-tomentosi, inter stipulas linea elevata transverse notati. *Internodia* 0.3-3 cm. longa. *Folia* opposita; lamina lineari-subcylindrica, 1.2-3.7 cm. longa, 0.8-1.5 mm. lata, apice acuta, basi angustata, dense incano-tomentosa, supra linea impressa longitudinaliter excavata; petiolus 0.5-1.5 mm. longus; stipulae lineari-lanceolatae, 1.5 mm. longae, incanae. *Flores* axillares, solitarii vel gemini, pedicellis 0.7-1.2 cm. longis incanis. *Sepala* 2 exteriora lineari-oblonga, 2.5 mm. longa; 3 interiora majora, oblongo-elliptica, 7-8.5 mm. longa, 5 mm. lata, apice acuta, 5-nervata, intus glabra, extra tomentosa. *Petala* 5, flava, obovata, 5-6(-7.5) mm. longa, 2.8-3(-5) mm. lata, venosa, margine subintegra. *Stamina* circa 90, filamentis 3-4 mm. longis apice leviter incrassatis, antheris 0.5 mm. longis. *Ovarium* pseudo-3-loculare, placentis valde intrusis, 1.5 mm. longum, dense pilosum, ovulis in toto 15-21. *Stylus* 5.3 mm. longus, flexuosus, apice incrassatus, glaber, stigmatibus parvo. *Capsula* immatura 5 mm. longa.

Icon. nostr. : tab. I et II.

SOMALI REPUBLIC (N. REGION). North of Erigavo, slope of isolated gypseous hillock, 1980 m., 27 Sept. 1960, *Hemming* 1943 (EA, holotype;  $\times$ , isotypes) : soft white-leaved bush with yellow flowers, up to 45 cm. high, vernacular name (Somali)

«sera adeis». 24 km. west of Erigavo, Dyaha, shallow soil on limestone/gypsum hills, 1500 m., 1 June 1958, *Boaler B 98* (x) : low shrub to 30 cm.

The general appearance of the foliage is almost that of a *Suaeda*; usually there are condensed leafy shoots about 2 cm. long in the axils giving a pseudoverticillate effect. In the larger sepals there are three nerves to the right of the costa and one to the left. The indumentum is not strictly stellate on the stems and foliage but the hairs are fasciculate lacking a common stalk; on the sepals there is a mixture of simple and fasciculate hairs. Some specimens of *H. lavan-dulifolium* Mill. show a very slight resemblance in foliage but the leaves are not genuinely terete in that species and the multi-flowered inflorescence is totally different.

***Helianthemum stipulatum*** (Forsk.) C. Christensen in Dansk. Bot. Arkiv 4(3) : 20 (1922) — Tab. III.

FRENCH SOMALILAND. Dai Slopes, stony ground, 1050 m., 2 Feb. 1954, *Popov 1334* (EA; K) : small woody herb to 10 cm. tall.

The plant cited is undoubtedly very close to *H. stipulatum* and closely resembles material from Cyprus and other parts of the eastern Mediterranean. The sepals certainly look as if they are accrescent but further material is required to prove this. The texture of the indumentum is exactly right and I feel that the plant is at least no more than varietally distinct. Mr. MEIKLE, who has seen the species in the field in Cyprus, agrees with this determination which marks an interesting extension of range. A brief description of the specimen is given below.

Small herb 5-10 cm. tall with a woody but possibly annual rootstock. Leaves 1-1.5 cm. long, 5-6 mm. wide, rather coarsely stellately pubescent; costa impressed above, prominent below together with the lateral nerves. Inflorescences exceeding the leaves, several-flowered. Flowers sessile; sepals 5 mm. long, with long white hairs as well as a fine stellate pubescence. Stamens 16-21. Ovary pilose with 30-34 ovules. Stigma mushroom-shaped.

**Helianthemum ellipticum** (Desf.) Pers., Syn. 2: 78 (1806).

CENTRAL SAHARA. 25.6 km. south of Tamenrasset, foothills of the Hoggar Mts., in rocky valley with *Aerva javanica* and *Cymbopogon schoenanthus*, 1200 m., 15 Nov. 1952, *Money-Kyrle* Sah. 45 (κ). Saharanet, dry ground, 1770 m., 10 March 1931, *Meinertzhagen* 130 (κ). Oued Tit, rocky slopes; 1320 m., 12 March 1931, *Meinertzhagen* 150, 151 (κ).

This is a well-characterised species with narrow, scarcely accrescent sepals and discrete, rather granular, stellate indumentum on the stems, inflorescence rhachises and sepals; there are also longer, apparently simple hairs on the sepals.

**Helianthemum lippii** (L.) Dum. Cours., Le Botaniste Cultivateur 3: 130 (1802); Pers., Syn. 2: 78 (1806); Grosser in Pflanzenreich, *Cistaceae*: 98 (1903); Burt and Lewis in Kew Bull. 4: 305 (1949).

Some additional specimens are cited here.

ARABIA. Oman: Jebel Fayah, in sandy soil, Feb. 1952, *Lee Oldfield* 54 (BM; EA): an erect woody herb, leaves elliptic, veined, fleshy (*sic*), alternate; flowers tiny, yellow; very common; vernacular name (Arabic) «charee» and Sharjah, Dec. 1950, *Lee Oldfield* 12 (BM; EA) and on coast between Sharjah and Ghezira, sandy areas, 19 Feb. 1950, *Guichard* KG 89/OMAN (BM; EA).

CHAD. Tibesti, Tarso Toussidé, on plateau, rhyolites, 1500-1800 m., 25 Aug. 1957, *Grove* 45 (κ): vernacular name «korkubu».

**Helianthemum humile** Verdcourt sp. nov.

A congeneribus habitu humili, pedicellis 4.5-12 mm. longis, ovario pauci-ovulato, capsula subglabra differt.

*Herba* parva, usque 5 cm. alta, basi lignosa; caulis 5 mm. diametro cortice rugoso obtectus. *Ramuli* breves, dense albido-pilosi. *Internodia* circa 6 mm. longa. *Folia* opposita; lamina elliptica, 8.3-10.5 mm. longa, 2.5-3.5 (-4.5) mm. lata, supra velu-

tine pubescens, subtus dense pubescens et ubique pilis circa 1 mm. longis obiecta, margine revoluta, nervo mediano et nervis lateralibus utrinque 3-4 supra impressis subtus prominentibus; petiolus 1 mm. longus; stipulae lanceolatae, circa 2 mm. longae, pilosae. *Pedunculi* 4-6 mm. longi, 1(-2)-flori, pedicellis 4.5-12 mm. longis, bracteis 2 lanceolatis. *Sepala* 2 exteriora linearia, 3.5 mm. longa, 0.8 mm. lata, pilosa et pubescentia, subacuta vel obtusa, mucronulata; 3 interiora oblique oblonga, 7 mm. longa, 3.8 mm. lata, intus glabra, extra pilosa et pubescentia, 5-7-rubro-venosa. *Petala* 5, flava, obovata, 7 mm. longa, 5 mm. lata. *Stamina* circa 50, filamentis 3.5-4.5 mm. longis, antheris 0.5 mm. longis. *Ovarium* ovoideum, 0.8 mm. longum, apice et ad suturas pilosum, placentis 3 ovulis in toto 8-9. *Stylus* 4-6.2 mm. longus, stigmatе parvo. *Capsula* ovoidea, leviter 3-angulata, 5 mm. longa, 3.5 mm. lata, glabra vel apice pilis paucis ornata.

Icon. nostr.: tab. IV.

SOMALI REPUBLIC (S. REGION). Mt. Surud, eastern slope, on limestone slopes, 2310 m., 30 Oct. 1956, *Bally* 11283 (EA, holotype;  $\kappa$ , isotype): dwarf woody plant with bright yellow flowers.

*Helianthemum somalense* Gillett in *Kew Bull.* 9: 493 (1954).

SOMALI REPUBLIC (N. REGION). Near Erigavo, limestone hill slopes, 15 Dec. 1953, *Popov* 1147 ( $\kappa$ , holotype; EA, isotype): erect woody herb, height 60 cm.; flowers yellow; vernacular name (Somali) «wan'ad». Mpledere, 10° 9' N., 47° 15' E., circa 1500 m., 24 Jan. 1945, *Glover and Gilliland* 649 (EA; K): golden-flowered shrublet of 50-70 cm.; vernacular name (Somali) «wanad». Buran (Sorl), 10° 13' N., 48° 47' E., 900 m., on rocky ground, 6 Oct. 1929, *Collenette* 120 (K): plant of 20 cm., flowers green; stamens yellow; vernacular name (Somali-Warsangeleh) «gedad» (a variant with about 50 stamens and alternate leaves).

GILLETT stated that his new species seemed to occupy an isolated position in the genus and I have been equally in



difficulty in placing my two new species. Using GROSSER'S key they appear to come near to section *Pseudomacularia* Grosser. Until ripe seeds are available the possibility of new sections being required is left in abeyance. *H. stipulatum*, *H. ellipticum*, *H. lippii* and *H. gorgoneum* belong to the section *Eriocarpum* Dunal. *H. argyraeum*, treated by GROSSER as a synonym of *H. ellipticum*, is a distinct species placed by SCHWARTZ [Mitt. Inst. allgem. Bot. Hamburg 10: 169 (1939)] in the section *Helianthemum* itself.

The distribution of the various species is shown in tab. V. The curious nature of the new species described above seems to support GILLETT'S contention that the genus was formerly more widely distributed in Africa but some of the other species may be due to more recent immigrations.

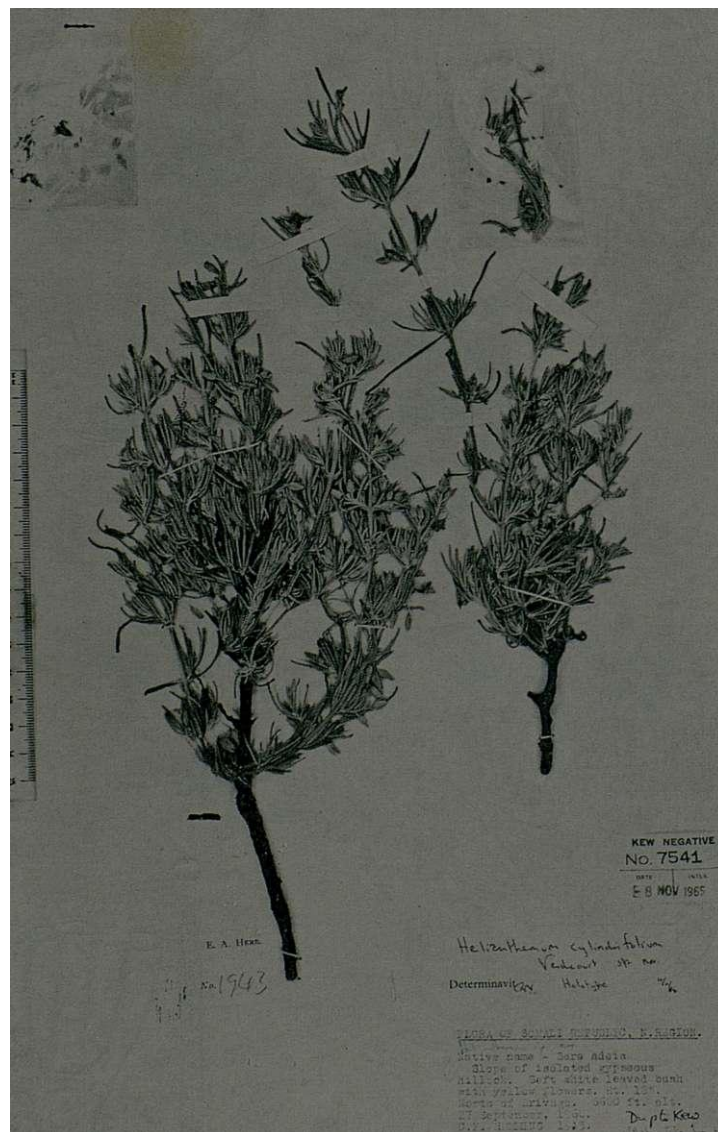
My thanks are due to the Director, Royal Botanic Gardens, Kew, for permission to use the Kew herbarium and library and to him and also to Mr. ZABEAU for photographing two of the sheets concerned and enlarging a further photograph of my own.



TAB. I



TAB. II



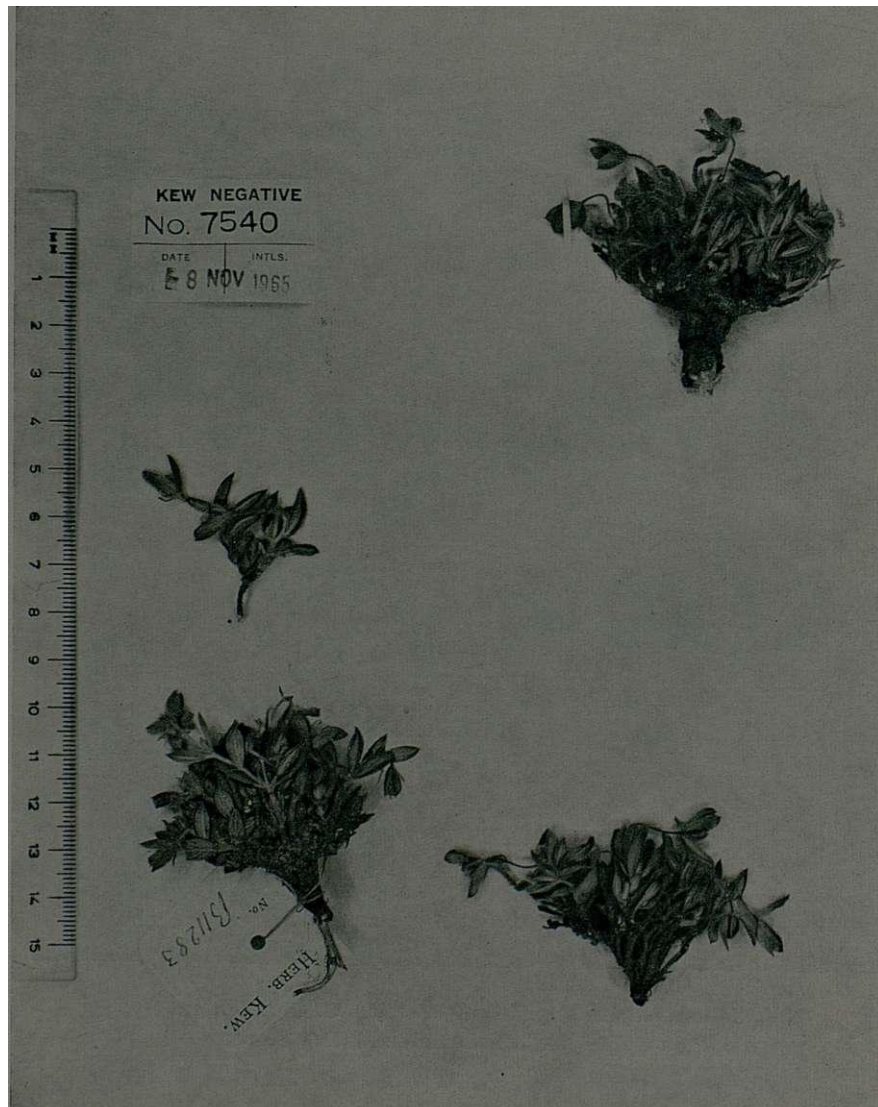
***Helianthemum cylindrifolium* Verdcourt, sp. nov.**  
**Holotype.**

TAB. III



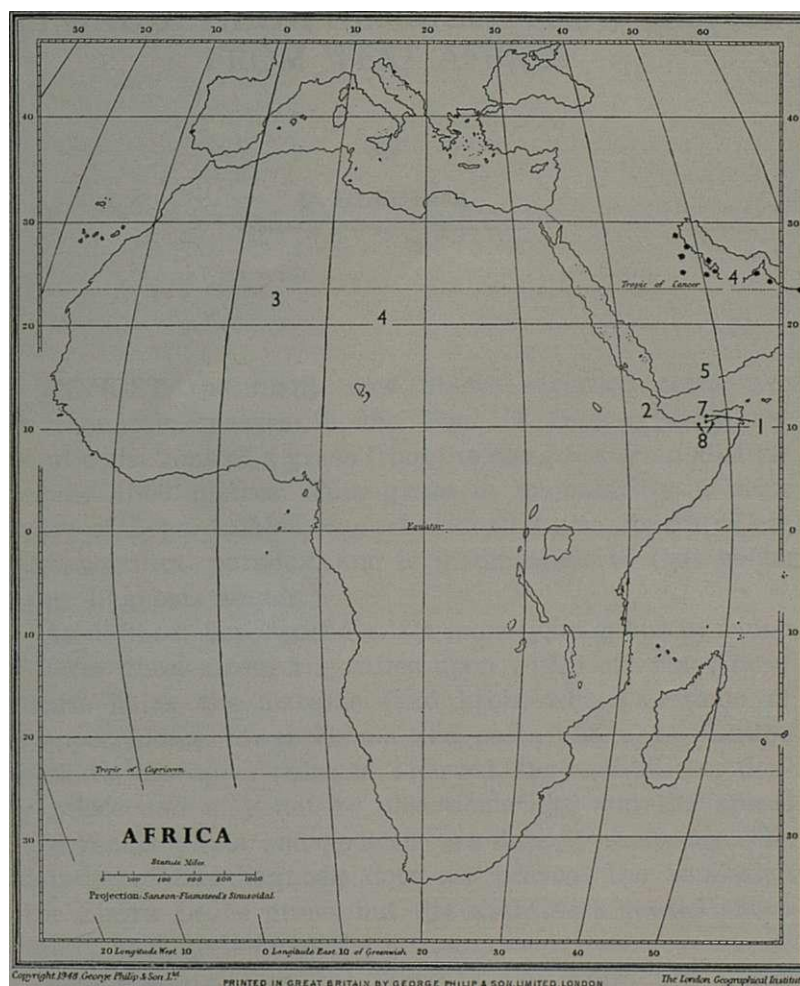
***Helianthemum stipulatum* (Forsk.) C. Christensen**  
***Popov* 1334, French Somaliland, Dai Slopes.**

TAB. IV



*Helianthemum humile* Verdcourt  
Composite photograph made up of holotype and isotype.

TAB. V



**Distribution of *Helianthemum* species in tropical Africa,**  
1) *cylindrifolium*, 2) *stipulatum*, 3) *ellipticum*, 4) *lippii*,  
5) *argyraeum*, 6) *gorgoneum*, 7) *humile*,  
8) *somalense*.





**LEPARGOCHLOA GLABRA; A NEW SPECIES  
FROM WEST AFRICA**

*by*

**D. GLEDHILL**

University College of Sierra Leone

A MONGST the many new plants recorded from two mountain masses in the East of Sierra Leone are several collections of a grass from the meadows at an altitude of some 1300 metres. This grass is undoubtedly a close relative of *Lepargochloa rhytachnoides* Launert, but presents a nomenclatural paradox, and is inadmissible to that genus as the diagnosis stands.

As defined, *Lepargochloa* is a monotypic genus in which the lower glumes bear rugosities upon which are clusters of setiform hairs, the margins (and keels, where present) of the upper glume, lower lemma and palea and upper lemma are ciliate, the upper palea is 2-nerved, the racemes are densely pilose and may not be disarticulating, and the apices of the rachis joints and pedicels are densely sericeous. The remainder of the diagnosis does not prevent the admission of the Sierra Leone grass, but the characters quoted above certainly exclude it from the genus.

The only hairs on the Sierra Leone grass are a few minute cilia towards the apex of the lower glume and below the aristulate apex of the upper glume, at the junction of the leaves with their sheaths, and within the base of the involute leaves. The racemes are usually deeply anthocyanosed, disarticulating at maturity; the base of the disarticulating spikelets and rachis joints bearing a protruding knob of tissue and the apex of the joint having a corresponding depression. The spikelets gape at anthesis, due to the impression of a narrow cartilaginous band at the base of the lower

glume. The caryopsis, unknown for LAUNERT'S type species, is ovate-lanceolate, 4.5 mm long, has an embryo which occupies half the length of the grain and a large, sub-circular, sub-basal, dark brown hilum.

I do not consider that the excluding characters warrant the erection of a second monotypic genus, even though the two populations are as widely separated as Angola and Sierra Leone and the generic name 'Atrorubrochloa' would be more appropriate for the Sierra Leone grass. I propose, therefore, to amend the diagnosis of *Lepargochloa* Launert (in Bol. Soc. Brot. sér. 2, 37: 82-4, 88-9. 1963) in order to accommodate the Sierra Leone grass in it. This necessarily perpetuates another botanical paradox; the Sierra Leone grass becoming the 'glabrous, silver-feathery shoot'.

The characters which are important in defining the genus are those which distinguish it from *Loxodera* Launert, *Lasiurus* Boiss., *Elionurus* Humb. & Bonpl., *Rhytachne* Desv. and *Rottboellia* Linn.

*Lepargochloa* Launert, emend. D. Gledhill

Gramen cum racemis solitariis spiciformis ad apices culmorum. Culmi sine ramis, paucinodi, flexuosi. Spiculae binae ad nodos rhacheos, altera sessilis in excavationibus rhacheos inserta, altera pedicellata, similes, biflorae; flosculo inferiore ♂, superiore hemaphrodito vel raro ♀ in spicula pedicellata. Gluma inferior coriacea iugata; iugis rugosis, raro erugosis; 7-nervis. Gluma superior plusminusve membranacea, cymbaeformis, carinata, acuta vel aristulata, 5-nervis. Lemma inferior membranaceum, 2-3 nervis. Palea inferior tenuiter membranacea, 2-nervis. Lemma superior tenuiter membranaceum 2-3 nervis. Palea superior tenuiter membranacea, 0-2 nervis. Lodiculae 2, cuneatae, oblique truncatae, laciniatae. Stamina tria in flosculo utroque. Ovarium cum stylis 2, utrisque instructis stigmati plumoso emergente e latere spiculae anthesi hiantis. Rhacheos articuli transverse, ad nodos disarticulantes, intus planiusculi, extus paullo convexi, apice incrassati sed haud appendiculati. Pedicelli haud articulis fusi, similes articulis sed breviores. Callus angustus paullo depressus.

Species **duae**, Africae tropicae occidentalis inhabitentes.  
Typus generis *Lepargochloa rhytachnoides* Launert.

*Lepargochloa glabra* D. Gledhill, spec. nov.

Gramen perenniale dense caespitosum ad 90 cm altum crescens, e rhizomati brevi et erecto. Culmi solitarii, sine ramis, erecti, tenues, nodiferi 2-3, nodis glabris angustis et fuscis. Internodi tenues, striati longiores vaginis, pedunculo supremo apicem versus incrassato longe exserto, concavo siccato. Folia basi linearia flexuosa, fuso-involuta raro explanata, ad 60 cm longa et 2 mm diametro secta, levia ciliata solum in margine auricularum membranacearum cum vagina conjuncto, breviter et dense pilosa basi medi-nervi super ligulam. Folia culmi longitudine supra decrescentia, supremo lanceolato, longo ad 3 cm et lato ad 4 mm. Ligula obtuse truncata, membranacea, 1 mm longa. Vaginae leves striatae, epilosae, basi persistentes et saepissime ambustae. Racemi solitarii apice culmorum, erecti, glabri, ad 6 cm longi et 5 mm lati. Articuli late lineares, 7 mm longi, intus plani, extus paullo incrassati, striati, glabri. Callus angustus transversus. Spiculae sessiles ovato-lanceolatae, glabrae vel minute ciliatae in marginibus apicem versus, 6-7 mm longae. Gluma inferior aequalis spiculae, acuta vel minute bifida apice, dorso convexa, marginibus inflexis, 7-nervis, eminente jugata super nervos, jugis levibus vel plerumque manifeste rugosis ad basin, marginibus membranaceis. Gluma superior cymbaeformis, acute carinata, 5-nervis, membranacea, apice acutissima et arista 1 mm longa. Flosculus inferior ♂; lemma ovatum, obtusum vel emarginatum, membranaceum, obscure 4-nervis, 5 mm longum; palea plusminusve linearis, alte bifida, membranacea, obscure 2-nervis, 5 mm longa. Flosculus superior hermaphroditus; lemma anguste ellipticum, acutum, membranaceum, obscure 3-nervis, 4 mm longum; palea anguste elliptica, trifida vel laciniata, membranacea, enervis, 2.5-3 mm longa. Lodiculi bini, cuneati, laciniati. Antherae lineares, croceae, laterale exsertae spiculo; eae flosculi inferioris 3 mm longae, eae flosculi superioris 2 mm longae. Stigmata 2, plumosa, rubicunda, antheris laterale exsertis spicula anthesi. Spiculae

pedicellatae similes sessilibus, aut flosculos superiore ♀ et gluma inferiore minus rugosa.

Icon. nostr. : fig. 1 et tab. I.

Typus *Morton et Gledhill* SL1885 (SL) Tingi Mts, Sierra Leone.

Isotypi in  $\alpha$ , WAG, Gh, IFAN et BM.

Huc pertinet etiam; *Gledhill* s. n., 1960, Tingi Mts. (SL). *Morton et Gledhill* SL1094 (SL; K; WAG; BM), SL1876 (SL; K), SL1060 (SL; Gh; FHI) and SL1096 (SL; K; WAG; BM).

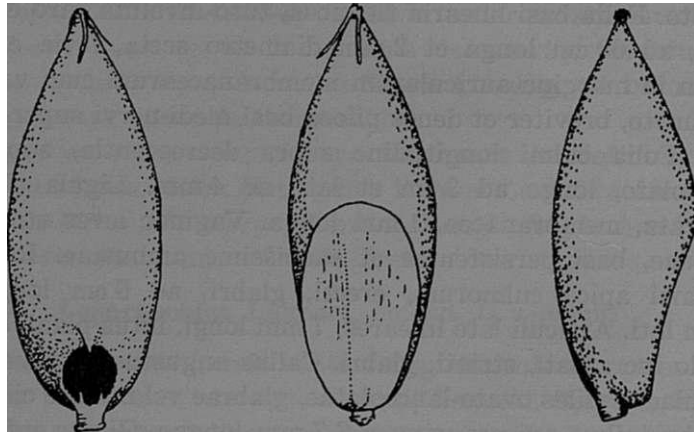


Fig. 1. — *Lepargochloa glabra*. Ventral (left) dorsal and lateral views of mature caryopsis.

The meadows in which this grass grows are subject to burning, being ignited either by native hunters or by ground strikes of lightning. The frequency of burning is a matter of chance, but at its worst it is an annual event. The flowering cycle of this and other grasses (such as *Elionurus argenteus* Nees, *Panicum ecklonii* Nees, *Sporobolus montanus* Engl. and *S. centrifugus* Nees) occurs during the early stage of regrowth. The new shoots arise from swollen, adpressed-hairy, tuberous outgrowths from the previous year's rhizome. This growth pattern produces tussocks, of the entangled roots and rhizomes, up to 20 cm high, on which the charred basal leaf-sheaths persist for some time. When regrowth of the meadows has continued for a whole year or more, the species

so far mentioned become less conspicuous and broader leaved grasses (*Monocymbium* spp., *Loudetia* spp., *Hyparrhenia* spp. and *Andropogon* spp.) become dominant locally.

The somatic chromosome number of *Lepargochloa glabra* is 20.

I am indebted to Mr. R. J. COLLETT B. A. who kindly translated the diagnosis.



# TABULA

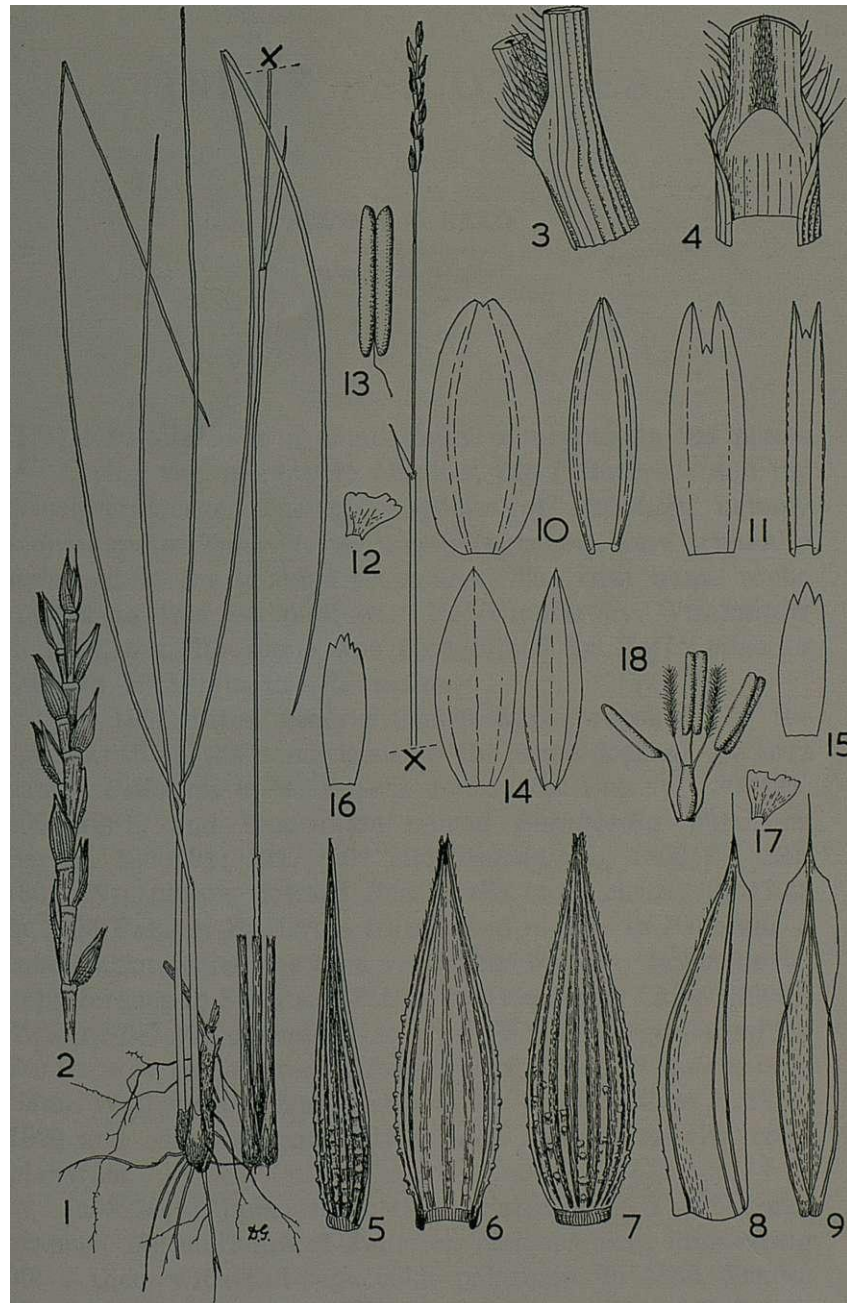
**TABULA I**

**Lepargochloa glabra D. Gledhill**

- 1. Habit.**
- 2. Raceme.**
- 3. Lateral view of junction of leaf-sheath and lamina.**
- 4. Leaf sheath junction with lamina opened to display ligule.**
- 5. Lower glume in profile.**
- 6. Lower glume external view.**
- 7. Lower view internal view.**
- 8. Upper glume in profile.**
- 9. Upper glume internal view.**
- 10. Lemma of inferior floret flattened and internal view.**
- 11. Palea of inferior, floret flattened and internal view.**
- 12. Lodicule of inferior floret.**
- 13. Anther of inferior floret.**
- 14. Lemma of superior floret flattened.**
- 15. Paleas of superior florets showing variation in apex.**
- 16. Palea of superior floret with laciniate apex.**
- 17. Lodicule of superior floret.**
- 18. Essential organs of superior floret.**



TAB. I





# INDEX PSILOTALES

by

CLYDE F. REED

Reed Herbarium  
Baltimore 34, Maryland

THE *Psilotales* is a small order of cryptogamous plants having two monotypic families, the *Psilotaceae* and the *Tmesipteridaceae*. The type species of *Psilotum*, namely *nudum*, and of *Tmesipteris*, namely *tannensis*, were originally described in the genus *Lycopodium*. The first name to be applied to this complex was *Hoffmannia* by WILLDENOW in 1789, but this name was preoccupied by *Hoffmannia* of SWARTZ (1788) in the *Rubiaceae*.

In 1801 three generic names were proposed for the species, all in the same issue of the same journal. SWARTZ named *Psilotum* in Schrader's Journal of Botany, 1800(2): 109. 1801; and BERNHARDI named *Bernhardia* Willd. ex Bernh., 1800(2): 132. 1801 and *Tmesipteris*, 1800(2): 131. 1801. WILLDENOW defined *Bernhardia* more clearly in 1802. In 1805 PALISOT-BEAUVOIS transferred *nudum* to *Psilotum*, a combination which has been overlooked by many taxonomists, in preference to SWARTZ'S *Psilotum triquetrum*. Later (1806), SWARTZ described another species, *Ps. complanatum*, which WILLDENOW transferred to *Bernhardia* (1810). *Psilotum flaccidum* Wall. became confused with *Ps. complanatum* in 1828-1829 and has been variously treated in relation with *complanatum*.

In 1836, a Japanese horticulturist described and monographed 120 cultivars of *Psilotum (triquetrum)*, illustrating 60 of them with full-page color paintings. In 1850, SPRING (Lyc. Monogr. II: 265-272) reviewed the species of *Psilotum* and *Tmesipteris* known at that time. In 1856, KARL MÜLLER

(«Monographische Kritik der Lycopodiaceen-gattung *Psilotum* Sw.») accepted *Bernhardia* in a very broad sense, establishing three sections: I. *Tmesipteris* (Bernh.) K. Müll., II. *Eubernhardia* K. Müll. and III. *Psilotum* (Sw.) K. Müll. For the last two sections he established the same three subsections in each: 1. *Flaccidae* K. Müll., 2. *Strictae* K. Müll. and 3. *Fastigiatae* K. Müll. He included or described 18 species in *Bernhardia*.

In 1850 PAYER made *Psilotum* the type of this family *Psilotées* (= *Psilotaceae*) and included in it *Psilotum*, *Tmesipteris* and *Isoëtes*. Of course, *Isoëtes* must be excluded, but at that time it was being tossed about different groups and this was a convenient repository for a while. MÜLLER probably felt PAYER'S grouping of *Psilotum* and *Tmesipteris* was strong enough to include both in his treatment of *Bernhardia*, discussed above. On the other hand, in 1881 BERTRAND felt that *Tmesipteris* was sufficiently different to set up the family *Tmesipteridées* (= *Tmesipteridaceae*).

In 1889 BENNETT and MURRAY raised the whole group to an order, *Psiloteae* (*Psilotales*), a grouping followed by SCOTT and WETTSTEIN and others since 1900. ENGLER (1898) raised the group to Unterreihe (*Psilotineae*); ZIMMERMANN (1926) raised it to Class (*Psilophyta*); DARRAH (1939) raised it to Division (*Psilopsida*); and more recently KOIDZUMI (1939) and NEMEJC (1963) have established even more super groups, mainly to cope with the fossil counterparts and correlative groups.

The internal anatomy of various species of *Psilotum* and *Tmesipteris* has been studied extensively (see papers listed in the bibliography). The concensus of opinion is that these genera represent reduced and specialized life forms rather than primitive forms. Earlier, these genera had been thought of as being closely related to the *Rhynia-Horneophyton* complex of Devonian land plants. Gradually the fossils have been grouped in the *Psilopsida* and more recently in the *Psilophytopsida*. PICI-SERMOLLI (1959) reviewed the status of these groups and concluded that our present-day plants belong in the *Psilophytopsida* and the fossils in the *Psilophytopsida*, which remains a rather heterogeneous complex of fossil

types. NEMEJC (1963) completely separates the fossils from the *Psilotales*, and then places the *Psilotales* closer to the *Lycopodiales*.

### INDEX PSILOTALES

- Bernhardia* Willd. ex Bernh. in Schrad. Jour. Bot. 1800(2): 132. 1801; Willd., Act. Acad. Erford., pp. 11-12. 1802; Spec. Pl. 5: 56. 1810; Pursh, Fl. Amer. Septentrion. 2: 655. 1814; Kaulf., Enum. Fil., 21. 1924; Bischoff, Die Rhizokarpen und Lycopodeen, r. 124. 1828; K. Müller, Bot. Zeit. 14: 217-227, 233-243, 31 figs. 1856. =Psilotum.
- Bernhardia* sect. I. *Tmesipteris* (Bernh.) K. Müller, Bot. Zeit. 14: 220, 240. 1856. (Based on *Tmesipteris* Bernh., 1801). - *Tmesipteris* Bernh.
- Bernhardia* sect. II. *Eubernhardia* K. Müller, Bot. Zeit. 14: 220, 241. 1856. =Psilotum.
- Bernhardia* sect. II. *Eubernhardia* subsect. 1. *Flaccidae* K. Müller, Bot. Zeit. 14: 240-241. 1856. =Psilotum.
- Bernhardia* sect. II. *Eubernhardia* subsect. 2. *Strictae* K. Müller, Bot. Zeit. 14: 240-241. 1856. - Psilotum.
- Bernhardia* sect. II. *Eubernhardia* subsect. 3. *Fastigiatae* K. Müller, Bot. Zeit. 14: 240-241. 1856. =Psilotum.
- Bernhardia* sect. III. *Psilotum* (Sw.) K. Müller, Bot. Zeit. 14: 220, 241. 1856. (Based on *Psilotum* Sw., 1801). =Psilotum Sw.
- Bernhardia* sect. III. *Psilotum* subsect. 1. *Flaccidae* K. Müller, Bot. Zeit. 14: 240-241. 1856. =Psilotum.
- Bernhardia* sect. III. *Psilotum* subsect. *Strictae* K. Müller, Bot. Zeit. 14: 240-241. 1856. =Psilotum.
- Bernhardia* sect. III. *Psilotum* subsect. *Fastigiatae* K. Müller, Bot. Zeit. 14: 240-241. 1856. =Psilotum.
- B. antillarum* K. Müller, Bot. Zeit. 14: 234. 1856. (Jamaica, Martinique, Trinidad, Brazil). =Psilotum nudum.
- B. californica* K. Müller, Bot. Zeit. 14: 222, f. 3-5. 1856. (California). =Psilotum complanatum.
- B. capensis* K. Müller, Bot. Zeit. 14: 238-239. 1856. (Natal). =Psilotum nudum.

- B. complanata* Willd., Spec. PL 5: 57. 1810; K. Müller, Bot. Zeit. 14: 220-221, f. 6. 1856. (Jamaica, 'parasitic on trees'). = *Psilotum*.
- B. complanata* Pöpp., Coll. PL Cub.; pro syn. in K. Müller, Bot. Zeit. 14: 234. 1856. = *Psilotum nudum*.
- B. deppeana* K. Müller, Bot. Zeit. 14: 235. 1856. (California). = *Psilotum nudum*.
- B. dichotoma* Willd. ex Bernh., in Schrad. Jour. Bot. 1800(2) : 132. 1801; Willd., Act. Acad. Erford., pp. 11-12. 1802; Spec. Pl. 5: 56. 1810; Pursh, Fl. Amer. Septentrion. 2: 655. 1814; Kaulf., Enum. Fil., p. 21. 1824. = *Psilotum nudum*.
- B. dichotoma* sensu Kaulf., Enum. Fil. Chamiss., p. 21. 1824. (= *B. oahuensis*). = *Psilotum nudum*.
- B. floridana* (Michx.) K. Müller, Bot. Zeit. 14: 233. 1856. (Florida, Bahamas, Cuba). = *Psilotum nudum*.
- B. indica* K. Müller, Bot. Zeit. 14: 236. 1856. (Java, Ceylon). = *Psilotum nudum*.
- B. mariana* K. Müller, Bot. Zeit. 14: 238-239. 1856. (Ins. Marianae, Rawack). = *Psilotum complanatum*.
- B. mascarenica* K. Müller, Bot. Zeit. 14: 239. 1856. (Ins. Mascarenes, Mauritius, Bourbon). = *Psilotum nudum*.
- B. novae-hollandiae* K. Müller, Bot. Zeit. 14: 237. 1856. (Nova Hollandia; Sidney, Australia; Kermadec Ins.). — *Psilotum nudum*.
- B. oahuensis* K. Müller, Bot. Zeit. 14: 238. 1856. (Ins. Sandwicensis, Ins. Oahu, Ins. Radak). = *Psilotum nudum*.
- B. pedunculata* Desv. in Herb. Juss.; Spring, Monogr. Lyc. II: 269 (pro syn.). 1850. = *Psilotum nudum*.
- B. ramulosa* K. Müller, Bot. Zeit. 14: 222-223, f. 7-8. 1856. (Ins. Sandwicensis, Woahoo). = *Psilotum complanatum*.
- B. schiedeana* K. Müller, Bot. Zeit. 14: 222, f. 9-11. 1856. (Mexico, Jalapa). = *Psilotum complanatum*.
- B. tannensis* (Spreng.) K. Müller, Bot. Zeit. 14: 221. 1856. = *Tmesipteris*.
- B. truncata* (R. Br.) K. Müller, Bot. Zeit. 14: 221. 1856.
- B. zollingeri* K. Müller, Bot. Zeit. 14: 223, f. 1-2. 1856. (Java, 'parasitic on trees'). = *Psilotum complanatum*.
- Bernhardieae* Reichb., Handbuch, p. 163. 1837 (Sub Fam.

- Lycopodiaceae); Pfeiffer, *Nomenclator Botanicus*, I, 1: 396. 1873.
- Buchosia* Commerson, in *Herb. Mus. Paris*; Spring, *Monogr. Lyc.* II: 269 (pro syn.). 1850. = *Psilotum*.
- B. furtiflora* Commerson, in *Herb. Mus. Paris*; Spring, *Monogr. Lyc.* II: 269 (pro syn.). 1850. = *Psilotum nudum*.
- Garsaultia* Commerson, in *Herb. Pal.-Beauv.* (H. Deless.); Spring, *Monogr. Lyc.* II: 268-269 (pro syn.). 1850. *Psilotum*.
- G. minutiflora* Commerson, in *Herb. Pal.-Beauv.* (H. Deless.); Spring, *Monogr. Lyc.* II: 269 (pro syn.). 1850. = *Psilotum nudum*.
- Hoffmannia* Willd., in *Roem. et Usteri, Mag. Bot.* 6: 17. 1789; *Leman, Dict.* 21: 271. 1821. = *Psilotum*.
- H. aphylla* Willd., in *Roem. et Usteri, Mag. Bot.* 6: 17. 1789. (Based on *Lycopodium nudum* L.); Spring, *Monogr. Lyc.* II: 269 (pro syn.) 1850. = *Psilotum nudum*.
- Ipphia* Noronha, in *Aub. du Petit-Thouars, Melanges Bot. et Voy.*, 1811; *Desv., Prodr. Fam. Foug.*, p. 192. 1827 (pro syn.). = *Psilotum*.
- I. polyquestra* Noronha, in *Aub. du Petit-Thouars, Melanges Bot. et Voy.*, 1811. = *Psilotum nudum*.
- Lycopodioides frutescens* Dill., *Hist. Musc.*, t. 65, f. 4. 1741; *Pal.-Beauv., Prodr. Aethéog.*, p. 109 (pro syn.). 1805. — *Psilotum nudum*.
- Lycopodium nudum* L., *Sp. Pl.* ed. 1, 2: 1100. 1753; ed. 2, 2: 1564. 1763. = *Psilotum*. (Genotype of *Psilotum Swartz*).
- L. tannense* Sprengel, in *Schrad. Jour. Bot.* 2: 267. 1799; Sprengel, *Linné Syst. Veg.* 4(1): 11. 1827. = *Tmesipteris*. (Genotype of *Tmesipteris Bernh.*).
- Osmundioides* Forster, in *Herb.*; Spreng., *Schrad. Jour. Bot.* 2: 267 (*Osmundoides*). 1799; Sprengel, *Linne Syst. Veg.*, 4(1): 11 (*Osmundoides* Forst., pro syn.). 1827; Spreng. ex Endlich., *Prodr. Flor. Norfolk*, p. 6. 1833; Spring, *Enum. Lyc.*, in *Acad. Roy. Brux.* 10(3): 234. 1843; *Monogr. Lyc.* II: 266 (pro syn.). 1850. = *Tmesipteris tannensis*.
- Psilophyta* Zimmerman, *Zeitsch. f. Bot.* 19: 126-170. 1926; Campbell, *Evolution of Land Plants*, p. 209 (Class). 1940; Bold, *Morphology of Plants*, p. 320 (Division). 1957;

- Tagawa, Coloured Illustrations of the Japanese Pteridophyta, p. 6. 1959; Nemejc, Paleobotanika, 2: 97-130. 1963.
- Psilopsida Darrah, Textbook of Paleobotany, Chap. 5: 55-80. 1939; Principles of Paleobotany, Chap. 5 and 6: 35-38. 1939; Arnold, *Introd. to Paleobotany*, pp. 11-12 (Division). 1947; Bold, *Morphology of Plants*, p. 320 (Class). 1957; Foster & Gliford, *Comp. Morph. Vasc. Pl.*, pp. 101-129. 1959; Darrah, *Principles of Paleobotany*, 2nd. ed., Chap. 5: 41-56. 1960.
- Psilotaceae [Payer, *Botanique Cryptogamique*, p. 212 (*Psilotées*, as fam. 59)<sup>1</sup>. 1850. (*Psilotum, Tmesipteris*; excl. *Isoëtes*)] ; Prantl, *Lehrbuch Botanik*, p. 190. 1886; Solms-Laubach, *Fossil Botany*, ed. 1, p. 190. 1886-1887; rev. ed., p. 189. 1891; Campbell, *Structure and Development of Mosses and Ferns*, 1st ed., p. 463 (Ordo), 480-485. 1895; 2nd. ed., p. 485 (Fam.), 504-510. 1905; Luerksen, in Rabenhorst's *Kryptogamen Flora*, 3: 4, 781. 1889; Pritzel, in *Engl. u. Prantl, Nat. Pfl.-fam.* 1(4): 606-619. 1901 (1902); *Fossil Psilotaceae* by H. Potonie, pp. 620-621. 1901 (1902); Small, *Flora Southeastern United States*, 1st. ed., p. 23. 1903; 2nd. ed., p. 29. 1913; Wettstein, *Handbuch der Syst. Bot.*, 1st ed., 2: 91. 1903; ed. 3: 342-345. 1924; ed. 4: 386-388. 1933; Seward, *Fossil Plants*, 2: 12-16. 1910; Warming-Möbius, *Syst. Bot.*, 4 Aufl., p. 188. 1929; Krishtofovich, *Textbook of Paleobotany*, pp. 186-187. 1934; Koidzumi, *Acta Phytotax. et Geobot.* 8: 186. 1939; Eames, *Morphology of Vascular Plants, Lower Groups*, 1st. ed., Chap. IV: 71-87. 1936; Lawrence, *Tax. Vasc. Pl.*, p. 339. 1951; Riemers in *Engler's Syllabus der Pflanzenfamilien*, 1: 281. 1954; Pichi-Sermolli, *Vistas in Botany, Pteridophyta*, p. 461. 1959; Sporne, *The Morphology of Pteridophytes*, p. 38. 1962; Nemejc, *Paleobotanika*, 2: 250. 1963.
- Psilotales Bennett & Murray, *Handbook of Cryptogamic Botany*, pp. 61-64, f. 40-41 (*Psiloteae*, as Ordo 2)<sup>1</sup>. 1889;

<sup>1</sup> Art. 18, International Code of Botanical Nomenclature, states that «when a name of a family has been published with an improper



Scott, Studies in Fossil Botany, ed., 1, p. 116, 499 (*Psiloteae*). 1900; ed. 2, 1: 126 (*Psiloteae*)1908; ed. 2, 2: 626-632 (Class). 1909; Wettstein, Handbuch der Syst. Bot., 1st. ed., 2: 91 (Ordo). 1903; Seward, Fossil Plants, 2: 17-29. 1910; Scott, Studies in Fossil Botany, 3rd. ed., 1: 412-416. 1920; Arber, Devonian Floras, pp. 86-88. 1921; Compton, Jour. Linn. Soc. Bot. 45: 461. 1922; Zimmerman, Zeitsch. Bot. 19: 131, 160. 1926; Hirmer, Handbuch der Paläobotanik, p. 343. 1927; Warming-Möbius, Syst. Bot., 4 Aufl., p. 188. 1929; Bower, Primitive Land Plants, pp. 123-147 (Class). 1935; Eames, Morph. Vasc. Pl., Lower Groups, p. 87. 1936; emend. Koidzumi, Acta Phytotax. et Geobot. 8: 186. 1939; Wettstein, Tratado de Botanica Sistemática, p. 335. 1944; Manton, Problems Cytol. and Evol. in Pteridophyta, pp. 233-243. 1950; Lawrence, Tax. Vasc. Pl., p. 339. 1951; Wardlaw, Phylogeny and Morphogenesis, pp. 66-69. 1952; Reimers, in Engler's Syllabus der Pflanzenfamilien, 1: 280. 1954; Wardlaw, Embryogenesis in Plants, pp. 85-92. 1955; Harris, Manual of Spores New Zealand Pteridophytes, p. 46. 1955; Sporne, The Morphology of Pteridophytes, p. 38. 1962; Nemejc, Paleobotanika, 2: 250. 1963.

*Psilotariae* Koidzumi, Acta Phytotax. et Geobot. 8: 186 (pro syn.). 1939. = *Tmesipteridiæ* Koidz., 1939.

Psilotidae Nemejc, Paleobotanika, 2: 250. 1963 (Podtrida sub Trida *Psygmoptylopsida* Nemejc).

*Psilotinae* Wettst., Handbuch der Syst. Bot., 3rd. ed., p. 325 (Klasse). 1924; 4th. ed., 1: 386 (Klasse). 1933; Tratado de Bot. Sist., p. 336 (Klasse), 362-364. 1944; Strasburger's Textbook of Botany, 6th. English ed., 515 (Class). 1930; Engler & Diels, Syllabus der Pflanzenfamilien, pp. 106-107. 1936; Hirmer in Verdoorn, Manual Pteridology, pp. 507-510. 1938; Lawrence, Tax. Vasc. PL, p. 339 (Class). 1951. — Psilotopsida Rothm.

**Latin termination, the ending must be changed to accord with the rule, without change of the author's name». Although Psilotées and Tmesipteridées were in the French forms, the concept of family was definite in each.**

- Psilotineae* Engler, Syllabus der Pflanzenfam., 2nd. ed., p. 64 (Unterreihe). 1898; 3rd. ed., 68 (Unterreihe). 1903; Campbell, Evolution of the Land Plants (Embryophyta), pp. 193, 209 (Class). 1940.
- Psilotites* Fr. Braun, Verz. Kreis-Nat. Samml. Bayreuth. Petr., p. 98 (nom. nud.). 1840.
- Ps. robustus* Fr. Braun, Verz. Kreis-Nat. Samml. Bayreuth. Petr., p. 98 (nom. nud.). 1840. Trias (Kemper): Bavaria, Eckersdorf.
- Psilotites* Münster, Beitr. Petr.-Kunde, V: 188, t. 13, f. 11, t. 15, f. 20. 1842; Unger, Gen. et Sp. Pl. Foss., p. 279. 1850.
- Ps. filiformis* Münster, Beitr. Petr.-Kunde, V: 188, t. 13, f. 11, t. 15, f. 20. 1842; Unger, Gen. et Sp. PL Foss., p. 279. 1850; Zigno, Fl. Foss. Form. Oolith, 1(5): 214. 1867. Jurassic: Germany. (Permian: Rheinische Prussia).
- Ps. furcatus* (Lindley & Hutton) Brongn., Dict. Univ. Hist. Nat. 13 (Tableau): 90 (41). 1849. (= *Solenites*?).
- Ps. inermis* (Newberry) Schimper, Pal. Veg., 3: 547. 1874; Knowlton, U. S. Geol. Surv. Bull. 152: 186. 1898. = *Cabomba inermis*.
- Ps. lithanthracis* Goldenberg, Fl. Saraepontana. Foss., Pt. 1: 13, t. 2, f. 7. 1855. Upper Carboniferous: Rheinisch Prussia.
- Ps. unilateralis* Kidston, Ann. Mag. Nat. Hist., London, V, 17: 594, ff. a-d. 1886. Upper Carboniferous: Scotland, Baillieston Pits, Lancashire.
- Psilotopsida Rothm., Fedde Repert. 54(2-3): 261 (Class). 1951 (Oct.); Reimers, in Engler's Syllabus der Pflanzenfam., 1: 271, 280. 1954; Pichi-Sermolli, in Pteridophyta, in Vistas in Botany, p. 451, 460 (Class). 1959; Ching, Flora Reipublicae Sinicae, 2 (Pteridophyta): 3. 1959; Tagawa, Coloured Illustrations of the Japanese Pteridophyta, pp. 2, 4, 6. 1959; Sporne, The Morphology of Pteridophytes, pp. 38-49. 1962. Syn.: *Psilotinae* Wettst., 1924.
- Psilotum* Swartz, in Schrad. Jour. Bot. 1800(2): 109. 1801; Swartz, Syn. Fil., 187. 1806; R. Br., Prodr., p. 164. 1810; Nuttall, North Amer. Pl., 2: 248. 1818; Desv., Prodr., p. 192. 1827; Spring, Monogr. Lyc. II: 268-272. 1850;

- K. Müller, Bot. Zeit. 14: 217-227, 233-243, 11 figs. 1856; Domin, Bibliotheca Bot. 20: 234. 1915; Pritzel, in Engl. u. Prantl, Nat. Pf l.-fam. 1(4): 606-619. 1901 (1902). Syn.: *Bernhardia* Willd. ex Bernhardt, 1801; Willd., 1802; *Hoffmannia* Willd., 1789; *Ipphia* Noronha, 1811; *Tristeca* Pal.-Beauv. ex Desv., 1827; *Garsaultia* Commerson, ex Spring, 1850; *Buchosia* Commerson, ex Spring, 1850.
- Ps. bernhardi* Hort.; Beekman, Rec. Trav. Bot. Néerl. 21: 1-61, illus. 1924; Schoute, in Manual of Pteridology, p. 67. 1938. = *Ps. nudum*.
- Ps. capillare* Blume, Enum. Pl. Javae, 2: 272. 1830; Spring, Monogr. Lyc. II: 272. 1850. (Java, Ins. Philipp.). (*Viscum capillare* Bl., 1825-26) = *Ps. nudum*.
- Ps. complanatum* Sw., Syn. Fil., 188 and 414, t. 4, f. 5. 1806; Sprengel, Linne Syst. Veg. 4(1): 11. 1827; Spring, Monogr. Lyc. II: 271. 1850; F. v. Muell., Fragm. 4: 166. 1864; 1. c. 5: 112. 1866; Sec. Cens., 228. 1889; Luerss., Jour. Mus. Godeffr. 3: 102. 1875; Griseb., Fl. Brit. West Indian Isls., 648. 1864; Benth., Fl. Austr. 7: 682. 1878; Bailey, Fern World Austr., 79. 1881; Syn. Queensl. Fl., 675. 1883; Catal. Pl. Queensl., 58. 1890; Queensl. Fl. 6: 1928. 1902; Baker, Handb. Fern Allies, 30. 1887; Domin, Bibliotheca Bot. 20: 234. 1915. Pantropical: Australia (Queensland); Borneo; Sumatra; New Guinea; Philippine Islands; Solomon Isl.; Samoa; Fiji; Sandwich Isl.; Admiralty Isl. Jamaica; Cuba; Mexico. Syn.: *Bernhardia complanata* Willd., 1810; *B. schiedeana* K. Müll., 1856; *B. californica* K. Müll., 1856; *B. ramulosa* K. Müll., 1856; *B. zollingeri* K. Müll., 1856; *Ps. flaccidum* auct. p. p. (Pritzel, Nat. Pfl.-fam. 1(4): 619. 1902).
- Ps. complanatum* var. *flaccidum* (Wall.) Domin, Bibliotheca Bot. 20: 234. 1915. = *Ps. flaccidum*.
- Ps. complanatum* var. *latissimum* Spring, Monogr. Lyc. II: 271. 1850. (Mexico).
- Ps. complanatum* var. *mexicanum* Domin, Bibliotheca Bot. 20: 234. 1915. (Mexico).
- Ps. complanatum* Blume, Enum. Pl. Javae, 2: 272. 1830; non Swartz, 1806. = *Ps. flaccidum*.

- Ps. dichotomum* Link, Fil. Hort. Berol., 160. 1833. = *Ps. nudum*.
- Ps. domingense* Gdgr., Bull. Soc. Bot. Fr. 66: 306. 1919. [Antilles, S. Domingo (*Bory*)] = *Ps. nudum*.
- Ps. flabellatum* Gdgr., Bull. Soc. Bot. Fr. 66: 306. 1919. [Australia, N. S. Wales, Berowra (*Boorman*)] = *Ps. nudum*.
- Ps. flaccidum* Wall., Cat. No. 45. 1828; Hook. & Grev., Enum. Fil., pl. 4. 1829; Spring, Monogr. Lyc. II: 271. 1850; Pritzl in Engl. u. Prantl, Nat. Pfl.-fam. 1(4): 619, f. 383. 1901 (1902); Stiles, Ann. Bot. 24: 373-387. 1910; Manton, Probl. Cytol. & Evol. Pteridophyta, p. 235, f. 230 (Pendulous plant, diploid,  $\eta = 52-54$ ). 1950. Ins. Singapore; Java; Australia (Queensland); Tahiti; Madagascar. **Syn.:** *Ps. complanatum* Blume, 1830, non Sw.; *Ps. pervillei* Decaisne in Herb. Mus. Paris.
- Ps. floridanum* Michx., Fl. Bor. Amer. 2: 281. 1803; Desv., Prodr. Fam. Foug., 192. 1827. = *Ps. nudum*.
- Ps. forsten* Endlicher, Iconogr., t. 85. 1838; acc. Wakefield, Vict. Nat. 60: 143. 1944. (New Zealand; Norfolk Isl.). = *Tmesipteris tannensis*.
- Ps. heterocarpum* Colenso, Trans. N. Zeal. Inst. 20: 237. 1887 (1888). (New Zealand). = *Ps. nudum*.
- Ps. inermis* Newberry, Ann. New York Lyceum Nat. Hist 9: 38. 1868; Jongmans, Fossil. Catalogus, II. Plantae, Lyc. III, pars 16: 646. 1930; 1. c, Lyc. VI, pars 22: 647. 1937. = *Psilotites inermis* (Newb.) Schimp., 1874.
- Ps. natalensis* Gdgr., Bull. Soc. Bot. Fr. 66: 306. 1919. [Africa austr., Natal (*Zeyher*)] = *Ps. nudum*.
- Ps. neo-caledonicum* Gdgr., Bull. Soc. Bot. Fr. 66: 306. 1919. [New Caledonia, Koghi (*Franc 29*)] = *Ps. nudum*.
- Ps. novae-zelandiae* Gdgr., Bull. Soc. Bot. Fr. 66: 306. 1919. [Oceania, Nova Zelandia (*Astor*)] = *Ps. nudum*.
- Ps. nudum* (L.) Beauv., Prodr. Fam. Aetheog., pp. 106, 112. 1805; Okabe, Sci. Rep. Tohoku Univ., IV, 4: 373-380. 1929; Masamune, Jour. Jap. Bot. 27: 78. 1952; Nagano, Jour. Jap. Bot. 30: 335. 1955; Ninan, La Cellule, 57: 307-318. 1956; Knobloch & Correll, Ferns of Chihuahua, p. 16. 1962; Griseb., Abh. Ges. Wiss. Gottingen, 7: 278.

- 1857; Luerss., Jour. Mus. Godeffr. **3**: 102. 1875; Manton, Probl. Cytol. & Evol. Pteridophyta, p. 235. f. 229. 1950. (Erect plant, tetraploid,  $\eta$  = about 100; triploid, 2 — 156 plus 3). Pantropical: Florida to South Carolina; Texas and Mexico through Central America to Paraguay and Argentina; West Indies; Ins. Sandwich; Mascarenes; Nova Hollandia; Réunion; Ins. Ascension; Ins. Africa orient. (Bourbon, Mauritius); Madagascar; Ceylon; Penin. Indiae orient.; Penin. Indochina; Malacca; Pulo-pinang; Moluccas; Ins. Societies, Tahiti; Ins. Pitcairn.; Ins. Norfolk; Japan; New Zealand; Australia; Spain. Syn.: *Lycopodium nudum* L., 1753; *Hoffmannia aphylla* Willd., 1789; *Psilotum triquetrum* Sw., 1801; *Bernhardia dichotoma* Willd., 1801; *Psilotum dichotomum* Link, 1833; *Ps. floridanum* Michx., 1803; *Bernhardia novae-hollandiae* K. Müll., 1856; *Psilotum heterocarpum* Colenso, 1888; *P. bernhardi* Hort., Beekman, 1924; *Ps. domingense* Gdgr., 1919; *Ps. flabellatum* Gdgr., 1919; *Ps. natalensis* Gdgr., 1919; *Ps. neo-caledonicum* Gdgr., 1919; *Ps. novae-zelandiae* Gdgr., 1919.
- Ps. nudum* var. *fallacinum* Domin, Bibliotheca Bot. **20**: 232, f. 57. 1915. Australia, Queensland, Syn.: *Ps. triquetrum* var. *fallacinum* Domin, 1911.
- Ps. nudum* var. *normale* Domin, Bibliotheca Bot. **20**: 132, f. 56. 1915. (Australia, Queensland).
- Ps. oxyphyllum* Hook. fil. in Herb.; Spring, Monogr. Lyc. II: 265 (pro syn.). 1850. = *Tmesipteris tannensis*.
- Ps. pervillei* Decaisne, in Herb. Mus. Paris; Spring, Monogr. Lyc. II: 271 (pro syn.). 1850. = *Ps. flaccida*.
- Ps. triquetrum* Swartz, in Schrad. Jour. Bot. **1800**(2): 109. 1801; Syn. Fil., 187. 1806; R. Br., Prodr., 164. 1810; Sprengel, Linne Syst. Veg. **4**(1): 11. 1827; Spring, Monogr. Lyc. II: 269. 1850; F. v. Muell., Fragm. **5**: 112. 1866; Sec. Cens., 228. 1889; Luerss., Fil. Graeff., 271. 1871; Benth., Fl. Austr. **7**: 681. 1878; Bailey, Fern World Austr., 79. 1881; Syn. Queensl. Fl., 675. 1883; Rep. Govt. Sci. Exped. Bell.-Ker Range, 72. 1889; Catal. Pl. Queensl., 58. 1890; Pritzel, Nat. Pfl.-fam. **1**(4): 619. 1901 (1902); Cheesem., Man. N. Zeal. FL, 1041. 1906; J. Wedd et

- C. White, Queensl. Natural. 1: 120. 1910; Griseb., Fl. Brit. West Indian Isls., 648. 1864 (Based on *Lycopodium nudum* L.); Bower, Flora, 118-119: 57. 1925. = *Ps. nudum*.
- Ps. triquetrum* var. *fallacinum* Domin, Fedde Repert. 9: 551. 1911. = *Ps. nudum* var.
- Ps. triquetrum* var. *gracile* Grev. et Hook., Enum. Fil. in Bot. Misc. 2: 362. 1831. (Ins. Penang; Brasilia). = *Ps. nudum*.
- Ps. triquetrum* var. *latum* Desv., Prodr. Fam. Foug., 192. 1827; Spring, Monogr. Lyc. II: 270. 1850. (Nova Hollandia). = *Ps. nudum*.
- Ps. truncatum* R. Br., Prodr. Fl. Nov. Holl., p. 164. 1810; Sprengel, Linne Syst. Veg., 4(1): 11. 1827. = *Tmesipteris*.
- Ps. zollingeri* (K. Müll.) Ces.; Backer et Posthumus, Varenflora voor Java, p. 286 (pro syn.). 1939. = *Ps. complanatum*.
- Psilotum* sp. nov., Presl, in Herb. Reg. Berolin.; pro syn. in K. Müller, Bot. Zeit. 14: 223. 1856. = *Ps. complanatum*.
- Psymphylopsida Nemejc, Paleobotanika, 2: 225. 1963 (Trida).
- Tmesopteris* Kunze, Index Filicum, in Linnaea 23: 295. 1850 (nomen emend.); Pfeiffer, Nomenclator Botanicus, II, 2: 1422. 1874 (pro syn.).
- Tmesipteridaceae [Bertrand, Arch. Bot. du Nord de la France, 1: 487. 1881. (*Tmesipteridées*, as fam.); Bull. Soc. Bot. France, 30: 157. 1882]; emend. Koidz., Acta Phytotax. et Geobot. 8: 187. 1939; Pichi-Sermolli, Vistas in Botany, Pteridophyta, p. 461. 1959; Nemejc, Paleobotanika, 2: 250. 1963, Riemers in Engler's Syllabus der Pflanzenfam., 1: 281. 1954; Sporne, The Morphology of Pteridophytes, p. 38. 1962.
- Tmesipteridales Koidz., Acta Phytotax. et Geobot. 8: 187. 1939.
- Tmesipteridiae Koidz., Acta Phytotax. et Geobot. 8: 179, 186. 1939. (Syn.: *Psilotariae*).
- Tmesipteris Bernh., in Schrad. Jour. Bot. 1800(2): 121, t. 2, f. 5. 1801; Swartz, Syn. Fil., 187. 1806; Willd., Sp. Pl. 5: 56. 1810; Hook. & Grev., Enum. Fil. in Bot. Misc. 2: 363. 1831; Hook., Gen. Fil., t. 86. 1838-42; Ad. Brongniart, Hist. Veget. Foss. 2: 30, t. 13, f. 2. 1836; Endlicher,

- Iconogr., t. 85. 1838; Spring, Monogr. Lyc. II: 265-267. 1850; Sahni, Philos. Trans. Roy. Soc. Lond., Ser. B, 213: 143-170. 1925.
- Tm. alleni* (Lesq.) Hollick, Bull. Torr. Bot. Club, 21: 256, t. 205. 1894; Jongmans, Fossil. Catalogus. II. Plantae, Lyc. VI, pars 22: 1220. 1937. = *Salvinia alleni* (Lesq.) Lesq., 1878. (Tertiary: U. S. A.).
- Tm. billardieri* Endlicher, Prodr. Fl. Norf. 6. 1833; Spring, Enum. Lyc, in Acad. Roy. Brux. 10(3): 234. 1843; Monogr. Lyc. II: 266. 1850; Barber, Victorian Naturalist, 71: 97-99. Oct. 1954. Australia (New South Wales, Mt. Wilson; Victoria, Mt. Drummer); Tasmania (Queens-town, Britton's Swamp, Forth Falls). (Tetraploid,  $2n = 408-420$ ).
- Tm. elongata* Dang., Le Botaniste 2: 186, 213. 1890-1891. = *Tm. tannensis* var.
- Tm. forsten* Endlich., Prodr. Fl. Norf. 6. 1833; Spring, Enum. Lyc, in Acad. Roy. Brux. Bull. 10(3): 234. 1843. = *Tm. tannensis*.
- Tm. fowerakeri* Barber, Victorian Naturalist, 71: 98-99, figs. 1954. New Zealand (Westland: Type—Longwood Range, South Island). (Diploid,  $2n = 204-210$ ).
- Tm. lanceolata* Dang., Le Botaniste, 2: 204, 214. 1890-1891; Pritzel, Nat. Pfl.-fam. 1(4): 619. 1901 (1902); Bower, Flora, 118-119: 56. 1925. = *Tm. tannensis* var.
- Tm. oblanceolata* Copel., Philipp. Jour. Sci. 60: 99, f. 1. 1936. Solomon Isl. (Guadalcanar, Mt. Tutuve, alt. 1700 m., *Kajewski* 2632).
- Tm. ovata* Wakefield, Victorian Naturalist 60: 143, fig. 1944. Australia (Queensland, MacPherson Range; Victoria, Mt. Drummer). (Tetraploid,  $2n = 408-420$ ).
- Tm. parva* Wakefield, Victorian Naturalist 60: 143, fig. 1944. Australia (New South Wales, Mt. Irvine, Mt. Wilson). (Diploid,  $2n = 204-210$ ).
- Tm. reticulata* (Ettingshausen) Hollick, Bull. Torr. Bot. Club, 21: 256, t. 205. 1894; Jongmans, Fossil. Catalogus, II. Plantae, Lyc. VI, pars 22: 1220. 1937 (Tertiary: Switzerland). = *Salvinia reticulata* (Ett.) Heer, 1859.

- Tm. tannensis* (Spreng.) Bernh., in Schrad. Jour. Bot. 1800 (1): 131, t. 2, f. 5. 1801; Labill., Pl. Nov. Holl. 2: 105, t. 252. 1806; F. v. Muell., Fragm. 5: 112. 1866; l. c, 8: 175. 1874; Sec. Cens., 228. 1889; Benth., Fl. Austr. 7: 680. 1878; Bailey, Fern World Austr., 79. 1881; Syn. Queensl., 675. 1883; Rep. Govt. Sci. Exp. Bell.-Ker Range, 72. 1889; Catal. Pl. Queensl., 58. 1890; Queensl. Fl. 6: 1927. 1902; in Meston, Exped. Bell.-Ker Parliam. Rep., 17. 1904; Baker, Handb. Fern Allies, 30. 1887; C. Moore, Handb. Fl. N. S. Wales, 498. 1893; Pritzel, Nat. Pfl.-fam. 1(4): 619. 1901 (1902); Turner, Proc. Linn. Soc. N. S. Wales, 310. 1903; Cheesem., Man. N. Zeal. Fl., 1041. 1906; Domin, Bibliotheca Bot. 20: 230. 1915; Manton, Probl. Cytol. & Evol. Pteridophyta, 233-243. 1950. Australia (Queensland, New South Wales, Victoria); Tasmania; New Zealand; Norfolk Isl.; Ins. Tanna, Antarctic Archipelago; Polynesia. (n = over 200). Syn.: *Lycopodium tannense* Spreng., 1799; *Bernhardia tannensis* K. Müller, 1856; *Tmesipteris forsten* Endl., 1833; *Tm. vieillardii* Dang., 1890-91; *Osmundioides* Forster, in Herb. Sprengel, ex Spring, Enum. Lyc. Acad. Roy. Brux. 10(3): 234. 1843; *Osmundoides* Forster, ex Sprengel, Schrad. Journ. Bot. 2: 267. 1799; *Psilotum oxyphyllum* Hook. fil., in Spring, 1850 (pro syn.).
- Tm. tannensis* Labill., Pl. Nov. Holl. 2: 105, t. 252. 1806. = *Tm. truncata*.
- Tm. tannensis* var. *elongata* (Dang.) Domin, Bibliotheca Bot., 20: 231. 1915; Sahni, Philos. Trans. Roy. Soc. Lond., Ser. B, 213: 164. 1924 (1925). Australia (New South Wales); Tasmania. Syn.: *Tm. elongata* Dang., 1891.
- Tm. tannensis* var. *lanceolata* (Dang.) Domin, Bibliotheca Bot. 20: 232. 1915; Sahni, Philos. Trans. Roy. Soc. Lond., Ser. B, 213: 164. 1924 (1925). New Caledonia; Australia (New South Wales, Queensland). Syn.: *Tm. lanceolata* Dang., 1891.
- Tm. tannensis* var. *normalis* Domin, Bibliotheca Bot. 20: 230. 1915. (Tasmania; Australia, Victoria; New Zealand).
- Tm. tannensis* var. *typica* Sahni, Philos. Trans. Roy. Soc. Lond., Ser. B, 213: 158. 1924 (1925).



- Tm. tanensis* var. *truncata* (R. Br.) Domin, Bibliotheca Bot. **20**: 231. 1915. (S. Australia; Norfolk Isl.; New Zealand). = *Tm. truncata*.
- Tm. tannensis* var. *vieillardii* (Dang.) Domin, Bibliotheca Bot. **20**: 230. 1915. = *Tm. tannensis*.
- Tm. truncata* (R. Br.) Desv., Prodr., in Ann. Soc. Linn. Paris, **6**: 192. 1827; P. A. Dang., Le Botaniste, 2: 200, 214. 1890-1891; Pritzel, Nat. Pfl.-fam. 1(4): 619. 1901 (1902); Wakefield, Vict. Nat. **60**: 143. 1944; Barber, Vict. Nat. 71: 97. 1954. Australia (New South Wales, Bulli, Commodore Hts., Jamieson Valley, Sommersly Falls); Norfolk Isl., New Zealand; Nova Hollandia. Syn.: *Psilotum truncatum* R. Br., 1810; *Bernhardia truncata* (R. Br.) K. Müller, 1856; *Tmesipteris billardieri* Endlich., 1833; *Tm. tannensis* var. *truncata* (R. Br.) Domin, 1915; *Tm. tannensis* Labill., 1806. (Tetraploid,  $2n = 408-420$ ).
- Tm. tugana* Barber, Victorian Naturalist, 71: 98, fig. 1954. Tasmania (Britton's Swamp; Picton River, Strahan). (Diploid,  $2n = 204-210$ ).
- Tm. vieillardii* Dang., Le Botaniste, 2: 166, 212, t. 9, f. 1-2. 1890-91; Compton, Journ. Linn. Soc. Bot. **45**: 462. 1922; Sahni, Philos. Trans. Roy. Soc. Lond., Ser. B, **213**: 143. 1924 (1925). — *Tm. tannensis*.
- Tmesopsida*; Reimers, in Engler's Syllabus der Pflanzenfam. **1**: 271, 280 (pro syn.). 1954.
- Tristeca* Pal.-Beauvois in Herb. Boiss; Jaume St. Hilaire, Expos. Fam. **1**: 39. 1805; Desv., Prodr. Fam. Foug., 1827; Spring, Monogr. Lyc. **II**: 268-269 (pro syn.). 1850. = *Psilotum*.
- T. aristata* Pal.-Beauv., in Herb. Boiss.; Spring, Monogr. Lyc. **II**: 269 (pro syn.). 1850. = *Psilotum nudum*.
- T. nuda* (L.) Pal.-Beauv.; Jaume St. Hilaire, Expos. Fam. **1**: 39. 1805. = *Psilotum nudum*.
- Viscumcapillare* Blume, Bijdr., p. 667. 1825-26; DC, Prodr. **4**: 285 (pro syn.). 1830; Backer & Posthumus, Varenflora voor Java, 287 (pro syn.). 1939. = *Psilotum nudum*.
- V. ligulatum* Blume, Bijdr., p. 667. 1825-26; DC, Prodr. **4**: 285 (pro syn.). 1830; Backer & Posthumus, Varenflora voor Java, 286 (pro syn.). 1939. = *Ps. complanatum*.

BIBLIOGRAPHY TO THE PSILOTALES

- Allen, B. Molesworth—*Psilotum nudum* in Europe. (Spain, Prov. Cadiz). *Taxon*, 15(2): 82-83. Feb. 1966.
- Andrews, Henry N., Jr. —Studies in Paleobotany. Pp. 25-26 (*Psilotum*). 1961. Wiley.
- Arber, E. A. Newell—Devonian Floras. Pp. 86-88 (*Psilotales*). 1921.
- Arnold, C. A. — An Introduction to Paleobotany. 1947. McGraw-Hill.
- Baker, J. G. — Handbook of the Fern-Allies, pp. 29-30. 1887. London.
- Barber, H. N. —New Species of *Tmesipteris*. *Victorian Naturalist*, 71: 97-99, 2 figs. Oct. 1954.
- Polyploidy in the *Psilotales*. *Proc. Linn. Soc. New South Wales*, 82: 201-208. 1957. [Uses *Ps. triquetrum* (*Ps. nudum* and *Ps. flaccidum* (*Ps. complanatum*))].
- Beekman, W. L. — Über die Torsion des Stengels von *Psilotum bernhardi*, Beiträge zur Kenntnis der Autonomen Bewegungen. *Rec. Trav. Bot. Néerl.* 21: 1-61, 1 t. 1924.
- Bennett, A. W. and G. Murray — A Handbook of Cryptogamic Botany, pp. 1-473, 378 illus. 1889. London. (Order 2. *Psiloteae*, pp. 61-64, f. 40-41).
- Bernatzky, J. — Beiträge zur Kenntniss der endotrophen Mycorrhizen. *Termeszetr. Füz.* 22: 88-110 (*Psilotum*). 1899.
- Bernhardi, J. J. — Tentamen alterum filices in genera redigendi. *Schrad. Jour. Bot.* 1800(2): 121-136. 1801.
- Bertrand, C. E. — Traité de Botanique. Recherches sur les Tmésiptéridées. *Arch. Bot. du Nord de la France*, 1: 252-298. 1881.
- Le type Tmésiptéridée. *Bull. Soc. Bot. France*, 30: 157. 1882.
- Sur la structure des branches simples souterraines des *Psilotum* adultes. *Compt. Rend., Acad. Sci. Paris*, 96: 518-520. 1883.
- Sur la structure des cladodes souterraines des *Psilotum* adultes. *Compt. Rend., Acad. Sci. Paris*, 96: 731-734. 1883.
- Sur la morphologie des rameaux souterraines de la griffe des *Psilotum* adultes. *Compt. Rend., Acad. Sci. Paris*, 96: 279-282. 1883.
- Bierhorst, David W. — Structure and development of the gametophytes of *Psilotum nudum*. *Amer. Jour. Bot.* 40(9): 649-658, 45 figs. 1953.
- The gametangia and embryo of *Psilotum nudum*. *Amer. Jour. Bot.* 41(3): 274-281, 42 figs. 1954.
- The origin of branching in the aerial shoot of *Psilotum nudum*. *The Virginia Jour. Sci.*, 5(2): 72-78, 19 figs. 1954.
- The subterranean sporophytic axes of *Psilotum nudum*. *Amer. Jour. Bot.* 41(9): 732-739, 25 figs. 1954.
- A note on spore germination in *Psilotum nudum*. *The Virginia Jour. Sci.* 6: 96. 1955.
- Observations on the aerial appendages in the *Psilotaceae*. *Phytomorphology*, 6(2): 176-184, 26 figs. 1956.

- Bischoff, Gottlieb Wilhelm**—Die Rhizokarpen und Lycopodeen, Organographisch, Phytonomisch und Systematisch. In Die Kryptogamischen Gewächse mit besonderer Berücksichtigung der Flora Deutschlands und der Schweiz, II: 63-131, t. VII-XIII. 1828. [Uses *Bernhardia (Psilotum)* and *Tmesipteris*].
- Blume, K. L.**—Bijdragen tot de Flora van Nederlansch Indië, Batavia, ter Lands Drukkerij. 1169 pp. 1825-26.
- Enumeratio Plantarum Javae et insularum adjacentium minus cognitarum vel novarum, etc. Fasc. 2: 272. 1830.
- Bold, Harold C.**—Morphology of Plants. Pp. 319-330, figs. 17(1-8). 1957.
- Boodle, L. A.**—On the occurrence of secondary xylem in *Psilotum*. Ann. Bot. 18: 505-517. 1904.
- Bower, F. O.**—Studies on the morphology of spore-producing members: Equisetineae and Lycopodineae. Phil. Trans Roy. Phil. Soc. London, Ser. B, 185: 473-572, 3 t. 1894.
- The origin of a land flora. Pp. 408-422 (*Psilotaceae*, under Sphenophyllales). 1908.
- The relation of size to the elaboration of form and structure of the vascular tracts in primitive plants. Proc. Roy. Soc. Edinb. 43 (Pt. 1, no. 7): 117-126, 3 tables. 1923.
- Size a factor in the morphology of tissues. Flora, N. F., 18-19: 47-61, 5 tf. 1925. (Also vol. 118-119 in full series).
- Primitive Land Plants. 658 pp. (*Psilotales*, class, pp. 123-147). 1935.
- Brisseau-Mirbel, C. F.** in DeLamarck, J. B. & Brisseau-Mirbel, C. F.—Histoire Naturelle des Végétaux, 15 vols. 1803. Déterville, Paris.
- Brongniart, A.**—Histoire des végétaux fossiles. Paris. 1836.
- Broun, Maurice**—Index to North American Ferns, p. 149 (*Psilotum*). 1938.
- Brown, Eliz. D. W. and Forest B. H. Brown**—Flora of Southeastern Polynesia, II. Pteridophytes. Bernice P. Bishop Mus., Bull. 89: 109-111 (*Psilotaceae*). 1931.
- Brown, Robert**—Prodromus Florae Novae Hollandiae et Insulae Van-Diemen. 592 pp. 1810. London.
- Browne, I.**—The phylogeny and inter-relationships of the Pteridophyta. VII. The inter-relationships of the Phyla. New Phytologist, 8: 51-72. 1909.
- Bruchmann, H.**—Über die Prothallien und die Keimpflanzen mehrerer europäischer Lycopodien. 1898. Gotha.
- Buchet, Samuel**—La pseudo-tige des *Psilotales*. Bull. Soc. Bot. Fr., 75: 928-929. 1929.
- Bugnon, Pierre**—L'origine phylogénique des plantes vasculaires d'après Lignier et la nouvelle classe des *Psilophytales*. Bull. Soc. Linn. Normandie, VII, 4: 196-212. 1922.
- Burgeff, H.**—In Verdoorn's Manual of Pteridology, Chap. V, Mycorrhiza, pp. 159-191. 1938.

- Campbell, D. H. — The structure and development of the Mosses and Ferns. 1st ed.: 463, 480-485, illus. *Psilotaceae*, Order II. 1895. London.
- The structure and development of Mosses and Ferns. 2nd. ed.: 485 (fam.), 504-510. 1905; 3rd. ed.: 504. 1918.
- The Evolution of the Land Plants. (Embryophyta). 1940. (Stanford Univ. Press).
- Chaudefaud, Marius — L'existence d'un cordon vasculaire dans le prothalle des *Psilotum* et son importance du point de vue phylétique. Rev. Sci. (Paris), 79: 584-586. 1941.
- Les Psilotinées et l'évolution des Archégoniates. Bull. Soc. Bot. Fr. 97: 99-100. 1950.
- Ching, Ren-Chang — Flora Reipublicae Popularis Sinicae, II. Pteridophyta. (*Psilotopsida*, *Psilotales*, pp. 3-4). 1959. Pekini.
- Colenso, William — On new indigenous Cryptogams of the orders Lycopodiaceae, Muscae and Hepaticae. Trans. N. Zeal. Inst. 20: 234-254. 1887 (1888).
- Compton, R. H. — A systematic account of the plants collected in New Caledonia and the Isle of Pines by Mr. R. H. Compton in 1914. Jour. Linn. Soc. Bot. 45: 421-466. 1922. (*Psilotales* and *Psilotaceae*, p. 461).
- Copeland, E. B. — Solomon Island Ferns. Philip. Jour. Sci. 60: 99-117, 23 plates. 1936. (*Tm. oblanceolata*, p. 99, f. 1).
- Correll, Donovan S. — *Psilotum* in Texas. Wrightia 2: 163-165. 1961.
- Costantin, Julien — Une vieille culture asymbiotique au Muséum. Compt. Rend., Acad. Sci. Paris, 180: 1806-1808. 1925.
- Dalgado, D. G. — Note on *Psilotum triquetrum*. Jour. Bombay Nat. Hist. Soc. 7: 544. 1892.
- Dangeard, P. A. — La rhizome des *Tmesipteris*. Compt. Rend., Acad. Sci. Paris, 107: 287-288. 1888.
- Essai sur l'anatomie des cryptogames vasculaires. Le Botaniste, Ser. I: 211. 1889 (1890). Caen.
- Mémoire sur la morphologie et l'anatomie des *Tmesipteris*. Le Botaniste, Ser. 2: 163-222, 7 t. 1890-91. Caen.
- Note sur les mycorhizes endotrophiques. Le Botaniste, Ser. 2: 223-230. 1890-91. Caen. (*Cladochytrium tmesipteridis* Dang., 224).
- Sur l'équivalence des faisceaux dans les Plantes Vasculaires. Le Botaniste, Ser. 2: 269-271. 1890-91. Caen.
- Darnell-Smith, G. P. — The gametophyte of *Psilotum*. Trans. Roy. Soc. Edinb. 52: 79-91. (1917) 1918.
- Darrah, W. C. — Textbook of Paleobotany, Chap. V: 55-80. 1939 (*Psilopsida*); 2nd. ed., Chap. V: 41-56. 1960.
- de Bary, A. — Vergleichende Anatomie der Vegetationsorgane der Phanerogamen und Farne. (Pp. 291, 362). 1877. Leipzig.
- Desvaux, A. N. — Prodrome de la famille des Fougères. Mém. Soc. Linn. Paris, 6: 171-212, 213-337. 1827.

- Docters van Leeuwen-Reijnvaan, W. und J. — Über die unter Einfluss eines Cocciden entstandene Umbildung der oberirdischen Triebe von *Psilotum triquetrum* in dem Rhizom ähnlich gebauten Gebilden. Ber. deut. Bot. Gesellsch. 29: 166. 1911.
- Domin, Karel — Beiträge zur Flora und Pflanzengeographie Australiens. Bibliotheca Bot. 20: 232-234. 1915. (Also as vol. 85).
- Douin, Robert — Sur les tropismes du *Psilotum triquetrum*. Compt. Rend., Acad. Sci. Paris, 226: 1210-1212. 1948.
- Eames, Arthur J. — Morphology of Vascular Plants, Lower Groups. (Psilophytales to Filicales). 1st ed.: 433 pp. 1936. McGraw-Hill. (*Psilotaceae*, pp. 71-87).
- Endlicher, S. L. — Prodrum Florae Norfolkicae. 100 pp. 1833.  
——— Iconographia generum plantarum. 125 tab., XVI pp. 1838.
- Engler, Adolf — Syllabus der Pflanzenfamilien. 1st ed., p. 58 (*Psilotaceae*). 1892; 2nd ed., p. 64. 1898; 3rd ed., p. 68. 1903; 5th ed., p. 70. 1907; 11th ed. 1936 (Engler & Diels).
- Engler, A. und Diels, Ludwig — Syllabus der Pflanzenfamilien. (*Psilotinae*, pp. 106-107). 1936.
- Esau, K., V. I. Cheadle and E. M. Gifford, Jr. — Comparative structure and possible trends of specialization of the phloem. Amer. Jour. Bot. 40: 9-19. 1953.
- Ford, Sibille O. — The anatomy of *Psilotum triquetrum*. Ann. Bot. 18: 589-605, 1 t. 1904.
- Forster, A. S. and Gifford, E. M., Jr. — Comparative Morphology of Vascular Plants. 1959. Freeman & Co. (*Psilopsida*, Chap. 7: 101-129).
- Gandoger, Michel — Sertum plantarum novarum, pars secunda. Bull. Soc. Bot. Fr., 66: 306 (*Psilotum*, 5 sp. nov.). 1919.
- Gihei, Y. — Einige Beobachtungen über die Zellteilung in den Archesporen und Sporenmutterzellen von *Psilotum triquetrum* Sw., mit besonderer Rücksicht auf die Zellplattnerbildung. Bot. Mag. Tokyo, 34: 117-129. 1920.
- Goebel, K. — Beiträge zur Vergleichenden Entwicklungsgeschichte der Sporangien. Bot. Zeit. 38: 545-552, 561-571. 1880; 39: 681-694, 697-706, 713-720. 1881.  
——— Grundzüge der Systematik und speziellen Pflanzenmorphologie. 1882. Leipzig. (p. 313).  
——— Organographie, der Pflanzen insbesondere der Archegoniaten und Samenpflanzen. II Aufl., 3 vols. 1913-1923. Jena; III Aufl., 2: 1039-1362. 1930.
- Gothan, W. and H. Weyland — Lehrbuch der Paläobotanik. 1954. Berlin.
- Greville, R. K. and Hooker, Wm. J. — Enumeratio Filicum, in Hook. Bot. Misc., 2: 360-403 (*Lycopodineae*). 1831. (*Psilotum* and *Tmesipteris*, 362-363).
- Grisebach, H. R. A. — Systematische Untersuchungen über die Vegetation der Karaiiben, insbesondere der Insel Guadeloupe. Abhand. K. Ges. Wiss. Götting, Phys. Cl., VII: 278. 1857. (138 pp.).

- Grisebach, H. R. A. — Flora of the British West Indian Islands. 1864. (*Psilotum*, p. 648). (Signs name: A. H. R. Grisebach).
- Harris, W. F. — A Manual of the Spores of New Zealand Pteridophyta. Bull. 116, New Zealand Dept. Sci. & Indust. Research, pp. 46-47 (*Psilotales*). 1955.
- Hauman, Lucien — Note sur la distribution géographique de deux Lycopodiales peu connues de la flore Argentine. Apuntes Hist. Nat. 1: 171-172. 1909.
- Hino, I. and Oka, K. — New localities of *Psilotum nudum* and *Podocarpus nagi*. Jour. Jap. Bot. 29: 63 (In Jap.). 1954.
- Hirmer, Max — Handbuch der Paläobotanik. 1927. (*Psilotales*, pp. 146, 343).
- In Verdoorn, Manual of Pteridology, Chap. XVIII: 507-510 (*Psilotinae*). 1938.
- Hofmeister, W. — Vergleichenden Untersuchungen der Keimung, Entfaltung und Fruchtbildung höherer Kryptogamen (Moose, Farn, Equisetaceen, Rhizokarpen und Lycopodiaceen) und der Samenbildung der Coniferen. 1851. Leipzig. (*Psilotum*, pp. 125-126).
- Holden, H. S. — Some vascular abnormalities in the aerial stem of *Psilotum triquetrum*. New Phytol. 26: 260-268, illus. 1927.
- Holloway, John E. — The prothallus and young plant of *Tmesipteris*. Trans. New Zealand Inst. 50 (1917): 1-44. 1918.
- Further studies on the prothallus, embryo and young sporophyte of *Tmesipteris*. Trans. New Zealand Inst. 53: 386-422. 1921.
- Links in the New Zealand Flora with the remote past. Cawthron Lecture, 1936, The Cawthron Institute, 28 pp. 1936. (*Psilotum* and *Tmesipteris*).
- Occurrence of tracheids in gametophytes of *Tmesipteris*. Abstr. Meet. Amer. Assoc. Adv. Sci., 1938.
- The embryo and gametophyte of *Psilotum triquetrum*. A preliminary note. Ann. Bot., London, N. S., 2(7): 807-809, 1 fig. 1938.
- The gametophyte, embryo and young rhizome of *Psilotum triquetrum* Swartz. Ann. Bot., London, N. S., 3(10): 313-336. 1939.
- Hooker, W. J. — Genera Filicum, or Illustrations of the Ferns, and other Allied Genera. 1838-1842. Bohn, London. (*Psilotum*, pp. 86-87).
- Ito, Tokutaro — *Psilotum triquetrum*. Gard. Chron. III, 2: 191, f. 43-47. 1887. (Forms cult. in Japan).
- Jacob de Cordemoy, E. — Flore de l'île de la Réunion. 1895. (*Psilotum*, p. 107).
- Janse, J. M. — Les endophytes radicaux de quelques plantes javanaises. Ann. Jard. Bot. Buit. 14(1): 53-212, t. V-XV. 1896 (1897). Leide.
- Jeffrey, E. C. — «Are there folial gaps in the Lycopsida?» Bot. Gaz. 46: 241-258, 2 t. 1908.
- Jennings, A. V. and Hall, K. M. — Notes on the structure of *Tmesipteris*. Proc. Roy. Irish Acad., pp. 1-18, 5 t. 1891. Dublin.

- Jongmans, W. (Editor) — Fossilium Catalogus, II. Plantae. Lycopodium III, pars 16: 696. 1930; Lyc. IV, pars 22: 647. 1937.
- Joshi, Prakash Chandra — Occurrence of *Psilotum* Sw. in the Punjab. *Current Science*, 3: 486. 1935.
- Juranyi, Ludwig — Über den Bau und die Entwicklung des Sporangiums von *Psilotum triquetrum* Sw. *Bot. Zeit.* 29: 177-182. 1871.  
 ——— Vorläufiger Bericht ueber *Tmesipteris*. *Ber. d. Ungar. Akad. d. Wiss.*, No. 3: 33-36. 1875.
- Karsten, G. — Über Beziehungen der Nucleolen zu den Centrosomen bei *Psilotum triquetrum*. *Ber. d. Deutsch. Bot. Ges.* 11: 555-562. 1893.
- Kickx, Jean Jacques — Sur l'organe reproducteur du *Psilotum triquetrum*. *Bull. Acad. Roy. Belgique, II*, 29: 5-14, 17-32. 1870. Bruxelles.
- Kidston, R. and Lang, W. H. — On Old Red Sandstone plants showing structure, from the Rhynie Chert Beds, Abendeenshire. Parts I-V. *Trans. Roy. Soc. Edinb.* 51-52: 1917-1921. 1917.
- Knobloch, I. W. and Correll, D. S. — Ferns and Fern Allies of Chihuahua, Mexico. *Contrib. Texas Res. Found., Series Bot. Studies*, vol. 3: 1-198, 58 plates. 1962.
- Knowlton, F. H. — Catalogue of the Mesozoic and Cenozoic Plants of North America. *Bull. U. S. Geol. Surv.* No. 696: 127, 511, 626. 1919.
- Koidzumi, G. — Phylogenetic and Epiontological Evolution of the Vegetable Kingdom. *Acta Phytotax. et Geobot.* 8: 1-19, 177-178. 1939.
- Kräusel, R. — Neue Untersuchungen zur Paläozoischen Flora: Rheinische Devonflora. *Ber. Deut. Bot. Gesell.* 54: 307-328. 1936.
- Krishtofovich, A. N. — Textbook of Paleobotany. (Kirs Paleobotanika). (In Russian). *Psilotaceae*, pp. 186-187. 1934.
- Kümmerle, J. B. — Catalogus Lycopodiacearum, Psilotacearum et Selaginellacearum (vorläufige Mitteilung). *Magyar Bot. Lapok*, 26: 98-100. 1928.
- Labillardière, J. J. — *Novae Hollandiae Plantarum Specimen*, 2: t. 252. 1806.
- Labouriau, L. G. — Nota sobre algumas alomorfias dos esporofilos de espécies dos gêneros *Lygodium*, *Osmunda*, *Botrychium*, *Tmesipteris* e *Blechnum*. *Rev. Bras. Biol.* 7: 383-390, 7 figs. 1947.
- Lang, W. H. — On a prothallus provisionally referred to *Psilotum*. *Ann. Bot.* 18: 571-577. 1904.
- Lawson, A. A. — The prothallus of *Tmesipteris tannensis*. *Trans. Roy. Soc. Edinb.* 51(3): 785-794. 1917.  
 ——— The gametophytes generation of the *Psilotaceae*. *Trans. Roy. Soc. Edinb.* 52(1): 93-113, 5 t. 1917.
- Lignier, O. — *Equisétales* et *Sphénophyllales*, leur origine filicinéenne commune. *Bull. Soc. Linn. de Normandie*, V, 7: 93. 1903. Caen.  
 ——— Sur l'origine des Sphénophyllées. *Bull. Soc. Bot. Fr.*, IV, 8: 278. 1908.

- Linnaeus, C. — *Species Plantarum*. Ed. 1, 2: 1100. 1753; ed. 2, 2: 1564. 1763; ed. 3, 2: 1564. 1764.
- Luerssen, Chr. — Die Farne der Samoainseln. Mitt. aus dem Gesamtgebiet der Bot. von A. Schenk und Chr. Luerssen, 1: 401 (*Psilotum*). 1874.
- Gruppe Cryptogamae Vasculares. Handbuch der Systematischen Botanik. 1879. Leipzig. (Lycopodiaceae, *Psilotum* and *Tmesipteris*, pp. 638-639).
- in Rabenhorst's Kryptogamen Flora, 3: 4 (*Psilotaceae*), 781. 1889.
- Mägdefrau, K. — *Päleobiologie der Pflanzen*. Zweite Auflage. 1953. Jena.
- Mahabale, T. S. — *Psilotum triquetrum* Sw. at Lonavale, Bombay Presidency. *Current Science, India*, 11(12): 466-467, illus. 1942.
- Manton, Irene — A note on the cytology of *Psilotum* with special reference to vascular prothalli from Rangitoto Island. *Ann. Bot.*, London, Ser. III, 6: 283-292, illus., t. 8. 1942. (Ps. *flaccidum*,  $\eta = 52-54$  pairs).
- Problems of cytology and evolution in the Pteridophyta, pp. 233-243 (*Psilotales*). 1950.
- Marsden, M. P. F. and Wetmore, R. H. — *In vitro* culture of the shoot tips of *Psilotum nudum*. *Amer. Jour. Bot.* 41: 640-645. 1954.
- Masamune, G. — On the geographical distribution of *Psilotum nudum* Beauv. in Japan. *Jour. Jap. Bot.* 27: 78, text map. 1952. (In Jap.).
- Meyer, Constantin I. — Développement du sporange chez le *Psilotum triquetrum* Sw. (In Russ., French résumé, pp. 62-64). *Bull. Soc. Nat. Moscou, N. S.*, 37 (Sect. Biol.): 52-64, illus. 1928.
- Michaux, André — *Flora Boreali-Americana*, 2: 281. 1803.
- Moore, J. A. and Andrews, H. N., Jr. — Transitional pittings in tracheids of *Psilotum*. *Missouri Bot. Gard. Ann.* 23: 151-158. 1936.
- Morgan, D. — *Psilotum triquetrum* Swartz in Basutoland. *Nature (London)*, 195 (4846): 1121. 1962.
- Moseley, M. F., Jr. and Bessie C. Zimmerly — *Psilotum* gametophytes matured under greenhouse conditions from self-sown spores. *Science*, 110: 482. 1949.
- Müller, Karl — Monographische Kritik der Lycopodiaceen-gattung *Psilotum* Sw. *Bot. Zeit.* 14: 217-227, 233-243, 11 figs. 1856.
- Münster, George Graf zur — Beiträge zur Petrefacten-Kunde, Part 5: 108 (*Psilotites*). 1842.
- Nagano, I. — *Psilotum nudum* Beauv. collected at Kuroya in Chichibu. *Jour. Jap. Bot.* 30: 335. 1955. (In Jap.).
- Nägeli, C. und H. Leitgeb — Entstehung und Wachstum der Wurzeln. *Beitr. Wiss. Bot.* 4: 147, t. 21. 1868.
- Nemejc, Frantisek — *Paleobotanika*, vol. II: 97-130 (*Psilophyta*); 250-252 (*Psilotidae*). 1963. Praha. (*Psylmophylopsida: Cladoxylidae; Noeggerathiidae; Psilotidae- Psilotales, Psilotaceae and Tmesipteridaceae; Pityidae*).



- Newberry, J. S. — Later extinct floras of North America. *Ann. N. Y. Lyceum Nat. Hist.* 9: 1-76. 1868.
- Ninan, C. A. — Cytology of *Psilotum nudum* (L.) Beauv. (*Ps. triquetrum* Sw.). *La Cellule*, 57: 307-318. 1956.
- Noronha, Fernando — in Aub. du Petit-Thouars, *Mélanges Botanique et Voyage*. 1811.
- Okabe, Sakuichi — Ueber eine tetraploide Gartenrasse von *Psilotum nudum* Palisot de Beauvois (= *P. triquetrum* Swartz) und die tripolige Kernteilung in ihren Sporenmutterzellen. *Sci. Rep. Tohoku Univ.* IV, 4: 373-380, 12 figs. 1929. (Haploid,  $\eta=52$ ).
- Ozenda, Paul — Les Pteridophytes actuelles et fossiles. *Cours de l'Univ. de Grenoble*, pp. 12-15 (*Psilotinées, Psilotales*), illus. 1961.
- Palisot de Beauvois, A. M. F. J. — *Prodrome des cinquième et sixième familles de l'Aéthéogamie. Les Mousses. Les Lycopodes.* 114 pp. 1805. Paris.
- Payer, J. — *Botanique Cryptogamique ou Histoire des Familles Naturelles des Plantes Inférieures.* 223 pp., 1105 figs. 1850. Paris. (Fam. 59. *Psilotées*, p. 212).
- Pichi-Sermolli, Rodolfo E. G. — Pteridophyta, in *Vistas in Botany*, pp. 421-493. 1959. London.
- Pitot, A. — Sur l'anatomie de *Psilotum triquetrum* Sw. in *Inst. Franç. d'Afr. Noire*, Paris, 12: 315-334, 19 figs. 1950.
- Potonié, H. — Fossil *Psilotaceae*, in Engler und Prantl, *Nat. Pfl.-fam.* 1(4): 620-621. 1901 (1902).
- Potonié, H. und Gothan, W. — Potonié's *Lehrbuch der Palaeobotanik*, 2 Aufl., umgearbeitet von Dr. W. Gothan, p. 189. 1921.
- Prain, D. — The genus *Psilotum* Sw. in India. *Jour. Bomb. Nat. Hist. Soc.*, 8: 428. 1893.
- Prantl, K. — Bemerkungen über die Verwandtschaftsverhältnisse der Gefässkryptogamen und den Ursprung der Phanerogamen. *Verhandl. Phys. Med. Ges. Würzburg, N. F.*, 9: 90. 1876.
- *Lehrbuch der Botanik.* 1886. (*Psilotaceae*, p. 190).
- Pritzel, E. — in Engler u. Prantl, *Nat. Pfl.-fam.* 1(4): 606-619 (*Psilotaceae*). 1901 (1902).
- Reichenbach, H. G. L. — *Handbuch des natürlichen Pflanzensystems, nach allen seinen Klassen, Ordnungen und Familien.* 346 pp. 1837. Dresden & Leipzig.
- Reimers, H. — in Engler's *Syllabus der Pflanzenfamilien*, I: 269-281. 1954. (Klasse 3. *Psilotopsida* (*Psilotinae, Tmesopsida*): Order. *Psilotales*; Fam. *Psilotaceae* and *Tmesipteridaceae*).
- Rosen, F. — Beiträge zur Kenntniss der Pflanzenzellen. *Psilotum triquetrum*. *Cohns Beitr. z. Biol. d. Pflanzen*, 7: 281. 1896. (First chromosome number in *Psilotum*,  $\eta = 50$ ).
- Rothmaler, W. — Die Abteilungen und Klasse der Pflanzen. *Fedde Repert.* 54(2-3): 256-266. 1951.
- La taxonomie des Lycopodiales. *Huitième Congr. Intern. Bot. Paris, Rapp. Comm., Sect. 5*: 18-19. 1954.

- Russow, E. — Vergleichende Untersuchungen über die Leitbündelkryptogamen. Mém. Acad. St. Pétersbourg, VII, 19(1): 131. 1872.
- Betrachtungen über das Leitbündel und Grundgewebe. 1875. Dorpat.
- Sachs, J. — Lehrbuch der Botanik. 2 Aufl., pp. 388-394. 1870. Leipzig.
- Sadebeck, R. — Die Gefässkryptogamen in Schenk's Encyclopedie der Naturwiss. 1(1): 245. 1879 (1880). Breslau.
- Sahni, Birbal — The structure of *Tmesipteris vieillardii* Dang. Nature, 101: 299. 1918 (June 13).
- Modern Psilotaceae and archaic terrestrial plants. Nature, 111: 84. 1923.
- On the theoretical significance of certain so-called «abnormalities» in the sporangiophores of the *Psilotaceae*. Jour. Indian Bot. Soc. 3: 186-191, illus. 1923.
- On *Tmesipteris vieillardii* Dangeard, an erect terrestrial species from New Caledonia. Jour. Indian Bot. Soc. 3: 263. 1923.
- On *Tmesipteris vieillardii* Dangeard, an erect terrestrial species from New Caledonia. Phil. Trans. Roy. Soc. London, Ser. B, 213: 143-170, t. 5-6. 1925.
- Savory, H. J. — A botanical discovery, *Psilotum*. Nigeria, 30: 317, illus. 1949. (First discovered in Nigeria in 1948).
- Schoute, J. C. — Morphology and anatomy, in Verdoorn, Manual of Pteridology, pp. 1-104. 1938.
- Scott, D. H. — Studies in Fossil Botany. Ed. 1: 116, 499 (*Psiloteae*), 1900; ed. 2, vol. 1: 126 (*Psiloteae*). 1908; vol. 2: 626-632 (*Psilotales*, Class). 1909; ed. 3, Part 1: 112, 412-416 (*Psilotales*). 1920; Part 2: 386-398. 1923.
- Seward, A. C. — Fossil Plants, Vol. 2: 12-29 (*Psilotaceae*, *Psilotales*). 1910.
- Sho-In Gwai-shi — (Nom de plume). Shoyo Ran Pu, or a Monograph of *Psilotum*. 1836. Yedo (Tokyo). (120 var. cult., descript., 60 vars. illustrated in color).
- Singh, Thakur Chandranarayan — A note on the anatomy of *Psilotum triquetrum* Sw. ? Ann. Bot., 44: 1016, illus. 1930.
- Small, J. K. — Flora of Southeastern United States. 1st ed.: 23. 1903; 2nd ed.: 29. 1913.
- Smith, G. M. — Cryptogamic Botany, II. Bryophytes and Pteridophytes. Ed. 2, *Psilotales*, pp. 168-178. 1955. McGraw-Hill.
- Solms-Laubach, H. Grafen zu — Der Aufbau des Stockes von *Psilotum triquetrum* und dessen Entwicklung aus der Brutknospe. Ann. Jard. Bot. Buit. 4: 139-194, t. 18-23. 1884.
- Fossil Botany. English trans. by Henry E. F. Garnsey. Revised by I. B. Balfour. *Psilotaceae*, p. 189. 1891. Orig. ed., May 27, 1887, pp. 194-195. In preface says: «I have taken into consideration the most important of the publications which have appeared up to the end of the year 1886».

- Sprengel, Kurt — Bemerkungen über einige kryptogamische Pflanzen. Schrad. Jour. Bot. 2(2): 265-273. 1799.
- Sprengel, Kurt — Carolini Linnaei, Systema Vegetabilium, 16th ed., 4(1): 11 (Gen. No. 3216, *Psilotum*). 1827.
- Sporne, K. R. — The morphology of Pteridophytes, the structure of ferns and allied plants. *Psilotopsida*, pp. 38-49. 1962.
- Spring, Anton F. — Monographie de la famille des Lycopodiacees, II. Mém. Acad. R. Sci. Lettr. Beaux-Arts Belgique, 24: 1-358. 1850.
- Stiles, W. — The structure of the aerial shoots of *Psilotum flaccidum* Wall. Ann. Bot. 24: 373-387. 1910.
- Strasburger, E. — Einige Bemerkungen über Lycopodiaceen. Bot. Zeit. 31: 81-93, 97-110, 113-119. 1873.
- Über Zellbildung und Zellteilung. Pp. 135-139, t. VI. 1875. Jena.
- Textbook of Botany, 6th English ed., pp. 515. 1930. (*Psilotinae*, Class).
- Swartz, Olof — Genera et Species Filicum ordine systematico redactarum adiectis synonymis recenter detectis, et demum plurimis dubiosis, ulterius investigandis. Schrad. Jour. Bot. 1800(2): 1-120. 1801.
- Synopsis Filicum. 445 pp. 1806. Biblio. Nov. Acad., Kiliae.
- Sykes, M. G. — The anatomy and morphology of *Tmesipteris*. Ann. Bot. 22: 63-89. 1908.
- Note on an abnormality found in *Psilotum*. Ann. Bot. 22: 525-526. 1908.
- Tagawa, Motozi — Coloured Illustrations of the Japanese Pteridophyta. 1959. (*Psilophyta*, *Psilotopsida*, *Psilotales*).
- Tardieu-Blot, M. L. — In A. Aubréville, Flore du Gabon. 8. Pteridophytes. *Psilotales*, pp. 26-28. 1964.
- Thomas, A. P. W. — The affinity of *Tmesipteris* with the Sphenophyllales. Proc. Roy. Soc. 69: 343-350. 1902.
- Unger, F. — Genera et Species Plantarum Fossilium. Vienna. 1850.
- Verdoorn, Fr. (editor) — Manual of Pteridology. 1938. The Hague.
- Wakefield, N. A. — Two new species of *Tmesipteris*. Victorian Nat. 60: 142-143, figs. 1944.
- Wallich, Nathanael — Catalogue: No. 45. 1828.
- Wardlaw, C. W. — Size in relation to internal morphology. I. Distribution of the xylem in the vascular system of *Psilotum*, *Tmesipteris* and *Lycopodium*. Trans. Roy. Soc. Edinb. 53: 503-532. 1924.
- Experimental and analytical studies of Pteridophytes. IV. Stellar morphology: The initial differentiation of vascular tissues. Ann. Bot. N. S., 8: 173-188. 1944.
- Phylogeny and Morphogenesis: Contemporary Aspects of Botanical Science. Chap. 4: 57-69 (*Psilophytineae*). 1952. MacMillan & Co.
- Embryogenesis in Plants. Chap. VI: Embryogenesis in the *Psilotales* and *Equisetales*, pp. 85-92. 1955.

- Wettstein, R. — Handbuch der Systematischen Botanik. 1st ed., 2: 75-82. 1903; 3rd. ed., 325, 342-345. 1924; 4th ed., 1: 437-443. 1933; Tratado de Botanica sistemática, 362-364. 1944.
- Whitelegge, T. — The gametophyte of *Psilotum*: Preliminary notes. Proc. Linn. Soc. N. S. Wales, 41: 553-563, t. XLV, 4 figs. 1916.
- Willdenow, Karl L. — In Usteri et Roemer, Magazin für die Botanik, herausgegeben von J. J. Roemer und Paulus Usteri. Vol. 6: 191 pp. 1789. Zürich. (*Hoffmannia*).
- Bemerkungen ueber einige seltene Farrenkrauter. Abhandl. Kurfürstl. Mainz. Akad. Wiss. Erf. ort. 2(6): 1-32. 1802.
- Carolia Linné, Species Plantarum, ed. 4, 5(1): 56. 1810. Berlin.
- Yamanha, G. — Einige Beobachtungen über die Zellteilung in den Archsporen und Sporenmutterzellen von *Psilotum triquetrum* Sw. mit besonderer Rucksicht auf die Zellplattenbildung. Bot. Mag. Tokyo, 34: 117-129. 1920.
- Yeates, J. S. — The nucleolus of *Tmesipteris tannensis* Bernh. Proc. Roy. Soc. London, Ser. B, 98: 227-244. 1925.
- Ziegenspeck, H. — Beiträge zur systematischen Anatomie der Psilophyta, Psilotaceae, Lycopodiaceae Selaginellaceae und Isoetaceae. Rev. Sudamer. de Bot. 8: 178-204. 1950. (Sept.).
- Zimmerly, Bessie C. and Banks, H. P. — On gametophytes of *Psilotum*. Amer. Jour. Bot. 37: 668. 1950. (Abstr.).
- Zimmermann, W. — Die Spaltöffnungen der Psilophyta und Psilotales. Zeitschr. f. Bot. 19: 129-170, illus. 1926 (1927).
- Die Phylogenie der Pflanzen. 1930. Jena.

**LINHAS NEGRAS  
PRODUZIDAS PELO *SCHIZOPHYLLUM*  
COMMUNE FR. EM MADEIRAS DO MAIOMBE \***

*por*

**INTRODUÇÃO**

AS podridões das madeiras produzidas por xilófagos quer parasitas, quer saprófitas têm sido, desde longos anos, objecto do mais cuidadoso estudo.

Realmente, grandes são por vezes os volumes de madeiras inutilizadas quando, como no caso da *Cryptomeria*, se abatem árvores cujo cerne foi destruído pela *Armillaria mellea* (Vahl. ex Fr.) Kummer, até uma altura do tronco que por vezes atinge os dois metros.

Antes, porém, da espectacular cárie, há um período inicial em que a infecção do lenho passa por assim dizer despercebida, não deixando no entanto de ter de ser considerada do mesmo modo como uma madeira doente. Duma maneira geral, este estado incipiente da podridão é patenteado pelas alterações na coloração. Nalgumas árvores os primeiros sintomas consistem no aparecimento de linhas negras, castanhas ou mesmo púrpura, que conferem por vezes às madeiras um aspecto muito decorativo. No entanto, é necessário não as confundir com zonas e linhas de coloração natural que aparecem no lenho de certas espécies florestais.

A utilização de madeiras doentes em caixotaria e mesmo na indústria de marcenaria, além de todos os inconvenientes que podem advir da sua menor duração, constitui grave risco

\* Comunicação apresentada à 14.<sup>a</sup> Secção do XXVII Congresso Luso-Espanhol para o Progresso das Ciências—Bilbau, 20-24 de Junho de 1964.

quando consideramos que são focos de dispersão em potencial. Qualquer pequeno pedaço de madeira com formação de linhas negras, quando em condições de humidade e temperatura adequadas, pode vir a constituir um grave foco de infecção.

O nosso trabalho consistiu essencialmente na observação microscópica do lenho infectado de essências florestais ultramarinas (Maiombe), no isolamento a partir de linhas negras, no estudo das características culturais das colónias obtidas e na obtenção de carpóforos que permitissem a identificação do xilófago existente nessas madeiras.

Apesar dos provetes utilizados nestes ensaios, e que foram cedidos pela Secção de Madeiras do Laboratório de Engenharia Civil, estarem já armazenados há cerca de quatro anos, ainda conservavam em perfeita vitalidade o fungo que originou as linhas negras.

O estudo das características culturais permitiu-nos a sua identificação — *Schizophyllum commune* Fr. —, confirmada depois numa determinação baseada nas frutificações perfeitamente desenvolvidas em blocos de madeira.

#### AS LINHAS NEGRAS DAS MADEIRAS

Inúmeros são os fungos que formam «linhas negras» nas madeiras. CAMPBELL (1934) faz referência à *Armillaria mellea* (Vahl.) Quel. e *Xylaria polymorpha* (Pers.) Grev., como responsáveis por essas formações, em tecidos de plantas. Em 1936 o mesmo autor e MUNSON acrescentam o *Polyporus squamosus* à lista destes fungos.

Em madeira de *Cryptomeria japonica*, apresentando estados iniciais de podridão, temos observado com frequência linhas negras, produzidas por *A. mellea*, o mesmo se verificando em cernes nitidamente «brocados» (AZEVEDO, 1958). FERREIRINHA (1961), no estudo da anatomia do lenho desta resinosa, faz referência ao seu aparecimento em madeira com sintomas de podridão incipiente.

FINDLAY (1953), CARTWRIGHT & FINDLAY (1958) e outros autores citam com frequência o aparecimento das linhas negras, de origem micótica, em madeiras de várias espécies florestais.

Na madeira com o referido estado incipiente de infecção, é fácil distinguir um riscado de cor escura que, por vezes, forma desenhos mais ou menos decorativos.

Inicialmente, a posição destas linhas é marcada pelo desenvolvimento intenso de hifas muito finas e hialinas, as quais aumentam progressivamente de volume até atingirem aspecto vesicular, tornando-se depois escuras e ocupando o lúmen dos traqueídeos e fibras. Em fase mais avançada, o desenvolvimento do micélio atinge fiadas de 3 ou 4 traqueídeos, constituindo uma placa micelial negra, com estrutura em paliçada, à qual se convencionou denominar «linha negra».

As linhas negras, que podem ser comparadas às placas escleróticas, diferem no entanto daquelas por terem incluído, no seu tecido micelial, tecido lenhoso do hospedeiro.

Nas células em volta dessas linhas desenvolvem-se abundantes hifas de estrutura normal, que atravessam as células em todas as direcções e têm por função difundir o micélio através do tecido do hospedeiro. Em certas células, porém, estas hifas penetram, desenvolvem-se intensamente, dentro delas, tornam-se mais escuras e apresentam então a típica estrutura *vesicular*.

As observações histopatológicas foram feitas em blocos de Tola, fervidos num balão de refluxo com álcool, glicerina e água destilada, durante 5 horas. Fizemos cortes de 15  $\mu$  de espessura em micrótomo de lenho REICHERT e corámos-los com azul de algodão acético e safranina aquosa.

Em estados de podridão muito adiantados a madeira desagrega-se, libertando as linhas negras que se apresentam então como placas pretas de micélio.

Segundo CAMPBELL (1934) a formação das linhas negras representa um estado de excessivo vigor do fungo.

#### ISOLAMENTOS

Utilizámos nos nossos isolamentos provetes de forma paralelepipedica de «Tola branca» (*Gossweilerodendron balsamiferum* Harms), de «Safukala» (*Dacryodes pubescens* Verm.), de «Muamba preta» (*Enantia affinis* Exell) e de «Lucanga-lenombe» (*Xylopiá gilviflora* Exell).

De três blocos diferentes de madeira de Tola isolámos as culturas  $T_1$ ,  $T_2$  e  $T_3$  e a  $K_2$  e  $K_3$  de dois blocos diferentes de Safukala.

As culturas puras isoladas das outras espécies apresentavam-se na cor, textura do micélio, etc. muito diferentes da série T e série K, assemelhando-se mais a fungos inferiores, pelo que não foram incluídas no trabalho.

As culturas das séries T e K pareciam ser idênticas quanto a cor, textura e formação de frutificações abortivas. Por este facto sòmente usámos duas nos ensaios que se seguiram, isto é, as culturas  $T_1$  e  $K_2$ .

#### CARACTERÍSTICAS CULTURAIS

Para caracterização das culturas isoladas das linhas negras, utilizámos as chaves dicotómicas da autoria de MILDREDK NOBLES (1948) e usámos, para determinação da cor a Tabela de cores «Nickerson color Fan».

Fizemos primeiramente culturas base em placas com gelose de agar simples que foram incubadas à temperatura de 25° C durante 13 dias. Em seguida semeámos os dois micélios  $T_1$  e  $K_2$  em placas com meio nutritivo «Difco» malte agar e incubámos a 25° C. Para corte dos inóculos empregámos um «cork borer» de 1 mm.

A observação das culturas definitivas foi feita semanalmente.

Reportando-nos às chaves de identificação de culturas de fungos xilófagos concluímos que as culturas  $T_1$  e  $K_2$  tinham características idênticas. Assim, verificámos que tinham como hospedeiro uma árvore folhosa; micélio inicialmente branco mantendo a mesma coloração durante as 6 semanas do ensaio; formação de uma zona de difusão; ansas regularmente presentes em todas as partes do micélio; sem estruturas especiais; com clamidósporos; sem confídios; sem oídios; crescimento moderadamente rápido, atingindo o diâmetro da placa da 4.<sup>a</sup> para a 5.<sup>a</sup> semana; sem carpóforos; não se verificando a alteração da cor, ou sòmente não escurecendo mais que um amarelo de mel, durante as seis semanas do ensaio. Micélio erecto, lanoso; clamidósporos com paredes levemente espessadas, com 6.0-15.0 X 4.5-7.5  $\mu$ .



As características miceliais acima apontadas são idênticas em todas as culturas e condizem com as que foram apresentadas por NOBLES para o *Schizophyllum commune* Fr.

TENTATIVA DE OBTENÇÃO DE CARPÓFOROS  
EM LABORATÓRIO

Embora tivéssemos determinado a espécie a que pertencia o xilófago que produzia as «linhas negras» nas madeiras do Maiombe, havia, porém, que proceder à confirmação, tentando obter carpóforos em meio laboratorial a partir das culturas existentes. Para isso, ensaiámos os dois métodos de cultura, que a seguir descrevemos, e com os quais obtivemos bons resultados.

1.º método

Fez-se a sementeira numa cultura ( $T_1$ ) e da ( $K_2$ ) em tubos com gelose de malte, pusemos a incubar em estufa a 25° C e passados oito dias retirámo-las da incubadora e foram colocadas às escuras à temperatura ambiente. Após quinze dias de desenvolvimento, formaram-se frutificações abortivas do tipo «stag's horn», idênticas às que FINDLAY (1953) descreveu para o *Lentinus lepideus* Fr.

Colocadas as culturas à temperatura ambiente, mas com luz solar, deu-se então o aparecimento de pequenos cogumelos que, embora com as características da espécie, apresentavam menores dimensões.

2.º método

O segundo método, um pouco mais complicado, consiste na sementeira dos micélios das culturas  $T_1$  e  $K_2$  em meio constituído e preparado do seguinte modo:

- a) Substrato sólido, que é formado por uma mistura de serraduras, de 4 ou 5 espécies entre folhosas e resinosas, seca ao ar.
- b) A cada 100 gr. desta mistura juntámos:

Farinha de milho.	. . . . .	2,5 gr.
Farinha de ossos.	. . . . .	1,5 gr.
Amido de batata.	. . . . .	0,75 gr.
Levedura seca.	. . . . .	0,2 gr.

- c) Preparámos em seguida um líquido de rega que continha :

Extracto de malte . . . . .	.0,5 gr.
Caseína hidrolisada . . . . .	.0,175 gr.
Tiamina hidrocloreica . . . . .	0,0033 gr.
Água.. . . . .	necessária à saturação

Deitámos as substâncias em pó e a serradura, depois de bem misturadas, em frascos que foram completamente cheios e depois regados com a solução nutritiva até à saturação. Após 24 horas foram tapados e esterilizados a 120° C durante ½ hora.

Os frascos foram então semeados com as culturas a ensaiar, tapados com papel celofane e incubados a 25° C em luz difusa e ambiente húmido, até se obter vigoroso desenvolvimento micelial. Então, a cobertura de celofane foi retirada e colocaram-se sobre a boca dos frascos blocos de Tola, Safukala, Muamba preta e Pinheiro com as dimensões de 9 X 9 X 5,8 cm, escavados no centro.

Os blocos devem ter dimensões que não excedam o diâmetro da boca dos frascos e devem ser colocados de maneira que a superfície inferior contacte perfeitamente com a parte superior da cultura do fungo.

O bloco foi protegido com uma manga de polietileno esterilizada e atado no gargalo do frasco, para evitar contaminações.

As culturas foram novamente colocadas em estufa, à temperatura de 25° C, sendo necessário manter um alto teor de humidade. Quando o fungo atingiu o bloco, retirámos a manga protectora e colocámos os frascos em condições de meio ambiente. Mantivemos a humidade regando os blocos periódicamente.

As frutificações agora obtidas apresentavam, além das características da espécie, as dimensões dos cogumelos formados na natureza o que nos permitiu confirmar que as linhas negras eram produzidas por um fungo da família das Agaricáceas, o *Schizophyllum commune* Fr. (RAMSBOTTOM, BRESADOLA, FERGUS).

Idênticas frutificações foram encontradas em madeira com casca enviada do Maiombe, Angola, o que confirmou em absoluto ser este fungo o responsável pela formação das linhas negras nestas madeiras.

O *Schizophyllum*, considerado por alguns autores como um fungo xilófago, ataca com mais frequência as folhosas e só raramente as resinosas, produzindo uma cárie castanha na madeira (GOIDANICH, 1963).

Segundo CARTWRIGHT e FINDLAY (1958), aparece com frequência em madeiras tropicais, após o abate das árvores.

Em Portugal Continental é observado com frequência em muitas espécies florestais e, tal como nas madeiras do Ultramar, embora não produza uma rápida decomposição da madeira não deixa no entanto de a alterar, promover a sua desvalorização pelo aspecto que lhe confere e diminuir a sua durabilidade.

#### SUMÁRIO

Em condições laboratoriais tentou-se o isolamento, cultura pura e identificação de fungos produtores de «linhas negras» nalgumas espécies tropicais provenientes do Maiombe, província de Angola.

Das zonas negras das amostras de madeira de : *Dacryodes pubescens* Verm. (Safukala), *Gossweilerodendron balsamiferum* Harms (Tola branca), *Enantia affinis* Exell (Muamba preta) e *Xylopiá gilviflora* Exell (Lucanga-lenombe), obtivemos algumas culturas puras, com características culturais diferentes.

Os isolamentos obtidos de Safukala e Tola, mesmo em gelose de malte, formaram, inicialmente, frutificações abortivas e, após uns meses de cultura, carpóforos perfeitamente bem diferenciados.

Ensaçando métodos especiais de cultura, principalmente o de TAMBLYN and DA COSTA (1958) utilizando blocos de madeira sã, passados 5 meses eram perfeitos e numerosos os carpóforos desenvolvidos nas culturas obtidas de Safukala e Tola. Estes carpóforos permitiram a identificação do agente produtor de «linhas negras»: o *Schizophyllum commune* Fr.

Amostras de madeira enviadas do Maiombo apresentavam, na casca, frutificações do mesmo fungo.

Trabalhámos **mais** intensamente **com** as madeiras de Tola e Safukala, devido à maior importância económica que representam, principalmente a primeira, pelo seu crescente emprego na indústria de marcenaria. As «linhas negras» da madeira **duma** e doutra espécie são produzidas pelo mesmo **fungo**: o *Schizophyllum commune* Fr.

#### SUMMARY

*The black lines pattern on tropical woods from  
Maiom.be Angola*

As a contribution to identify the mycological agents of the black lines presented by some tropical species — *Dacryodes pubescens* Verm. (Safukala), *Gossweilerodendron balsamiferum* Harms (Tola branca), *Enantia affinis* Exell (Muamba preta) and *Xylopiagilviflora* Exell (Lucanga-lenombe) — a series of experiments have been carried out. From the diseased dark zones of those woods we have obtained some isolates with different cultural characteristics.

Under laboratorial condition and applying special media of culture the isolates from Safukala and Tola are tested in a incubation room at 25° C. A few months after the inoculations, the isolates mentioned had formed some perfect carpophores on the experimental wood blocks.

So it was possible to classify these black lines fungi as *Schizophyllum commune* Fr.

In the experiments we have used more intensely Tola and Safukala woods, due the greatest economical importance they represent, especially the first one on account of its increasing use in furniture industry. The «black lines» observed in the wood of the two species above mentioned, are produced by the same fungus: the *Schizophyllum commune* Fr.

#### AGRADECIMENTOS

Em conclusão deste breve trabalho compete-nos agradecer, em primeiro lugar, ao Sr. Eng. TOMÁS J. E. MATEUS, chefe da Secção de Madeiras do Laboratório de Engenharia

Civil, e seus colaboradores, o material que tão gentilmente nos cederam.

Ao Sr. Prof. Dr. PINTO LOPES o nosso reconhecimento pela ajuda prestada na confirmação da diagnose do fungo.

A todo o pessoal do Laboratório de Patologia Florestal que interferiu nos nossos ensaios, o maior reconhecimento pela valiosa ajuda e interesse com que sempre acompanhou os trabalhos em curso.

#### BIBLIOGRAFIA

AZEVEDO, NATALINA F. DOS SANTOS DE

- 1958 Uma Armillariose em *Cryptomeria japonica* (L. f.) D. Don. *Publ. Dir. Geral Serv. Flor. e Aquícolas*, 25: 59-75.

BRESADOLA, J.

- 1929 Iconographia Mycologica. *Soc. Bot. Ital. Museu Civico di Storia Nat. de Trento*, 11: 252.

CAMPBELL, A. H.

- 1933 Zone lines in plant tissues. I—The black line formed by *Xylaria polymorpha* (Pers.) Grev. in hardwoods. *Ann. Appl. Biol.* 20: 123-145.

- 1934 Zones lines in plant tissues. II—The black lines formed by *Armillaria mellea* (Vahl) Quel. *Ann. Appl. Biol.* 25: 1-22.

CAMPBELL, A. H. and MUNSON, R. J.

- 1936 Zone lines in plant tissues. III—The black lines formed by *Polyporus squamosus* (Huds.) Fr. *Ann. Appl. Biol.* 23: 453-463.

CARTWRIGHT, K. ST. G. and FINDLAY, W. P. K.

- 1958 *Decay of timber and its prevention*. London, Her Majesty's Stationery Office.

FERGUS, C. L.

- 1960 *Illustrated genera of wood decay fungi*. Burgess Publishing Company, Minnesota.

FERREIRINHA, M.P.

- 1961 Contribuição para o estudo do lenho de *Cryptomeria japonica* (L. f.) D. Don. atacada de Armillariose. *Publ. Dir. Geral Serv. Flor. e Aquícolas*, 28. (No prelo).

FINDLAY, W. P. K.

- 1953 *Dry rot and other timber troubles*. Hutchinson's Scientific and Technical Publications, London, New York, Toronto, Melbourne, Sydney and Cap Town.

GOIDANICH, G.

- 1963 Le avversità delle piante agrarie. *Ramo Editoriale degli Agricoltori Roma*, 4: 134-135.

NOBLES, MILDRED K.

1948 Studies in forest pathology. VI—Identification of cultures wood-rotting fungi. *Can. Jour. Res.* 26: 281-431.

RAMSBOTTOM, J.

1923 *A Handbook of the larger British fungi*. The Oxford Univ. Press.

TAMBLYN, N. and DA COSTA, E. N. B.

1958 A simple technique for producing fruit bodies of wood destroying Basidiomycetes. *Nature*, 181: 578-9.

# ESTAMPAS

**Fig. 1.—Linhas negras em madeira de *Gossweilerodendron balsamiferum* Harms.**

The «black lines» pattern of the *Gossweilerodendron balsamiferum* Harms.

**Fig. 2.—Aspecto de manchas miceliais na mesma madeira.**

Micelial mats formed on the same woods.

**Fig. 3.—Aspecto das linhas negras de *Dacryodes pubescens* Verm.**

Wood of *Dacryodes pubescens* Verm. showing «black lines».

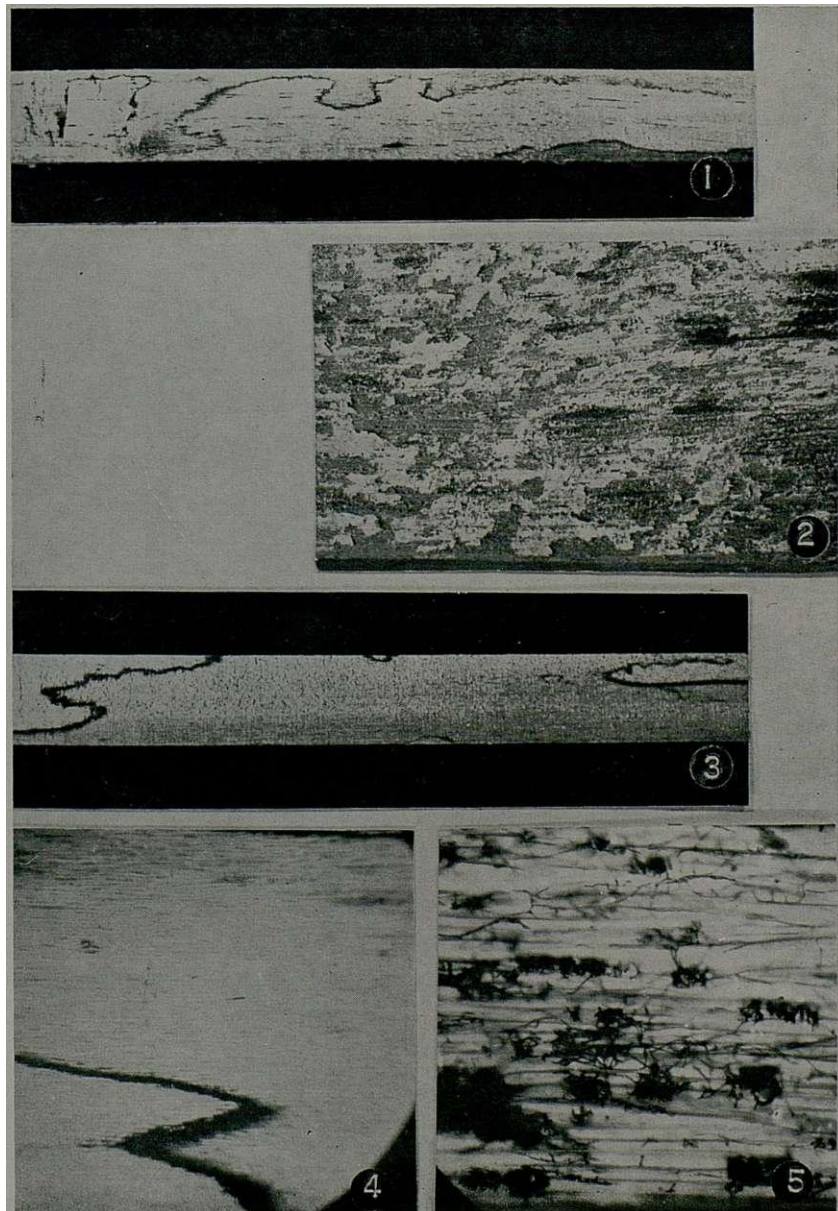
**Fig. 4.—Corte transversal em madeira com linhas negras.**

Transversal section showing the dark zones.

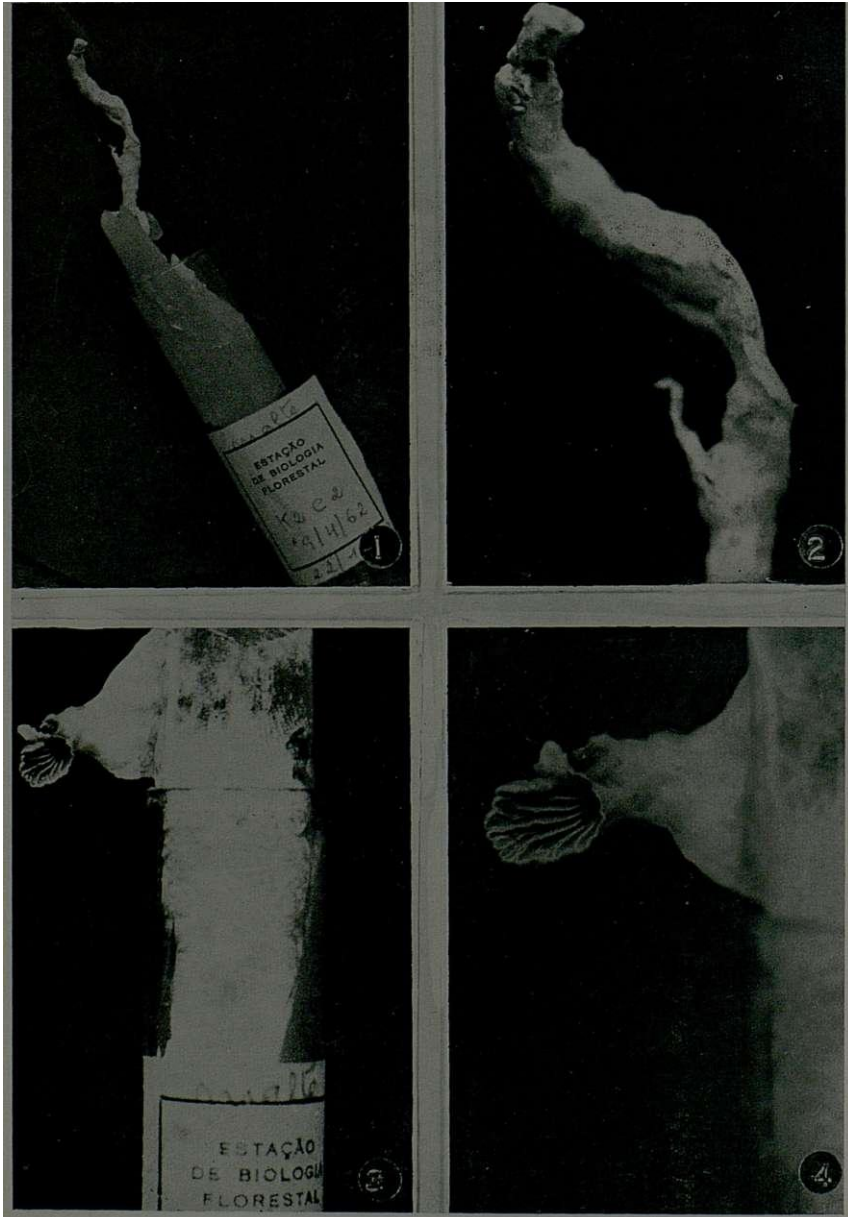
**Fig. 5.—Pormenor do tecido do hospedeiro, vendo-se hifas vesiculadas e normais.**

Detail of the histological structure of the foregoing photograph.





Est. II

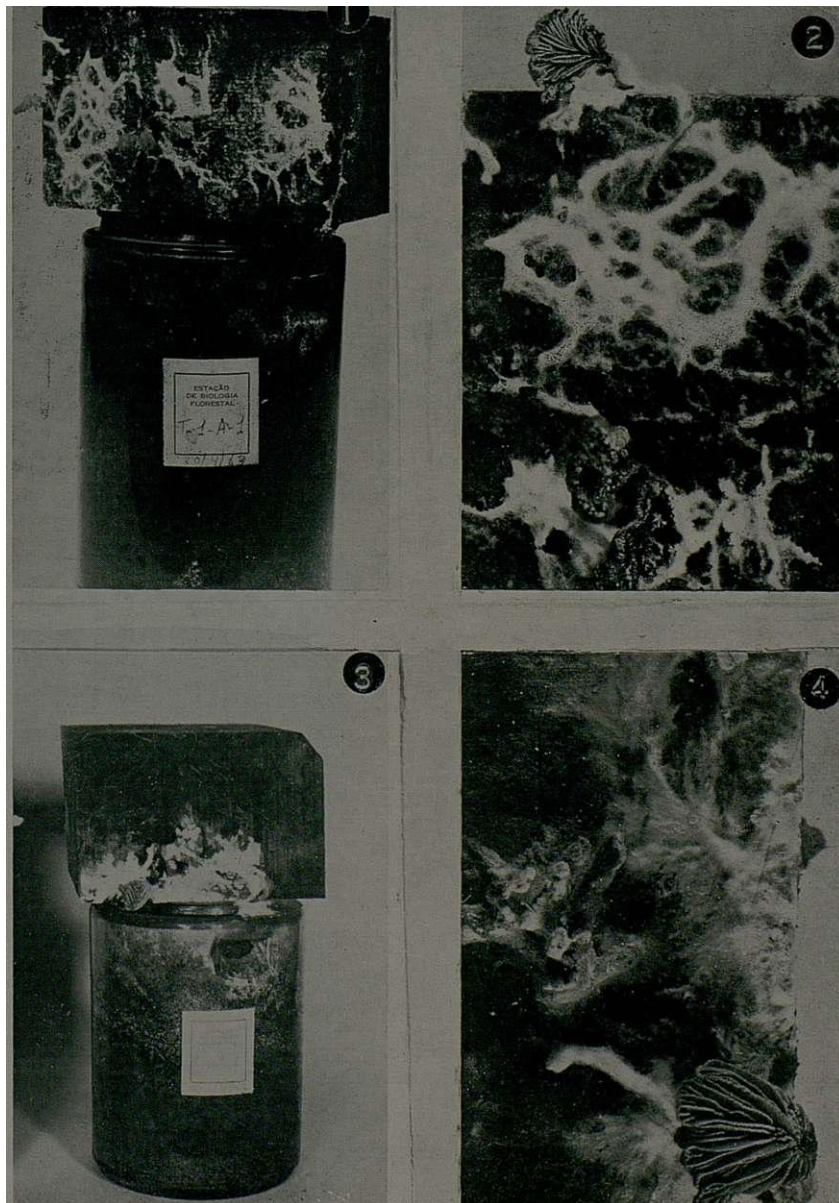


ESTAMPA II

- Fig. 1 e 2.—** Formações abortivas em culturas isoladas de Safukala (K).  
Abortive fructifications formed by Safukala isolates.
- Fig. 3 e 4.—** Carpóforos da cultura formados em gelose de malte.  
Carpophores of the Safukala isolates obtained in Malte agar.

ESTAMPA III

- Fig. 1.**—Frutificações da cultura T de *Schizophyllum commune* Fr. em bloco de madeira.  
Fructifications of one the *Schizophyllum commune* Fr. isolates.
- Fig. 2.**—Pormenor do carpóforo.  
Detail of the photograph 1.
- Fig. 3.**—Cultura K no frasco à direita.  
Carpophores of another *Schizophyllum* isolates.
- Fig. 4.**—Pormenor do carpóforo.  
Detail of the foregoing photograph.





# HOMOLOGIAS CROMOSSÓMICAS NO GÉNERO *GOSSYPIUM*\*

*por*

A. QUINTANILHA e A. CABRAL

O género *Gossypium* compreende hoje vinte e quatro espécies, distribuídas, segundo as suas afinidades citogenéticas, por seis grupos diferentes:

ESPÉCIES	GENÓMIOS
<i>Asiáticas e africanas</i> (n = 13)	
f <i>G. herbaceum</i>	A <sub>1</sub>
<i>G. arboreum</i>	A <sub>2</sub>
<i>G. anomalum</i>	B <sub>1</sub>
<i>G. triphyllum</i>	B <sub>2</sub>
<i>G. barbosanum</i>	B <sub>3</sub>
<i>G. stocksii</i>	E <sub>1</sub>
<i>G. somalense</i>	E <sub>2</sub>
<i>G. areysianum</i>	E <sub>3</sub>
<i>G. incanum</i>	E <sub>4</sub>
<i>G. longicalyx</i>	E <sub>5</sub>
<i>Australianas</i> (n = 13)	
<i>G. sturtii</i>	C <sub>1</sub>
<i>G. robinsonii</i>	C <sub>2</sub>
<i>G. australe</i>	C <sub>3</sub>
<i>Americanas</i> (n = 13)	
<i>G. thurberi</i>	D <sub>1</sub>
<i>G. armorianum</i>	D <sub>2-1</sub>
<i>G. harknessii</i>	D <sub>2-2</sub>
<i>G. klotzschianum</i>	D <sub>3</sub> ✕
<i>G. klotzschianum</i> var. <i>Davidsonii</i>	D <sub>3-D</sub>
<i>G. aridum</i>	D <sub>4</sub>
<i>G. raimondii</i>	D <sub>5</sub>
<i>G. gossypoides</i>	D <sub>6</sub>
<i>G. lobatum</i>	D <sub>7</sub>

Trabalho apresentado às «Jornadas de Genética», Oeiras, 1965.

*Americanas* (n = 26)*G. hirsutum* (AD)<sub>1</sub>*G. barbadense* (AD)<sub>2</sub>*Arquipélago de Hawai* (n = 26)*G. tomentosum* (AD)<sub>3</sub>

Cruzamentos entre espécies de grupos diferentes, ou são inviáveis, ou, quando viáveis, são, por via de regra, estéreis. Cruzamentos entre espécies do mesmo grupo são normalmente viáveis, mas, ou são estéreis, ou têm uma fertilidade reduzida.

SKOVSTED (1934) notou que no híbrido entre uma espécie cultivada americana [*G. hirsutum*, por exemplo, (AD)<sub>1</sub>] e uma espécie selvagem americana (*G. thurberi*, por exemplo, D<sub>1</sub>) se formavam, na primeira divisão meiótica, treze bivalentes e treze univalentes, sendo estes últimos os cromossomas maiores. E que num híbrido entre a mesma espécie cultivada americana (AD)<sub>1</sub> e uma espécie cultivada asiática (A<sub>1</sub> ou A<sub>2</sub>) se formavam, na primeira divisão meiótica, também treze bivalentes e treze univalentes, sendo estes últimos agora os cromossomas mais pequenos. Daqui deduziu que as espécies americanas com 52 cromossomas devem ter sido originadas por um híbrido entre uma espécie cultivada asiática (A<sub>1</sub> ou A<sub>2</sub>) e uma espécie selvagem americana (D), que tivesse duplicado espontaneamente o seu número de cromossomas, tornando-se assim fértil.

Mais tarde, BEASLEY (1940) e HARLAND (1940) conseguiram, independentemente, duplicar o número de cromossomas de um híbrido entre uma espécie cultivada asiática e uma espécie selvagem americana (pelo tratamento com a colquicina), tornando-o assim fértil. E verificaram depois que esse híbrido, quando cruzado com uma espécie cultivada americana, produzia híbridos férteis, e que mostravam, na primeira divisão meiótica, 26 bivalentes.

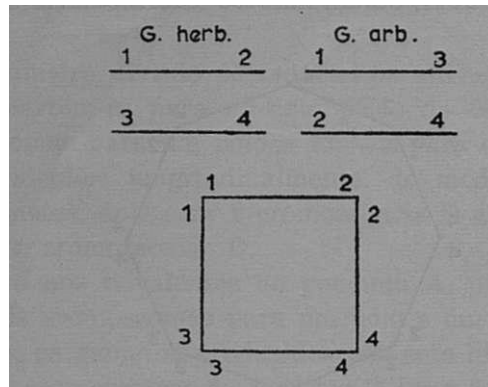
Estava, assim, demonstrada a hipótese de SKOVSTED.

Nos nossos trabalhos de citogenética no género *Gossypium* temos obtido muitos híbridos interespecíficos que, tratados pela colquicina, se tornam férteis. Assim, por exemplo,



do cruzamento do *G. hirsutum* ( $AD$ )<sub>1</sub> com o *G. armorianum* ( $D_2$ ) obtivemos um híbrido triplóide estéril que mostrava um emparelhamento regular dos dois genómos D (13 bivalentes) e 13 univalentes do genómio A (Fig. 1 e 2, Est. I).

Duplicado o número de cromossomas pela colquicina, obtivemos um híbrido fértil, hexaplóide, com 78 cromosomas, emparelhando regularmente nas divisões de redução (Fig. 3, Est. I).



**Fig. text. 1.** — Esquema de uma translocação recíproca entre dois cromossomas de *G. herbaceum* para darem os dois cromossomas de *G. arboreum*, o que explicaria a formação de um quadrivalente no híbrido entre as duas espécies.

Este híbrido hexaplóide comporta-se agora como uma espécie sintética e permite cruzamentos com as espécies asiáticas cultivadas, dando híbridos tetraplóides férteis que são cruzáveis com as variedades cultivadas do *G. hirsutum*. Por tais processos é possível transmitir caracteres de umas espécies para outras, mesmo quando os híbridos entre as espécies em questão sejam estéreis.

No cruzamento do *G. herbaceum* var. *africanum* ( $A_1$ ) com o *G. arboreum* ( $A_2$ ) obtêm-se híbridos relativamente férteis, com um emparelhamento regular de cromossomas (13 bivalentes), ou com 11 bivalentes e um quadrivalente.

GERSTEL (1953) explicou a formação deste quadrivalente admitindo a hipótese de uma translocação recíproca entre os cromossomas um e dois das duas espécies.

Sendo assim, quando duplicarmos o número de cromossomas do híbrido, havemos de obter um novo híbrido com 52 cromossomas, 26 do genómio  $A_1$  e 26 do genómio  $A_2$ . Destes cromossomas, 44 ( $2 \times 11 A_1 + 2 \times 11 A_2$ ) são homólogos 4 a 4. Devem, pois, formar 11 quadrivalentes na primeira divisão meiótica, ou 22 II, ou um número intermediário de II e IV.

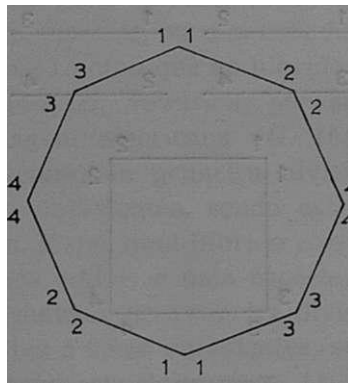


Fig. text. 2. — Esquema explicando a formação do octovalente da Fig. 4, Est. I.

Quanto aos cromossomas um e dois, devem poder formar um octovalente, ou dois quadrivalentes, ou um número intermediário de combinações (p. ex., 1 VII e 1 I, 1 VI e 1 II, 1 V e 1 III, etc.). De facto, nunca obtivemos mais de um octovalente, em cadeia fechada ou aberta, e 11 quadrivalentes, o que está de acordo com a hipótese de GERSTEL (Fig. 4, Est. I e fig. text. 2).

Cruzando agora este híbrido tetraplóide ( $A_1A_1A_2A_2$ ) com variedades do *G. hirsutum* (AADD), este progenitor deve fornecer um gameto AD, enquanto que o outro progenitor deve fornecer gametos com a constituição  $A_1A_1$  ou  $A_2A_2$  ou  $A_1A_2$ . O híbrido formado deve, pois, ter a constituição A A A D, representando por A indistintamente o genómio  $A_1$ ,  $A_2$  ou A.

Este híbrido deve, pois, apresentar nas divisões de redução um mínimo de 13 univalentes (do genómio D) e um máximo de 13 trivalentes (do genómio A). O número de univalentes pode, porém, ser superior a 13, se não se formarem 13 trivalentes do genómio A, mas sim 12 III, 1 II e 1 I, ou 11 III, 2 II e 2 I, etc.

As observações condizem perfeitamente com os resultados teòricamente previstos, ainda que, por vezes, seja muito difícil de distinguir nas preparações os bivalentes dos trivalentes.

Na primeira divisão de redução os univalentes do genómio D repartem-se para os dois pólos da célula ao acaso,  $\chi$  cromossomas para um pólo e  $13 - \chi$  para o outro. Na segunda dividem-se longitudinalmente, de modo a formarem quatro gametos, dois com  $\chi$  cromossomas D e os outros dois com  $13 - \chi$  cromossomas D.

Quanto aos trivalentes do genómio A, dividem-se marchando dois cromossomas para um pólo e um para o outro.

Assim, os gametos produzidos por este híbrido terão no máximo 13 cromossomas do genómio D (se  $\chi$  for igual a zero) e 26 cromossomas de genómio A, se todos os trivalentes tiverem contribuído com 2 cromossomas. E, no mínimo, nenhum cromossoma D e 13 cromossomas A.

Retrocruzando agora sucessivamente este híbrido com variedades do *G. hirsutum*, os cromossomas do genómio D do híbrido vão emparelhando, nas sucessivas gerações, com um número cada vez maior de cromossomas do mesmo genómio do *G. hirsutum*, até restabelecerem os 13 bivalentes. E os cromossomas em excesso do genómio A vão-se perdendo pelo caminho até se restabelecerem as condições de equilíbrio com 13 bivalentes A.

Por este processo, ao cabo de três ou quatro retrocruzamentos temos de novo exemplares compensados, com 26 bivalentes, 13 do genómio D e 13 do genómio A.

Mas se a selecção tiver sido cuidadosamente feita, podemos incorporar no híbrido resultante genes do *G. herbaceum* ou do *G. arboreum*.

As observações feitas condizem perfeitamente com os resultados teòricamente esperados.

É curioso, porém, notar que SKOVSTED (1934) obteve um híbrido sensivelmente com a mesma constituição cromossômica que o nosso ( $G. arboreum \times G. herbaceum$ )  $F_1 \times [G. hirsutum \times G. barbadense] \times G. barbadense$ ], mas estéril.

#### RESUMO

Por cruzamento entre variedades do *Gossypium hirsutum* e espécies selvagens americanas é possível obterem-se híbridos triploides (ADD) estéreis que, tratados pela colquicina, se tornam hexaplóides (AADDDD) e férteis. Estes, cruzados com espécies cultivadas asiáticas, dão híbridos tetraploides férteis e susceptíveis de serem cruzados com variedades do *G. hirsutum*.

Num híbrido entre o *G. herbaceum* e o *G. arboreum*, tratado pela colquicina ( $A_1 A_1 A_2 A_2$ ) vêm-se 52 cromossomas que, no máximo emparelhamento, formam um octovalente e onze quadrivalentes. Cruzado sucessivamente com variedades do *G. hirsutum* vão-se restabelecendo pouco a pouco os treze bivalentes do genómio D e, por perdas sucessivas de cromossomas, os treze bivalentes do genómio A. Deste modo é possível obter por fim formas férteis, com 26 bivalentes, cruzáveis com variedades cultivadas do *G. hirsutum*, mas com características do *G. herbaceum* ou do *G. arboreum*.

#### SUMMARY

Through crossings between varieties of *Gossypium hirsutum* and wild American species, sterile triploid hybrids (ADD) can be obtained, which treated with colchicine become hexaploid (AADDDD) and fertile. These, crossed with Asiatic cultivated species, give origin to fertile tetraploid hybrids, susceptible of being crossed with varieties of *G. hirsutum*.

In a colchicine treated hybrid from a cross between *G. herbaceum* and *G. arboreum* ( $A_1 A_1 A_2 A_2$ ), 52 chromosomes may be seen which at maximum pairing form one octovalent and eleven quadrivalents. The thirteen bivalents of genome D are gradually recovered by successive crossings with *G. hirsutum* varieties while for genome A recovery is

effected by successive losses of chromosomes. Thus, it is finally possible to obtain fertile forms with 26 bivalents, which can be crossed with cultivated varieties of *G. hirsutum* but keep characteristics from *G. herbaceum* and *G. arboreum*.

**BIBLIOGRAFIA**

BEASLEY, J. O.

1940 The origin of the american tetraploid *Gossypium* species. *Am. Nat.* 74: 285.

GERSTEL, D. U.

1953 Chromosomal translocations in interspecific hybrids of the genus *Gossypium*. *Evolution*, 7: 234.

HARLAND, S. C.

1940 New polyploids in cotton by the use of colchicine. *Trop. Agr. T'rad.* 17: 53.

SKOVSTED, A.

1934 Cytological studies in cotton. II Two interspecific hybrids between asiatic and New World cottons. *Journ. Genet.* 28: 407.

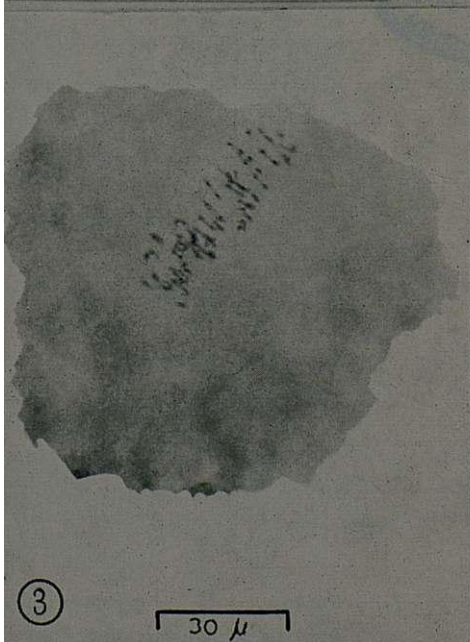
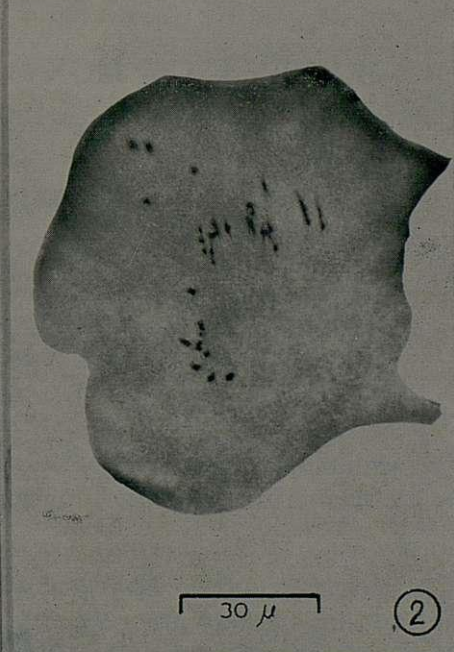
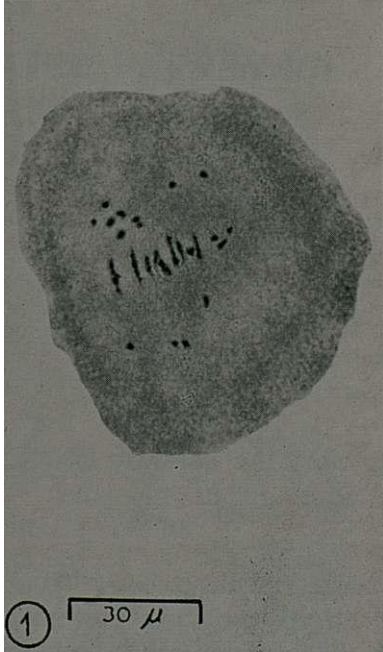


ESTAMPA

ESTAMPA I

- Fig. 1 e 2.** — Metafases da primeira divisão das células-mães de grãos de pólen de um cruzamento entre *Gossypium hirsutum* e *G. armorianum*, mostrando 13 univalentes.
- Fig. 3.** — Idem, depois da duplicação do número de cromossomas pela colquicina, mostrando um emparelhamento regular dos cromossomas.
- Fig. 4.** — Um octovalente em cadeia fechada, obtido num híbrido entre *G. herbaceum* e *G. arboreum*, em que foi duplicado o número de cromossomas pelo tratamento com a colquicina.







## NEW *VERBENACEAE* FROM MOZAMBIQUE

by

HAROLD N. MOLDENKE

**Chascanum** schlechten var. *torrei* Moldenke,  
var. nov.

HAEC varietas a forma typica speciei foliorum laminis usque ad 12 mm. latis *marginē* superne irregulariter dentatis recedit.

This variety differs from typical form of the species in having its leaf-blades elliptic, to 12 mm. wide, and irregularly spreading-dentate toward the apex.

The type of the variety was collected by Dr. ANTÓNIO ROCHA DA TORRE (n.º 7039) — in whose honor it is named — near Chobela, Magude, Lourenço Marques, Moçambique, on January 3, 1948, and is deposited in the herbarium of the Centro de Botânica, Junta de Investigações do Ultramar, in Lisbon (LISC).

**Premna** holstii var. *glandulifera* Moldenke, var. nov.

Haec varietas a forma typica speciei ramulis pedicellisque calicibusque pilis capitato-glandulosis ornatis recedit.

This variety differs from the typical form of the species in having the youngest branchlets, pedicels, and outer surface of the calyxes covered with glandular-capitate shortly divergent hairs.

The type of the variety was collected by Dr. FRANCISCO DE ASCENSÃO MENDONÇA (n.º 1654) at Goba, Maputo, Lourenço Marques, Moçambique, on December 6, 1942, and is

deposited in the herbarium of the Centro de Botânica, Junta de Investigações do Ultramar, in Lisbon (LISC).

*Vitex oxycuspis* var. **mossambicensis** Moldenke,  
var. nov.

Haec varietas a forma typica speciei recedit ramulis breviter fulvo-puberulis, petiolis usque ad 11 cm. longis, foliolis ellipticis subtus minute fulvo-puberulis, pedunculis usque ad 1.5 cm. longis dense breviter pubescentibus, ramulis inflorescentiorum calicibusque dense breviterque pubescentibus, dentibus calicis magnis triangularibus.

The type of this variety was collected by Dr. ANTÓNIO ROCHA DA TORRE (n.º 6323, in part) in sandy soil in dense deciduous forest of *Brachystegia* at Dondo, Cheringoma, Manica e Sofala, Moçambique, on December 31, 1943, and is deposited in the herbarium of the Centro de Botânica, Junta de Investigações do Ultramar, in Lisbon (LISC).

**Holmskioldia subintegra** Moldenke, sp. nov.

Arbor; ramis sarmentosis prominente lenticellatis novellis dense griseo-pubescentibus; laminis foliorum obovatis vel obovato-ellipticis pergamentaceis utrinque breviter pubescentibus integris vel subintegris ad apicem breviter cuspidatis, ad basin acutis, sessilibus vel subsessilibus.

Tree, 5-7 m. tall, apparently much-branched; branchlets twiggy, conspicuously lenticellate with elevated lenticels, the youngest parts densely short-pubescent with gray hairs; principal internodes much abbreviated, 1-4 cm. long; leaves decussate-opposite or approximate, sessile or subsessile; leaf-blades firmly chartaceous or parchment-like, brunnescent in drying, lighter beneath, obovate or obovate-elliptic, usually widest above the middle, acute to short-cuspidate at the apex, entire or subentire-repand along the margins, acute at the base, rather densely short-pilose or -pubescent above, more densely so beneath especially along the venation; secondaries about 6 per side, practically indiscernible above, prominulous

beneath; inflorescence axillary, usually shorter than or equaling the subtending leaves; peduncles very slender, 2-3 cm. long, densely short-pubescent; cyme-branches 2 or 3, shorter than the peduncle, short-pubescent, divergent in fruit; calyx firmly chartaceous, rotate, distinctly 5-lobed, conspicuously venose, pinkish, 2.5-3 cm. wide, puberulent.

The type of this species was collected by EDUARDO CAMPOS DE ANDRADA (n.º 1755) near Furancungo, Macanga, Tete, Moçambique, on July 14, 1949, and is deposited in the herbarium of the Centro de Botânica, Junta de Investigações do Ultramar, in Lisbon (LISC).

*Holmskioldia tettensis* f. alba Moldenke, f. nov.

Haec forma a forma typica speciei corollis albis recedit.

This form differs from the typical form of the species having white corollas.

The type of the form was collected by Dr. ANTÓNIO ROCHA DA TORRE (n.º 2015) near Goba, Maputo, Lourenço Marques, Moçambique, on November 15, 1940, and is deposited in the herbarium of the Centro de Botânica, Junta de Investigações do Ultramar, in Lisbon (LISC).



**CYTOTAXONOMIC REVISION  
OF THE *AXONOPUS COMPRESSUS*(SW.)  
BEAUV. COMPLEX**

*by*

**D. GLEDHILL B. SC., PH. D., F. L. S.**  
University College of Sierra Leone

**HE** carpet-grasses of the genus *Axonopus* Beauv. constitute a complex of forms originally attributed to the species *A. compressus* (Sw.) Beauv. Now occurring throughout the tropics and some subtropics (Pl. I), they are all undoubtedly derived from material of American or West Indian origin (GLEDHILL, 1965). The following have been recognised as components of the complex:

**A. affinis** Chase, J. Washington Acad. Sci. **28, 4: 178-182, 1938.**

*A. compressus* v. *affinis* (Chase) Henderson, Malayan Wild Fl. Monoc, Mal. Nat. Soc. : **339, 1954.**

This differs from *A. compressus* in having more slender culms and stolons, narrower leaves and shorter, obtuse to sub-acute spikelets.

Gulf States of America, West Indies, Brazil, Paraguay, Venezuela, temperate S. America (Alemania and Tolxa), Singapore, Malaysia, Australia, Japan and Pacific Islands.

**A. flexuosus** (Peter) Hubbard ex Troupin, Exploration du Parc Nat. Garamba 1, **4: 18-19, 1956.**

*Digitaria flexuosa* Peter, Fl. von Deutsche Ostafrika in Fedde Rep. 40, **1:165, 1930.**

*A. compressus* v. *jesuitica* Araujo, Bol. Secret Est. Negoc. Ind. & Com. Porto Alegre, **100:36, 1943.**

*A. compressus* subsp. *congoensis* Henrard, *Blumea* **5**: 529, 1945.

*A. compressus* v. *congoensis* (Henrard) Black, *Adv. Front. Pl. Sci.* **5**: 1-186, 1963.

This differs from *A. compressus* in being much taller, having longer and sometimes wider leaves and longer spikelets and racemes.

Guinea, Sierra Leone, Liberia, Ivory Coast, Ghana, Nigeria, Congo, Kenya, Uganda, Tanzania, Zambia.

Type specimens seen: *de Saeger* 1336, Congo, *Hens* 162, Congo.

*A. compressus* subsp. ***brevipedunculatus*** Gledhill, *Phytomorphology* **12**, 4: 412-418, 1962.

*A. compressus* v. *australis* Black, *Adv. Front. Pl. Sci.* **5**: 1-186, 1963.

This was described to circumscribe robustly stoloniferous material with broad leaves, hairy above, longer and hairy spikelets and short peduncles.

Guinea, Sierra Leone, Liberia, Ghana, Nigeria, Fernando Po, Congo, Angola, Zambia, Honduras, Cuba, Puerto Rico, Jamaica, Windward Islands, Trinidad, Paraguay, Assam, Ceylon, Malaysia, Java and Australia.

Type: *Gledhill* 54 (SL). (Isotype  $\times$ ).

*A. compressus* v. ***itirapinensis*** Black, *Adv. Front. Pl. Sci.* **5**: 1-186, 1963.

This differs in having a few short hairs on the rachis of the racemes. It is restricted to a single locality in Brazil.

*A. compressus* v. *macropodius* Black, *Adv. Front. Pl. Sci.* **5**: 1-186, 1963.

*Paspalum macropodium* Steud., *Syn. Pl. Glum.* **1**: 19, 1854.



This differs in having longer pedicels (up to 1 mm) and racemes often aggregated at the summit of the peduncles. It is restricted to the foothills of the Andean Cordillera.

Type specimen seen: *Jameson* 556, Ecuador.

A specimen, numbered 916, in the Botanische Staatsammlung, Munich, was collected by O. SWARTZ in Jamaica. It bears the name *Milium compressum* and is here cited as the type for *Axonopus compressus* (Sw.) Beauv. and, together with SWARTZ' descriptions (1788 and 1797) serves as the basis for this revision.

An extensive study of material in Kew, Edinburgh, Munich, Leiden, Ghana and Sierra Leone herbaria, and of living material derived from many parts of Africa, has led to the proposal of the following new taxa.

A. **brevipedunculatus** D. Gledhill, spec. nov.

A. *compressus* ssp. *brevipedunculatus* D. Gledhill, pro parte a *A. compressus* pedunculo folii terminalis quam vagina raro multo longiore, inflorescentiis strictis, spiculis latoribus, subacutis, pilosis, stolonibus crassioribus, foliorum vaginis et laminis latoribus, laminis atroviridibus, supra pilis rigidiusculis laxe dispositis, apice saepe rubidis, folio terminale longitudine reducta differt.

Type: *Gledhill* 225, Hastings Village, Sierra Leone (SL).  
Isotype  $\alpha$ .

Perennial up to 16 cm tall, forming a dense, tufted turf with strongly rooting stolons and short, stout rhizomes. Stolon internodes up to 3 cm long, 2.2 mm wide, compressed and shallowly double keeled adjacent to the innovation below. Culms robust, terminal and solitary or in extravaginal groups from the innovations. Sheaths up to 6 mm wide, strongly compressed, with scattered long hairs on the margins and below the insertion of the blades. Lower sheaths 2-5 cm long, crowded, flabellate, smooth, striate, persistent. Blades (3.5-) 12 (-20) cm long, up to 13.5 mm wide, ovate-lanceolate from a rounded base, asymmetrically rounded at the apex, dark green or anthocyanosed, hispid on the upper surface and often

corrugated between the nerves; margins undulate, ciliate with hairs 1.5 mm long on hyaline bases; the hairs replaced by forward pointing teeth towards the apex. Nodes hairy; the hairs up to 1.8 mm long, white to pale mauve. Inflorescences 2, 3 or 4, each with 2 or 3 spike-like racemes. Peduncles 0.8 mm diameter, triquetrous, glabrous, seldom as long as the ultimate leaf-sheath. Racemes up to 6 cm long, strict, dark green or anthocyanosed. Rachis triquetrous, glabrous except for a collar of hairs at the base, scaberulous at the margins. Spikelets 2.3-2.8 mm long, 1.1 mm wide, broadly ovate-lanceolate, sub-acute, green or anthocyanosed, becoming stramineous, long silky hair; the hairs white to pale mauve, up to 1 mm long. Second glume corresponding in size and shape to the spikelet, sub-acute, with hyaline teeth towards the apex. Sterile lemma sub-similar to the glume but embraced by it marginally. Fertile lemma and palea sub-similar, 1-8 mm long, 0.8 mm wide, the former with a much reduced apical tuft of hairs and embracing the latter marginally. Anthers 0.6 mm long, yellow, becoming contorted and compressed by the growth of the caryopsis, seldom exerted and then becoming crescentiform. Stigmas white to pale mauve. Caryopsis 1.4 mm long, 0.8 mm wide, elliptic-obtuse; the embryo occupying the lower half of the grain. Hilum small, oval.

This is an apomictic species, as is indicated by the setting of fruit in unopened spikelets; even in those which remain confined within the ultimate leaf-sheath. The incidence of apomixis in carpet grasses has not been previously reported but, as will be shown, it is a common feature of some of the African representatives. The possibility of there being agamic complexes amongst these grasses is suggested by the facts that herbarium material from several geographic areas possess fruiting spikelets with the anthers still confined within the fertile floret, and that it is possible to distinguish such material on the basis of minor morphological characters. All show the short peduncle character, usually together with short ultimate leaves.

Morphological variability has been investigated under wet and dry season conditions and under wet, shaded and dry, exposed conditions. In Table I, the dry season (Jan.) means of 120 measurements for each of three culm characters, and 100 measurements for spikelet length, are compared with the means of corresponding wet season (Oct.) measurements. The figures were accumulated by repeated samples of 20 measurements, on plants in experimental beds, taken during the period 1957 to 1963. Values of Student's *t* less than 3.29 have probabilities greater than 1 in 1000 that the

TABLE I  
Seasonal variation in dimensions  
of *A. brevipedunculatus*

		Mean	t
Culm length	Jan.	18.5	13.49
	Oct.	24.3	
Culm sheath	Jan.	10.2	13.32
	Oct.	13.6	
Culm leaf	Jan.	3.5	16.12
	Oct.	5.8	
Spikelet	Jan.	2.5	23.58
	Oct.	2.8	

variation could be due to sampling error. Higher values indicate significant seasonal variation in size.

A high degree of linear correlation ( $r = 0.77$  in Jan. and  $0.94$  in Oct.) has been determined for the relative lengths of the culm and culm-sheath. This served to confirm that the short peduncle character is genetically determined and not, as is common in *A. compressus*, an induced modification.

Most important amongst the seasonal variations is that of spikelet length. This dimension has been widely used in the taxonomy of the whole genus and has caused some difficulty in distinguishing between *A. compressus* and *A. affinis* in several areas. Under wet, shaded conditions *A. brevipedunculatus* produced spikelets up to 3.4 mm in length, and also become more strongly stoloniferous and less hairy on

the upper leaf surface. Its leaves grew up to 30 cm long and were spirally twisted. Under dry, exposed conditions material from the same clone produced short, very hairy spikelets, short, many-noded stolons and short, broad, hairy leaves which showed little tendency to wilt.

The spikelets of the African taxa are compared in Pl. II with those of SWARTZ' Jamaican specimen.

Cytologically, the material examined has all been tetraploid, with 40 chromosomes (Pl. III, *b*). Only one population contained plants with two additional chromosomes. Pairing during PMC meiosis is complete, as 20 bivalents.

A. *arenosus* D. Gledhill, spec. nov.

A. *compresso pedunculo folii terminalis quam vagina raro multo longiore; inflorescentis strictis vel subpatulis; spiculis longioribus, 3-3.5 mm longis, subacutis, glabris vel rarissimo pilo; nodis glabris; stolonibus crassioribus; foliorum vaginis et laminis latioribus; laminis glabris, pallenti viriditate; folio terminale longitudine reducta differt.*

Type: *Gledhill 226*, Hamilton, Sierra Leone (SL).

Perennial up to 20 cm tall, forming an open, tufted and stoloniferous turf on shaded, sandy soils. Stolon internodes up to 5 cm long, 2.7 mm wide, slightly compressed and acutely but shallowly double keeled. Culms robust, ascending or erect. Sheaths 6 mm wide, compressed, glabrous, striate, widely flabellate. Blades (2.5-)11(-25) cm long, 15 mm wide, linear-lanceolate to oblong-lanceolate, from a rounded base, symmetrically rounded at the apex, light green, glabrous or with remote adpressed hairs, the margins with few, short hairs but with hyaline teeth. Nodes glabrous. Inflorescences 3 or 4, each with 2 or 3 strict or slightly spreading spike-like racemes. Peduncles 0.8 mm diameter, triquetrous, glabrous, the longest not much longer than the ultimate leaf-sheath. Racemes up to 8.5 cm long, straight, light green. Rachis triquetrous, glabrous, smooth or slightly scaberulous at the margins. Spikelets 3-3.5 mm long, 1.1 mm wide, broadly ovate-lanceolate, obtuse at the apex, green, glabrous or with

few, short, adpressed hairs towards the base. Second glume corresponding in size and shape to the spikelet, obtuse, with hyaline teeth towards the apex, mid-nerve conspicuous. Sterile lemma sub-similar to the glume but embraced by it marginally. Fertile lemma and palea sub-similar, 1.9 mm long, 1 mm wide, the former without an apical tuft of hairs or the tuft very much reduced, and embracing the latter marginally. Anthers brownish mauve. Stigmas mauve. Caryopsis 1.7 mm long, 0.9 mm wide, elliptic-obtuse; the embryo occupying the lower half of the grain. Hilum small, oval.

As with the previous species, this is capable of apomictic seed production. Normal anthesis has been observed, however, and it seems likely that this is facultatively apomictic.

It is confined to a few localities in which shaded, sandy soils immediately behind a beach, comparable with grey dunes, are prevented from progressing to coastal thicket vegetation by man's interference. It is found at Hamilton and Sussex, both on the Freetown peninsula. It is difficult to maintain under cultivation on non-sandy soils, on which it produces broader leaves with undulating margins. Under dry, exposed conditions plants become tufted and only shortly stoloniferous, and show little susceptibility to wilting. Leaf folding occurs along three principal veins and severe dehydration causes terminal leaf lesions.

All the plants examined have been hexaploid, with 60 somatic chromosomes (Pl. III, c). PMC pairing is regular and results in the production of over 95% good pollen.

*A. brevipedunculatus* X *compressus* D. Gledhill, *hyb. nov.*

*A. compressus* subsp. *brevipedunculatus* D. Gledhill *pro parte.*

Est inter *A. brevipedunculatum* et *A. compressum* sed foliis et stolonibus et spiculis infusis rubore et omnino sterilis.

Type: *Gledhill 227*, Gloucester Village, Freetown (SL).

This is very common in Sierra Leone in open, disturbed habitats. It is intermediate in most characters between its putative parents. The ultimate culm-leaf is longer, on the average, than in either parent, the stolon internodes thicker

and racemes longer. The inflorescences are short peduncled and the racemes usually remain partially enclosed in the apex of the ultimate leaf-sheath.

All the material examined has been found to have the tetraploid somatic number of 40 and to have irregular meiosis in the PMCs. Some 30 % of pollen grains stain with aceto-carmines but the ovaries in mature spikelets are always collapsed. Normal anthesis has not been observed and populations can only spread by stoloniferous growth.

*A. compressus* X *flexuosus* D. Gledhill, *hyb. nov.*

*A. flexuosus* (Peter) Hubbard ex Troupin pro parte.

Est inter *A. compressum* et *A. flexuosum* sed omnini sterilis.

Type : *Gledhill 229*, Leiceester Village, Sierra Leone (SL) .

Forms a deep matted growth due to initial arching of the stolons, in wet, shaded habitats. It is intermediate between its putative parents but the leaves are longer (up to 40 cm) and the ultimate leaf is, on the average, longer. The inflorescences are long exserted and the racemes flexuous. The average number of spikelets per culm is high (422, as compared with 210 in *A. compressus* and 370 in *A. flexuosus*).

Spikelet length is variable. Under dry, exposed conditions the average length was 2.7 mm, under wet, shaded conditions some basal spikelets attained lengths up to 4 mm, and the average lengths in January and October were 2.8 mm and 3.0 mm respectively.

The tiller leaves withstand dry conditions well, remaining rigid but folding along the principal veins.

The materials examined have been found to vary in somatic chromosome number. Two Sierra Leone populations contained plants whose chromosome numbers varied between 48 and 54 (Pl. III, e). One Ghana population was apparently homogeneous at the pentaploid level. PMC meiosis was found to be irregular and only 17 % of pollen grains stained with aceto-carmines. All the ovaries which have been examined have been collapsed but occasional seedlings have

been raised to the 4-leaf stage from bulk sewing of naturally abscised spikelets. Normal anthesis has been observed but reproduction is probably confined to stoloniferous fragmentation.

*A. compressus* (Sw.) Beauv.

West African *A. compressus* (Pl. IV) is a sexual tetraploid,  $2n = 40$  (Pl. III,  $\alpha$ ), characteristically inhabiting road verges and footpaths under a forest or thicket canopy. It is of smaller stature than West Indian material but this is not regarded as being taxonomically significant.

The character of aggregation of the racemes at the summit of the peduncle has been noted in some populations, but it appears to be a simple genetic phenomenon since it is present in only a small proportion of plants. BLACK'S use (1963) of varietal status for long pedicelled, subumbellate plants, as *A. compressus* v. *macropodius*, would therefore seem appropriate.

Morphological variability in *A. compressus* has been investigated. The first biometric comparison with *A. affinis* Chase produced the surprising result that West African *A. compressus* had a shorter spikelet length than the plants of *A. affinis*, which had been grown from American seed. The figures obtained were  $2.2 \pm 0.020$  mm for *A. compressus* and  $2.3 \pm 0.023$  for *A. affinis*. A later comparison, using *A. affinis* which had been grown on for two years, gave a more reliable comparison. This, and the seasonal comparison of culm dimensions are shown in Table II.

The seasonal variation in spikelet length in *A. affinis* is significant, but there was no detectable seasonal variation in the length of *A. compressus* spikelets. However, under wet, shaded conditions, *A. compressus* had an average spikelet length of 2.3 mm; significantly greater than the lengths in the table. Under these same conditions, it produced leaves up to 20 cm in length and fewer, shorter stolons.

The seasonal variation in culm dimensions shown, in Table II, are significant, and correlations between the culm and sheath lengths were found for both these species. For

*A. compressus*, the correlation coefficient  $r$  was 0.58 in January and 0.73 in October, and for *A. affinis*  $r$  was 0.91 in January and 0.85 in October. The dimensions of *A. compressus* are greatly modified by mowing. Cutting with a cylinder lawn mower stimulates lateral spread and consolidation into

TABLE  $\pi$   
Seasonal variation in culm dimensions  
of *A. compressus* and *A. affinis*

		Mean	t
<i>A. compressus</i>			
Culm length (cm)	Jan.	27.2	3.25
	Oct.	28.7	
Culm sheath (cm)	Jan.	8.1	4.77
	Oct.	8.9	
Culm leaf (cm)	Jan.	6.4	9.18
	Oct.	7.7	
Spikelet (mm)	Jan.	2.1	1.40
	Oct.	2.1	
<i>A. Affinis</i>			
Culm length (cm)	Jan.	22.8	8.21
	Oct.	27.9	
Culm sheath (cm)	Jan.	9.1	12.92
	Oct.	11.5	
Culm leaf (cm)	Jan.	2.9	10.37
	Oct.	3.9	
Spikelet (mm)	Jan.	1.9	4.07
	Oct.	2.0	

a turf, when the production of long stolons is inhibited and plants become more strongly rhizomatous. Leaf sheaths and blades become narrower and fewer culms are produced. Those culms which are formed are inclined, rather than erect, and have shorter leaves and inflorescences. In these respects they look rather like the culms of *A. brevipedunculatus*, but flowering is free and occurs as the spikelets emerge from the culm-sheath. The basal leaves often decrease in width to 5 mm; *A. affinis* leaf widths may rise to 12 mm in October, and



caution is required in using leaf width to distinguish between these two species. When a turf, which has been maintained by mowing, is neglected the modifications which were caused by mowing quickly disappear.

#### A. *flexuosus* (Peter) Hubbard ex Troupin

The remaining African species, *A. flexuosus*, is a tall, robust plant forming a deep, matted sward of stoloniferous growth in habitats experiencing at least seasonal flooding. One of the conspicuous features of this species is the arching of the stolons. These are at first erect, but the long internodes (up to 30 cm) arch downwards and may root at the nodes. There are seldom more than 4 internodes.

The leaf blades may be up to 30 cm long and 20 mm wide. They have a conspicuous mid-vein but are without marginal hairs (only the hyaline bases are present). The inflorescences are long exserted from the ultimate leaf sheath and each may support up to five, flexuous, spike-like racemes. The racemes are up to 16 cms long.

Spikelet lengths up to 4 mm have been recorded but the average length is 3.3 mm. The fertile floret occupies only the lower 2 mm of the spikelet and causes a slight but conspicuous distension of the lower part of the spikelet (see Pl. II). Like the nodes, leaves and rachis of the racemes, the spikelets are glabrous or inconspicuously adpressed silky-hairy.

Seasonal variation in *A. flexuosus* is very pronounced, being related to the drying out of the habitat. During the dry season, the production of culms and stolons ceases and, as the matted, stoloniferous growth is reduced by decay and termite action, the deep matted sward degenerates to an open turf. This persists throughout the dry season and may consolidate by rhizomatous growth. With the onset of the wet season, stoloniferous growth and culm production recommence.

All the material examined has been found to have the hexaploid chromosome number,  $2n = 60$  (Pl. III, *d*) and to be meiotically regular. Normal anthesis has been observed,

as also has the production of fruits in unopened spikelets. Emasculation experiments gave some indication that fruits can be produced apomictically, but this has not been confirmed cytologically. It is probable that this species is primarily sexual in the wild state.

#### Key for the West African taxa

Peduncles not much longer than the ultimate leaf-sheath.  
Leaves, nodes and spikelets with  $\pm$  spreading hairs; spikelets up to 3 mm long.

At least the first raceme becoming fully exerted from the ultimate leaf-sheath; ultimate leaf about as long as its sheath, often anthocyanosed. . . . .  
. . . . . *A. brevipedunculatus* X *compressus*

Racemes seldom fully emerging from the apex of the ultimate leaf-sheath but often protruding from it laterally; ultimate leaf less than half as long as its sheath, dark green; leaves with remote rigid hairs above; anthers yellowish-brown; stigmas pale mauve; fertile lemma with a reduced apical tuft of hairs . . . . ,  
. . . . . *A. brevipedunculatus*

Leaves, nodes and spikelets glabrous or with remote adpressed hairs; spikelets 3-3.5 mm long; ultimate leaf about  $\frac{1}{3}$  as long as its sheath; anthers brown; stigmas mauve; fertile lemma with an inconspicuous apical tuft of hairs. . . . . *A. arenosus*

Peduncles much longer than the ultimate leaf-sheath.

Spikelets over 2.7 mm long, glume much longer than the fertile floret; racemes more than 9 cm long, flexuous.  
Stolon internodes over 12 cm long, stout, nodes glabrous; leaves up to 2 cm wide, midrib conspicuous, marginal hairs absent or represented by hyaline bases; ultimate leaf about  $\frac{1}{3}$  as long as its sheath; lower spikelets contiguous; anthers and stigmas dark mauve; fertile lemma with a conspicuous apical tuft of hairs . . . . .  
. . . . . *A. flexuosus*

Stolon internodes up to 10 cm long, slender, nodes hairy; leaves up to 1.5 cm wide, margins remotely ciliate

towards the base, ultimate leaf about  $\frac{1}{2}$  as long as its sheath; lower spikelets remote; anthers orange-brown with darker punctate marks on margins; stigmas dark mauve; fertile lemma with a conspicuous apical tuft of hairs. . . . . *A. compressus* X *flexuosus*

Spikelets up to 2.7 mm long, glume not conspicuously much longer than the fertile floret; racemes less than 9 cm long, stiffly ascending.

Peduncles straight; leaves lanceolate, herbaceous, asymmetrically sub-acute, margins ciliate, ultimate leaf more than  $\frac{1}{2}$  the length of its sheath; stolon internodes up to 7 cm long; spikelets narrowly ovate, obtuse to sub-acute; anthers pale mauve; stigmas white to pale mauve; fertile lemma with a conspicuous apical tuft of hairs. . . . . *A. compressus*

Peduncles flexuous; leaves linear, sub-succulent, abruptly obtuse, with few, widely spaced marginal hairs, ultimate leaf less than  $\frac{1}{2}$  the length of its sheath; stolon internodes less than 5 cm long; spikelets ovate-elliptic, obtuse; anthers mauve; stigmas dark mauve; fertile lemma without or with a very much reduced apical tuft of hairs. . . . . *A. affinis*

#### EXPERIMENTAL CROSSES

Hybrids have been synthesised between *A. compressus*, used in each case as the maternal parent, *A. flexuosus*, *A. arenosus* and *A. brevipedunculatus*. Meiosis in the pollen mother cells of all the hybrids was found to be irregular. In *A. compressus* X *flexuosus* artificial hybrids complex multivalents and few univalents suggested that the parental chromosomes, although having segmental homology, differ greatly in their linear structure. Only 20 % of the pollen grains examined stained with aceto-carmin and all the ovaries examined were collapsed dorsio-ventrally.

No univalents were observed in the artificial *A. compressus* X *arenosus* hybrids, but complex multivalents, together with less than 10 % stainable pollen and all the ovaries being collapsed, suggest that the parents differ in chromosome structure as well as number.

The cross between *A. compressus* and *A. brevipedunculatus* was between parents having the same chromosome number,  $2n = 40$ . The artificial hybrids had quadrivalents and trivalents but no univalents. This again suggests segmental interchange differences between the two parents. 32% of the pollen grains examined stained with aceto-carmin but all the ovaries were found to be collapsed.

The most significant difference between the artificial and natural hybrids is that the latter produce a fairly high proportion of bivalents. Such a condition might be due to selection in the wild state for seed fertility (and, hence, for functional meiotic products) over a greater length of time than in the artificial hybrids.

#### DISCUSSION

The variation in morphology, chromosome number, breeding mechanism and ecology of the components of the *A. compressus* complex suggest a state of evolutionary dynamism. The presence of the complex in areas other than the tropical American area probably dates from about 1800 (GLEDHILL, 1965). The process of adaptation to the environment of a new geographical area is initially dependent upon phenotypic plasticity. The colonisation of new habitats requires physiological modifications and these are dependent upon cytological modifications. The carpet grasses, like many other subsynchronous and semi-useful plants of the tropics, are seldom cultivated, in the strict sense. They are seldom used selectively by man but usually persist as ruderal or even aggressal weeds. The formation of morphologically distinguishable variants under such circumstances is a relatively rapid process but the variants are selected genotypes. Nevertheless, it seems reasonable to suppose that extension into new, man made habitats, and spatial discontinuities arising as a result of regeneration of, say, thicket and forest, is accompanied by cytological changes and speciation.

Morphological modifications have given rise to taxonomic confusion in Australia (MCLENNAN, 1936; CROSS, 1938), Malaya (JAGOE, 1940) and South Africa (CHIPPINDAL, 1954).

In the first two of those areas the dates of introduction were known and that knowledge probably contributed to the failure of recognition that both quantitative and qualitative differences existed between the plants in those areas and *A. compressus* of the West Indian type area. The dimensions of spikelets and leaves, characters which have been used extensively as diagnostic criteria, are known to be very variable. The taxonomy of the genus as a whole has been dictated by the recognition of narrowly endemic taxa of the tropical American area, on the one hand, and the lumping together of widely distributed taxa, on the other. Few attempts have been made to discover characters, other than those of gross morphology, which provide reliable distinguishing features at various taxonomic levels. This is shown in BLACK'S (1963) monograph, which generalises anther colour as constantly dark purple, and lodicule shape as 'apparently somewhat obtuse' and admits to the examination of the caryopsis only in *A. furcatus* (Flügge) Hitch. JAGOE (1940) listed a number of characters, which included the colours of anthers and stigmas, by which *A. affinis* and *A. compressus* could be distinguished. In doing so he made a descriptive departure from the diagnosis of the latter species, by referring to it as having short peduncles. This is not strictly true of all Malayan material, only that which has since been circumscribed by the writer (1962) as *A. compressus* subsp. *brevipedunculatus* (BLACK'S var. *australis*).

The African taxa can be defined precisely in terms of their morphological characters and the distinctions so made are supported by their cytology. Three levels of polyploidy are found within the complex, tetraploid, hexaploid and octoploid. The diploid number has been recorded in two species not included in the complex (see Table III). It is of interest to note that variation in somatic number has been detected in South American *A. compressus* which is of a similar nature to that found amongst the African taxa described above. The functionally diploid nature of tetraploids, hexaploids and octoploids, and the occurrence of sterile hybrids, confirms that cytological differentiation has taken

place within the complex. This has been confirmed by the synthesis of artificial hybrids.

The extension of *A. arenosus* into sandy, saline soils and of *A. flexuosus* into habitats subject to flooding, is

TABLE III

Published chromosome numbers of *Axonopus* spp.

<i>A. argentinus</i> Parodi . . . . .	n = 15	PARODI, 1938
— <i>v. genuinus</i> . . . . .	n = 18	—
— <i>v. glabriflorus</i> . . . . .	n = 19	—
— <i>v. glabripes</i> . . . . .	n = 19	—
— <i>v. hirsutus</i> . . . . .	n = 18	—
<i>A. hagenbachianus</i> (Ktze.) Parodi	n = 21	—
<i>A. longicilius</i> (Hack.) Parodi . .	n = 22	—
<i>A. pressus</i> (Nees) Parodi . . . .	n = 23	—
<i>A. suffultus</i> (Mik) Parodi . . . .	n = 23	—
— . . . . .	2n = 40	DEWET & ANDERSON, 1956
— <i>v. pubiflorus</i> . . . . .	n = 23	PARODI, 1938
<i>A. scoparius</i> (Flügge) Kuhl. . . .	2n = 20	DEDECCA, 1956
<i>A. iridaceus</i> (Mez) Rojas . . . .	2n = 20	NUÑEZ, 1946
— . . . . .	2n = 20	DELAY, 1950
<i>A. compressus</i> (Sw.) Beauv. . . .	2n = 40	JANAKI AMMAL, 1945
— . . . . .	2n = 56, 60	NUÑEZ, 1946
— . . . . .	2n = 40, 50, 60	DELAY, 1950
<i>A. furcatus</i> (Flügge) Hitchc. . . .	2n = 40	BROWN, 1950
<i>A. affinis</i> Chase . . . . .	2n = 80	BURTON, 1942
— . . . . .	2n = 80	BROWN, 1948
— . . . . .	2n = 54*	CARNAHAM & HILL, 1961

\* This was an error, apparently due to faulty card indexing, and should have read 2n = 80.

comparable with the extension of *A. affinis* into sub-tropical North America. *A. affinis* is a functionally diploid species (Pl. III, f) at the octoploid level. Its evolution in the Gulf States area of America suggests that there is a definite relationship between the colonisation of a new area and the attainment of the octoploid condition. Its success in tropical areas, into which it has been introduced, further suggests that the higher polyploid condition has also been accompanied by an increase in vigour, when compared with *A. compressus*.

*A. arenosus* and *A. flexuosus* have evolved in habitats which are very distinct from those occupied by *A. compressus*. Both species are hexaploid and functionally diploid.

The apomictic reproduction in *A. brevipedunculatus* is the mechanism which has enabled this species to evolve in more exposed and rigorous habitats than those occupied by *A. compressus*. Its distinctive morphology and the sterility of its hybrids with *A. compressus* are sufficient ground for its being recognised as a separate species.

It appears likely that apomixis will be discovered in members of the complex in other geographical areas, where extension of habitat range has taken place, probably with the adoption of morphological changes such as the short peduncle, but not necessarily accompanied by change in chromosome number.

#### REFERENCES

- BLACK, G. A.  
1963 Grasses of the genus *Axonopus*. *Adv. Front. Pl. Sci.* 5: 1-186.
- BROWN, W. V.  
1948 A cytological study in the *Gramineae*. *Amer. J. Bot.* 35 (7): 382-395.  
1950 A cytological study of some Texan grasses. *Bull. Torrey Bot. Club* 77: 63-76.
- BURTON, G. W.  
1942 Chromosome numbers of grasses. *Amer. J. Bot.* 29: 355-359.
- CARNAHAM, H. L. & HILL, H. D.  
1961 Cytology and genetics of forage grasses. *Bot. Rev.* 27 (1): 1-162.
- CHIPPINDAL, L. K. A. In MEREDITH, D. B. D.  
1954 *Grasses and pastures of South Africa*. Central News Agency, Johannesburg.
- CROSS, D. O.  
1938 Narrow leaved carpet grass and a broad leaved form. *Agric. Gaz. N. S. W.* 49: 647.
- DEDECCA, D. M.  
1956 As espécies Brasileiras do genero *Axonopus*. *Bragantia* 15: 251-956.
- DELAY, C.  
1950 Nombres chromosomique chez les Phanérogames. *Rev. Cyt. et Biol. Vég.* 12: 1-368.
- DEWET J. M. J. & ANDERSON  
1956 Chromosome numbers in Transvaal grasses. *Cytologia*, 21: 1-10.

## GLEDHILL, D.

1962 Biosystematic studies of the *Axonopus compressus* complex; A new subspecies from West Africa. *Phytomorphology*, 12 (4): 412-418.

1965 *Axonopus*; An African relict or an introduction from America? *West African Science Association Conference*.

## JAGOE, R. B.

1940 Carpet grass; *Axonopus* spp. *Gdn. Bull. Straits Settlement of Singapore* 11: 109-118.

## JANAKI AMMAL, E. K. In DARLINGTON, C. D and WYLIE, A. P.

1955 *Chromosome atlas of flowering plants*. Allen and Unwin, London.

## LUNDQUIST, A.

1961 A rapid method for analysis of incompatibility in grasses. *Her editas*, 47 (3/4): 705-707.

## MCLENNAN, L. W.

1936 Carpet grass; Has it a place in North Coast pastures? *Agric. Gas. N. S. W.* 49: 555-558, 601-604.

## NUNEZ, O. In PARODI, L. R.

1946 *Clava para la determinacion de los generos y enumeracion de las especies de Gramínea Bonariensis*. Buenos Aires.

## PARODI, L. R.

1938 Gramíneas Austroamericanas nuevas o criticas. *Not. Mus. La Plata. Bot.* 3 (17): 15-23.

## SWARTZ, O.

1788 *Nova genera et species plantarum seu Prodromus etc.* 24. M. Swederi, Uppsala.

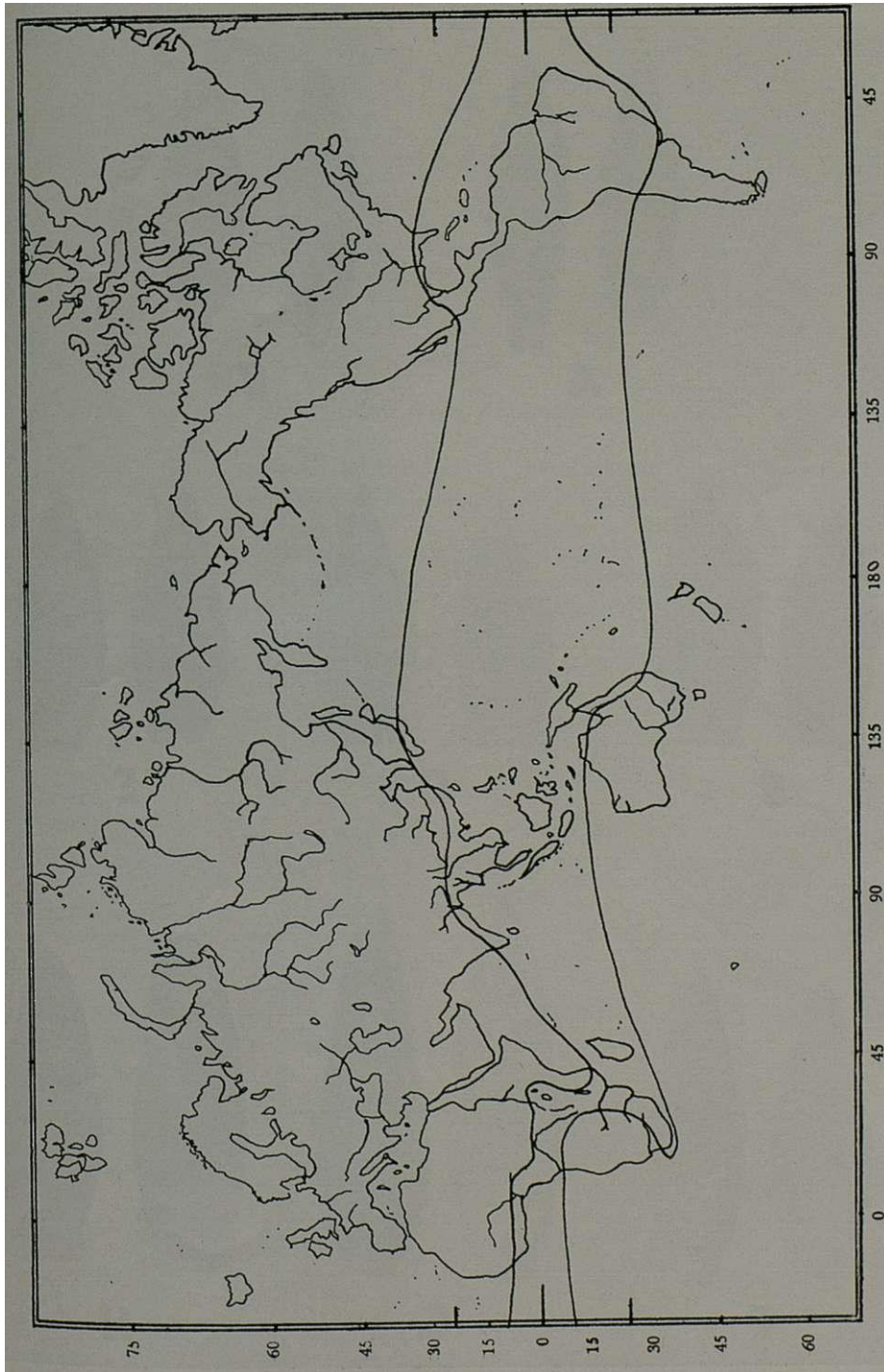
1797 *Flora India Occidentale*, 1: 183-184.



# PLATES

PLATE I

World distribution of the *Axonopus compressus* complex  
of carpet grasses.



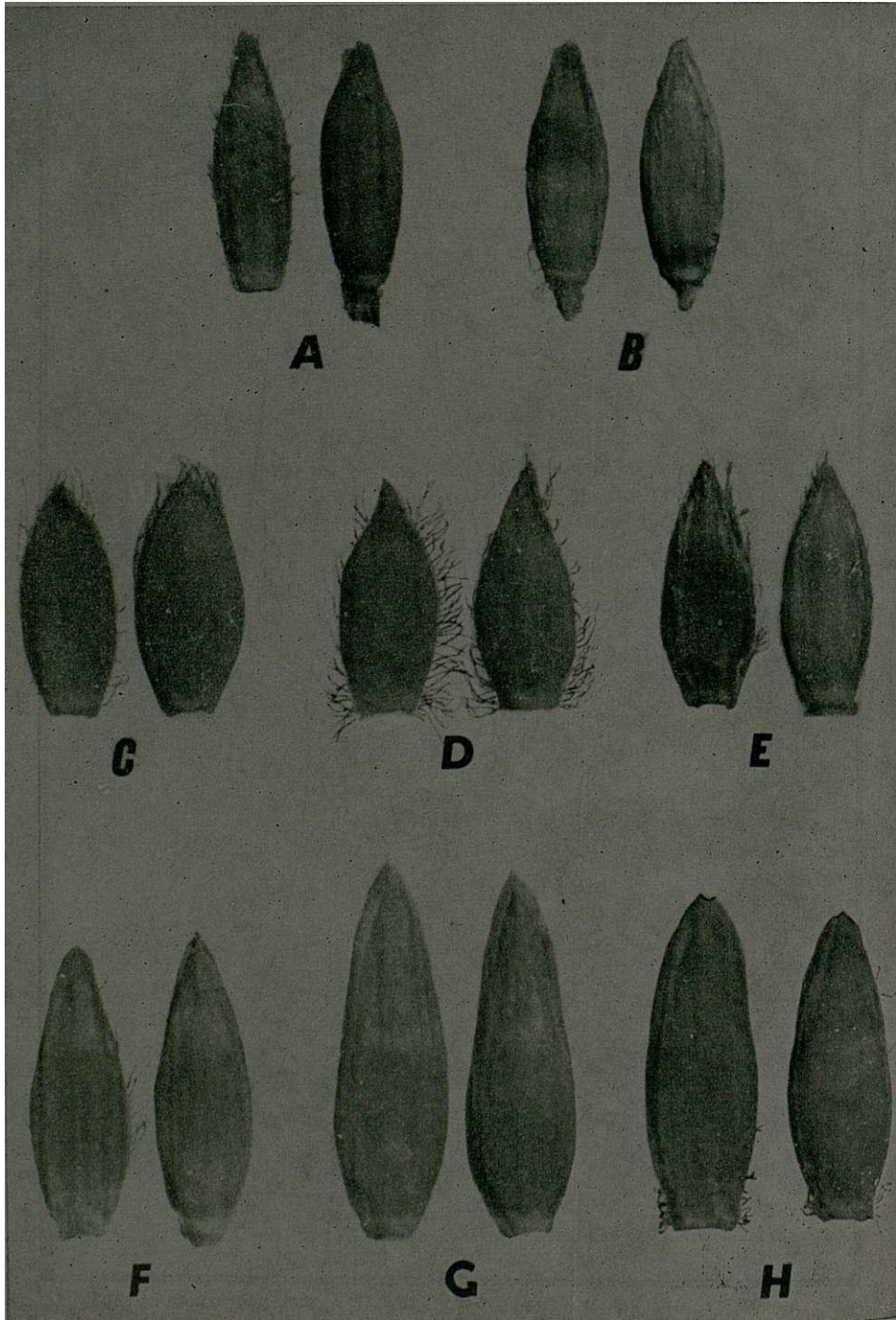


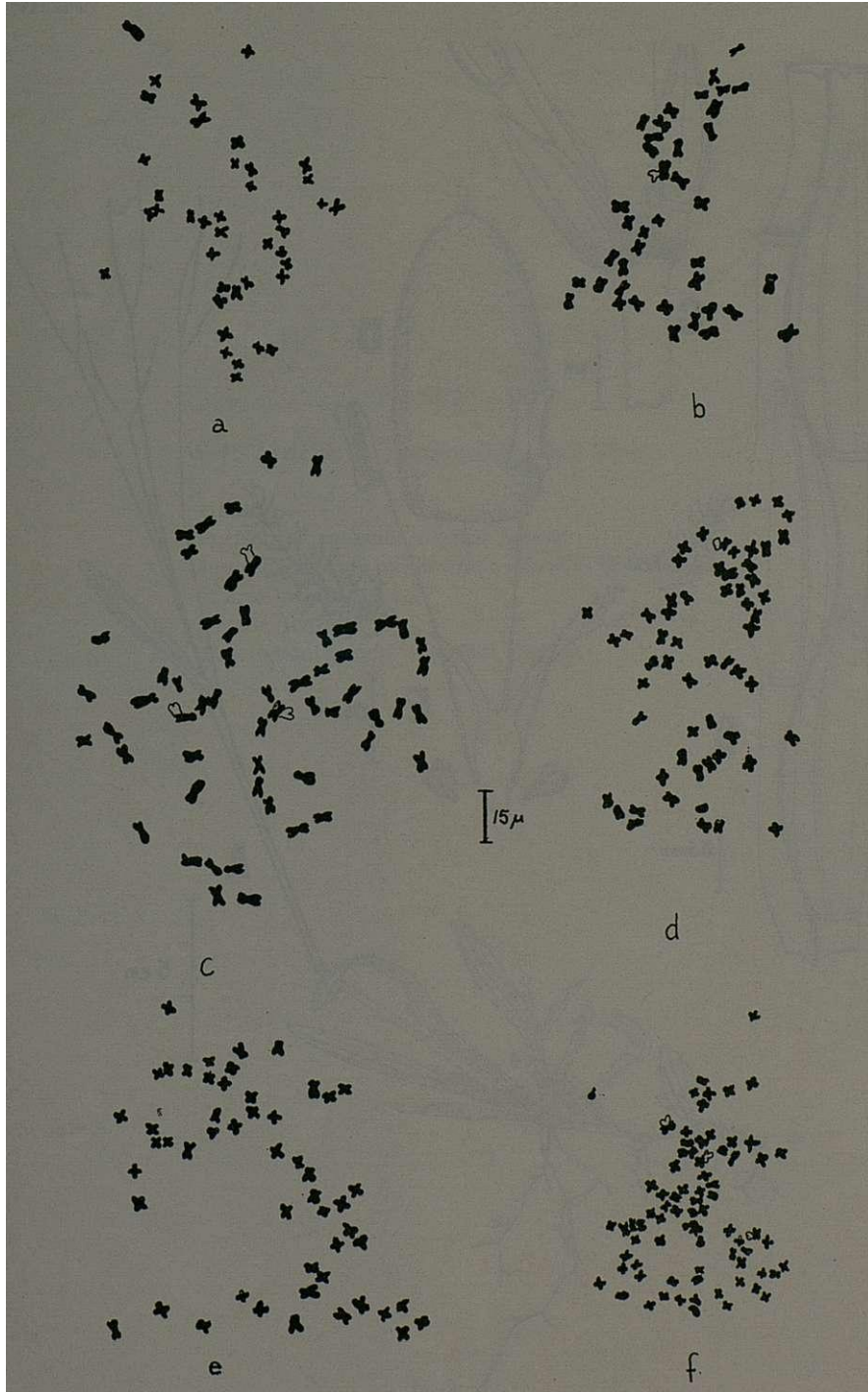
PLATE II

Spikelets of seven *Axonopus* taxa

- A. Jamaican *A. compressus* (Sw.) Beauv.
- B. West African *A. compressus* (Sw.) Beauv.
- C. *A. affinis* Chase
- D. *A. brevipedunculatus* D. Gledhill
- E. *A. brevipedunculatus*  $\chi$  *compressus* D. Gledhill
- F. *A. compressus* X *flexuosus* D. Gledhill
- G. *A. arenosus* D. Gledhill
- H. *A. flexuosus* (Peter) Hubbard ex Troupin

PLATE III

Root tip chromosomes, pretreated with  $\alpha$ -monobromonaphthalene, of *A. compressus* (Sw.) Beauv. (a), *A. brevipedunculatus* D. Gledhill (b), *A. arenosus* D. Gledhill (c), *A. flexuosus* (Peter) Hubbard ex Troupin (d), *A. compressus*  $\times$  *flexuosus* D. Gledhill (e) and *A. affinis* Chase (f).



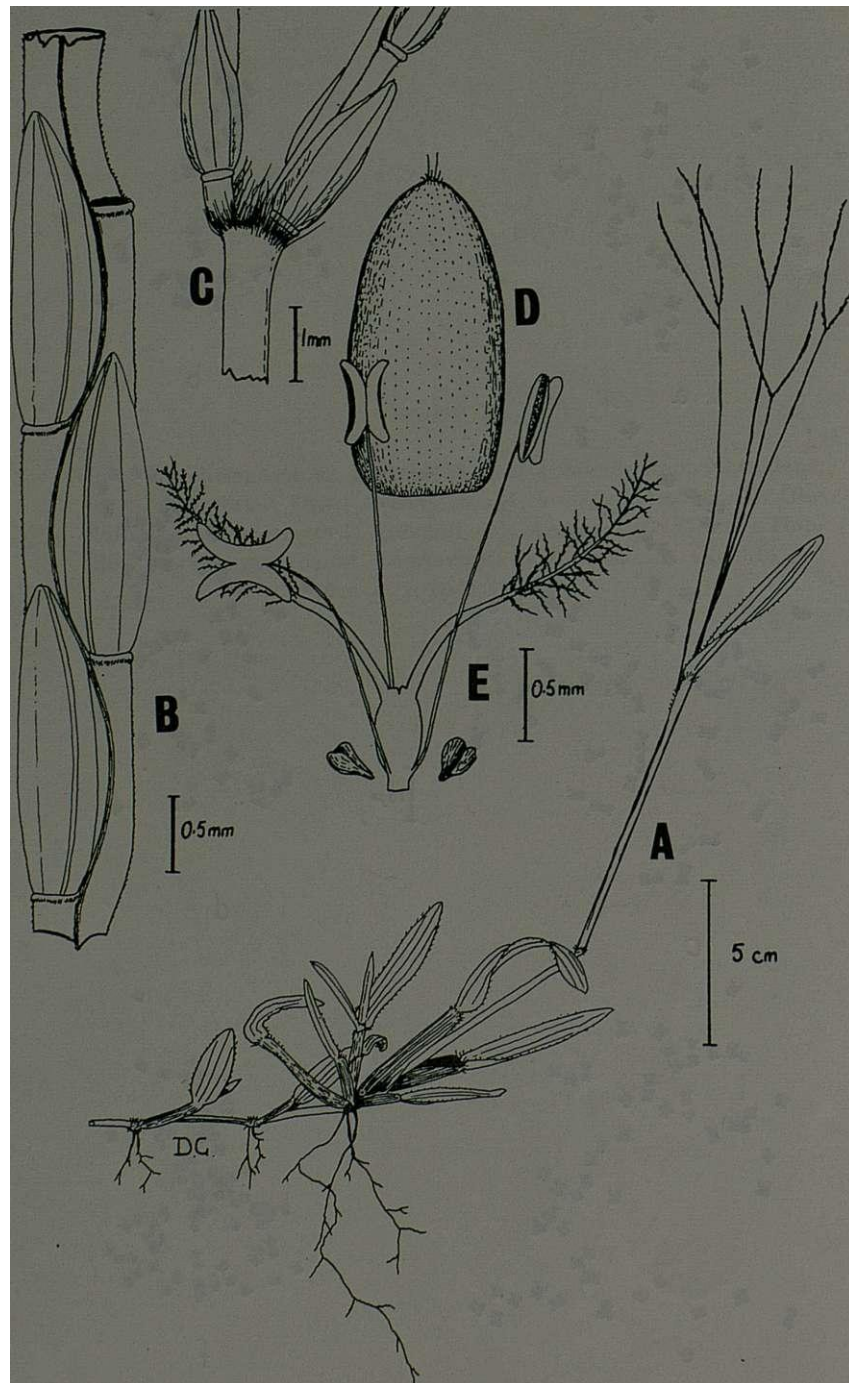




PLATE IV

West African *A. compressus* (Sw.) Beauv.

- A. Habit.
- B. Portion of raceme, abaxial aspect.
- C. Junction of two upper racemes with the rachis of the inflorescence.
- D. Fertile lemma.
- E. The lodicules and essential organs.



THE *PTERIDOPHYTA*  
OF GORONGOSA MOUNTAIN, SOUTHERN  
MOZAMBIQUE

by

E. A. C. L. E. SCHELPE

Bolus Herbarium, University of Cape Town

ABSTRACT

The *Pteridophyta* collected on an expedition to Gorongosa Mountain, comprising 70 species, are treated systematically with full synonymy. *Hymenophyllum polyanthos* var. *mossambicense* is described as new and two new combinations are proposed.

DURING the course of preliminary work on the *Pteridophyta* of Southern Africa it became clear from the few ferns that had been collected on Gorongosa Mountain that this massif should support a varied pteridophyte flora. This contention was supported by reports of «altimontane» forest on this isolated mountain which rises up to 5800 feet (1770 m.) from the southern Mozambique plain. Consequently an expedition to the eastern districts of Rhodesia was extended to include an ascent of this mountain during July 1955.

The mountain was approached from Vila Paiva d'Andrade and the first camp was established on the southern slopes at the Morambodzi Waterfall at an altitude of 2700 ft. (825 m.) in riverine forest. After porters were assembled, the ascent was begun and the lower limit of the forest proper reached at 4000 ft. (1220 m.). In the afternoon of the same day we emerged at about 5700 ft. (1740 m.) through a narrow belt of *Philippia* scrub on to the rim of the saucer-shaped summit plateau. This plateau was largely under grasslands with some open *Protea* savannah and occasional forest patches in sheltered depressions. A high camp was eventually pitched close to Gogogo Peak (5800 ft.; 1770 m.), the highest

point of the mountain. It is worth recording that the summit was periodically enveloped in mist during the expedition's stay although this was the dry season.

The expedition is greatly indebted to Snr. PEIXE, the Administrador de Circunscrição at Vila Paiva d'Andrade for his hospitality and help in obtaining porters. Thanks are also due to the South African Council for Scientific and Industrial Research and to the University of Cape Town for research grants which made the expedition possible.

#### LYCOPODIACEAE

*Lycopodium verticillatum* L. f., Suppl.: 448 (1781). Type from Réunion.

*Urostachys verticillatus* (L. f.) Hert. ex Nessel, Bär-lappgew.: 121 (1939).

*Huperzia verticillata* (L. f.) Rothm. in Fedde, Rep. Sp. Nov., 54: 60 (1944).

*Lycopodium setaceum* Lam., Encycl. Méth. Bot., 3: 653 (1789). Type from Mascarene Is.

Gorongosa Mtn., Gogogo Peak, locally common on shaded rocks in streambank forest, 5600 ft., 6.VII.1955, *Schelpe* 5528.

*Lycopodium dacrydioides* Bak., Fern Allies: 17 (1887). Type from South Africa.

*Urostachys dacrydioides* (Bak.) Hert. ex Nessel, Bär-lappgew.: 188 (1939).

Gogogo Peak, occasional low-level epiphyte in shade in forest, 5800 ft., 5.VII.1955, *Schelpe* 5517.

*Lycopodium gnidioides* L. f., Suppl.: 448 (1781). Type from Mauritius.

*Plananthus gnidioides* (L. f.) Beauv., Prodr. Aeth.: 110 (1805).

*Urostachys gnidioides* (L. f.) Hert. ex Nessel, Bär-lappgew.: 187 (1939).

*Huperzia gnidioides* (L. f.) Rothm. in Fedde, Rep. Sp. Nov., 54: 61 (1944).

*Lycopodium funiculosum* Lam., Encycl. Méth. Bot., 3: 649 (1789).

*Lepidotis funiculosa* (Lam.) Beauv., Prod. Aeth.: 108 (1805).

*Lycopodium flagelliforme* Schrad. in Gött. gel. Anz., 1818: 920 (1818). Type from South Africa.

*Lycopodium ambiguum* Schrad. in Gött. gel. Anz., 1818: 920 (1818). Type from South Africa.

*Lycopodium pinifolium* Kaulf., Enum. Fil.: 7 (1824) non Blume (1828).

*Lycopodium strictum* Bak. in Journ. of Bot., 1882: 271 (1882). Type from Madagascar.

Gogogo Peak, occasional on humus covered rocks in shade on forest margin, 5800 ft., 5.VII.1955, *Schelp* 5515.

*Lycopodium ophioglossoides* Lam., Encycl. Méth. Bot., 3: 646 (1789). Type from Mauritius.

*Urostachys ophioglossoides* (Lam.) Hert. ex Nessel, Bärappgew.: 238 (1939).

*Huperzia ophioglossoides* (Lam.) Rothm. in Fedde, Rep. Sp. Nov., 54: 62 (1944).

*Lepidotis longifolia* Beauv., Prodr. Aeth.: 109 (1805). Type from Mascarene Is.

*Lycopodium longifolium* (Beauv.) Sw., Syn. Fil.: 177 (1806).

Gogogo Peak, occasional low-level epiphyte and litho-phyte on mossy rocks in shade in forest, 5800 ft., 5.VII.1955, *Schelp* 5516. Gorongosa Mtn., S. sector, occasional on shaded rock faces at lower edge of Juniper forest, 5300 ft., 3.VII.1955, *Schelp* 5490.

*Lycopodium carolinianum* L. var. *grandifolium* Spring in Mém. Acad. Belg., 24: 46 (1850). Type from South Africa.

*Lycopodium sarcocaulon* A. Br. & Welw. ex Kuhn, Fil. Afr.: 210 (1868). Syntype from Angola and South Africa.

Near Gogogo Peak, occasional in marshy grassland, 5600 ft., 6.VII.1955, *Schelpe* 5538.

#### SELAGINELLACEAE

***Selaginella* abyssinica** Spring in Mém. Acad. Belg., 24: 99 (1850). Type from Ethiopia.

*Selaginella kirkii* Bak. in Journ. of Bot., 23: 176 (1885). Type from Usagura Mtns. (probably Uluguru Mtns., Tanzania).

*Selaginella goetzei* Hieron. in Bot. Jahrb., 30: 265 (1901). Type from Kinga Mtns. (i. e. Livingstone Mtns., Tanzania).

*Selaginella whytei* Hieron. in Engl. & Prantl, Nat. Pflanzenfam., 1 (4): 697 (1901). Type from Malawi.

*Selaginella preussi* Hieron. in Engl. & Prantl, Nat. Pflanzenfam., 1 (4): 686 (1901). Type from Cameroons.

*Selaginella bueensis* Hieron. in Hedwigia, 43: 20 (1904). Type from Nigeria.

Gorongosa Mtn., S. sector, Morambodzi Falls, locally frequent in shaded rock crevices around waterfall, 2700 ft., 2.VII.1955, *Schelpe* 5454.

*Selaginella kraussiana* (Kunze) A. Br., Ind. Sem. Hort. Berol., 1860, App.: 22 (1860).

*Lycopodium kraussianum* Kunze in Linnaea, 18: 114 (1844). Type from South Africa.

Gogogo Peak, common on forest floor, 5800 ft., 5.VII.1955, *Schelpe* 5500.

*Selaginella mittenii* Bak. in Journ. of Bot., 21: 81 (1883). Type from Tanganyika.

*Selaginella welwitschii* Bak. in Journ. of Bot., 21: 81 (1883). Type from Angola.

*Selaginella mackenii* Bak. in Journ. of Bot., 22: 89 (1884). Type from South Africa.

*Selaginella cooperi* Bak. in Journ. of Bot, **22**: 89 (1884). Type from South Africa.

*Selaginella tectissima* Bak. in Journ. of Bot., **22**: 89 (1884). Type from South Africa.

Gorongosa Mtn., S. Sector, Morambodzi Falls, locally frequent on moist shaded rock faces in streambank forest, 2900 ft, 3.VII.1955, *Schelpe* 5477. Gogogo Peak, locally abundant in sheltered crevices on rock outcrop, 5800 ft., 5.VII.1955, *Schelpe* 5502.

### OSMUNDACEAE

*Osmunda regalis* L., Sp. Pl., 2: 1065 (1753). Type from Europe.

*Struthiopteris regalis* (L.) Bernh. in Schrad. Journ. 1800 (2): 126 (1801).

*Osmunda capensis* Presl, Suppl.: 63 (1845) non L. (1771). Type from South Africa.

*Osmunda regalis* L. var. *capensis* (Presl) Milde, Fil. Europ.: 63 (1867).

*Osmunda obtusifolia* Willd. ex Kaulf., Enum. Fil.: 43 (1824). Type from Mascarene Is.

*Osmunda regalis* L. var. *obtusifolia* (Willd. ex Kaulf.) Milde, Fil. Europ.: 63 (1867).

Gorongosa Mtn., S. sector, Morambodzi Falls, locally common on lightly shaded streambank above waterfall, 2900 ft, 2.VII.1955, *Schelpe* 5467.

### SCHIZAEACEAE

*Lygodium kerstenii* Kuhn, Fil. Deck.: 28 (1867). Syntypes from Madagascar and Kenya.

*Lygodium subalatum* Bojer ex Kuhn, Fil. Afr.: 170 (1868). Type from Comoro Is.

*Lygodium brycei* Bak. in Kew Bull., 1901: 138 (1901). Type from Rhodesia.

Gorongosa Mtn., S. sector, Morambodzi Falls, abundant climbing twiner in forest, 2700 ft., 2.VII.1955, *Schelpe* 5465.

*Mohria caffrorum* (L.) Desv. in Mém. Soc. Linn., Par., 6: 198 (1827).

*Polypodium caffrorum* L., Mantissa: 307 (1771).  
Type from South Africa.

*Adiantum caffrorum* (L.) L. f., Suppl.: 447 (1887).

*Lonchitis caffrorum* (L.) Bernh. in Schrad. Journ., 1800 (2): 124 (1801).

*Colina caffrorum* (L.) E. L. Green in Erythea, 1: 247 (1893).

*Osmunda marginalis* Sav. in Lam., Encycl. Méth. Bot., 4: 655 (1797). Type from Mascarene Is.

*Osmunda thurifera* Sw. in Schrad. Journ., 1800 (2): 105 (1801). Type from South Africa.

*Osmunda thurifraga* Bory, Voyages, 1: 348 (1804).  
Type from Mascarene Is.

*Mohria thurifraga* (Bory) Sw., Syn. Fil.: 159, 385, t. 5 (1806).

*Mohria crenata* Desv. in Mag. Ges. Naturf. Berl., 5: 307 (1811). Type from Mascarene Is.

*Cheilanthes fuscata* Bl., Enum. Pl. Jav.: 116 (1828).  
Type erroneously cited as from Java, most probably from South Africa.

*Mohria achilleifolia* Lowe, New Ferns: t. 42B (1862).

*Mohria vestita* Bak. in Trans. Linn. Soc, Lond., Bot., 2: 355 (1887). Type from Kilimanjaro.

The material of this species from the eastern parts of Southern Africa, including that from Gorongosa Mountain, exhibits stouter and shorter rhizomes and less markedly crenate sterile segments than in the typical form from the south-western Cape Province.

Gorongosa Mtn., S. sector, Morambodzi Falls, locally frequent on the margin of streambank forest, 2900 ft., 3.VII. 1955, *Schelpe* 5475. Gogogo Peak, locally frequent on forest margin, 5800 ft., 5.VII.1955, *Schelpe* 5527.



*Mohria lepigera* (Bah.) Bak. in Ann. of Bot., **5**: 498 (1891).

*Nothoclaena lepigera* Bak. in Journ. of Bot., 1884: 53 (1884). Type from Malawi.

Gogogo Peak, frequent on cyperaceous mats on rock outcrop, 5800 ft., 4.VII.1955, *Schelpe* 5493.

### **HYMENOPHYLLACEAE**

*Trichomanes erosum* Willd. var. *aerugineum* (v. d. Bosch) Bonap., Not. Pterid., 13: 165 (1929).

*Trichomanes aerugineum* v. d. Bosch in Ned. Kruid. Arch., 5: 3, 201 (1863). Type from Fernando Po.

*Trichomanes palmicola* v. d. Bosch ex Goddijn in Med. Rijksherb., 17: 32, fig. 19 (1913). Type from West Africa.

*Trichomanes chamaedrys* Taton in Bull. Soc. roy. Bot. Belg., 78: 29, t. 2, figs. K, L (1946). Type from Congo.

Gorongosa Mtn., S. W. sector, locally abundant on deeply shaded vertical rock faces in forest, 5300 ft., 7.VII.1955, *Schelpe* 5594.

*Trichomanes pyxidiferum* L. var. *melanotrichum* (Schlechtend.) Schelpe in Journ. S. Afr. Bot., **30**: 181 (1964).

*Trichomanes melanotrichum* Schlechtend., Adumbr. : 56 (1825). Type from South Africa.

*Vandenboschia melanotricha* (Schlechtend.) Pic. Serm. in Webbia, 12: 127 (1955).

*Trichomanes frappieri* Cordem. in Bull. Soc. Sci. Art. Réunion, **1890-91**: 37 (1891). Type from Réunion.

Gorongosa Mtn., S. sector, Morambodzi Falls, locally frequent on shaded rocks near waterfall, 2700 ft., 2.VII.1955, *Schelpe* 5456. Gogogo Peak, occasional low-level epiphyte in deep shade in forest, 5800 ft., 4.VII.1955, *Schelpe* 5496.

Trichomanes **borbonicum** v. d. Bosch in Ned. Kruid. Arch., **7**: 158 (1861). Type from Réunion.

*Trichomanes goetzei* Hieron. in Bot. Jahrb., **28**: 339 (1900). Type from Tanzania.

Near Gogogo Peak, occasional on shaded boulder in forest, 5600 ft., 6.VII.1955, *Schelpe* 5540a.

**Hymenophyllum capense** Schrad. in Gött. gel. Anz., **1818**: 919 (1818). Type from South Africa.

*Hymenophyllum natalense* v. d. Bosch in Ned. Kruid. Arch., **4**: 386 (1859). Type from South Africa.

*Hymenophyllum zeyheri* v. d. Bosch in Ned. Kruid. Arch., **4**: 388 (1859). Type from South Africa.

*Hymenophyllum tabulare* v. d. Bosch in Ned. Kruid. Arch., **4**: 397 (1859). Type from South Africa.

*Hymenophyllum parvum* C. Chr. in Perrier, Cat. Pl. Madag., Ptérid.: 18 et in Dansk Bot. Ark., **7**: 8, t. 2, figs. 1-3 (1932). Type from Madagascar.

This plant has previously been referred incorrectly to *H. fumarioides* Willd.

Gogogo Peak, locally abundant on sheltered rock faces, 5800 ft., 4.VII.1955, *Schelpe* 5495.

*Hymenophyllum polyanthos* Sw. var. **kuhnii** (C. Chr.) Schelpe comb. nov. et stat. nov.

*Hymenophyllum kuhnii* C. Chr., Ind. Fil. : 363 (1905)-basionym. Type from Kilimanjaro.

*Mecodium kuhnii* (C. Chr.) Copel. in Philipp. Journ. Sci., **67**: 19 (1938).

*Hymenophyllum meyeri* Kuhn in Phys. Abh. Koning. Acad. Berl., **2**: 94, et in Engl., Hochgebirgsfl. trop. Afr.: 95 (1892) non Presl (1843). Type from Kilimanjaro.

*Hymenophyllum henkeln* Sim in S. Afr. Journ. Sci., **20**: 309, t. 9 (1923). Type from Rhodesia.

Two segregates of the *H. polyanthos* complex can be distinguished in Southern Africa, but it has not been possible

to distinguish these African segregates clearly from other segregates of this complex elsewhere in the world.

Gorongosa Mtn., S. sector, locally frequent low to mid-level epiphyte in forest, 4500 ft., 3.VII.1955, *Schelpa* 5488. Gogogo Peak, locally frequent mid-level epiphyte in forest, 5800 ft., 5.VII.1955, *Schelpa* 5501. Near Gogogo Peak, locally abundant low to mid-level epiphyte in forest, 5600 ft., 6.VII.1955, *Schelpa* 5541.

**Hymenophyllum polyanthos** Sw. var. **mossambicense** Schelpe var. nov.

Differt a varietate typico frondibus angustis ellipticis vel lanceolatis, non triangularis, segmentis ultimis longioribus.

Rhizome filiform, bearing fronds 1-4 cm. apart. Stipe filiform 1-2.5 cm. long, narrowly winged in the upper half. Lamina narrowly elliptic to lanceolate with the basal pinnae usually reduced, up to 9 cm. long and 2.5 cm. broad. Rachis narrowly winged. Pinnae remote, rarely overlapping, up to 1.3 cm. long and 0.8 cm. broad, pinnatifid to bipinnatifid into up to ten linear entire rounded lobes, each up to 6 mm. long and c. 1 mm. broad. Sori borne on the acroscopic basal segments of the pinnae, very broadly obconic with ovate-acute entire indusial valves 1.5-1.8 mm. broad.

**VARIETAL TYPE:** Mozambique, Gorongosa Mtn., locally frequent on shaded boulder in streambank forest, 5600 ft, 6.VII.1955, *Schelpa* 5540 (holotype in **BOL**; isotype in **BM**).

This variety is easily distinguishable from the var. *kuhnii* by its smaller fronds and more open frond pattern.

**Hymenophyllum tunbridgense** (L.) Sm. in Sowerby, Engl. Bot.: t. 162 (1794).

*Trichomanes tunbridgense* L., Sp PL. 2: 1098 (1753). Syntypes from England and Italy.

*Hymenophyllum dregeanum* Presl, Hymenoph. : 32, 52 (1843). Type from South Africa.

*Hymenophyllum thomassetii* C. H. Wright in Kew Bull., 1906: 170 (1906). Type from Malawi.

Gogogo Peak, locally common on very sheltered rock face on outcrop, 5800 ft., 4.VII.1955, *Schelpe* 5494.

### CYATHEACEAE

*Cyathea dregei* Kunze in *Linnaea*, **10**: 551 (1836). Type from South Africa.

*Cyathea burkei* Hook., *Sp. Fil.*, 1: 23, t. 17, fig. b (1844). Type from Transvaal, South Africa.

*Cyathea angolensis* Welw. ex Hook., *Syn. Fil.*: 22 (1865). Type from Angola.

Gorongosa Mtn., S. sector, above Morambodzi Falls, occasional in open forest near waterfall, 2900 ft., 2.VII.1955, *Schelpe* 5468. Near Gogogo Peak, occasional on forest margin and along stream, 5700 ft., 6.VII.1955, *Schelpe* 5537. Near Gogogo Peak, occasional among boulders in open grassland, 5800 ft., 6.VII.1955, *Schelpe* 5545.

### DENNSTAEDTIACEAE

*Hypolepis sparsisora* (Schrad.) Kuhn, *Fil. Afr.*: 120 (1868).

*Cheilanthes sparsisora* Schrad. in *Gött. gel. Anz.*, 1818: 918 (1818). Type from South Africa.

*Phegopteris sparsisora* (Schrad.) Keys., *Pol. Cyath. Hb. Bung.*: 51 (1873).

*Cheilanthes anthriscifolia* Schlechtend., *Adumbr.*: 52, t. 32 (1832) ined. non Willd. (1810).

*Hypolepis anthriscifolia* Presl, *Tent. Pterid.*: 162 (1836) nom. nud.

*Cheilanthes aspera* Kaulf. in *Linnaea*, **6**: 186 (1831). Type from South Africa.

*Hypolepis aspera* (Kaulf.) Presl, *Tent. Pterid.*: 162 (1836).

*Cheilanthes commutata* Kunze in *Linnaea*, **10**: 542 (1836) nom. illegit.

Gorongosa Mtn., S. W. sector, locally abundant, forming thickets in a forest glade, 4000 ft., 7.VII.1955, *Schelpe* 5596.

**Pteridium aquilinum** (L.) Kuhn in v. Deck., *Reisen*, 3 (3) Bot.: 11 (1879).

*Pteris lanuginosa* Bory ex Willd. in L., *Sp. Pl.*, ed. D7, 5: 403 (1810). Type from Réunion.

*Allosorus lanuginosus* (Bory ex Willd.) Presl, *Tent. Pterid.*: 154 (1836).

*Pteris capensis* Thunb., *Prodr. PL Cap.*: 172 (1800). Type from South Africa.

*Allosorus capensis* (Thunb.) Pappe & Raws., *Syn. Fil. Afr. Austr.*: 32 (1858) non Presl (1836).

*Pteridium capense* (Thunb.) Krasser in *Ann. Hofmus. Wien*, 15: 6 (1900).

Gogogo Peak, locally common on forest margins, 5800 ft., 5.VII.1955, *Schelpé* 5507.

**Blotiella** glabra (Bory) Tryon in *Contrib. Gray Herb.*, 191: 99 (1962).

*Lonchitis glabra* Bory, *Voyages*, 1: 321 (1804). Type from Réunion.

*Pteris glabra* (Bory) Mett, *Fil. Hort. Bot. Lips.*: 59 (1856).

*Lonchitis stenochlamys* Fée, *Mém. Fam. Foug.*, 5: 142 (1852). Type from South Africa.

Gogogo Peak, occasional in shade on forest floor, 5800 ft., 5.VII.1955, *Schelpé* 5505.

#### VITTARIACEAE

*Vittaria isoetifolia* Bory, *Voyages*, 2: 325 (1804). Type from Réunion.

*Oetosis isoetifolia* (Bory) Greene in *Pittonia*, 4: 103 (1900).

*Vittaria gueinzii* Trev. in *Atti Ist. Veneto*, II, 2: 167 (1851). Type from South Africa.

*Vittaria coccygocarpa* Trev. in *Atti Ist. Veneto*, II, 2: 167 (1851) nom. nud. Type from South Africa.

*Vittaria sarmentosa* Ruiz ex Fée, Mém. Fam. Foug., **3**: 17 (1852). Syntypes from South Africa.

*Vittaria tenera* Fée, Mém. Fam. Foug., **3**: 17 (1852). Type from South Africa.

*Vittaria longidentata* K. Müll. in Bot. Zeit., 1854: 546 (1854). Type from South Africa.

*Pteropsis angustifolia* Pappe & Raws., Syn. Fil. Afr. Austr.: 43 (1857) non Desv. (1827). Type from South Africa.

Gogogo Peak, occasional epiphyte in *Philippia* scrub, 5800 ft., 5.VII.1955, *Schelpe* 5525.

*Vittaria volkensis* Hieron. in Bot. Jahrb., **53**: 428 (1915). Type from Tanzania.

Gorongosa Mtn., S. sector, occasional mid to high level epiphyte in forest, 4500 ft., 3.VII.1955, *Schelpe* 5485. Gogogo Peak, occasional mid-level epiphyte in streambank forest, 5600 ft., 6.VII.1955, *Schelpe* 5531. Gorongosa Mtn., S. W. sector, occasional mid-level epiphyte in forest, 4300 ft., 7.VII.1955, *Schelpe* 5589.

#### ADIANTACEAE

*Pteris catoptera* Kunze in Linnaea, 18: 119 (1844). Type from South Africa.

Gorongosa Mtn., S. sector, Morambodzi Falls, frequent in forest undergrowth, 2700 ft., 2.VII.1955, *Schelpe* 5459. Gorongosa Mtn., S. W. sector, occasional in Acanthaceous undergrowth on forest floor, 4900 ft., 7.VII.1955, *Schelpe* 5585. Gorongosa Mtn., S. W. sector, occasional on forest floor in *Dracaena*-Acanthaceous undergrowth, 4100 ft., 7.VII.1955, *Schelpe* 5587. Gorongosa Mtn., S. W. sector, occasional among *Hypolepis* thickets in open glade in forest, 4000 ft., 7.VII.1955, *Schelpe* 5591.

**Notholaena buchanani** Bak., Syn. Fil.: 373 (1868). Type from South Africa.

Near Gogogo Peak, occasional around seasonally moist boulder bases on exposed sandstone outcrop, 5600 ft., 6.VII.1955, *Schelpa* 5542.

**Cheilanthes bergiana** Schlechtend., Adumbr.: 51 (1832). Type from South Africa.

*Cheilanthes elata* Kunze in *Linnaea*, 10: 542 (1836). Type from South Africa.

*Cheilanthes streetiae* Bak. in *Journ. of Bot.*, 1880: 327 (1880). Type from Madagascar.

Gorongosa Mtn., S. sector, Morambodzi Falls, occasional on earthbank in shade in forest, 2700 ft., 2.VII.1955, *Schelpa* 5464.

**Cheilanthes multifida** (Sw.) Sw., Syn. Fil.: 129, 334 (1806).

*Adiantum multifidum* Sw. in *Schrad. Journ.*, 1800 (2): 85 (1801). Type from South Africa.

*Adiantum globatum* Poir., *Encycl. Méth. Bot.*, Suppl. 1: 144 (1810). Type from South Africa.

*Cheilanthes refracta* Pappe & Raws., Syn. Fil. Afr. Austr.: 34 (1858). Type from South Africa.

*Cheilanthes madagascariensis* Bak. in *Journ. Linn. Soc., Lond.*, 16: 198 (1877). Type from Madagascar.

*Adiantopsis madagascariensis* (Bak.) C. Chr., *Ind. Fil.*: 22 (1905).

*Cheilanthes bolusii* Bak. in *Hook., Ic. Pl.*: t. 1636 (1886). Type from South Africa.

*Cheilanthes horizontalipinnata* Bonap., *Not. Pterid.*, 16: 87 (1925). Type from Madagascar.

Gogogo Peak, occasional among boulders on margin of *Philippia* scrub, 5800 ft., 5.VII.1955, *Schelpa* 5521.

*Pellaea quadripinnata* (Forsk.) Prantl in Bot. Jahrb., 3: 420 (1882).

*Pteris quadripinnata* Forsk., Fl. Aegypt. Arab.: 186 (1775). Type from Yemen.

*Allosorus quadripinnatus* (Forsk.) Presl, Tent. Pterid.: 154 (1836).

*Cheilanthes quadripinnata* (Forsk.) Kuhn, Fil. Afr.: 74 (1868).

*Pteridella quadripinnata* (Forsk.) Mett. ex Kuhn in v. Deck., Reisen, 3 (3), Bot.: 16 (1879).

*Pteris consobrina* Kunze in Linnaea, 10: 526 (1836). Syntypes from South Africa.

*Pellaea consobrina* (Kunze) Hook., Sp. Fil., 2: 145 (1858).

*AUosorus consobrinus* (Kunze) Pappe & Raws., Syn. Fil. Afr. Austr.: 31 (1858).

*Cheilanthes triangula* Kunze in Linnaea, 10: 536 (1836). Syntypes from South Africa.

*Cheilanthes atherstonei* Hook., Sp. Fil., 2: 107 (1852). Type from South Africa.

*Cheilanthes firma* Moore in Hook. Journ. of Bot., 5: 225 (1853). Type from South Africa.

*Cheilanthes linearis* Moore in Hook. Journ. of Bot., 5: 226 (1853). Type from South Africa.

Gorongosa Mtn., S. sector, Morambodzi Falls, occasional on forest margin, 2700 ft., 2.VII.1955, *Schelpe* 5453. Gogogo Peak, occasional on forest margin, 5800 ft., 5.VII.1955, *Schelpe* 5520. Near Gogogo Peak, occasional around boulder bases on sandstone outcrop, 5600 ft., 6.VII.1955, *Schelpe* 5532.

#### GRAMMITIDACEAE

***Grammitis mollerii*** (Bak. ex Henriq.) Schelpe comb. nov.

*Polypodium mollerii* Bak. ex Henriq. in Bol. Soc. Brot., 4: 154, t. 2, fig. B (1887) — basionym. Type from São Tomé.

Gogogo Peak, occasional mid-level epiphyte among mosses in forest, 5800 ft., 6.VII.1955, *Schelpe* 5536.



POLYPODIACEAE

**Pyrrosia** rhodesiana (C. Chr.) Schelpe in Journ. S. Afr. Bot, 18: 126 (1952).

*Cyclophorus rhodesianus* C. Chr. in Dansk. Bot. Ark., 7: 161 (1932). Type from Rhodesia.

Gorongosa Mtn., S. sector, Morambodzi Falls, occasional lithophyte in streambank forest, 2700 ft., 2.VII.1955, *Schelpe* 5452. Above Morambodzi Falls, occasional mid-level epiphyte and lithophyte in streambank forest, 2900 ft., 3.VII.1955, *Schelpe* 5473. Gorongosa Mtn., S. W. sector, rare mid-level epiphyte in forest, 4300 ft, 7.VII.1955, *Schelpe* 5588.

**Belvisia** spicata (L. f.) Mirbel, Hist. Nat. de Pl., 4: 65 (1803).

*Acrostichum spicatum* L. f., Suppl.: 444 (1781). Type from Mauritius.

*Hymenolepis spicata* (L. f.) Presl, Epim. Bot.: 159 (1849).

Gorongosa Mtn., S. sector, Morambodzi Falls, locally frequent low-level epiphyte and occasional lithophyte in streambank forest near waterfall, 2700 ft., 2.VII.1955, *Schelpe* 5469.

**Loxogramme** lanceolata (Sw.) Presl, Tent. Pterid.: 215 (1836).

*Grammitis lanceolata* Sw. in Schrad. Journ., 1800 (2): 18 (1801). Type from Mascarene Is.

*Antrophyum lanceolatum* (Sw.) Blume, Fl. Jav. Fil.: 84 (1826).

*Selliguea lanceolata* (Sw.) Fée, Mém. Fam. Foug. 5: 177 (1852).

*Gymnogramma lanceolata* (Sw.) Hook., Sp. Fil., 5: 156 (1864).

*Grammitis coriacea* Kaulf. ex Spreng. in L., Syst. Veg., ed. XVI, 4: 41 (1827). Type from Mascarene Is.

*Selliguea coriacea* (Kaulf. ex Spreng.) Fée, Mém. Fam. Foug., 5: 177 (1852).

*Polypodium coriaceum* (Kaulf. ex Spreng.) Mett., Polypod.: 112 (1857).

*Polypodium loxogramme* Mett., Farngattungen, Polypod.: 112 (1857). Type from Mascarene Is.

*Gymnogramma abyssinica* Bak., Syn. Fil.: 517 (1874). Type from Ethiopia.

*Loxogramme suberosa* Christ in Ann. Mus. Congo, sér. 5, 3: 37 (1909). Type from Congo.

*Polypodium suberosum* (Christ) C. Chr., Ind. Fil., Suppl.: 62 (1913).

*Loxogramme africana* Copel. in Philipp. Journ. Sci., 11: 45 (1916). Type from Angola.

Gorongosa Mtn., S. sector, Morambodzi Falls, locally frequent on streamside boulder in shade in forest, 2700 ft., 2.VII.1955, *Schelpe* 5451. Gogogo Peak, frequent low-level epiphyte in forest, 5800 ft., 5.VII.1955, *Schelpe* 5513.

*Polypodium polypodioides* (L.) Hitch. subsp. *ecklonii* (Kunze) Schelpe in Journ. S. Afr. Bot., 30: 189 (1964).

*Polypodium ecklonii* Kunze in Linnaea, 10: 498 (1836). Type from South Africa.

Gorongosa Mtn., S. sector, Morambodzi Falls, occasional mid-level epiphyte in streambank forest, 2900 ft., 3.VII.1955, *Schelpe* 5470.

**Pleopeltis** *macrocarpa* (Bory ex Willd.) Kaulf., Enum. Fil.: 240 (1824).

*Polypodium macrocarpum* Bory ex Willd. in L., Sp. Pl., ed. IV, 5: 127 (1810). Type from Mascarene Is.

*Drynaria macrocarpa* (Bory ex Willd.) Fée, Mém. Fam. Foug., 5: 270 (1852).

*Polypodium lanceolatum* L., Sp. PL, 2: 1082 (1753). Type from San Domingo.

*Polypodium marginale* Bory ex Willd. in L., Sp. PL, ed. IV, 5: 149 (1810). Type from Mascarene Is.

*Pleopeltis marginalis* (Bory ex Willd.) Kaulf., Enum. Fil.: 246 (1824).

*Polypodium adpersum* Schrad. in Gött. gel. Anz., 1818: 915 (1818). Type from South Africa.

*Pleopeltis ensifolia* Carm. ex Hook., Exot. Fl., 1: t. 62 (1823). Type from South Africa.

*Pleopeltis lanceolata* Kaulf., Enum. Fil.: 245 (1824). Type from South Africa.

*Polypodium lepidotum* Willd. ex Schlechtend., Adumbr.: 17, t. 8 (1825). Type from South Africa.

*Pleopeltis lepidota* (Willd. ex Schlechtend.) Presl, Tent. Pterid.: 193 (1836).

*Drynaria lepidota* (Willd. ex Schlechtend.) Fée, Mém. Fam. Foug., 5: 270 (1852).

*Pleopeltis kaulfussiana* Presl, Tent. Pterid.: 193 (1836). nom. illegit.

Gorongosa Mtn., S. sector, occasional mid-level epiphyte in streambank forest, 3000 ft., 3.VII.1955, *Schelpa* 5483. Gogogo Peak, occasional mid-level epiphyte in forest and *Philippia* scrub, 5800 ft., 5.VII.1955, *Schelpa* 5526.

***Pleopeltis schraderi*** (Mett.) Tardieu, Fl. Madag., Polypod., 2: 110 (1960).

*Polypodium schraderi* Mett., Farngattungen, Polypod.: 98, n. 179 (1857). Type from South Africa.

*Niphobolus schraderi* (Mett.) Keys, Pol. Cyath. Hb. Bung.: 39 (1873).

*Polypodium lineare* Thunb. var. *schraderi* (Mett.) Sim, Ferns S. Afr., ed. II: 276 (1915).

*Polypodium elongatum* Schrad. in Gött. gel. Anz., 1818: 915 (1818) non Aiton (1789). Type from South Africa.

*Phymatodes elongata* (Schrad.) Pappe & Raws., Syn. Fil. Afr. Austr.: 41 (1858).

*Polypodium gueintzii* Mett., Farngattungen, Polypod.: 91, no. 161 (1857). Type from South Africa.

Gorongosa Mtn., above Morambodzi Falls, occasional mid-level epiphyte in streambank forest, 2900 ft., 3.VII.1955, *Schelpa* 5472.

*Pleopeltis excavata* (Bory ex Willd.) Sledge in Bull. Brit. Mus. Nat. Hist., 2: 138 (1960).

*Polypodium excavatum* Bory ex Willd. in L., Sp. Pl., ed. IV, 5: 158 (1810). Type from Mascarene Is.

*Phymatodes excavata* (Bory ex Willd.) Presl, Tent. Pterid.: 196 (1836).

*Drynaria excavata* (Bory ex Willd.) Fée, Mém. Fam. Foug., 5 : 270 (1852).

*Polypodium simplex* Sw. in Schrad. Journ., 1800 (2) : 19 (1801) non Burm. (1768). Type from Mascarene Is.

*Phymatodes simplex* (Sw.) Presl, Tent. Pterid.: 196 (1836).

*Pleopeltis simplex* (Sw.) Beddome, Handb. Ferns Brit. India: 347 (1883).

Gogogo Peak, abundant low to mid-level epiphyte and lithophyte in forest, 5800 ft., 5.VII.1955, *Schelpe* 5508.

#### DAVALLIACEAE

**Arthropteris** monocarpa (Cordem.) C. Chr. in Perrier, Cat. Pl. Madag., Pterid.: 32 (1931).

*Nephrodium monocarpum* Cordem. in Bull. Soc. Sci. Art. Réunion, 1890-91: 74 (1891). Type from Réunion.

Gorongosa Mtn., S. sector, Morambodzi Falls, locally frequent in shaded rock crevices near waterfall, 2700 ft., 2.VII.1955, *Schelpe* 5455. Gogogo Peak, frequent low to mid level epiphyte, and lithophyte on shaded mossy boulders, in forest, 5800 ft., 5.VII.1955.

*Arthropteris orientalis* (Gmel.) Posth. in Rec. Trav. bot. Néerl., 21: 218 (1924).

*Polypodium orientale* Gmel. in L., Syst. Nat., ed. XIII, 2: 1312 (1791). Type from Yemen.

*Dryopteris orientalis* (Gmel.) C. Chr., Ind. Fil.: 281 (1905).

*Polypodium pectinatum* Forsk., Fl. Aegypt. Arab.: 185 (1775) non L. (1753). Type from Yemen.

*Aspidium albopunctatum* Bory ex Willd. in L., Sp. Pl., ed. IV, 5: 242 (1810). Type from Mauritius.

*Nephrodium albopunctatum* (Bory ex Willd.) Desv. in Mém. Soc. Linn. Par., 6: 255 (1827).

*Aspidium thonningii* Schumach. in Kongl. Dansk Vid. Selsk., Nat. & Math. Afh., 4: 229 (1829). Type from West Africa.

*Aspidium leucosticton* Kunze in Linnaea, 23: 227, 301 (1850). Type from Sierra Leone.

Gorongosa Mtn., S. sector, Morambodzi Falls, locally common epiphyte on fallen log in forest, 2700 ft., 2.VII.1955, *Schelp* 5466.

*Oleandra distenta* Kunze in Bot. Zeit., 1851: 347 (1851). Type from South Africa.

*Oleandra densifrons* Kunze in Bot. Zeit., 1851: 347 (1851). Type from South Africa.

*Aspidium articulatum* Willd. in L., Sp. Pl., ed. IV, 5: 212 (1810) non Sw. (1801). Type from Mauritius.

*Oleandra africana* Bonap., Not. Pterid., 14: 257 (1923). Type from Mauritius.

Gorongosa Mtn., S. sector, high level epiphyte in forest, 4500 ft., 4.VI.1955, *Schelp* 5491.

#### ASPLENIACEAE

*Asplenium gemmiferum* Schrad. in Gött. gel. Anz., 1818: 916 (1818). Type from South Africa.

*Asplenium macrolobium* A. Peter in Fedde, Rep. Sp. Nov., Beih. 40: 77, descr. 6 (1929). Type from Tanzania.

Gorongosa Mtn., S. W. sector, rare on humus covered boulder in forest, 4400 ft., 7.VII.1955, *Schelp* 5590.

*Asplenium anisophyllum* Kunze in Linnaea, 10: 511 (1836). Type from South Africa.

*Asplenium geppii* Carr., Cat. Welw. Pl., 2: 269 (1901). Type from Angola.

Gogogo Peak, occasional in deep shade on forest floor, 5800 ft, 5.VII.1955, *Schelpe* 5503. Gorongosa Mtn., S. W. sector, occasional low level epiphyte or lithophyte in forest, 5000 ft, 7.VII.1955, *Schelpe* 5584.

*Asplenium christii* Hieron. in Engl., Pflanzenw. Ost.-Afr., C: 82 (1895). Type from Tanzania.

*Asplenium amaurophyllum* A. Peter in Fedde, Rep. Sp. Nov., Beih. 40: 73, descr. 5 (1929).

Gorongosa Mtn., S. W. sector, locally frequent on forest floor, 4000 ft, 7.VII.1955, *Schelpe* 5593.

A putative hybrid between *A. christii* and *A. anisophyllum* (*Schelpe* 5593a), intermediate in characters between these two species, was found in this population.

*Asplenium inaequilaterale* Willd. in L., Sp. Pl., ed. IV, 5: 322 (1810). Type from Réunion.

*Asplenium brachyotus* Kunze in Linnaea, 10: 512 (1836). Type from South Africa.

*Asplenium suppositum* Hieron. in Bot. Jahrb., 46: 353 (1911). Type from Angola.

Gorongosa Mtn., S. W. sector, rare, on forest floor among undergrowth, 4100 ft., 7.VII.1955, *Schelpe* 5595.

*Asplenium lobatum* Pappe & Rawson, Syn. Fil. Austr. Afr.: 22 (1858). Type from South Africa.

*Asplenium gracile* Pappe & Rawson, Syn. Fil. Austr. Afr.: 22 (1858) non Don (1825). Type from South Africa.

*Asplenium pappei* Moore, Ind.: 152 (1859). Type from South Africa.

*Asplenium lunulatum* Sw. var. *gracile* (Pappe & Rawson) Sim, Ferns S. Afr., ed. I: 139 (1892).

Gogogo Peak, occasional on forest floor, 5800 ft., 5.VII.1955, *Schelpe* 5499. Gorongosa Mtn., S. W. sector, occasional on forest floor, 4000 ft., *Schelpe* 5597.

These specimens from Gorongosa are of the tripinnatifid form of this variable species.

**Asplenium quintasii** Gandoger in Bull. Soc. Bot. Fr., **66**: 305 (1919). Type from São Tomé.

*Asplenium sphenolobium* Zenker ex Kunze var. *usambarensense* Hieron. in Wiss. Ergeb. Deutsche Zentral-Afr. Exped., 2, Bot.: 14 (1911). Varietal type from Ruwenzori, Uganda.

*Asplenium usambarensense* (Hieron.) Hieron. in Hedwigia, **60**: 227 (1918) nom. invalidum.

Gorongosa Mtn., S. W. sector, occasional to locally frequent in forest undergrowth, 4800 ft., 7.VII.1955, *Schelpe* 5586.

**Asplenium protensum** Schrad. in Gött. gel. Anz., **1818**: 916 (1818). Type from South Africa.

Gogogo Peak, locally frequent on boulders in deep shade in forest, 5800 ft., 5.VII.1955, *Schelpe* 5504.

**Asplenium friesiorum** C. Chr. in Notizbl. Bot. Gart. Berlin, 9: 181 (1924). Type from Kenya.

*Tarachia friesiorum* (C. Chr.) Momose in Journ. Jap. Bot, 35: 321, figs. 33, 34 (1960).

*Asplenium serra* Langsd. & Fisch. var. *natalensis* Bak., Syn. Fil., ed. II: 485 (1883).

*Asplenium pseudoserra* Domin in Preslia, **8**: 6 (1929). Type from Tanzania.

*Asplenium monilisorum* Domin in Preslia, **8**: 7 (1929). Type from South Africa.

Gogogo Peak, frequent on forest floor, 5800 ft., 5.VII.1955, *Schelpe* 5510.

**Asplenium aethiopicum** (Burm.) Becherer in Candollea, 6: 22 (1935).

*Trichomanes aethiopicum* Burm., Fl. Cap. Prod., in Fl. Ind.: 28 (1768). Type from South Africa.

*Asplenium adiantoides* Lam., Encycl. Méth. Bot., 2: 309 (1786). Type from South Africa.

*Asplenium furcatum* Thunb., Prodr. Pl. Cap.: 172 (1800). Type from South Africa.

*Tarachia furcata* (Thunb.) Presl, Epim. Bot.: 80 (1849).

*Asplenium falsum* Retz., Obs. Bot., 6: 38 (1791). Type from South Africa.

*Asplenium gueinzianum* Mett. ex Kuhn, Fil. Afr.: 103 (1868). Type from South Africa.

Gogogo Peak, locally frequent lithophyte on boulders and low-level epiphyte in shade in forest, 5800 ft., 5.VII.1955, *Schelpe* 5514. Gogogo Peak, locally common in *Widdringtonia-Philippia* scrub, 5800 ft., 6.VII.1955, *Schelpe* 5535.

*Asplenium sandersonii* Hook., Sp. Fil., 3: 147, t. 179 (1860). Type from South Africa.

*Asplenium vagans* Bak., Syn. Fil.: 195 (1867). Syntypes from São Tomé and Madagascar.

*Asplenium debile* Mett. ex Kuhn, Fil. Afr.: 101 (1868) non Fée (1865). Type from Comoro Is.

*Asplenium melleri* Mett. ex Kuhn, Fil. Afr.: 106 (1868). Type from Madagascar.

*Asplenium punctatum* Mett. ex Kuhn, Fil. Afr.: 114 (1868). Type from São Tomé.

*Asplenium hanningtonii* Bak. in Journ. of Bot., 1883: 245 (1883). Type from Tanzania.

*Asplenium comorense* C. Chr., Ind. Fil.: 103 (1906). Type from Comoro Is.

Gogogo Peak, frequent low-level epiphyte in forest, 5800 ft., 5.VII.1955, *Schelpe* 5509.

*Asplenium manni* Hook., Second Cent. Ferns: t. 60 (1861). Type from Fernando Po.

Gogogo Peak, locally abundant low-level epiphyte in forest, 5800 ft., 4.VII.1955, *Schelpe* 5497. Gorongosa Mtn., S. W. sector, frequent low-level epiphyte in forest, 5500 ft., 7.VII.1955, *Schelpe* 5581.



*Asplenium dregeanum* Kunze in *Linnaea*, 10: 517 (1836).  
Type from South Africa.

*Asplenium brachypteron* Kunze ex Houlst. & Moore  
in *Gard. Mag. Bot.*, 3: 260 (1851). Type from Sierra  
Leone.

*Asplenium gracile* A. Peter in Fedde, *Rep. Sp. Nov.*,  
*Beih.*, 40: 73, t. 5, fig. 2 (1929) non Don (1825) nec Fée  
(1852) nec Pappé & Rawson (1858). Type from Tanzania.

Gorongosa Mtn., S. W. sector, locally abundant lithophyte  
on boulders in forest in shade, 5000 ft., 7.VII.1955, *Schelp*  
*pe* 5583.

*Asplenium preussii* Hieron. in *Wiss. Ergeb. Deutsche Zen-*  
*tral-Afr. Exped.*, 2, Bot: 9, t. 1, fig. D (1910). Syntypes  
from Camerouns and Fernando Po.

Gorongosa Mtn., S. W. sector, locally frequent on deeply  
shaded boulders in forest, 4100 ft., 7.VII.1955, *Schelp*  
*pe* 5592.

*Asplenium rutaefolium* (Berg.) Kunze var. **bipinnatum**  
(Forsk.) Schelpe in *Journ. S. Afr. Bot.*, 30: 194 (1964).

*Lonchitis bipinnata* Forsk., *Fl. Aegypt. Arab.*: 184  
(1775). Type from Yemen.

*Asplenium bipinnatum* (Forsk.) C. Chr. in Hieron.,  
*Wiss. Ergeb. Deutsche Zentral-Afr. Exped.*, 2, Bot.: 11  
(1910) non Roxb. (1844).

*Caenopteris furcata* Berg. in *Acta Petropol.*, 1782  
(2): 249, t. 7, fig. 1 (1789). Type from Réunion.

*Darea furcata* (Berg.) Willd. in *L., Sp. Pl.*, ed. IV,  
5: 297 (1810).

*Adiantum borbonicum* Jacq., *Coll.*, 3: 286, t. 21,  
fig. 1 (189). Type from Réunion.

*Asplenium borbonicum* (Jacq.) Hook., *Sp. Fil.*, 3:  
207 (1860).

*Darea disticha* Kaulf., *Enum. Fil.*: 180 (1824). nom.  
illegit. Type from Yemen.

*Caenopteris disticha* (Kaulf.) Spreng. in *L., Syst.*  
*Veg.*, ed. XVI, 4: 91 (1827).

*Asplenium distichum* (Kaulf.) Mett. ex Salomon, Nomenclator: 84 (1883).

*Darea stans* Bory in Belanger, Voy. Bot., 2: 53 (1833). Type from Mascarene Is.

*Asplenium stans* (Bory) Kunze in Linnaea, 10: 521 (1836).

*Asplenium linearilobum* A. Peter in Fedde, Rep. Sp. Nov., Beih., 40: 80, t. 2, figs. 7-8 (1929). Type from Tanzania.

Gorongosa Mtn., Morambodzi Falls, occasional low-level epiphyte in streambank forest, 2900 ft., 3.VII.1955, *Schelpe* 5471. Gogogo Peak, occasional mid-level epiphyte in forest, 5800 ft., *Schelpe* 5498.

*Asplenium theciferum* (H. B. K.) Mett. var. *concinnum* (Schrad.) C. Chr. in Dansk Bot. Ark., 7: 104 (1932).

*Davallia concinna* Schrad. in Gött. gel. Anz., 1818: 918 (1818). Type from South Africa.

*Loxoscaphe concinnum* (Schrad.) Moore in Journ. of Bot, 5: 227 (1853).

*Asplenium concinnum* (Schrad.) Kuhn, Fil. Afr.: 99 (1868).

*Davallia campyloptera* Kunze in Linnaea, 10: 544 (1836). Type from South Africa.

Gogogo Peak, occasional low-level epiphyte in forest, 5800 ft., 5.VII.1955, *Schelpe* 5512.

#### THELYPTERIDACEAE

*Thelypteris dentata* (Forsk.) E. St. John in Amer. Fern. Journ., 26: 44 (1936).

*Polypodium dentatum* Forsk., Fl. Aegypt. Arab.: 185 (1775). Type from Yemen.

*Dryopteris dentata* (Forsk.) C. Chr. in Vid. Selsk. Skr., Afd. 8, 6: 24 (1920).

*Cyclosorus dentatus* (Forsk.) Ching in Bull. Fan Mem. Inst Biol. Bot. 8: 206 (1938).

*Aspidium natalense* Fée, Mém. Fam. Foug., **8**: 102 (1857). Type from South Africa.

*Nephrodium hispidulum* A. Peter in Fedde, Rep. Sp. Nov., Beih., 40: 58, t. 4, figs. 1-2 (1929). Type from Rhodesia.

Gorongosa Mtn., Morambodzi Falls, occasional among boulders near waterfall in shade in forest, 2700 ft., 2.VII.1955, *Schelpé* 5461.

*Thelypteris gueintziana* (Mett.) Schelpe in Journ. S. Afr. Bot, 31: 262 (1965).

*Aspidium gueintzianum* Mett., Farngattungen, Pheg. u. Asp.: 83 (1858). Type from South Africa.

*Lastrea gueintziana* (Mett.) Moore, Ind.: 93 (1858).

*Nephrodium gueintzianum* (Mett.) Hieron. in Bot. Jahrb., 28: 341 (1900).

Gorongosa Mtn., Morambodzi Falls, occasional in shaded wet rock crevices near waterfall, 2700 ft., 2.VII.1955, *Schelpé* 5458. Morambodzi Falls, occasional in streambank forest, 2700 ft., 2.VII.1955, *Schelpé* 5463.

#### LOMARIOPSIDACEAE

*Elaphoglossum acrostichoides* (Hook. & Grev.) Schelpe in Journ. S. Afr. Bot, 30: 196 (1964).

*Vittaria acrostichoides* Hook. & Grev., Icon. Fil.: t. 186 (1830). Type from South Africa.

*Drymoglossum acrostichoides* (Hook. & Grev.) Moore, Ind.: 31 (1857).

*Elaphoglossum preussii* Hieron. in Bot. Jahrb., 46: 402 (1911). Type from West Africa.

Gogogo Peak, occasional mid-level epiphyte in *Philippia* scrub, 5800 ft., 5.VII.1955, *Schelpé* 5524. Near Gogogo Peak, locally frequent on rocks on forest margin, 5600 ft., 6.VII. 1955, *Schelpé* 5543.

*Elaphoglossum lastii* (Bak.) C. Chr., Ind. Fil.: 309 (1905).

*Acrostichum lastii* Bak. in Ann. of Bot., 5: 491 (1891). Type from Mozambique or Tanzania.

*Acrostichum volkensis* Hieron. in Engl., Pflanzenw. Ost-Afr., C: 81 (1895). Type from Tanzania.

*Elaphoglossum volkensis* (Hieron.) C. Chr., Ind. Fil.: 318 (1905).

*Elaphoglossum obtusum* A. Peter in Fedde, Rep. Sp. Nov., Beih., 40 (1), App.: 2 (1929). Type from Tanzania.

Gorongosa Mtn., S. sector, frequent high to mid-level epiphyte in forest, 4500 ft., 4.VII.1955, *Schelpe* 5489. Near Gogogo Peak, locally frequent high to mid-level epiphyte in forest, 5600 ft., 6.VII.1955, *Schelpe* 5529. Gorongosa Mtn., S. W. sector, occasional high-level epiphyte in forest, 5400 ft., 7.VII.1955, *Schelpe* 5582.

*Elaphoglossum hybridum* (Bory) Brack. in U. S. Expl. Exped., 16: 69 (1854).

*Acrostichum hybridum* Bory, Voy., 3: 95 (1804). Type from Mascarene Is.

*Olfersia hybrida* (Bory) Presl, Tent. Pterid.: 235 (1836).

*Acrostichum ciliatum* Desv. in Mag. Ges. Naturf. Berl., 5: 310 (1811). Type from Réunion.

*Acrostichum ciliare* Carm. in Trans. Linn. Soc. Lond., 12: 510 (1818) non Thouars (1804). Type from Tristan da Cunha.

*Acrostichum tricholepis* Bak. in Journ. of Bot., 1891: 5 (1891). Type from Madagascar.

*Elaphoglossum tricholepis* (Bak.) C. Chr., Ind. Fil.: 317 (1905).

Gogogo Peak, occasional around boulder bases in scrub, 5800 ft., 5.VII.1953, *Schelpe* 5523. Near Gogogo Peak, occasional in deep shade in streambank forest, 5600 ft., 6.VII.1955, *Schelpe* 5530. Gorongosa Mtn., S. W. sector, locally frequent lithophyte and low-level epiphyte in tall *Philippia* scrub, 5800 ft., 7.VII.1955, *Schelpe* 5580.

*Elaphoglossum aubertii* (Desv.) Moore, *Ind.*: 5 (1857).

*Acrostichum aubertii* Desv. in *Mag. Ges. Naturf. Berl.*, 5: 309 (1811). Type from Réunion.

*Acrostichum boivinii* Mett. ex Kuhn, *Fil. Afr.*: 43 (1868). Type from Mauritius.

Gorongosa Mtn., S. sector, occasional on shaded boulders in forest, 4500 ft., 4.VII.1955, *Schelpé* 5486. Gogogo Peak, locally frequent on mossy boulders in *Philippia* scrub, 5800 ft., 5.VII.1955, *Schelpé* 5522.

*Elaphoglossum chevalieri* Christ in *Journ. de Bot.*, sér. 2, 2: 23 (1909). Type from São Tomé.

Gorongosa Mtn., S. sector, rare on boulder in dense shade in forest, 4000 ft., 4.VII.1955, *Schelpé* 5484. Near Gogogo Peak, locally common on shaded boulders in streambank forest, 5600 ft., 6.VII.1955, *Schelpé* 5539.

#### ASPIDIACEAE

*Dryopteris inaequalis* (Schlechtend.) O. Kuntze, *Rev. Gen. PL.*, 2: 813 (1891).

*Aspidium inaequale* Schlechtend., *Adumbr.*: 23, t. 12 (1825). Type from South Africa.

*Lastrea inaequalis* (Schlechtend.) Presl, *Tent. Pterid.*: 77 (1836).

*Nephrodium inaequale* (Schlechtend.) Hook., *Sp. Fil.*, 4: 125 (1862) non Schrad. (1824).

*Polystichum inaequale* (Schlechtend.) Keys., *Poly-pod. Cyath. Hb. Bung.*: 44 (1873).

*Lastrea pentagona* Moore in Hook. *Journ. of Bot.*, 5: 227 (1853). Type from South Africa.

*Nephrodium pentheri* Krasser in *Ann. Hofmus. Wien*, 15: 5, t. 2, figs. 1-5 (1900). Type from South Africa.

*Dryopteris pentheri* (Krasser) C. Chr., *Ind. Fil.*: 284 (1905).

Gorongosa Mtn., Morambodzi Falls, occasional in forest undergrowth, 2700 ft., 2.VII.1955, *Schelpe* 5462.

*Dryopteris kilemensis* (Kuhn) O. Kuntze, Rev. Gen. Pl., 2: 813 (1891).

*Aspidium kilemense* Kuhn, Fil. Deck.: 24 (1867) (err. *kilmense*). Type from Tanzania.

*Nephrodium kilmense* (Kuhn) Bak., Syn. Fil.: 498 (1874).

*Nephrodium lastii* Bak. in Ann. of Bot., 5: 324 (1891). Type from Mozambique.

*Aspidium lastii* (Bak.) Hieron. in Engl., Pflanzenw. Ost-Afr., C: 85 (1895).

*Dryopteris lastii* (Bak.) C. Chr., Ind. Fil.: 274 (1905).

Gorongosa Mtn., S. sector, rare in forest undergrowth, 4500 ft., 4.VII.1955, *Schelpe* 5487. Gogogo Peak, occasional in forest, 5800 ft., 5.VII.1955, *Schelpe* 5519.

*Polystichum ammifolium* (Poir.) C. Chr., Cat. PL Madag., Pterid.: 31 (1932).

*Polypodium ammifolium* Poir., Encycl. Méth. Bot., 5: 554 (1804). Type from Mascarene Is.

Gogogo Peak, occasional in shade near forest margin, 5800 ft., 5.VII. 1955, *Schelpe* 5518.

*Ctenitis cirrhosa* (Schum.) Ching in Sunyatsenia, 5: 250 (1940).

*Aspidium cirrhosum* Schum. in Kongel. Dansk Vid. Selsk., Nat. & Math. Afh., 4: 231 (1827). Type from West Africa.

*Nephrodium cirrhosum* (Schum.) Bak., Syn. Fil.: 472 (1868).

*Dryopteris cirrhosa* (Schum.) O. Kuntze, Rev. Gen. PL, 2: 812 (1891).

*Aspidium comorense* Kuhn, Fil. Afr.: 128 (1828).  
nom. nud.

*Nephrodium crinobulbon* Hook., Sp. Fil., 4: 92, t. 224  
(1862). Type from São Tomé.

*Lastrea crinobulbon* (Hook.) J. Sm., Hist. Fil.: 214  
(1875).

*Dryopteris crinobulbon* (Hook.) C. Chr., Ind. Fil.,  
Suppl. 3: 84 (1934).

*Ctenitis crinobulbon* (Hook.) Ching in Sunyatsenia,  
5: 250 (1940).

*Nephrodium spekei* Bak., Syn. Fil.: 263 (1868). Type  
from Comoro Is.

*Dryopteris spekei* (Bak.) O. Kuntze, Rev. Gen. Pl.,  
2: 813 (1891).

*Thelypteris spekei* (Bak.) Ching in Bull. Fan Mem.  
Inst. Biol. Bot, 10: 254 (1941).

*Nephrodium welwitschii* Bak., Syn. Fil.: 274 (1868).  
Type from Angola.

*Dryopteris pulvinata* C. Chr. in Bonap., Not. Pterid.,  
16: 177, t. 6, fig. a (1925). Type from Madagascar.

*Dryopteris nimbaensis* Tardieu in Not. Syst.: 13:  
370 (1948). Type from Guinea.

Gorongosa Mtn., Morambodzi Falls, occasional in shaded  
rock crevices near waterfall, 2700 ft., 2.VII.1955, *Schelpe* 5457.

*Tectaria gemmifera* (Fée) Alston in Journ. of Bot., 77:  
228 (1939).

*Sagenia gemmifera* Fée, Mém. Fam. Foug., 5: 313  
(1852). Type from Madagascar.

*Aspidium coadunatum* Wall. ex Hook. var. *gemmi-  
fera* (Fée) Mett. ex Kuhn, Fil. Afr.: 128 (1868).

Gorongosa Mtn., Morambodzi Falls, frequent in forest  
undergrowth, 2700 ft., 2.VII.1955, *Schelpe* 5460.

## BLECHNACEAE

*Blechnum attenuatum* (Sw.) Mett. var. ***giganteum*** (Kaulf.) Bonap. in Sarasin & Roux, Nova Caledonia, 1: 43 (1914).

*Lomaria gigantea* Kaulf., Enum. Fil.: 150 (1824).  
Type from South Africa.

*Blechnum giganteum* (Kaulf.) Schlechtend., Adumbr.: 36, t. 20, 22, fig. 1 (1827).

*Lomaria heterophylla* Desv. in Mag. Ges. Naturf. Berl., 5: 330 (1811). Type from South Africa.

*Blechnum heterophyllum* (Desv.) Schlechtend., Adumbr.: 37 (1827).

*Lomaria hamata* Kaulf., Enum. Fil.: 150 (1824).  
Type from South Africa.

*Lomaria decipiens* Pappe & Raws., Syn. Fil. Afr. Austr.: 29 (1858). Type from South Africa.

Gorongosa Mtn., above Morambodzi Falls, occasional among boulders in streambank forest, 2900 ft., 3.VII.1955, *Schelpe* 5474. Near Gogogo Peak, locally frequent on floor of streambank forest, 5600 ft., 6.VII.1955, *Schelpe* 5534.

*Blechnum capense* (L.) Schlechtend., Adumbr.: 34, t. 18 (1825).

*Osmunda capensis* L., Mantissa Pl. Alt.: 306 (1771).  
Type from South Africa.

*Onoclea capensis* (L.) Sw., Syn. Fil.: 111 (1806).

*Lomaria capensis* (L.) Willd. in L., Sp. Pl., ed. TV, 5: 291 (1810).

*Spicanta capensis* (L.) O. Kuntze, Rev. Gen. Pl.: 821 (1891).

Near Gogogo Peak, occasional in clearing in streambank forest, 5600 ft., 6.VII.1955, *Schelpe* 5533.

*Blechnum tabulare* (Thunb.) Kuhn, Fil. Afr.: 94 (1868).

*Pteris tabularis* Thunb., Prodr. Pl. Cap.: 171 (1800).  
Type from South Africa.



*Lomaria tabularis* (Thunb.) Mett. ex Bak., Fl. Brasil, 1 (2): 418 (1870).

*Lomaria coriacea* Schrad. in Gött. gel. Anz., 1818: 916 (1818). Type from South Africa.

*Lomaria gueinzii* Moug. ex Fée, Mém. Fam. Foug., 5: 69 (1852). Type from South Africa.

*Lomaria cycadoides* Pappe & Raws., Syn. Fil. Afr. Austr.: 28 (1858). Type from South Africa.

*Blechnum cycadoides* (Pappe & Raws.) Kuhn, Fil. Afr.: 91 (1868).

*Lomaria dalgairnsiae* Pappe & Raws., Syn. Fil. Afr. Austr.: 27 (1858). Type from South Africa.

*Blechnum dalgairnsiae* (Pappe & Raws.) Kuhn, Fil. Afr.: 92 (1868).

Gorongosa Mtn., near Gogogo Peak, occasional around boulders and rock outcrops in *Protea* savannah, 5800 ft., 6.VII.1955, Schelpe 5544.



## NOTES ON THE *CHRYSOBALANACEAE* OF ANGOLA

*bg*

G. T. PRANCE

BETWEEN 1960 and 1963 I was engaged on a revision (PRANCE, 1963) on a world-wide basis of the *Chrysobalanaceae* at generic level. This will be published shortly (PRANCE, in press). Besides re-examining traditional morphological features I also studied the secondary xylem and floral anatomy, the pollen grain and germination and seedling characters of a large number of species. It was found that most of the larger genera could be justifiably maintained, sometimes after minor emendations, but that *Parinari* is an artificial and heterogeneous assemblage. *Parinari* is unique within the family in having its carpels partitioned by a false septum. This character has been used to define the genus since it was originally described by AUBLET in 1775. Visual inspection indicates that some members are more closely related to genera outside *Parinari* than to the rest of *Parinari*; detailed analysis confirms this.

One old-world group of species originally described as *Maranthes* Bl. but usually treated as the section or subgenus *Sarcostegia* of *Parinari* differs from *Parinari* sensu stricto not only in nearly all important characters including method of germination but is actually more closely related to the South American genus *Couepia* than to any other group of species within *Parinari* sensu lato and must be reinstated as a genus.

In my opinion the genus *Magnistipula* Engl. as defined by GRAHAM (1960) should be maintained, but one species from the old *Parinari*, *P. tessmannii* Engl., which has bilocular carpels but no other important characters in common

with *Parinari* sens. str. should be transferred to it. It is sufficiently distinct within *Magnistipula* to be placed in its own subgenus.

Since four of the new combinations will be needed for the next part of the *Conspectus Florae Angolensis* which is likely to appear before my revision, they are published here in advance of the main work together with a conspectus of the Angolan genera.

#### Conspectus of the Angolan genera

1. Ovary inserted at or near the base of the receptacle; endocarp with 4-8 distinct longitudinal ridges corresponding to the lines of fracture that allow the seedling to escape. . . . . *Chrysobalanus*
- 1a. Ovary inserted laterally or at the mouth of the receptacle:
  2. Endocarp with two small basal «plugs» or «Stoppers» that allow the seedlings to escape, surface rough and fibrous; bracts and bracteoles enclosing flowers in small groups; leaf-undersurface with small stomatal cavities filled with hairs; germination hypogeal. . . . . *Parinari*
  - 2a. Endocarp without basal plugs but sometimes dehiscent at germination by means of two large lateral plates; bracts and bracteoles not enclosing the flowers in groups; leaf-undersurface without hair-filled stomatal cavities:
    3. Endocarp with two lateral plates; carpels bilocular; receptacle not ventricose; stamens 20-60, not ligulately connate; germination epigeal. . . . . *Maranthes*
    - 3a. Endocarp without lateral plates or other visible lines of weakness; carpels unilocular (except in *Magnistipula tessmannii*); germination hypogeal:
      4. Stamens 10-65, filaments ligulately connate for most of length; receptacle not ventricose. . . . . *Acioa*

- 4a. Stamens (fertile) 5-9, only slightly connate at the base, grouped on one side of the receptacle; staminodes inserted opposite the stamens, free or united to form a short comb or an elevated tongue; receptacle oblique, ventricose . . . . .  
 . . . . . *Magnistipula*

### New combinations

#### **MARANTHES** Bl.

**Maranthes** Bl., Bijdr. Fl. Nederl. Ind.: 89 (1825).

*Parinariium* Sectio *Sarcostegia* Benth. in Hook., Niger Fl.: 335 (1849).

Small to large trees with hermaphrodite flowers 9-40 mm. long. *Leaf-undersur face* glabrous or with a dense woolly tomentum which is easily rubbed off. *Petioles* usually with 2 glands, rarely eglandular. *Bracts* and *bracteoles* eglandular, not enclosing the young flowers in groups. *Receptacle* of varied shape but narrowed to the base, solid or nearly solid (or rarely hollow, elongate and curved), glabrous inside at base; calyx-lobes rounded. *Stamens* 23-60, exerted far beyond calyx-lobes, often forming a complete circle, or a small part of the circle and the rest of the circle staminodial. *Ovary* of 1 (2-3) carpels, inserted laterally at the mouth of the receptacle; carpels bilocular. *Fruit* a fleshy drupe; epicarp smooth, usually without warts or rarely with a few; endocarp very hard, fibrous with a roughish exterior, with two lateral plates which break away during germination and allow the seedling to escape. *Germination* epigeal, first leaves opposite.

*Distribution*: mainly African but with one species widely distributed in the East (Malaysia, New Guinea and Australia).

*Type species*: **Maranthes corymbosa** Bl.

*Maranthes gabunensis* (Engl.) Prance, comb. nov.

*Parinari gabunense* Engl., Bot. Jahrb. 17: 87 (1893).

Typus: *Boyaux* 45, fl. Gabon (κ, isotype).  
From Cameroun to Cabinda.

This is the only species of *Maranthes* with a truly hollow receptacle.

*Maranthes glabra* (Oliv.) Prance, comb. nov.

*Parinari glabrum* Oliv., Fl. Trop. Afr. 2: 370 (1871).

*Parinari gillettii* De Wild. in Ann. Mus. Cong., Bot. Sér. 5, 1: 245, t. 59 (1906).

Typus: *Mann* 1832, fl. Rio Muni (κ, holotype).

*Maranthes polyandra* (Benth.) Prance, comb. nov.

*Parinari polyandrum* Benth. in Hook., Niger Fl.: 333 (1849).

Typus: *Vogel* 3, fl. Nigeria (κ, holotype).

From Ghana, Togo and Dahomey to the Sudan.

Subsp. *floribunda* (Bak.) Prance, comb. nov.

*Parinari floribundum* Bak. in Bull. Misc. Inf. Kew 1897: 265 (1897).

*Parinari polyandra* subsp. *floribunda* (Bak.) R. Grah. in Kew Bull. 1957: 229 (1957).

Typus: *Whyte* s. n., fl. Malawi (κ, holotype).

Congo, Angola, Zambia, Rhodesia, Malawi, Tanzania.

#### MAGNISTIPULA Engl.

*Magnistipula* Engl., Bot. Jahrb. 36: 226 (1905); Hauman in Bull. Jard. Bot. Brux. 21: 173 (1951); R. Grah. in Kew Bull. 1957: 230 (1957).

*Hirtella* L. Subgen. *Afrohirtella* Hauman, tom. cit. 178 (1951).

Trees, shrubs or suffrutices with hermaphrodite flowers 5-22 mm. long. *Leaf-undersurface* glabrous or with a few strigose, rust-coloured hairs, never with a dense tomentum. *Petioles* eglandular. *Stipules* large and persistent in some species only. *Bracts* and *bracteoles* occasionally with a few sessile glands. *Inflorescence* usually of panicles, rarely of racemes. *Receptacle* of characteristic shape, gibbous, ventricose or obliquely campanulate, hairy or glabrous inside; calyx-lobes acute, usually tomentose. *Fertile stamens* 5-9, included or slightly exerted, arcuate, grouped towards one side of receptacle; staminodes inserted opposite the stamens, free or united to form a short comb or an elevated tongue. *Ovary* inserted at the mouth of the receptacle; carpels unilocular (bilocular in *M. tessmannii*). *Style* slightly exerted,  $\pm$  arcuate. *Fruit* a fleshy drupe; epicarp with a dense rusty tomentum (smooth and glabrous in *M. fleuryana*); endocarp hairy inside, usually soft and consisting of a few fibres only, and breaking up in no special way on germination; hard and smooth in *M. tessmannii*. *Germination* hypogeal, first leaves opposite.

*Distribution:* Africa with most species in Cameroun, Gabon and Congo.

*Type species:* *M. conrauana* Engl.

Subgenus **Pellegriniella** (Hauman) Prance, comb. nov.

*Parinari* subgenus *Pellegriniella* Hauman in Bull. Bot. Brux. 21: 188 (1951) pro parte quoad *P. tessmannii* tantum.

*Magnistipula tessmannii* (Engl.) Prance, comb. nov.

*Parinarium tessmannii* Engl., Bot. Jahrb. 46: 139 (1911).

Typus: *Tessmann* 81, fl., Gabon ( $\alpha$ , p, isotypes).

Subgenus *Pellegriniella* differs from subgenus *Magnistipula* in having bilocular carpels and a thick, hard smooth endocarp. HAUMAN based his diagnosis of *Parinari* subgenus *Pellegriniella* on *P. tessmannii* which he clearly regarded as

an anomalous member of *Parinari*. He associated two anomalous South American species with it, *P. coriacea* Benth. and *P. gardneri* Hook. f. They have no important features in common with *P. tessmannii* and belong to an undescribed genus.

\* \*

I wish to thank Mr. F. WHITE, Curator of the Forest Herbarium, University of Oxford for much help in connection with the study on which this short account is based.

#### REFERENCES

- GRAHAM, R. A. in HUBBARD, C. E. & MILNE-REDHEAD, E.  
1960 Flora of Tropical East Africa. Rosaceae: 55-58.
- PRANCE, G. T.  
1963 A taxonomic study of the *Chrysobalanaceae*. D. Phil. thesis,  
University of Oxford.
- PRANCE, G. T.  
In press. A synopsis of *Chrysobalanaceae*.



## ACACIA ALBIDA DEL. IN AFRICA

bg

J. H. ROSS

Bews Botanical Laboratories, University of Natal,  
Pietermaritzburg, South Africa

THE description of *Acacia albida* by DELILE (1813) was based on a specimen from Egypt collected by NECTOUX. BENTHAM (1842) recognised var. *senegalensis* within *A. albiäa* citing Roberts s. n. and Brunner '12 from Senegal. The variety apparently differed chiefly in having 5-7 pinna pairs as opposed to the 2-4 pairs in typical *A. albiäa*. BENTHAM (l. c.) described *A. saccharata* from a specimen collected by Heudelot in the Cayor. BENTHAM'S description follows fairly closely his description of *A. albiäa* and, although his notes on *A. saccharata* carry the comment «an *A. albida* var. *subinermis?*», it is perhaps surprising that he created the new species. OLIVER (1871), and later BENTHAM (1875) himself, regarded *A. saccharata* as a synonym of *A. albida*. *A. gyrocarpa*, which was described by HOCHSTETTER from Abyssinia, was also regarded as a synonym by OLIVER and by BENTHAM (1846; 1875).

LINNAEU'S (1753) comment that *Mimosa Senegal* [= *Acacia Senegal* (L.) Willd.] was easily distinguished by its white bark has, in the past, led to the confusion of this species with *A. albida* which frequently has white or ashen bark.

BOLLE (1861) described *A. mossambicensis* from Portuguese East Africa noting that the species different from *A. albiäa* in its spinelessness and in its pubescence. OLIVER (1871) referred *A. mossambicensis* to *A. albida* with some doubt noting «I do not observe any character in the published description by which it differs, excepting in the absence of spines. This, however, occurs occasionally in *A. albiäa*». As

mentioned by BRENAN (1956), the name *A. mossambicensis* has in the past been incorrectly applied to *A. goetzei* Harms. Certain Natal plants which form part of the *A. burkei* Benth. complex have also been confused with *A. mossambicensis* (HENKEL, 1934, 1937).

OLIVER'S (1871) description of *Prosopis* ? *Kirkii* from Portuguese East Africa followed closely that of *A. albida*. The species was regarded as a synonym of *A. albida* by BENTHAM (1875), a view upheld by subsequent authors.

DE WILDEMAN (1925) recognised var. *microfoliolata* and var. *variofoliolata* within *A. albida*, citing as type specimens *Delevoy 443* and *Delevoy 227* respectively both from the Congo. The type of var. *microfoliolata* is a sterile spiny shoot bearing reduced leaves and small leaflets plus a detached fruit, whilst that of var. *variofoliolata* is a fruiting specimen, the leaves of which exhibit great variation in number of pinna pairs. BAKER (1930) considered var. *variofoliolata* to be «hardly separable from the type».

*A. albida* displays a number of unusual characters, some of which are peculiar to this species alone amongst the African Acacias. *A. albida* differs in having leaves with eglandular petioles, stamen filaments which are shortly connate basally (also in *A. eriocarpa* Brenan and in *A. ogadensis* Chiov.), large anthers which are eglandular even when in bud, and a typically falcate or spirally coiled, indehiscent legume. CHEVALIER (1934) considered the species sufficiently distinct from all others to transfer it to the monotypic genus, *Faidherbia*. Although CHEVALIER was followed by GILBERT and BOUTIQUE (1952), the differences enumerated above were not considered sufficient by subsequent workers to warrant separating the species from the genus *Acacia*.

BRENAN (1959) mentioned the presence of «two well-defined geographical races» within *A. albida*: race A having glabrous young branchlets, inflorescence axes, calyces and corollas, and small leaflets which are glabrous apart from the ciliolate margins, whilst race B is characterised by an overall pubescence and larger leaflets which are also pubescent. BRENAN (l. c.) found that whilst most specimens from tropical east Africa could be referred to either one race or to

the other in certain other parts of the species range intermediates between the two occur quite frequently. Consequently an attempt was made to determine the range of this morphological variation and to establish the distributional range of the species in Africa.

#### DISTRIBUTION, HABIT AND HABITAT

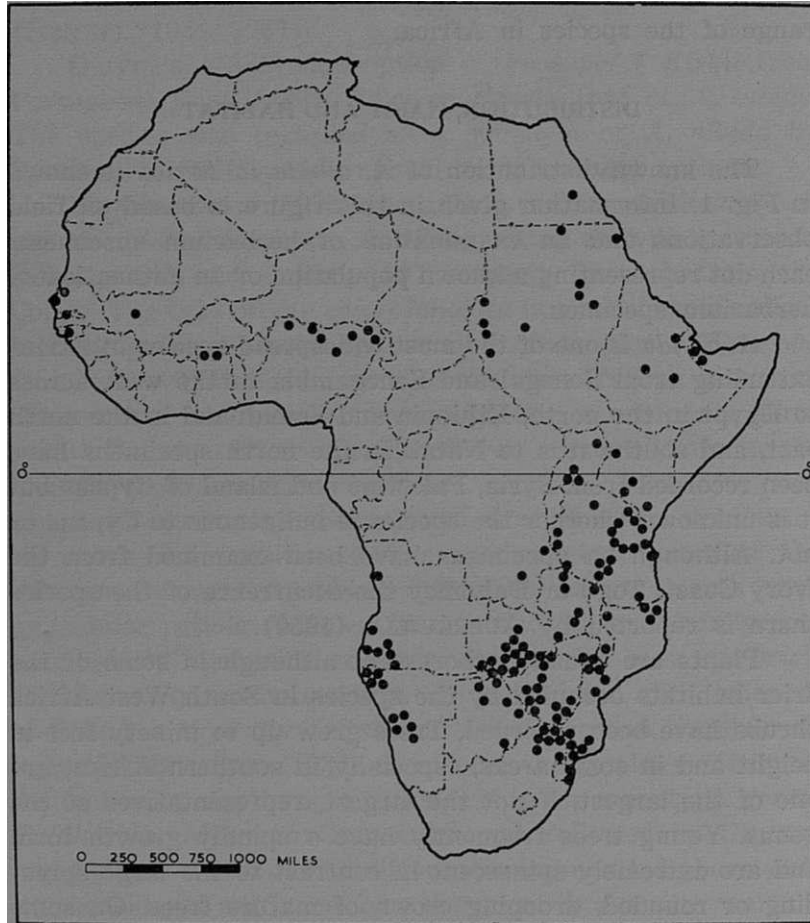
The known distribution of *A. albida* in Africa is shown in Fig. 1. Information given in this figure is based on field observations and an examination of herbarium specimens, each dot representing a known population or an authenticated herbarium specimen.

*A. albida* is one of the most widespread species in Africa extending from Senegal and Senegambia in the west across to Egypt in the north, Ethiopia and Somaliland in the north east, and southwards to Natal. In the north specimens have been recorded from Syria, Palestine and island of Cyprus but it is unknown whether the species is indigenous to Cyprus or not. Although no specimens have been examined from the Ivory Coast, Togo or Dahomey the occurrence of the species there is reported by AUBRÉVILLE (1950).

Plants are usually arborescent although in some of the drier habitats occupied by the species in South West Africa shrubs have been recorded. Trees grow up to ninety feet in height and in some areas, especially in southern Africa, are one of the largest, if not the largest, representatives of the genus. Young trees frequently have a spindly growth form and are extremely spinescent in contrast to the large spreading or rounded, drooping crown of mature trees. On some mature trees spines are found mainly on the young coppice shoots whilst on the terminal branches they may be very much reduced in size or sometimes completely absent. The tips of the spines, especially the young ones, are frequently tinged with orange or light brown.

Plants grow most commonly on seasonally inundated alluvial floodplains, colluvial fan slopes, in riverine fringing vegetation, marginal to lakes and swamps, in woodland or, in more arid localities along dry watercourses or where a

fairly high water table exists. Plants grow either singly or in communities. In Tanzania in the Wami basin trees up to ninety feet in height and forming a forest component together



**Fig. 1.** — The known distribution of *Acacia albida* in Africa.

with *Chlorophora excelsa* (Welw.) Benth. & Hook. f. and *Sterculia appendiculata* K. Schum. have been noted.

The bark, which varies in colour from brown to greenish-grey or ashen, is frequently coarsely fissured (see Fig. 2) and may be slightly cork-like whilst on the younger branches it is smoother and greenish white.



**Fig. 2.** — Close up of the ashen to light greyish-brown, rough bark of *Acacia albida*. Natal, Ndumu Game Reserve, Usutu floodplain, 26 Feb., 1964.

## MORPHOLOGICAL VARIATION

In Natal *A. albida* is confined to the Ingwavuma district, and plants are nowhere common within this area. Consequently only seven trees, from two populations or perhaps in reality one continuous population, were sampled according to the method of GORDON-GRAY (1965). Insufficient parameters were obtained to present detailed information but the results nevertheless formed a foundation for further work and comparison. The field samples were supplemented by an examination of numbers of herbarium specimens, the morphological parameters of which were measured in the same way as those of leaves constituting the field samples. For most localities herbarium specimens had to be relied upon exclusively which, as mentioned (Ross, 1967), is unsatisfactory. Until such time as populations have been sampled throughout the species range it is hoped that the following information will contribute towards a better understanding of *A. albida*.

In *A. albida* primary and secondary leaves occur. The former develop between the paired stipular spines and occur singly whilst the latter are fascicular and arise from dwarfed lateral shoots. The two types differ mainly in size, the primaries tending to be larger.

Parameters obtained for all measurable morphological characters throughout the species range revealed continuous variation, as was the case within the populations sampled in Natal. Leaf size varies on a single plant and from plant to plant within a population. Frequently the rachilla on one side of the rachis is unequal in length to the corresponding member on the opposite side so that the leaf develops asymmetrically. Although exceptions abound, observations suggest that the overall tendency is for petiole length to be positively correlated with rachis and rachilla length, whilst number of pinna pairs and number of leaflet pairs are positively correlated with rachis length and rachilla length respectively. In contrast to nearly all other species the petiolar gland is absent, but there is usually a gland between each pinna pair.

The maximum number of pinna pairs recorded in *A. albida* was twelve.

Many authors have commented on the leafless state of plants in summer in different parts of the species range. However, field observations do not support FEELY'S (1965) statement that plants at the southern end (south of the Limpopo River) of the species range behave «as do other deciduous woody plants by flowering, fruiting and bearing foliage in the spring and summer », whilst north of the Limpopo River the active season is in winter. In Natal in the Ndumu Game Reserve one tree was found in full leaf and flowering profusely in late summer (see Fig. 3) whilst others a few hundred yards away were completely leafless (see Fig. 4). Trees north of Otoboteni on the Tongaland plain which were leafless in summer were later observed in full leaf and flower at the beginning of winter. In Natal, at least, trees usually come into leaf at the end of the rainy season and remain green during the dry season, finally shedding their leaves at the onset of the rainy season. In the Lindi district of Tanzania trees were found in full leaf and fruit in mid-summer whilst some trees at Mahiwa were observed never to be deciduous at any stage of the year. It appears that the behaviour of plants varies from locality to locality and that in any one locality at the same time it is frequently possible to find both leafless and leaf bearing plants.

Pod size and especially pod shape vary considerably on a single plant, the latter being perhaps the most variable character exhibited by the species. Pod size is apparently unrelated to any other measurable morphological character.

Inflorescences are normally produced singly between the paired spines or in the axil of a leaf, the inflorescences collectively forming a terminal panicle. Occasionally inflorescences are attacked by insects which results in galls similar to those found in *A. caffra* (Thunb.) Willd. (Ross, 1965). *A. albida* is the only species in southern Africa having straight or only slightly curved spines and a spicate inflorescence, all other species with spicate inflorescences having strongly recurved prickles. However, other species combining



**Fig. 3.** — Tree 55 feet in height with rounded crown in full leaf and flower. *Ficus sycamorus* L. in background. To the right of the mature tree a young, irregularly branched, spindle-like specimen of *Acacia albida* is visible. *Phragmites communis* Trin., *Themeda triandra* Forsk. and *Panicum maximum* Jacq. form a dense sward in the foreground. (The roof a Land Rover is visible beneath the mature tree in the centre of the photograph).  
Ndumu Game Reserve, Usutu floodplain, late summer, 26 Feb., 1964.



Ndumu Game Reserve, Usutu floodplain, late summer, 26 Feb., 1964.



Fig. 4.—Completely leafless tree 53 feet in height growing with *Pluchea dioscorides* DC, *Sclerocarya caffra* Sond., *Vernonia colorata* (Willd.) Drake and, in right background, *Ficus sycamorus*. Grass cover of *Themeda triandra* and *Panicum maximum*. Ndumu Game Reserve, Usutu floodplain, late summer, 26 Feb., 1964.

straight spines and a spicate inflorescence occur elsewhere in Africa.

#### DISCUSSION AND TAXONOMIC CONCLUSIONS

The characters typifying each of BRENAN's races are not necessarily correlated appearing more as inconsistent tendencies so that, as mentioned by BRENAN, intermediates possessing attributes of both races are common. Such plants cannot be referred to either race with any degree of certainty. On some specimens from southern Africa some of the leaflets are glabrous abaxially whilst others on the same specimen are appressed-pubescent. Leaflet size varies on a single specimen and specimens have been observed on which the small leaflets are appressed-pubescent ab- and/or adaxially and on which the larger leaflets are glabrous. Sometimes the calyx and corolla are glabrous and the leaflets appressed-pubescent, whilst in other specimens it is the calyx and corolla that are pubescent. With the exception of a few doubtful specimens all specimens from the southern part of the species range are referable to race **B** which concurs with BRENAN'S finding that this is the exclusive race south of central Tanzania.

In northern Tanzania, Uganda and Kenya race **A** is recorded whilst further north and in west Africa both races plus intermediates occur. A number of specimens from the Sudan, Ethiopia and west Africa have leaflets which are small as in race **A** but pubescent as in **B**, whilst in others the leaflets are glabrous but large. **B** appears the commoner of the two races in the west.

None of the infraspecific categories previously recognised within *A. albida* are maintained as not one has any distinguishing character. For example, var. *variofoliolata* is based on a specimen which exhibits a range in variation from 2-10 pinna pairs so that any specimen on which pinna pair number varies could be referred to the variety. Similarly, var. *microfoliolata* is based on a sterile, spiny shoot with reduced leaves and leaflets so that young coppice shoots off a plant could be referred to this variety and mature shoots off the same plant to another.

*A. albida*, which displays a number of characters peculiar to it alone, has no close relatives within the genus.

*A. albida* Del., Fl. Egypt.: 142, t. 52, fig. 3 (1813); DC. in Prodr. 2: 459 (1825); Benth. in Lond. Jour. Bot. 1: 505 (1842); Rich. in Tent. Fl. Abyss. 1: 241 (1847); Niger Fl.: 127 (1849); Schweinf. in Linnaea XXXV: 358 (1867); Oliv. in F. T. A. 2: 339 (1871); Boiss. in Fl. Or. 2: 637 (1872); Grant in Trans. Linn. Soc. 29: 67 (1873); Benth. in Trans. Linn. Soc. 30: 515 (1875); Marloth in Trans. S. Afr. Phil. Soc.: 271 (1893); Engl. in Bot. Jahrb. 10: 20 (1888); Engl. in Hochgebirgsflora Tropischen Afrika: 240 (1892); Schinz in Mém. Herb. Boiss. 1: 104 (1900); Harms in N. B. G. B. 4: 198, fig. 2 (1906); Pax in Engl. Bot. Jahrb 39: 624 (1907); Sim in For. and For. Fl. P. E. A.: 54, t. 34 (1909); Dinter in Fl. Deutsch-Südwest-Afrika: 74 (1909); Muschler in Man. Fl. Egypt. 1: 459 (1912); Dinter in Veg. Veldkost Deutsch-Südwest-Afrikas: 32 (1912); Engl. in Pflanzenw. Afr. 3 (1) (Engl. & Drude, Veg. der Erde, 9): 376, fig. 220 (1915); Glover in Ann. Bol. Herb. 1: 146 (1915); F. W. T. A. ed. 1, 1: 361 (1927); Crowfoot in Fl. Pl. Northern and Central Sudan: fig. 71 (1928); Baker in L. T. A.: 825 (1930); Burt Davy in Man. Fl. Pl. Tvl.: 335 (1932); Pönninghaus in Jour. S. W. Afr. Sci. Soc. 6: 12-13 (1933); Boss in Pflanzenleben Südwestafrika's: 30 (1934); Henkel in Woody PL of Natal and Zululand: 232 (1934); T. S. K.: 67 (1936); Eggeling in Indigenous Trees of Uganda Prot.: 110 (1940); Roberty in Candollea 11: 140 (1948); T. T. C. L.: 330 (1949); Bogdan in Nature in E. Afr., ser. 2, No. 1: 13 (1949); Aubréville in For. Fl. Soud. Guin.: 280 (1950); Codd in Trees and Shrubs Kruger N. Park: 38 (1951); I. T. U. ed. 2: 205, fig. 47a (1952); Miller in Jour. S. Afr. Bot. 18: 18 (1952); Andrews in Fl. Pl. Anglo-Egyptian Sudan 2: 133, fig. 55 (1952); Wild in Rhodesian Dict. of Bot. Names: 46 (1953); Young in Candollea 15: 89-93 (1955); Consp. Fl. Angol. 2: 272 (1956); F. W. T. A. ed. 2, 1: 499 (1958); Brenan in F. T. E. A. Legum.-Mimos.: 78 (1959); Dale and Greenway in Kenya Trees and Shrubs: 284 (1961); Palmer and Pitman in Trees of South Africa: 148-50, t. 5 (1961); White in For. Fl. N. Rhodesia: 82,

fig. 17 b, c (1962); Mitchell in *The Puku*, 1: 103 (1963).  
 Type: Egypt, above Philae, *Nectoux* (MPU, holo.).

Syn.: *A. albida* Del. var. *senegalensis* Benth. in Hook.  
 Lond. Jour. Bot. 1: 505 (1842). Types: Senegal,  
*Robert* s. n., *Brunner* 72 (K).

*A. saccharata* Benth. in Hook. Lond. Jour. Bot. 1:  
 505 (1842). Type: the Cayor, *Heudelot* 391 (K).

*A. gyrocarpa* Hochst. in Schimp. Pl. Abyss. n. 1333;  
 Rich. in Tent. Fl. Abyss. 1: 241 (1847).

*A. mossambicensis* Bolle in Peters Reise Mossamb.  
 Bot. 1: 5 (1861); non Baker in L. T. A.: 831 (1930);  
 non Henkel in Woody Pl. Natal and Zululand: 233  
 (1934); non Henkel in Ecology of Hluhluwe Game  
 Reserve: 17, t. 6 (1937).

*Prosopis* ? *Kirkii* Oliv. in F. T. A. 2: 332 (1871)  
 cited specim. of *Dr. Kirk* from Shire R., Zambesi  
 land.

*Acacia albida* Del. var. *microfoliolata* De Wild., Pl.  
 Bequaert. 3: 56 (1925); de Wild. in Contrib. à  
 l'étude de la Fl. du Katanga, Suppl. 1: 17 (1927);  
 Baker in L. T. A.: 825 (1930). Type: Congo,  
 Katanga Prov., Kala, 6 Dec. 1921, *Delevoy* 443  
 (BR, holo.; x, photo.).

*A. albida* Del. var. *variifoliata* De Wild., op. cit.:  
 57 (1925); De Wild., op. cit.: 17 (1927). Type:  
 Congo, Lubaye, 1921, *Delevoy* 227 (BR, holo.;  
 x, photo.).

*Faidherbia albida* (Del.) A. Chev. in Rev. Bot.  
 Appliq. 14: 876 (1934); Gilb. & Bout. in F. C. B.  
 3: 169 (1952).

Tree to 30 m., crown rounded, branches spreading and  
 frequently drooping to the ground in mature trees, young  
 plants often irregularly branched and spindle-like, trunk to  
 2 m. in diameter (occasionally to 6 m., WHITE, 1962, p. 82).  
 Bark greenish grey or ashen to dark grey or brown, rough  
 sometimes cork-like. Young branchlets greenish white or  
 ashen, subglabrous, puberulous or pubescent. Stipules in

pairs, spinescent, up to 3.2 ( $1.2 \pm 0.7$ ) cm. long, straight or slightly curved, occasionally absent, especially on older branches, greenish-white to light grey-brown, tips often reddish-brown when young; no prickles below nodes. **Leaf:** petiole 0.5-3.7 ( $1.5 \pm 0.8$ ) cm. long, subglabrous or puberulous, **adaxial gland absent**; rachis 1.3-7.5 ( $4.5 \pm 1.5$ ) cm. long, subglabrous, puberulous or villous, channelled adaxially, abaxial surface without recurved prickles, single conspicuous gland between each pinna pair, round to oval, yellow or reddish-brown to black; pinnae 2-12 ( $6 \pm 2$ ) pairs; rachillae 1.5-8.9 ( $4.0 \pm 1.5$ ) cm. long, subglabrous, puberulous or pubescent; leaflets grey-green, 6-23 ( $15 \pm 4$ ) pairs, 2.5-13.0 ( $7.5 \pm 2.5$ ) mm. long, 0.75-5.0 ( $2.5 \pm 0.6$ ) mm. wide, linear, linear-oblong to slightly obovate-oblong, base oblique, midrib excentric at base, apex rounded to sub-acute or mucronate, veins prominent abaxially, margin with or without white ciliolate hairs, glabrous or sparingly to densely appressed-pubescent ab-and/or adaxially. Inflorescence spicate, produced singly between the paired spines or in the axil of a leaf, collectively forming terminal panicle, flowers sessile or to 0.5-2.0 ( $1.0 \pm 0.5$ ) mm. pedicellate, yellowish-white to pale cream; spike 3.5-15.7 ( $9.5 \pm 2.0$ ) cm. long; peduncle 0.8-6.3 ( $3.0 \pm 1.0$ ) cm. long, terete, olive-green, subglabrous, puberulous or pubescent; calyx yellow, campanulate, glabrous, subglabrous, puberulous or pubescent, tube 0.5-1.8 ( $1.0 \pm 0.4$ ) mm. long, lobes 5, triangular, 0.3-0.7 ( $0.4 \pm 0.1$ ) mm. long; corolla yellow, often a delicate pink inside basally, tubular, spreading, lobes divided almost to the base, glabrous, subglabrous, puberulous or pubescent, tube 0.8-2.5 ( $1.4 \pm 0.5$ ) mm. long, lobes 5, triangular, up to 3.0 ( $1.8 \pm 0.6$ ) mm. long, alternating with calyx lobes; stamen filaments shortly connate basally, up to 7.5 mm. long, yellow; anthers 0.2-0.4 mm. across, eglandular even in bud; ovary pilose, shortly stipitate, 0.7-1.4 mm. long, style glabrous or subglabrous, up to 7.5 mm. long, yellow or often a delicate pale pink. Legume bright-orange to reddish-brown, falcate, curled into a circular coil or variously twisted, when flattened out 6.0-35.0 ( $16.0 \pm 7.0$ ) cm. long, 1.4-4.5 ( $3.0 \pm 0.6$ ) cm. wide, apex acute or rounded, indehiscent, coriaceous to chartaceous, often brittle, glabrous or very rarely

puberulous. Seeds light to dark brown, elliptic-lenticular, 6.0-12.0 mm. long, 4.0-8.0 mm. wide, areole distinct, large, elliptic-lenticular 7.0-9.0 X 4.0-6.0 mm.

## SPECIMENS EXAMINED

Herbarium specimens from the distributional range of *A. albida* in Africa were examined but in view of the number involved only one specimen from each magisterial district has been cited. Herbarium abbreviations are those listed by LANJOUW and STAFLEU (1964).

CAPE VERDE ISLANDS. between Pto. Praia and Trinidades, 6 Feb. 1866, *Lowe s. η.* (K).

SENEGAL. no locality, *Perrottet 268* (BM); in insulae St. Yags montosis, *Brunner 72* (K).

GAMBIA. common in Fondi country, *Dawe 80* (K).

PORTUGUESE GUINEA. Bissau, 11 Jan. 1945, *E. Santo 1634* (K).

FRENCH SUDAN. Kita, 15 Feb. 1939, *Dubois 213* (K).

GHANA. Wogu village, 6.3 miles E. of Fian, 2 Nov. 1958, *Rose Innes H 30795* (GC, PRE); N. Territory, Navrongo, Nov. 1938, *Vigne 4658* (K).

NIGERIA. BAUCHI PROV.: Kaltungo (Gombe-Numan rd.), Jan. 1958, *Charter H 36998* (FHI, K). KANO DISTR.: common in Kano distr., 1909, *Dudgeon 4* (K). KATAGUM DISTR.: *Dalziel 53* (K). SOKOTO DISTR.: *Dalziel 314* (K). roadside nr. Katsina town, *Meikle 1214* (K).

BRITISH CAMEROONS. Dikwa Division, Bama, 24 Dec. 1954, *McClintock 116* (K).

EGYPT. Asswan, 14 Nov. 1916, *Walsingham 35, 36* (K).

SUDAN. BLUE NILE DISTR.: Wad Medani, 5 Nov. 1901, *Muriel L/4* (K). DARFUR PROV.: between Korunga and crater of Marra Mts., 9 Jan. 1934, *Dandy 193* (BM); N. Distr., Djebd Meideb, 14 Oct. 1958, *Rossetti 123* (BM); S. Distr., Wabi Kubbum, 30 Oct. 1947, *Harrison 149* (K). KHARTOUM DISTR.: N. W. Khartoum, opposite Gordon's Tree, 28 Nov. 1930, *Alymer 88* (K). KORDOFAN: Bir-Sodari, 4 Oct. 1875, *Pfund 17* (K). NUBIA: sea coast between 3000-4000', *Bent 1896* (K).

RED SEA PROV.: common in Red Sea Prov., 13 Jan. 1928, *Newberry 103* (BM).

ETHIOPIA. Jimma rd., 6 miles from Addis Ababa, 15 Dec. 1953, *Mooney 5106* (K). HARAR PROV.: Idli valley, 45 km. E. S. E. of Harar on rd. to Djigdjigga (Jijica), 21 July 1961, *Burger & Amare Getahun 34* (K).

ERITREA. BORAMO DISTR.: Tug side at Dila on Boramo-Hargeisa rd., 14 Jan. 1945, *Glover & Gültland 579* (BM, K); 18 miles E. of Buramo, Tug Mendesa, 10 Jan. 1933, *Gillett 4839* (K).

CONGO. Parc National de l'Upemba, Mabwe, Mar. 1949, *van Meel in G. de Witte 5759* (K).

UGANDA. ANKOLE DISTR.: nr. Gayaza, Ruampara, Oct. 1932, *Eggeling 634* (K). BUKOBA DISTR.: 5 miles from Kyaka, on Kagera plain, Jan. 1958, *Procter 795* (K). KARAMOJA DISTR.: Kangole, 22 May 1940, *Thomas 3476* (K).

KENYA. NAIVASHA DISTR.: Naivasha, Sept. 1933, *v. Sorenen 2721/5142* (BM). NAROK DISTR.: Kalemna on the Endosapia R. about 8 miles W. of bridge on Uasonyiro R. on Magadi-Oloibortoto rd., 26 Feb. 1963, *Glover & Cooper 3521* (K). TEITA DISTR.: Teita Hills, *Grenfell's η.* (K). WEST SUK DISTR.: Kongelai, 50 miles N. of Kitale, 28 Mar. 1958, *Knight 137* (K).

TANZANIA. BAGAMOYA DISTR.: Nguru, 130 km. von der Küste, 25 July 1933, *Schlieben 4202* (BM). DODOMA DISTR.: Dodoma, 23 July 1956, *Semsei 2439* (K). IRINGA DISTR.: nr. Iringa, bridge over Little Ruaha R., 2 Mar. 1932, *Lynes P. r. 8* (K). KIGOMA DISTR.: Zibwesa Point, Lake Tanganyika, 8 July 1958, *Juniper & Jefford 50* (K). KISARAWA DISTR.: football ground, Ilala, Dar es Salaam township, Sept. 1953, *Semsei 1368* (K, PRE). KONDOA DISTR.: Kondoa-Irangi, 12 Nov. 1927, *Burt 720* (BM, K). LINDI DISTR.: Mahiwa, 12 Dec. 1962, *Ross 14* (EA, NU). MBEYA DISTR.: Chimala, 12 Sept. 1949, *Carmichael 9* (K). MBULU DISTR.: Mbulu, at the farm Mbulu, 17 May 1954, *Matalu 3131* (K). MOROGORO DISTR.: ? Mtibwoa Forest Reserve, Aug. 1952, *Semsei S914* (K). MOSHI DISTR.: Kilimanjaro, near Moshi, 2 July 1926, *Peter 42210* (K). MPWAPWA DISTR.: Mpwapwa, 30 Apr. 1929, *Hornby 118* (K). MWANZA DISTR.: Mwanza, lake shore, 10 Jan. 1935, *Lindeman 59* (BM).

PARE DISTR.: Kisiwani, 5 Feb. 1930, *Greenway 2164* (K). SAME DISTR.: Same-Gonja rd., 19 Feb. 1957, *Wilson 25* (K). UFIPA DISTR.: Kasanga, Lake Tanganyika, 16 June 1957, *Richards 10137* (x).

ANGOLA. BENGUELA DISTR.: neighbourhood of Benguela, Mar. 1907, *Gossweiler 3624* (BM, K). HUILA DISTR.: Calculuvar R., nr. Humbe, 7 June 1937, *Exell & Mendonça 2713* (BM). LUANDA DISTR.: 12 Dec. 1939, *Gossweiler 3624b* (BM). MOÇÂMEDES DISTR.: prope Cavalheiros, July 1859, *Welwitsch 1824* (BM, K).

SOUTH WEST AFRICA. KAOKOVELD RESERVE: Ombazu, 32 miles N. of Ohopoho on rd. to Swartboordsdrift, 28 May 1957, *de Winter & Leistner 5895* (x, PRE). KARLBD3 DISTR.: Usakos, river bed, 15 Aug. 1919, *Pole Evans H 19303* (PRE). OUTJO DISTR.: bed of Ugab R. at Sorris-Sorris nr. Brandberg, 11 Apr. 1955, *de Winter 3151* (x, PRE). REHOBOTH DISTR.: in Kuiseb Namib, 6 July 1950, *Strey 2635* (x, PRE). WINDHOEK DISTR.: along Windhoek Swakop R., at farm Otjisewa, 28 Dec. 1947, *Wiss & Kinges 750* (PRE).

BECHUANALAND. NGAMILAND: Chobe Distr., near Nyungwe Hot Springs, 2 Aug. 1950, *Robertson & Elffers 100* (x, PRE, SRGH). SOUTH EASTERN PROV.: Mochudi, 1914, *Harbor 6610* (BOL, K, KMG, PRE).

ZAMBIA. BAROTSELAND: Caprivi Strip, Lisikili, 15 miles E. of Katima Mulilo, 17 July 1952, *Codd 7100* (x, PRE); SESHEKE DISTR.: Sesheke, *Gairdner 75* (K). CENTRAL PROV.: Zambesi valley, 3 miles downstream from Chirundu Bridge, 12 Aug. 1957, *Angus 1653* (FHO, K, PRE); LUSAKA DISTR.: Mt. Makulu, near Makulu stream, *Cole 16* (K). NORTHERN PROV.: riverine areas in Luangwa valley, 17 June 1957, *Savory 190* (x, SRGH); MPOROKOSO DISTR.: Lake Tanganyika at Sumbu, 6 July 1957, *Savory 200* (x, SRGH). SOUTHERN PROV.: CHOMA DISTR.: Lower Kariba valley, ? Saragongwe area, 14 May 1963, *Lawton 1072* (NDO); GWEMBE DISTR.: Vwa's village on Zongwe R., 1 Apr. 1952, *White 2388* (BM, FHO, K, NDO); LIVINGSTONE DISTR.: Livingstone, Mar. 1932, *Trapnell 1019* (x); MAZABUKA DISTR.: Monze, 15 Apr. 1963, v. *Rensburg K. B. S. 1923* (x); NAMWALA DISTR.: Maala, 20 miles E. of Namwala, 24 Apr. 1954, *Robinson 732* (x, NDO).



MALAWI. NORTHERN PROV.: Kondowe to Karonga, *Whyte s. η.* (K). SOUTHERN PROV.: at Shire R., 6 June 1938, *Pole Evans & Erens 576* (K, PRE, SRGH).

RHODESIA. BIKITA DISTR.: at pan, Sabi A Sec. Devuli Ranch, 24 July 1958, *Chase 6963* (BM, LISC, PRE, SRGH). BULAWAYO DISTR.: Kennedy Siding, 15 May 1953, *Hodgson 2/53* (SRGH). GWANDA DISTR.: Buby R. near Buby Ranch homestead, 3 May 1958, *Drummond 5543* (K, LISC, SRGH). LOWER SABIE DISTR.: W. bank, 2 Feb. 1948, *Wild 2488* (K). NDANGA DISTR.: Chitsa's kraal, 6 June 1950, *Wild 3369* (K, LISC, PRE, SRGH). NYAMANDHLOVU DISTR.: Gwaai Nature Reserve, Oct. 1959, *Armitage 110/59* (SRGH). SEBUNGWE DISTR.: Sisami R., rd. from Simkoma's to Gokwe, 12 Sept. 1949, *West 3029* (SRGH). URUNGWE DISTR.: confluence of Nyaodza and Sanyati rivers at Kariba, 23 July 1956, *McGregor 35/56* (K, LISC, SRGH).

MOZAMBIQUE. LOURENÇO MARQUES PROV.: entre Magude e Xinavane, 12 May 1941, *Torre 2647* (LISC). NIASSA PROV.: Cabo Delgado, Macondes, entre Mueda e Nairoto, 20 Sept. 1948, *Barbosa 2227* (BM, K, LISC, PRE). SUL DO SAVE PROV.: nr. Limpopo R., Guijá to Mapai, 6 May 1944, *Torre 6581* (K, LISC, PRE). TETE PROV.: Mutarara, entre Ancuaze e Pandocane, 19 June 1949, *Andrada 1608* (LISC). ZAMBÉSIA PROV.: Massingire, região de Murire, 21 May 1943, *Torre 5349* (LISC).

TRANSVAAL. BARBERTON DISTR.: Barberton, Lebombo flats near Swazi border, Aug. 1926, *Keet 1495* (PRE). LET AB A DISTR.: 50 miles N. of Gravelotte station on bank of Great Letaba R., 3 Aug. 1934, *Galpin 13533* (BOL, K, PRE). PIETERSBURG DISTR.: 20 miles N. of Pietersburg on Kalkbank rd., 4 Dec. 1946, *Story 1557* (PRE). POTGIETERSRUST DISTR.: 9 miles N. W. of Potgietersrust on rd. to Zaaiplaats, 5 June 1948, *Codd 4185* (K, PRE). ZOUTPANSBERG DISTR.: Chipese Hotspring on N. side of mts., 20 Dec. 1938, *Smuts & Gillett 4000* (SRGH).

NATAL. INGWAVUMA DISTR.: Ndumu Game Reserve, Usutu valley, 28 Aug. 1957, *Ward 3151* (NH, NU, PRE).

#### ACKNOWLEDGEMENTS

The author wishes to express his appreciation to Dr. K. D. GORDON-GRAY, Bews Botanical Laboratories, University of Natal, Pietermaritzburg for assistance during the preparation

of this paper; to Mr. J. P. M. BRENAN, Keeper of the Herbarium and Library, Royal Botanic Gardens, Kew, England for many valuable discussions; to Mr. R. G. STREY, Botanical Research Institute, Pretoria for making available his personal library; to the Directors of Kew Herbarium, Botany Department, British Museum of Natural History and Botanical Research Institute, Pretoria for studying facilities in their respective institutes; to the Directors of numerous other Herbaria for their co-operation in sending material on loan, and to the South African Council for Scientific and Industrial Research for financial assistance.

#### SUMMARY

The history of *Acacia albida* Del. and the distributional range of the species in Africa were dealt with. The parameters obtained from a limited number of plants sampled in Natal, although insufficient to present detailed information of the range of morphological variation within, and among, populations, nevertheless formed a basis for further work and comparison. Herbarium specimens from the species range in Africa were examined and the nature of the morphological variation presented. The occurrence of BRENAN'S two races within the species was discussed. No infraspecific categories are recognised within *A. albida*.

#### LITERATURE CITED

- AUBRÉVILLE, A.  
1950 *Flore Forestière Soudano-Guinéenne*.
- BAKER, E. G.  
1930 *Leguminosae of Tropical Africa*.
- BENTHAM, G.  
1842 Notes on Mimoseae, with a Synopsis of Species. *Lond. Jour. Bot.* 1: 494-528.  
1846 Notes on Mimoseae, with a Synopsis of Species. *Lond. Journ. Bot.* 5: 75-108.  
1875 Revision of the suborder *Mimoseae*. *Trans. Linn. Soc.* 30: 335-664.
- BOLLE, C.  
1861 Peters Reise Mossamb. *Bot.* 1: 5.

- BRENAN, J. P. M.  
1956 Notes on *Mimosoideae*: II. *Kew Bull.*: 185-205.  
1959 *Flora of Tropical East Africa*. Leguminosae-Mimosoideae.
- CHEVALIER, A.  
1934 Nouvelles observations sur quelques Acacias de l'Afrique occidentale. *Rev. Bot. Appliq.* 14: 876.
- DELILE, A. T.  
1813 *Flora of Egypt*.
- DE WILDEMAN, E.  
1925 *Plantae Bequaertianae*, 3: 55-58.
- FEELY, J. M.  
1965 Observations on *Acacia albiäa* in the Luangwa valley. The Puku. *The Occasional Papers of the Dept. of Game and Fisheries, Zambia*, 3: 67-70.
- GILBERT, G. & BOUTIQUE, R.  
1952 *Flore du Congo Belge et du Ruanda-Urundi*. 3: 145-169.
- GORDON-GRAY, K. D.  
1965 *Acacia robusta* Burch. and *Acacia clavigera* E. Mey. in Natal, South Africa. *Brittonia*, 17: 202-212.
- HENKEL, J. S.  
1934 *The Woody Plants of Natal and Zululand*. Robinson & Co., Durban.  
1937 *Report on the Plant and Animal Ecology of the Hluhluwe Game Reserve, with Special Reference to Tsetse Flies*. Natal Witness Ltd., Pietermaritzburg.
- LANJOUW, J. & STAFLEU, F. A.  
1946 *Index Herbariorum*. The herbaria of the world, 5th ed. *Regnum Vegetabile*, 31: 205-228.
- LINNAEUS, C.  
1753 *Species Plantarum*.
- OLIVER, D.  
1871 *Flora of Tropical Africa*, 2: 339.
- ROSS, J. H.  
1965 Notes on Insect Infestation in seed of *Acacia caffra* (Thunb.) Willd. in Natal. *Ann. Natal Mus.* 18 (1): 221-226.  
1967 *Acacia caffra* (Thunb.) Willd. in Southern Africa. *Webbia* (in press).



NOUVELLES ÉTUDES CARYOLOGIQUES  
SUR LA SECTION *JONQUILLA* DC.  
DU GENRE *NARCISSUS* L.

*par*

ABÍLIO FERNANDES

Institut Botanique de l'Université de Coimbra

INTRODUCTION

LA caryologie de la section *Jonquilla* DC. du genre *Narcissus* L. a fait l'objet de deux de nos travaux antérieurs (FERNANDES, 1939 $\alpha$ , *b*). Cependant, depuis 1939 jusqu'à ce jour, de nouvelles données ont été rassemblées concernant non seulement la caryologie d'une nouvelle espèce, *N. Fernandesii*, découverte au Portugal par GOMES PEDRO en 1947, mais aussi celle de quelques populations spontanées au Portugal de *N. jonquilla* L. et de *N. Willkommii* (Samp.) A. Fernandes (= *IV. jonquilloides* Willk.) qui n'avaient pas encore été examinées. Particulièrement remarquable a été le résultat obtenu par l'étude d'une population de *N. Willkommii* trouvée aux alentours de Loulé, puisque cette étude nous a amené à faire la révision de ce que nous avons écrit (FERNANDES, 1939 $\alpha$ ) au sujet de l'origine de cette espèce.

D'autre part, avec HERBERT (1837), nous avons constaté que les caractères des graines des espèces de *Narcissus* présentaient des caractères qui pourraient être employés pour améliorer la classification du genre. Nous essayons donc ici à utiliser ces caractères en connexion avec les données caryologiques pour éclaircir la taxonomie du groupe.

De cette façon, ce travail a été envisagé dans le but d'amplifier et de corriger en quelques points nos deux travaux ci-dessus mentionnés.

## MATÉRIEL ET TECHNIQUE

La liste ci-dessous, où les chiffres indiquent les numéros dans nos cultures, montre la provenance des plantes employées dans nos observations:

**N. jonquilla** L.

N.<sup>os</sup> 464, 1477, 1478 — Barca de Alva, lit et rives du fleuve Douro, dans les fentes des schistes remplies d'un sédiment aréno-argileux.

N.<sup>o</sup> 1539 — Pr. Minas do Lousal, lit de la rivière Corona, dans les fentes des roches schisteuses.

N.<sup>o</sup> 1541 — Entre Ferreira do Alentejo et Aljustrel, dans les fentes des roches schisteuses du lit de la rivière dite do Roxo.

N.<sup>os</sup> 1554 à 1557 — Alentours de Castro Verde, pr. route Almodôvar-Castro Verde, dans les fentes des roches du lit et dans les herbages des rives de la rivière de Terges.

**N. Willkommii** (Samp.) A. Fernandes (=N. jonquilloides Willk.)

N.<sup>os</sup> 1528, 1551 et 1552 — Alentours de Loulé, auprès de la route Loulé-Barranco do Velho, sur sol marécageux argilo-calcaire très compact.

**N. Fernandesii** G. Pedro

N.<sup>o</sup> 489 — Vila Franca de Xira, alluvions du Tage, legit *Gomes Pedro*, 20.III.1943.

N.<sup>os</sup> 556 et 583 — Ribatejo, Samora Correia, Monte da Adema, Pé de Galinha, sur sol argileux humide, legit *Bento Rainha*, 7.III.1946.

N.<sup>os</sup> 1175, 1184 et 1531 — Ribatejo, pr. Estação do Caminho de Ferro de Reguengo, prairie humide.

Les bulbes, cultivés dans des pots au Jardin Botanique de Coimbra, nous ont fourni les méristèmes radiculaires et les anthères, matériaux sur lesquels nous avons fait nos observations.

Les préparations des pointes végétatives des racines ont été obtenues par l'emploi de la méthode classique de l'enrobage à la paraffine, en utilisant comme fixateur le liquide de Navachine (modification de Bruun). Les coupes transversales, d'une épaisseur de  $18 \mu$ , ont été colorées au violet de gentiane.

Pour l'étude de la méiose des cellules-mères des grains de pollen, les anthères ont été fixées à l'alcool-acétique (3:1) et dissociées ensuite dans des gouttes de carmin-acétique. Les préparations ont été rendues permanentes au moyen de la technique décrite par LA COUR (1937).

## OBSERVATIONS

1. *Narcissus jonquilla* L.

En 1939 (FERNANDES, 1939b), nous avons étudié la var. *Henriquesii* Samp. de cette espèce, ainsi que les formes horticoles connues sous les noms de *Jonquille simple odorante* et *Jonquille double odorante*, et nous avons constaté que toutes

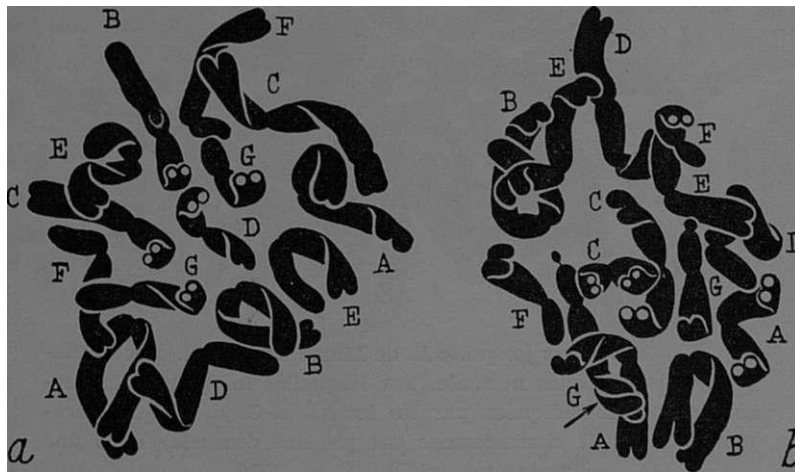


Fig. 1. — *Narcissus jonquilla* L. de Barca de Alva. *a*, Plaque équatoriale dans une cellule du méristème racinaire, montrant la garniture normale. *b*, Idem présentant un chromosome satellitifère (flèche) plus long que l'autre élément de la paire. Les 7 paires chromosomiques sont indiquées par les lettres A-G.

X ca. 3000.

ces plantes possédaient des idiogrammes semblables. Les 7 paires chromosomiques ont été alors décrites en détail (vide



Fig. 2. — *Narcissus jonquilla* L. de Minas do Lousal. *a* et *b*, Plaques métaphasiques normales sur lesquelles les paires chromosomiques sont indiquées par les lettres A-G. *c*, Plaque tétraploïde (seuls 27 chromosomes ont pu être dessinés) dans une racine mixoploïde. X ca. 3000.

FERNANDES, loc. cit.: 496 et 497) et leur morphologie peut être traduite par la formule suivante:  $2n = 14 = 2 \text{ Ll(A)} + 2 \text{ L1(B)} + 2 \text{ Lm(C)} + 2 \text{ Lp(D)} + 2 \text{ li(E)} + 2 \text{ lp(F)} + 2 \text{ lp'(G)}$ . Cette formule s'accorde avec celle établie par KURITA (1955).



L'étude des plantes de Barca de Alva (fig. 1a), Minas do Lousal (fig. 2a, b), rivière do Roxo (fig. 3a, b, c) et alentours

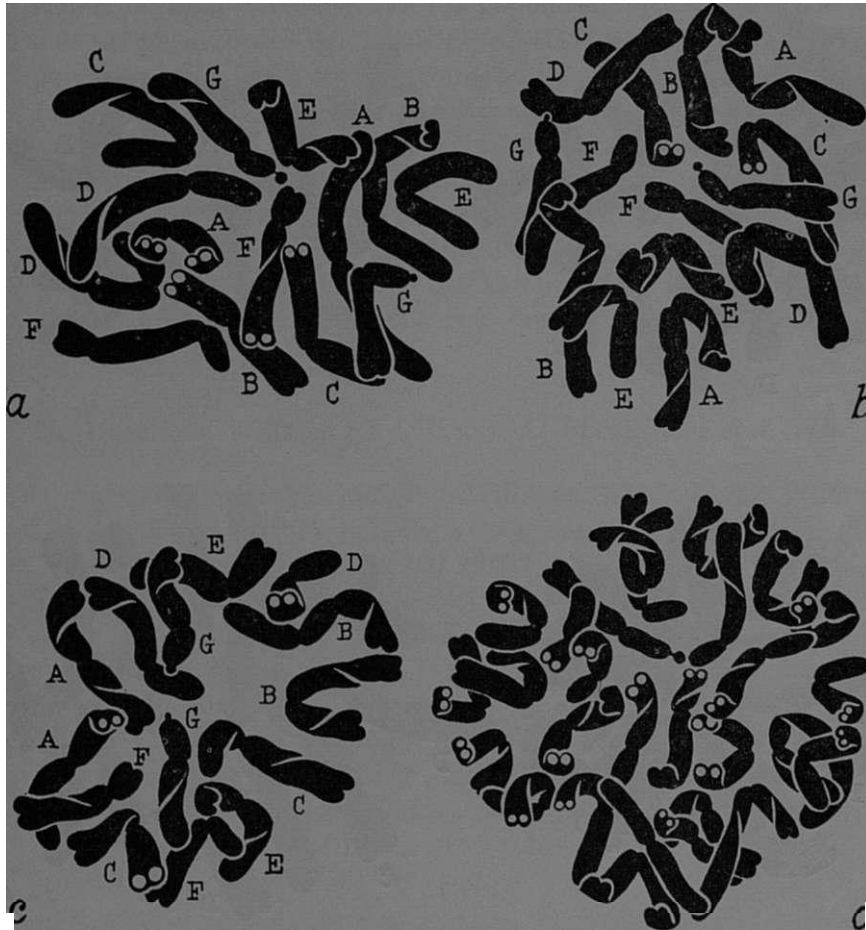


Fig. 3. — *Narcissus jonquilla* L. de la rivière do Roxo. a-c, Plaques équatoriales normales sur lesquelles les paires chromosomiques sont indiquées par les lettres A-G. Remarquer la variabilité de la taille des satellites. d, Plaque tétraploïde dans une racine mixoploïde. X ca. 3000.

de Castro Verde (fig. 4a, b, c) nous a montré qu'elles sont pourvues d'idiogrammes semblables à celui de la variété et des formes horticoles ci-dessus mentionnées.

Cependant, chez la population de Barca de Alva, nous avons rencontré une plante dont la paire satellitifère (G) était hétéromorphe, puisqu'un des éléments était bien plus



Fig. 4. — *Narcissus jonquilla* L. des alentours de Castro Verde. *a-c*, Plaques équatoriales normales sur lesquelles les paires chromosomiques sont indiquées par les lettres A-G. *d*, Plaque dans une plante pourvue d'un fragment. X ca. 3000.

long que l'autre (fig. 1*b*). Ce chromosome a été sans doute engendré par suite d'une translocation.

Chez la population de Minas do Lousal, nous avons identifié une plante possédant une racine mixoploïde dans laquelle les cellules tétraploïdes (fig. 2*c*) formaient une rangée verti-

cale située à peu près au milieu du périlème. Des racines mixoploïdes à cellules placées en files verticales à la périphérie du périlème ont été aussi rencontrées chez la population de la rivière do Roxo (fig. 3*d*). Chez la population de Castro Verde, une racine avec des cellules à garniture normale et d'autres pourvues d'un fragment chromosomique a été rencontrée (fig. 4*d*). Il semble que ce fragment possédait une constriction cinétique. Malgré cela, il était éliminé assez souvent pendant les mitoses. Quelques observations ont suggéré que ce fragment serait de nature hétérochromatique. Cependant, une conclusion définitive n'a pas été obtenue.

Des cas d'hétéromorphie des satellites (l'un plus gros et l'autre plus petit) ont été observés fréquemment chez toutes les populations (fig. 2*b*, 3*a*).

2. *Narcissus Willkommii* (Samp.) A. Fernandes, stat. nov.

*Narcissus jonquilloides* Willd. ex Schult. f. var. *Willkommii* Samp. in Bol. Soc. Brot. sér. 2, 7: 127 (1931); Fl. Portuguesa, ed. 2: 129 (1947).

*Narcissus jonquilloides* Willk. in Bot. Zeit.: 103 (1860) non Willd. ex Schult. f.; Ill. Fl. Hisp. Ins. Bal. 1: 56, t. 38 (1881-1885).—Willk. & Lange, Prodr. Fl. Hisp. 1: 154 (1861).

*Narcissus jonquilla* L., Sp. Pl. 1: 417 (1753) pro parte.—Brot., Fl. Lusit. 1: 551 (1804) pro parte.

*Narcissus jonquilla* L. var. *jonquilloides* (Willk.) P. Cout., Fl. Portugal, ed. 2: 168 (1939) excl. forma *Henriquesii* (Samp.) P. Cout.

L'étude de 150 individus de la population des alentours de Loulé nous a montré qu'elle était constituée seulement par des diploïdes, puisque nous n'avons réussi à rencontrer aucune plante polyploïde. L'examen de plusieurs plaques métaphasiques (fig. 5*a, b, c*) nous a montré 7 paires chromosomiques correspondant à celles que nous avons trouvées chez *N. jonquilla* L. L'idiogramme de ces deux espèces est donc semblable.

Bien que nous n'avons rencontré aucun polyploïde, des plantes avec des racines à secteurs tétraploïdes ont été iden-

tifiées. D'autre part, nous avons dénombré 15 chromosomes sur une plaque (fig. 5ä) d'une racine, correspondant le surnuméraire probablement à un chromosome G. Par le fait

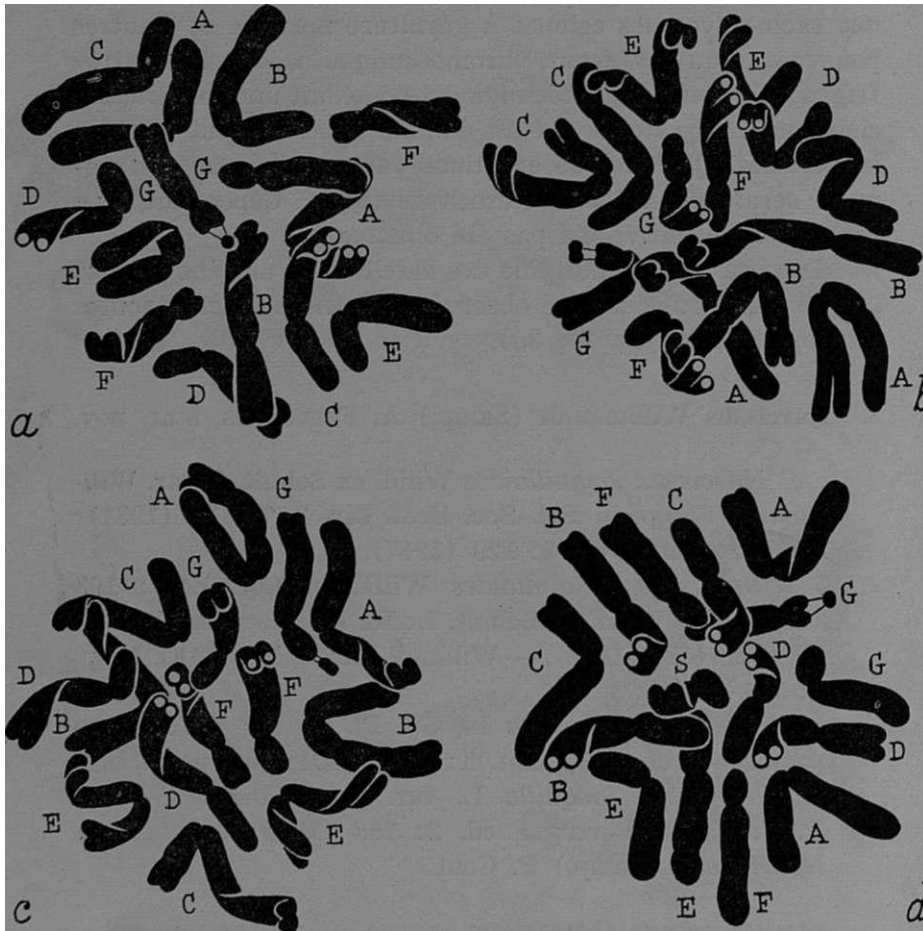


Fig. 5. — *Narcissus Willkommii* (Samp.) A. Fernandes. *a-c*, Plaques métaphasiques dans des cellules de méristèmes radiculaires, montrant 7 paires chromosomiques indiquées par les lettres A-G. *d*, Plaque à 15 chromosomes dont le surnuméraire semble être un chromosome G. X ca. 3000.

qu'une seule métaphase avec ce nombre a été identifiée dans la racine, nous croyons qu'elle a été engendrée par non-disjonction.

Des plaques montrant simultanément les deux satellites chez la paire G n'ont pas été observées.

Au diplotène et à la diacinèse, 7 bivalents ont été identifiés. Dans quelques-unes de ces figures, nous avons constaté l'existence de deux nucléoles, à chacun desquels un bivalent était attaché. Il semble donc qu'il y en aura dans cette espèce deux paires de chromosomes nucléolaires. Cependant, ce point n'a pas été éclairci.

La méiose découle presque sans anomalies, car nous avons trouvé 89 % de pollen bien conformé.

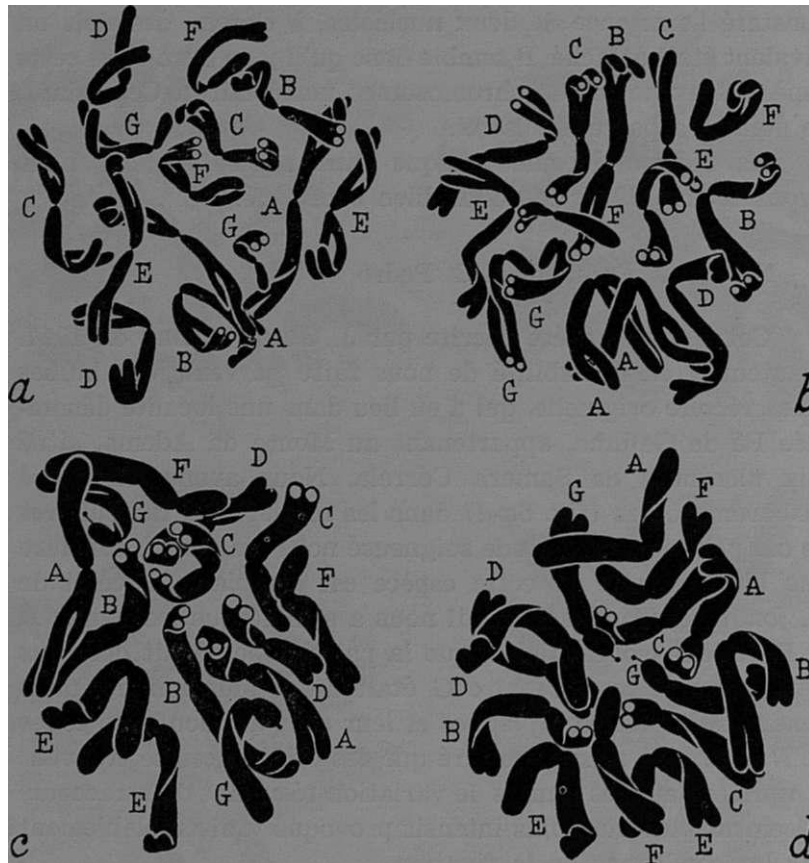
### 3. *Narcissus Fernandesii* G. Pedro

Cette espèce a été décrite par J. GOMES PEDRO en 1947. L'auteur a eu l'amabilité de nous faire parvenir des bulbes de sa récolte originelle, qui a eu lieu dans une localité dénommée Pé de Galinha, appartenant au Monte da Adema, situé aux alentours de Samora Correia. Nous avons dénombré 14 chromosomes (fig. 6a-ä) dans les méristèmes radicaires de ces plantes et une étude soigneuse nous a amené à conclure que l'idiogramme de cette espèce est semblable à celui de *N. jonquilla*. Tout d'abord, il nous a semblé que les paires A et B étaient isobranchiales, que la paire F possédait des bras plus longs et que la paire G était aussi plus longue, mais l'examen de plusieurs plaques et leur comparaison avec celles de *N. jonquilla* nous a montré que ces différences se trouvent comprises dans les limites de variation résultant d'un raccourcissement plus ou moins intensif provoqué vraisemblablement par les conditions de la fixation.

L'observation de plantes récoltées plus tard dans la même localité par BENTO RAINHA a amené GOMES PEDRO à ajouter à la description de l'espèce: «planta haec variat statura robustiore, bulbo ad 15 mm lato, foliis ad 45 cm longis et versus basin latioribus (2-3,5 mm), scapo altiore (16-20 cm), crassiore (3-4,5 mm prope basin), spatha ad 4-floram, perigonio 24-30 mm longo».

Dans les pointes végétatives des racines de ces plantes, nous avons dénombré 28 chromosomes. Il s'agit donc d'individus tétraploïdes, comme leurs plus grandes dimensions le

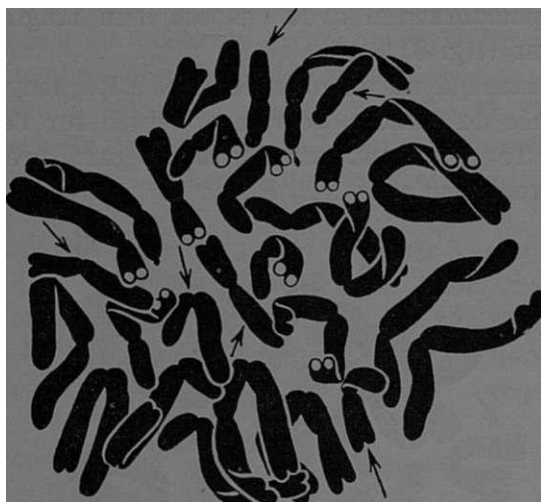
suggéraient déjà. Cependant, l'étude attentive des chromosomes nous a montré que, dans la plupart des plantes, en outre les chromosomes appartenant aux types trouvés chez



**Fig. 6.** — *Narcissus Fernandesii* G. Pedro. *a-d*, Plaques métaphasiques dans des cellules de méristèmes radiculaires de plantes appartenant à la récolte originelle de GOMES PEDRO. *a* et *b*, avec les chromosomes non raccourcis. *c* et *d*, avec les chromosomes raccourcis. Les paires sont indiquées par les lettres A - G.

X ca. 3000.

les diploïdes, il y avait 2 chromosomes MP, 2 Pp et 2 M. (les éléments indiqués par les flèches sur les figs. 7 et 9). Dans une plante de la même récolte, les éléments MP étaient substitués par des chromosomes satellitifères PP' et un chro-



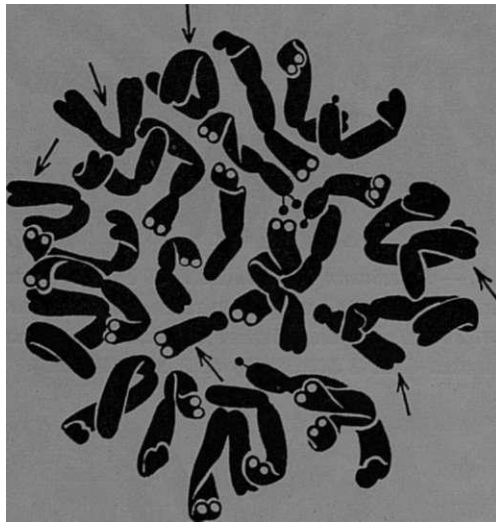
**Fig. 7.** — *Narcissus Fernandesii* G. Pedro. Plaque métaphasique dans une plante ramassée par BENTO RAINHA au Monte da Adema, montrant 28 chromosomes dont 2 MP, 2 Pp et 2 M. (flèches).



**Fig. 8.** — *Narcissus Fernandesii* G. Pedro. Plaque métaphasique dans une autre plante sur laquelle, en outre les éléments caractéristiques des diploïdes, on peut remarquer la présence de 2 PP', 2 Pp, 2 M. et 1 p. (fragment) indiqués par les flèches.  
X ca. 3000.

mosome céphalobrachial avec l'aspect d'un fragment était aussi présent (fig. 8).

Les plantes que nous avons récoltées à Reguengo, localité assez éloignée de Samora Correia et située sur l'autre rive (droite) du Tage, présentaient toutes des garnitures (fig. 9) à paires chromosomiques MP, Pp et M.



**Fig. 9.** — *Narcissus Fernandessi* G. Pedro. Plaque métaphasique dans une plante des environs de la gare de Reguengo. Remarquer les types de chromosomes (flèches) qui n'existent pas chez les plantes diploïdes. X ca. 3000.

Nous n'avons pas étudié la méiose chez les diploïdes, puisque, bien que nous avons essayé à rencontrer la population où la récolte originelle de GOMES PEDRO a été faite, nous n'avons pas réussi à la localiser et nous n'avons herborisé que des plantes à 28 chromosomes. La méiose de celles-ci a été étudiée à la microsporogénèse chez des individus ramassés aux alentours de la gare de Reguengo. Nous avons constaté que, dans la plupart des cellules, les divisions réductrices découlaient d'une façon régulière, avec la formation de 14 bivalents. Ceux-ci ont été identifiés au diplotène, à la diacinèse (figs. 1 et 2, Pl. I), à la prométaphase (figs. 3 et 4, Pl. I) et à la



métaphase I (figs. 5 et 6, Pl. I). La disjonction normale de ces bivalents a été observée à l'anaphase I (fig. 7, Pl. I) et le comportement régulier des chromosomes à la division homéotypique a été aussi vérifié (figs. 8 et 9, Pl. I). Donc, de la méiose de ces cellules, des tétrades normales et des grains de pollen à 14 chromosomes en résultent.

Toutefois, la méiose n'a pas toujours lieu d'une façon normale, car nous avons mis en évidence l'existence d'irrégularités dans quelques cellules. Les anomalies résultent particulièrement de la cytomixie et de l'existence d'inversions dans les garnitures chromosomiques. Nous analyserons tout d'abord les irrégularités qui sont la conséquence de la cytomixie.

Le processus qui aboutit à la séparation des cellules-mères du pollen peut être achevé avant ou au moment du commencement de la méiose. Quand cela arrive, les pachytènes (fig. 1, Pl. II) se présentent avec un aspect normal et les cellules-mères subissent des divisions réductrices normales.

Quelquefois, cependant, dans quelques anthères ou dans quelques régions des sacs polliniques, le processus de cloisonnement peut subir des retards plus ou moins considérables, probablement par suite de certaines conditions physiologiques régnant dans le tissu sporogène. Il peut arriver aussi que, à cause, peut-être, de l'augmentation de la pression osmotique (voir KATTERMANN, 1932-33) dans le cytoplasme de certaines cellules, le noyau soit poussé vers la périphérie des cellules, comme la fig. 2, Pl. II, le montre au pachytène.

Dans le cas du délai de la formation de la cloison et la poussée des noyaux vers la périphérie des cellules avoir lieu simultanément dans une certaine région des loges des anthères, il pourra arriver que des portions de noyaux pénètrent dans le cytoplasme de la cellule ou des cellules adjacentes et y demeurent. Des images correspondant à ce phénomène ont été souvent observées au pachytène (figs. 1, 2 et 3, Pl. III).

Étant donné que la méiose avance et que le cloisonnement avance aussi, plusieurs cas pourront s'envisager, par le fait

que la séparation peut finir plus tôt ou plus tard ou n'avoir pas même lieu jusqu'à la fin de la méiose.

Dans le cas de la séparation n'être pas achevée au pachytène, la cloison avance à travers les filaments chromosomiques (figs. 1-3, Pl. III) qui subissent alors une distension plus ou moins considérable qui amène sans doute à leur rupture. Par suite de ce processus, la matière chromatique d'un noyau peut demeurer distribuée entre deux (cas le plus fréquent) ou parmi un nombre supérieur de cellules. Les portions chromatiques séparées du noyau et demeurant dans la cellule adjacente se transforment en des globules plus ou moins volumineux qui gagnent un aspect pycnotique (figs. 1 et 2, Pl. IV).

Par le fait que les chromosomes pachyténiques sont très longs, il est peu probable que des bivalents entiers puissent se passer d'une cellule dans les cellules voisines (fig. 3, Pl. III) si la formation de la cloison a lieu pendant ce stade. Toutefois, si cela arrive, ils continueront à être le siège des phénomènes de la méiose et ils pourront se déplacer et se mettre plus tard ensemble avec les autres bivalents de la cellule qu'ils ont envahi. On devra s'attendre à que les portions pourvues de centromères de bivalents fracturés se pourront comporter d'une façon comparable. Cependant, la distinction entre les bivalents et les fragments transférés dans les cellules adjacentes pendant le pachytène et les bivalents transférés pendant les stades ultérieurs n'est pas possible.

On trouve assez souvent au pachytène beaucoup de corpuscules pycnotiques situés près ou en contact avec les cloisons (figs. 1 et 2, Pl. IV). Ils correspondent sans doute à des portions de bivalents fragmentés qui seront résorbés plus tôt ou plus tard. Il est à remarquer que ces corpuscules peuvent se rencontrer aux stades plus avancés, comme par exemple aux diacinèses, placés vers la périphérie des cellules (fig. 1, Pl. V). Quelquefois, nous avons constaté leur présence non seulement à la périphérie, mais aussi à l'intérieur de quelques cellules (fig. 2, Pl. V).

Il est à présumer que les cellules ayant perdu de la chromatine contenant des gènes indispensables à la vie subiront la dégénérescence (fig. 2, Pl. V). Étant donné qu'il s'agit de

plantes tétraploïdes, le nombre de cellules dans ces conditions doit être inférieur à celui qui pourrait s'attendre chez un diploïde.

Il peut arriver qu'une partie d'un bivalent reste dans une cellule et l'autre dans la voisine, les deux portions demeurant reliées par des filaments traversant la cloison. Dans ces cas, comme MENDES & RIJO (1951) l'ont vérifié, les deux portions sont le siège des phénomènes de la méiose et elles peuvent toutes les deux atteindre l'aspect métaphasique. Il est probable que, par suite de l'attachement à la cloison, ces bivalents se transformeront plus tard en des micronoyaux qui seront résorbés.

La séparation complète des cellules peut n'avoir lieu que pendant le diplotène, la diacinèse ou même la métaphase II. Dans ces cas, des bivalents d'une cellule peuvent se trouver dans le cytoplasme d'une adjacente et la cloison passer au delà de ces bivalents, à travers une région où aucun chromosome ne se trouve placé. Au moyen de ce processus, une cellule gagne des bivalents et l'autre les perd. Ainsi, le diplotène avancé de la fig. 3, Pl. V, montre 16 bivalents, les diacynèses des figs. 4 et 5, Pl. V, présentent 15 et les métaphases I des figs. 6, 7, 8 et 9, Pl. V, possèdent, respectivement, 15, 15, 16 et 16. Sur les figs. 6 et 7, Pl. V, les bivalents issus des cellules voisines ont pu être identifiés, puisqu'ils se trouvaient encore près de la périphérie des cellules. L'identification n'a pas été possible sur les autres figures.

Des images à nombres chromosomiques plus élevés que 14 ont été aussi trouvées aux anaphases I et II (figs. 1 et 2, Pl. VI).

Dans d'autres cas, la cloison peut passer même à travers les bivalents et ceux-ci subissent alors une distension plus ou moins considérable qui peut amener à leur despiralisation (figs. 3 et 4, Pl. VI) ou à leur rupture (fig. 1, PL VII). Un cas remarquable est montré sur la fig. 2, Pl. VII, qui correspond à un début d'anaphase I, où on peut voir un bivalent situé dans la région de la cloison et qui a été endommagé par celle-ci sans doute avant ce stade. Néanmoins, ce bivalent accompagne les autres dans les modifications de l'aspect et dans les mouvements anaphasiques.

La rupture des chromosomes ayant lieu pendant les stades de la prophase méiotique est mise en évidence par l'apparition de ponts non accompagnés de fragments soit à l'anaphase I (fig. 3, Pl. VII), soit à l'anaphase II (figs. 4 et 5, Pl. VII). Le pourcentage de ces ponts a été de 0,56 % à l'anaphase I et de 4,57 % à l'anaphase II. Le pourcentage plus élevé de ponts à l'anaphase II pourra peut-être signifier que le plus souvent un seul chromosome du bivalent est coupé.

L'anaphase II montrée sur la fig. 6, Pl. VII, est sans doute digne de remarque. On voit, dans une des cellules, deux chromatides inégaux s'acheminant vers les pôles, tandis qu'un fragment, correspondant à la partie qui manque au Chromatide plus court, se situe dans l'autre cellule, un peu au delà de la région où la cloison va se former. Cette image pourrait être engendrée par suite de la rupture d'un seul des 4 chromatides d'un bivalent. Cependant, un autre mécanisme pourra être envisagé: rupture de deux chromatides non frères suivie de la formation de pont accompagné de fragment à l'anaphase I, ensuite rupture du pont à la télophase I et, finalement, séparation des deux paires de chromatides inégaux à l'anaphase II (il faut admettre que, dans la cellule située à droite, les chromatides, aussi inégaux, ont été déjà incorporés dans les noyaux-fils). Soit dans la première, soit dans la deuxième hypothèse, nous devons supposer que la rupture du Chromatide ou des deux chromatides non frères a été faite de telle façon, que le fragment ou les fragments dépourvus de centromère ont demeuré dans la cellule à laquelle appartenait le bivalent.

Nous croyons plus probable la première explication, car il est plus facile de concevoir le processus au moyen duquel un Chromatide a été coupé en demeurant le fragment au dedans de la même cellule. En effet, il suffit d'admettre que le bivalent était courbé vers l'intérieur à la limite de la cellule et que seul un Chromatide a été rompu par la cloison.

L'anaphase II représentée sur la fig. 7, Pl. VII, montre un pont court, accompagné de chromatides longs égaux, dans une cellule et un fragment acinétique dans l'autre. Comme dans le cas antérieur, deux hypothèses pourront aussi être suggérées dans le but d'expliquer la formation de cette image:

1) clivage de deux chromatides frères par la cloison, dans une position telle que le fragment<sup>1</sup> a demeuré dans la cellule à laquelle appartenait le bivalent rompu; 2) crossing-over dans une inversion située sur le bras plus court d'un chromosome.

Lorsque la formation de la cloison devient tardive, des groupes de cellules (syncytia) se trouvent soit à la diacynèse (figs. 1, 2 et 3, Pl. VIII), soit à la métaphase I (fig. 4, Pl. VIII; fig. 1, Pl. IX), soit même à l'anaphase II (figs. 2 et 3, Pl. IX). Quelquefois, les cellules du syncytium sont en synchronisme (figs. 1-4, Pl. VIII; figs. 1 et 3, Pl. IX), mais, dans quelques cas, le synchronisme n'a pas lieu (figs. 2 et 4, Pl. IX). La fig. 3, Pl. VIII montre trois cellules reliées à la diacynèse, mais on peut constater que le mécanisme de la formation des cloisons avance. On remarque, particulièrement dans la cellule inférieure à droite, des portions chromosomiques placées tout près de la paroi, qui ont été engendrées par suite de la rupture de chromosomes survenue aux stades antérieurs. On peut remarquer aussi que ces portions, bien que correspondant à des parties de chromosomes, présentent un aspect comparable à celui des chromosomes intacts. Étant donné le trajet suivi par les cloisons, chacune des cellules, même celle à gauche dans laquelle un des bivalents est assez écarté des autres, demeurera avec 14 bivalents. Quelquefois, cependant, lorsque la cloison se développe au delà d'un chromosome ainsi placé, une cellule gagnera un bivalent et l'autre le perdra (fig. 1, Pl. VIII). Ce qui arrive avec un bivalent peut arriver avec un nombre plus grand et, de cette façon, on comprend l'apparition de figures à 15 et à 16 bivalents (voir ci-dessus). Il est évident que ces cellules pourront engendrer des grains de pollen avec ces mêmes nombres chromosomiques.

La fig. 2, Pl. VIII, montre aussi trois cellules reliées à la diacynèse, mais ici la séparation est plus proche de s'accomplir. Un des bivalents de la cellule supérieure a été saisi par la cloison et il sera probablement laissé au dehors de la

<sup>1</sup> Nous ne devons pas oublier que, dans ce cas, le fragment pourrait résulter d'un autre chromosome, appartenant soit à la même cellule, soit à une autre adjacente.

cellule qui demeurera seulement avec 13 bivalents. Il est à remarquer que, malgré sa situation, le bivalent se présente avec un aspect comparable aux autres qui sont au dedans des cellules.

En outre les irrégularités décrites, d'autres ont été encore trouvées. Ce sont des ponts à l'anaphase I accompagnés de fragments. Deux types ont été identifiés: ponts longs accompagnés de fragments très courts (fig. 1, Pl. X) et ponts longs accompagnés de fragments à taille moyenne (figs. 2, 3 et 4, Pl. X). Des ponts accompagnés de fragments ont été aussi identifiés à l'anaphase et à la télophase II (fig. 5, Pl. X).

Bien qu'il s'agit de plantes à nombre chromosomique tétraploïde, nous n'avons pas réussi à identifier avec certitude des trivalents ou des tétravalents. Cependant, il est probable que ces associations se formeront, bien que très rarement. D'accord avec ce point de vue, nous avons trouvé une anaphase I montrant une image qui semble correspondre à la ségrégation d'un trivalent (fig. 6, Pl. X).

Une seule métaphase I à deux univalents petits a été rencontrée (fig. 7, Pl. X). Ces univalents se comportent de la façon bien connue (fig. 8, Pl. X). Il est probable que, quelquefois, des univalents soient aussi formés par les chromosomes longs. Ils peuvent se diviser à l'anaphase I (fig. 1, Pl. XI) et apparaître comme des retardataires à l'anaphase II (fig. 2, Pl. XI). Parfois, nous ne savons pas si les retardataires, comme ceux montrés sur la fig. 3, Pl. XI, correspondent à des univalents qui se sont divisés à la première division ou à des fragments. Des fragments indubitables ont été quelquefois observés à la télophase II (fig. 4, Pl. XI).

Un chromosome d'une longueur tout à fait extraordinaire a été identifié dans une anaphase II (fig. 5, Pl. XI). Il est probable qu'il ait été engendré par suite de translocation survenue après la rupture de deux chromosomes fracturés par la cloison.

#### DISCUSSION

Bien que nous ayons étudié beaucoup d'individus appartenant à plusieurs populations, nous n'avons réussi à trouver aucune plante polyploïde chez *N. jonquilla* L.

En écrivant la notice qui accompagne la planche **159** des Liliacées de REDOUTÉ, DE CANDOLLE (1807) remarque que cette espèce, bien qu'elle ait engendré des formes à fleur double, a peu varié dans la culture et la même constatation est faite par BOWLES (1934). Ce manque de variabilité pourra être en rapport avec le manque de Polyploidie qui caractérise aussi d'autres espèces du genre, telles que *N. triandrus*, *N. scaberulus*, *N. rupicola*, *N. calcicola*, *N. Watieri* et *N. gadi-tanus*. Cependant, on constate que la Polyploidie est très fréquente chez *N. bulbocodium* ( $x=7$ ), *N. pseudonarcissus* ( $x=7$ ), *N. tazetta* ( $x=5$ ), etc., espèces qui sont extrêmement polymorphes, formant des complexes dont la taxonomie est très difficile à éclaircir.

Il semble donc qu'il y a chez le genre *Narcissus* des espèces qui supportent très bien la Polyploidie, tandis que d'autres ne la supportent pas. Peut-être s'agit-il d'une condition génétiquement contrôlée, comme RESENDE (1949) l'a suggéré chez les *Aloineae* à propos du genre *Aloe*.

Le manque de variabilité de *N. jonquilla* est mis en évidence par le fait que peu de taxa infraspécifiques ont été distingués. En ce qui concerne le Portugal, SAMPAIO (1901, 1931) a décrit la var. *Henriquesii*, caractérisée, d'après l'auteur, par le bulbe petit, feuilles de 1-2 mm larges et périanthe à tube très étroit et à couronne d'hauteur égale ou supérieure à  $\frac{1}{3}$  de la longueur des tépales.

SAMPAIO (loc. cit.: p. 127) attribue à cette variété des plantes récoltées à Castelo de Vide et à Torrão et indique l'Alentejo comme aire de distribution de cette variété. Les plantes que nous avons ramassées sur les lits des rivières Corona (pr. Minas do Lousal), do Roxo (entre Ferreira do Alentejo et Aljustrel) et rivière de Terges (environs de Castro Verde) possèdent des feuilles plus larges (jusqu'à 4 mm), plus canaliculées et plus rigides que celles de la rivière Xarama (Torrão). De cette façon, les plantes des trois premières localités appartiennent plutôt au type de l'espèce qu'à la var. *Henriquesii*. Il est donc probable que les spécimens mentionnés par ROZEIRA et MALATO-BELIZ (1956) — rives du fleuve Corona, entre Beja et Serpa et Castro Verde — correspondent aussi à la var. *jonquilla*.

Les fleurs sont un peu variables quant aux dimensions et au degré d'imbriqué des divisions périgonales, hauteur et forme de la couronne. Nous n'avons pas remarqué des différences entre les fleurs de la var. *Henriquesii* et celles du type.

Le *N. Willkommii* se distingue nettement de *N. jonquilla*, puisque chez la première espèce le diamètre du périgone est moindre, les tépales sont plus petites, le tube est beaucoup plus court et la couronne est proportionnellement plus haute.

*N. Willkommii* rappelle la var. *Henriquesii* de *N. jonquilla* en ce qui concerne les feuilles, puisque celles-ci sont presque cylindriques et assez étroites chez les deux taxa. Cependant, elles s'en distinguent par sa couleur qui est d'un vert glauque chez le premier et d'un vert foncé chez le deuxième. D'autre part, on constate que l'habitat des deux espèces n'est pas le même, car *N. jonquilla* croît entre les fentes des pierres des lits des rivières, tandis que *N. Willkommii* croît dans les terrains argilo-calcaires marécageux.

Dans sa «Flora de Portugal», PEREIRA COUTINHO (1939) considère *N. Willkommii* (= *N. jonquilloides* Willk.) comme variété de *N. jonquilla* L. et la var. *Henriquesii* Samp. de cette dernière espèce comme forme de la var. *jonquilloïdes*. D'après les différences que nous venons de signaler, on constate que les points de vue de PEREIRA COUTINHO ne peuvent pas se maintenir.

Étant donnée l'analogie morphologique et caryologique existante entre *N. jonquilla* et *N. Willkommii* et encore que la deuxième espèce habite dans le bord de l'aire de la première, nous considérons très vraisemblable l'idée de que *N. Willkommii* est issu de *N. jonquilla*.

En 1931, Monsieur F. A. MENDONÇA, ancien naturaliste à l'Institut Botanique de Coimbra, a récolté en Algarve, aux environs de Silves, un Narcisse qui a été identifié comme *N. jonquilloïdes* Willk. En étudiant les chromosomes somatiques et la méiose, nous avons été amenés à conclure (FERNANDES, 1939a, b) que ces plantes étaient des hybrides issus du croisement d'un gamète diploïde de *N. jonquilla* avec un autre haploïde de *N. gaditanus*, puisque nous avons identifié dans les plaques métaphasiques de leurs méristèmes radi-



culaires 21 chromosomes, dont 14 correspondaient à deux garnitures de *N. jonquilla* et 7 à une de *N. gaditanus*. La méiose, que nous avons étudié en détail (FERNANDES, 1939a), nous a montré, le plus souvent, 7 bivalents et 7 univalents à la diacinèse et à la métaphase I. Quelquefois, des trivalents ont été observés. Par suite de la formation d'univalents et de trivalents, le cours de la méiose était irrégulier et l'analyse du pollen a mis en évidence qu'à peu près 40 % des grains étaient dégénérés (fig. 2, Pl. XII).

Étant donné l'identification des trois garnitures chromosomiques, le cours de la méiose et le fait que les plantes avaient été déterminées comme *N. jonquilloïdes* Willk., nous avons admis que cette espèce avait été engendrée au moyen du croisement d'une forme tétraploïde de *N. jonquilla* et d'une forme diploïde de *N. gaditanus*. La distribution géographique des trois taxa était aussi d'accord avec ce point de vue.

Au début du printemps de 1964, nous avons fait une exploration botanique à travers l'Alentejo et l'Algarve dans le but de ramasser des Narcisses. Toutes les tentatives faites afin de rencontrer la localité où Monsieur MENDONÇA a herborisé les plantes à Silves ont échoué. De même, nous n'avons réussi à trouver aucune population de *N. gaditanus*.

Heureusement, Monsieur JORGE PAIVA, actuel naturaliste à l'Institut Botanique de Coimbra, avait rencontré l'année précédente, aux alentours de Loulé, une colonie d'un *Narcissus* dont il nous a signalé l'existence et procuré des bulbes. Nous nous sommes rendus à la localité indiquée et nous avons eu l'opportunité de pouvoir examiner une très jolie population d'un Narcisse qui, d'après les caractères de la morphologie externe, correspondait à la description du *N. jonquilloïdes* Willk. L'étude caryologique nous a montré qu'il s'agissait d'une plante diploïde à 14 chromosomes (voir ci-dessus), pourvue d'une garniture semblable à celle de *N. jonquilla*.

Étant donné les ressemblances entre les plantes de Silves et celles de Loulé et que, d'après la description de WILLKOMM, les deux populations pourraient être rangées dans la même espèce, le problème suivant s'est posé: quelles sont en réalité

les plantes correspondant à l'espèce de **WILLKOMM**? Les diploïdes ou l'hybride?

Dans le but de résoudre ce problème, nous avons examiné le pollen du type de l'espèce de **WILLKOMM** conservé à l'herbier de Coimbra, celui des plantes de Loulé et celui des plantes de Silves. Les résultats obtenus ont été les suivants:

	Grains parfaits
Type de l'espèce de <b>WILLKOMM</b> . . . . .	92,2 %
Plantes de Loulé . . . . .	89 % (fig. 1, Pl. XII)
Plantes de Silves . . . . .	60 % (fig. 2, Pl. XII)

Ces résultats montrent, d'une façon assez nette, que sont les plantes de Loulé celles qui correspondent au type de l'espèce de **WILLKOMM**. Celle-ci est donc un taxon diploïde et pas un hybride.

Les plantes de Silves représentent en réalité un hybride de *N. Willkommii* (= *N. jonquilloides* Willk.) et *N. gaditanus*. Par le fait qu'elles possèdent deux garnitures de *N. Willkommii* et une seule de *N. gaditanus*, il y a dominance des caractères de la première espèce, ce qui a amené **MENDONÇA** à identifier l'hybride comme *N. Willkommii*. L'influence de *N. gaditanus* ne se manifeste que sur les feuilles qui sont plus grêles et d'un vert plus foncé.

Il y a donc en l'Algarve l'hybride

*N. Willkommii* X *gaditanus*, hyb. nov.

Ad *N. Willkommii* accedit, sed a foliis cylindricis, angustioribus (usque ad 2 nec 2-2,5 mm latis) et atro-viridibus differt.

Habitat pr. Silves, in paludosis, 1931, *Mendonça* s. n. (COI, holotypus).

Au Jardin Botanique de Coimbra, où elle est cultivée depuis 1931, la plante s'est manifesté stérile et elle produit peu de fleurs. Cependant, elle se multiplie intensivement par la formation de caïeux.

Comme nous l'avons remarqué, nous n'avons réussi à trouver qu'une seule population de *N. Willkommii* et nous avons constaté qu'elle était constituée seulement par des indi-

vidus diploïdes. Nous ne savons donc pas s'il y a chez cette espèce des formes polyploïdes. Si ces formes n'existent pas, l'hybride a été engendré au moyen de la copulation d'un gamète à  $2n$  chromosomes issu d'une plante diploïde de *N. Willkommii* avec un gamète haploïde de *N. gaditanus*. S'il y a des populations ou tout au moins des individus tétraploïdes de la première espèce, l'hybride pourrait avoir comme un de ses parents une plante tétraploïde de *N. Willkommii*.

Étant donné l'analogie entre *N. Willkommii* et *N. jonquilla*, il est probable que des formes polyploïdes n'existent pas aussi chez la première espèce. De cette façon, nous considérons la première hypothèse la plus probable.

Chez *N. Fernandesii*, des formes diploïdes et d'autres à  $2n = 28$  existent à l'état spontané. Les premières semblent être rares, puisque nous n'avons pas réussi à les trouver, tandis que des populations tétraploïdes ont été rencontrées à plusieurs reprises. Il est donc probable que les formes tétraploïdes, mieux adaptées aux conditions du milieu, termineront par substituer les diploïdes qui seraient en voie d'extinction.

La comparaison de l'idiogramme des formes diploïdes avec celui des tétraploïdes montre l'existence chez les dernières de types chromosomiques qui n'existent pas à l'état diploïde. D'autre part, nous avons constaté qu'il y avait sous ce point de vue deux types de plantes : celles à  $2n = 28$  dans lesquelles les chromosomes nouveaux étaient  $2 Mp$ ,  $2 Pp$  et  $2 M$ . et celles à  $2n = 29$  dans lesquelles ces chromosomes étaient  $2 PP'$ ,  $2 Pp$ ,  $2 M$ . et  $1 p$ . (ce dernier élément était un fragment pourvu de centromère, mais, malgré cela, il était éliminé assez souvent et, par ce fait, il n'a été rencontré que sur peu de figures).

Il est à remarquer aussi que la méiose a lieu avec la formation presque constante de 14 bivalents. Ce fait et celui rapporté ci-dessus, concernant l'existence de types chromosomiques différents de ceux existant à l'état diploïde, sembleraient montrer que nous étions en présence d'un amphidiploïde.

Cependant, étant donné que les plantes à  $2n = 28$  ne s'écartent des diploïdes que par les plus grandes dimensions, c'est à dire par des caractères quantitatifs, et que nous ne

pouvons pas reconnaître parmi les 28 chromosomes une garniture correspondant à celle de la forme diploïde de *N. Fernandesii* et une autre appartenant à quelque autre espèce, nous sommes amenés à conclure que les formes à  $2n = 28$  ne sont pas des amphidiploïdes. À notre avis, les diploïdes ont engendré des tétraploïdes qui, à son tour, ont donné origine aux plantes trouvées. Il nous faut donc éclaircir les processus au moyen desquels les nouveaux types de chromosomes ont pris naissance.

La cytomixie qui, d'après GATES (1911), consiste dans le passage de la chromatine d'une cellule-mère du pollen à travers des connexions cytoplasmiques dans une cellule adjacente<sup>1</sup>, est un phénomène bien connu (voir VAAEAMA, 1941; LÖVE, 1944; TISCHLER, 1951; MENDES & RIJO, 1951; SARVELLA, 1958; DE NETTANCOURT & GRANT, 1964; etc.).

D'après quelques auteurs (ROSENBERG, 1909; SAKAMURA, 1916; YASUI, 1921; SINÔTO, 1922; BÖCHER, 1938; MESQUITA-RODRIGUES, 1954; LINNERT, 1955; etc.), la cytomixie résulterait d'un artifice dû à l'action des liquides fixateurs. D'autres (DIGBY, 1909, 1910; WEST & LECHEMERE, 1915; GATES & REES, 1921; CAMPIN, 1925; CHURCH, 1919; KATTERMANN, 1932-33; MENSINKAI, 1939; MÜNTZING & PRAKKEN, 1941; VAARAMA, 1941; MENDES & RIJO, 1951; SARVELLA, 1958; KAMRA, 1960; DE NETTANCOURT & GRANT, 1964; etc.), par contre, la considèrent comme un phénomène ayant lieu dans les conditions naturelles, bien qu'elle puisse être influencée par les facteurs du milieu, en particulier par les variations de la température (INARIYAMA, 1929). D'après KATTERMANN (1932-33), la cytomixie peut être provoquée soit par l'endommagement des organes au moyen de blessures, soit par l'action des fixateurs, soit par l'action de la température, soit encore par les conditions internes des plantes (pression osmotique, inactivation du tapetum, irrégularités dans l'équilibre électrostatique, action d'hormones, etc.). MÜNTZING & PRAKKEN (1941) ont constaté que, chez *Secale*, la cytomixie peut avoir

<sup>1</sup> Par extension, on donne à présent ce nom à la migration de chromatine d'une cellule quelconque dans une autre contiguë, quel que soit le tissu.

une intensité plus grande dans quelques fleurs ou même dans quelques anthères ou loges que dans d'autres. Nous avons fait des constatations semblables chez *N. Fernandesii* et nous avons vérifié même que le phénomène est plus ou moins fort selon les régions des loges des anthères. Nous croyons donc, avec INARIYAMA (1929) et KATTERMANN (1932-33), que la cytomixie peut résulter de l'action soit de facteurs du milieu ambiant, soit de facteurs internes, parmi lesquels la pression osmotique doit jouer un rôle important, puisque les images du pachytène des régions des loges où la cytomixie est plus intense montrent les noyaux poussés contre la périphérie des cellules.

Chez *Hordeum*, KAMRA (1960) a constaté que le pourcentage des cellules-mères du pollen subissant la cytomixie varie selon les lignées, ce qui semble montrer que le phénomène peut être influencé par la constitution génétique des plantes. D'autre part, on constate aussi, d'après la liste de KAMRA (1960), que le phénomène est fréquent chez les hybrides.

Le fait qu'on trouve chez *N. Fernandesii* des diacinèses et des métaphases I à 15 et à 16 bivalents, ainsi que des anaphases II à 15 chromosomes et, encore, l'apparition de ponts non accompagnés de fragments aux anaphases I et II témoignent, d'une façon assez nette, que la cytomixie est un phénomène qui a lieu dans les conditions naturelles (voir aussi MÜNTZING & PRAKKEN, 1941; MENDES & RIJO, 1951; SARVELLA, 1958; KAMRA, 1960).

MESQUITA-RODRIGUES (1954) remarque qu'il n'a jamais observé des irrégularités qu'on devrait attendre si la cytomixie aurait de la réalité. Cependant, il pourra arriver que, chez *Cistus Palhinhae*, l'espèce étudiée par l'auteur, les écarts de l'état normal amènent à la mort des cellules, raison par laquelle il n'a pas observé des irrégularités.

SARVELLA (1958) et KAMRA (1960) signalent que, bien que la cytomixie puisse avoir lieu plus fréquemment à la prophase, elle a été mise en évidence aussi à des stades ultérieurs. Nos observations confirment celles des deux auteurs ci-dessus mentionnés.

En ce qui concerne le mécanisme de la cytomixie, nous avons déjà mentionné que GATES (1911) attribuait le phénomène à la migration de la chromatine à travers les connexions cytoplasmiques et ce point de vue a été suivi par la majorité des auteurs.

Après avoir étudié le phénomène chez *Aloe*, MENDES & RIJO (1951) sont amenés à considérer la cytomixie comme «an effect of spontaneous chromatic agglutination leading to the formation of anaphasic inter-polar connections (pseudo-bridges, bridges by asymmetric distension and bridges by fusion) which do not break down during the differentiation of the membrane that isolates P. M. C. immediately before meiosis begins».

Cette hypothèse a été déjà critiquée par SARVELLA (l. c. : pag. 21). Aux arguments invoqués par cet auteur, nous pourrions ajouter encore celui soulevé par l'observation des figs. 3, 4 et 6 de MENDES & RIJO qui montrent des bivalents constitués par deux parties, une au dedans de la cellule et l'autre au dehors, reliées par deux filaments minces. D'après l'hypothèse de MENDES & RIJO, les parties qui demeureraient dans la cloison et dans la cellule adjacente devraient, par suite de la formation de pseudo-ponts, ponts, etc., présenter un aspect d'univalents, puisqu'on ne peut pas comprendre facilement comme ces parties pourraient s'accoupler avec leurs homologues. Le fait que les parties placées soit dans les cellules adjacentes, soit au dehors des cellules présentent des aspects de bivalents, c'est à dire des aspects semblables à ceux des bivalents qui ont persisté toujours à l'intérieur des cellules, montre que le passage de la cloison ou bien le mécanisme de la séparation des cellules-mères a eu lieu tout au moins au pachytène et non pendant la division pré-méiotique.

MES QUIT A-RODRIGUES (1954) remarque que, chez *Cistus Palhinhae*, il y a assez souvent un retard de la formation de la cloison après la division qui amène à la formation des cellules-mères du pollen, de telle façon que quelques cellules persistent reliées par des connexions qui peuvent être plus ou moins larges. Chez *N. Fernandesii*, nous avons constaté le même phénomène. Par suite donc du délai de la formation

de la cloison, il y a assez souvent de larges connexions entre les cellules qui peuvent être occupées par des portions de noyaux qui sont ensuite séparées (coupées ou non) par l'action de la cloison. Les cellules peuvent se séparer plus tôt ou plus tard et des cas ont été trouvés dans lesquels les liaisons persistaient encore à la *télophase II*. Le point de vue de SARVELLA, d'après lequel «Cytomixis in cotton appears to be a mechanical process which depends on defective cell wall formation» est exact, mais les défauts de la formation de la cloison avaient été déjà mis en évidence par MESQUITA-RODRIGUES.

Quelques auteurs (v. BÖCHER, 1950 et littérature citée; FERNANDES & MESQUITA, 1963) ont décrit l'apparition de syncytia à la méiose des cellules-mères du pollen. Dans les syncytia, les groupes chromosomiques correspondant à chaque cellule peuvent se maintenir séparés. Quelquefois, cependant, des chromosomes appartenant à une certaine cellule peuvent se déplacer et se joindre aux groupes correspondant à d'autres cellules. Dans ces cas, des nombres aneuploïdes de chromosomes en résultent. Plus souvent, les fuseaux se fusionnent et alors des groupes à nombres chromosomiques doubles, triples, quadruples, etc. s'engendrent. De cette façon, les syncytia sont souvent responsables de l'apparition de gamètes aneuploïdes ou polyploïdes.

D'après KATTERMANN (1932-33), la cytomixie peut amener aux résultats suivants: 1) formation de cellules hypoploïdes qui en général dégénèrent; 2) formation de corpuscules de chromatine qui dégénèrent dans le cytoplasme; 3) formation de cellules syndiploïdes; et 4) fragmentation de chromosomes.

MENDES & RIJO (1951) signalent la résorption des masses pycnotiques, la digestion des portions des chromosomes incluses dans les parois cellulaires et la consécutive formation de ponts par suite de la rupture, ainsi que la formation de déficiences et de duplications.

En combinant les conclusions obtenues par KATTERMANN (1932-33) et MENDES & RIJO (1951) avec les résultats de nos observations, nous pourrions dire que les conséquences de la

cytomixie dans les cellules-mères du pollen peuvent être les suivantes :

- 1) Augmentation du nombre de bivalents.
- 2) Diminution du nombre de bivalents.
- 3) Formation d'univalents.
- 4) Formation de fragments chromosomiques plus ou moins longs qui peuvent persister dans les cellules ou bien dégénérer plus tôt ou plus tard dans le cytoplasme ou au dehors des cellules.
- 5) Formation de ponts soit à l'anaphase I, soit à l'anaphase II, par suite de la rupture des chromosomes.
- 6) Production d'altérations structurelles des chromosomes (déficiences, duplications, inversions et translocations) en conséquence des ruptures de types divers (de chromosomes ou de chromatides) qui peuvent survenir soit au leptotène, soit aux états ultérieurs de la méiose.
- 7) Formation de chromatides inégaux.
- 8) Formation de syncytia constitués par un nombre plus ou moins élevé de cellules, accompagnée ou non de la réunion de groupes chromosomiques.
- 9) Dégénérescence de chromosomes qui peuvent demeurer au dehors des cellules.
- 10) Dégénérescence de cellules qui ont perdu de la chromatine indispensable à leur vie.

Les cellules affectées par la cytomixie sont sans doute soumises à une rigoureuse sélection et le plus souvent seules les cellules normales pourront survivre. Ceci explique le fait que les anomalies attendues soient peu fréquentes aux derniers stades de la méiose. Les résultats de MESQUITA-RODRIGUES (1954) chez *Cistus Palhinhae* peuvent trouver une explication dans cette particularité.

Si nous admettons que la cloison coupe les chromosomes de telle façon que les portions dépourvues de centromères demeurent au dehors des cellules, nous devrions attendre à voir apparaître des ponts non accompagnés de fragments soit à la division I, soit à la division II. Ces ponts pourraient se distinguer de ceux engendrés par les inversions par suite



du manque de fragment. Cependant, il pourra arriver que les fragments formés par suite de la cytomixie demeurent au dedans des mêmes cellules à lesquelles les chromosomes coupés appartenaient ou encore que les fragments seraient venus d'une cellule adjacente. Dans ces cas, des ponts résulteront accompagnés de fragments qui ne pourront pas se distinguer de ceux formés en conséquence d'inversions.

Chez *N. Fernandesii*, il y a certainement des ponts engendrés par suite d'inversions, puisque l'aspect des ponts et la position des fragments (figs. 1-5, Pl. X) semblent caractéristiques de ce type de formations.

Comme nous l'avons signalé, la cytomixie pourra donner lieu à des inversions. Toutefois, celles-ci ne pourront manifester leur effet à la méiose pendant laquelle elles ont pris naissance, au moins qu'elles aient été engendrées au leptotène. Bien que certains ponts pourront résulter de ces inversions, d'autres seront la conséquence d'inversions formées pendant le pachytène ou le diplotène de quelque méiose précédente. De cette façon, on pourra, en dernière analyse, attribuer à la cytomixie tous les types de ponts rencontrés. Nous sommes donc amenés à conclure que tous les nouveaux types chromosomiques identifiés chez les plantes de *N. Fernandesii* à  $2n = 28$  (MP, PP', Pp, M. et p.) pourront avoir été engendrés au moyen de la cytomixie. Il est à remarquer que la guérison des extrémités coupées par la cloison a probablement joué aussi son rôle dans la formation de tous ou de quelques-uns de ces chromosomes.

Par suite de la cytomixie, toutes les altérations structurales des chromosomes peuvent prendre naissance, ce qui montre que le phénomène doit avoir une grande importance au point de vue évolutif, bien que nombre de cellules soient amenées à la mort. Par le fait qu'il s'agit de tétraploïdes dans lesquels une altération léthale subie par une paire chromosomique peut être sauvée en conséquence de l'autre paire n'ayant pas éprouvé de modification, quelques gamètes à combinaisons viables et avantageuses relativement aux types antérieurs pourront se former et engendrer de nouvelles formes plus aptes que les anciennes.

Les faits montrent que l'origine des formes de *N. Fernandesii* à  $2n = 28$  est dûe à la tétraploïdie accompagnée d'altérations structurelles engendrées par la cytomixie. Nous devons donc remarquer que les plantes réussissent à tirer profit d'anomalies provoquées par la cytomixie qui, à la première vue, sembleraient être seulement la cause de la mort de cellules.

Il serait très intéressant d'étudier les garnitures du plus grand nombre possible de populations de cette espèce, car il est à prévoir l'apparition de plantes à 29, 30, 31, 32, etc. chromosomes, soit des mêmes types de ceux des plantes diploïdes, soit d'autres. L'existence de plantes à  $2n = 28$  possédant des types chromosomiques différents de ceux que nous avons déjà trouvé est encore à prévoir.

Le phénomène de l'apparition de nouveaux types de chromosomes dans les polyploïdes, mis en évidence chez *N. Fernandesii*, a aussi lieu chez *N. serotinus* (FERNANDES, sous presse). En effet, la garniture diploïde de cette espèce correspond à la formule

$$2n = 10 = 2 LL + 2 li + 2 'Ll + 2 LP + 2 L.$$

Cependant, chez les hexaploïdes ( $2n = 30$ ) nous trouvons des chromosomes des types P', P. et p. qui ne se rencontrent pas chez les formes diploïdes et qui ont été probablement engendrés aussi au moyen de la cytomixie.

Étant donné que *N. jonquilla* et *N. Fernandesii* se ressemblent beaucoup au point de vue de la morphologie externe ; que les deux espèces possèdent des idiogrammes semblables ; et que *N. Fernandesii* se trouve au bord occidental de l'aire de distribution de *N. jonquilla*, il est vraisemblable que les formes diploïdes de la première espèce aient été issues de la deuxième. Les formes diploïdes ont engendré ensuite celles à  $2n = 28$ .

En ce qui concerne le mécanisme de la différenciation de ces dernières plantes, trois hypothèses pourront se formuler :

- 1) Une plante autotétraploïde (ne tenant pas compte des possibles différences existantes entre les deux

garnitures) s'est tout d'abord engendrée par suite de la fusion de deux gamètes diploïdes. À partir de cette plante tétraploïde, les autres pourvues de nouveaux types chromosomiques, produits par la cytomixie, auraient pris naissance.

- 2) Un hybride structurel diploïde, possédant dans sa garniture 11 chromosomes normaux et 1 MP, 1 Pp et 1 M. (les nouveaux types chromosomiques produits probablement par suite de la cytomixie) se serait tout d'abord engendré. Chez cette plante, en conséquence de la fusion de deux noyaux ou au moyen de l'endomitose, un secteur à 28 chromosomes se serait formé. Ce secteur aurait donné naissance à une hampe florale, dans les fleurs de laquelle les cellules-mères auraient subi une méiose normale, avec la formation de gamètes mâles et femelles régulièrement pourvus des nouveaux types chromosomiques. La fusion de ces gamètes aurait donné naissance aux plantes trouvées.
- 3) L'hybride structurel mentionné dans l'hypothèse antérieure aurait une méiose irrégulière avec la formation de gamètes de restitution. La fusion de deux de ces gamètes aurait engendré les plantes.

Ce que nous avons dit à propos de ces plantes s'applique aussi à celles dans lesquelles la paire MP se trouve substituée par une PP'. D'ailleurs, les garnitures de ces plantes sont assez semblables, car elles ne diffèrent que dans une paire chromosomique.

Tout d'abord, la troisième hypothèse semble la plus probable par les raisons suivantes:

- a) Nous n'avons rencontré aucune plante dépourvue de chromosomes appartenant aux nouveaux types, tandis que leur existence serait à attendre si la première hypothèse était exacte.
- b) Chez toutes les plantes examinées, des paires de chromosomes des nouveaux types existaient.
- c) L'établissement des plantes dans les conditions naturelles serait très difficile à comprendre s'elles au-

- raient été engendrées d'accord avec la première hypothèse, puisque les hasards des croisements amèneraient le plus souvent à la formation d'individus à garnitures dissemblables (hybrides structurels).
- d) La formation de secteurs tétraploïdes donnant des hampes florales est un mécanisme complexe, ayant, par conséquence, moins de probabilités d'arriver que celui prévu dans l'hypothèse 3.

Malgré ces arguments, nous devons avouer que la troisième hypothèse a un point faible qui réside dans le fait que les chromosomes MP, PP', Pp et M. doivent être déficients, puisqu'ils sont plus courts que quelque autre élément de la garniture normale. De cette façon, on pourra avoir des doutes concernant la viabilité de l'hybride structurel dont nous avons supposé l'existence.

En admettant que les nouveaux types chromosomiques se sont engendrés chez une plante autotétraploïde, cette difficulté disparaît, car la présence de chromosomes déficients serait supporté par l'existence de paires normales.

D'autre part, il est probable que les deux garnitures de la forme diploïde qui ont subi la duplication seraient déjà tout ou moins un peu différentes au point de vue structurel et encore que la formation des nouveaux types chromosomiques ait été accompagnée d'altérations structurelles dans d'autres chromosomes. De cette façon, les croisements entre des gamètes plus semblables donneraient naissance à des plantes dans lesquelles le nombre de tri- et tétravalents serait inférieur à celui des plantes originelles. La fusion de gamètes possédant chacun les chromosomes 1 MP, 1 Pp et 1 M., ainsi que d'autres éléments structurellement altérés de la même façon, engendrerait des plantes ayant une méiose régulière et produisant, par conséquent, des graines en plus grande quantité. Ces plantes seraient plus favorisées dans la lutte pour la vie et elles finiraient par éliminer les autotétraploïdes.

Il est difficile de choisir entre ces deux hypothèses, puisque toutes les deux expliquent parfaitement la formation presque constante (sinon constante) de 14 bivalents dans

les plantes à 28 chromosomes <sup>1</sup>. Par le fait que la formation de chromosomes déficients peut s'expliquer plus facilement en admettant qu'ils se sont engendrés chez les plantes tétraploïdes, nous considérons plus probable la première hypothèse.

La plante à 29 chromosomes dont l'élément surnuméraire est un fragment pourvu de centromère est sans doute issue d'une autre à 28 par suite de cytomixie.

Bien que ne connaissant pas la caryologie de l'espèce, GOMES PEDRO (1947) est amené à distinguer les plantes à 28 chromosomes des diploïdes par suite des plus grandes dimensions des premières. Étant donné que ces plantes présentent une méiose comparable à celle des individus diploïdes, qu'elles sont stables et fertiles et encore qu'elles présentent un idiogramme distinct de celui des formes autotétraploïdes, nous croyons qu'elles doivent être séparées du type dans une variété nouvelle.

*Narcissus Fernandesii* G. Pedro var. major, nov. var.

A typo foliis usque ad 68 cm longis et basin versus 1,5-4,5 nec 1-1,5 mm latis, supra profundius canaliculatis, scapo altiore (16-20 nec ca. 10 cm) et crassiore (3-4,5 nec 1,5 mm diam. ad basin) et perigonii tubo longiore (15-22 nec 14-18 mm) praecipue differt.

Reguengo, pr. Estação do C. F., a poente da via férrea, 10-III-1956, A. Fernandes, J. Matos & A. Santos 5734 (COI); Reguengo, pr. Estação do C. F., a nascente da via férrea, 10-III-1956, A. Fernandes, J. Matos & A. Santos 5735 (COI, holotypus); Samora Correia, Monte da Adema, 10-III-1956, A. Fernandes, J. Matos & A. Santos 5736 (COI); entre Vale da Pedra e a estação de Reguengo, 30-III-1954, J. Matos, A. Matos & A. Santos 4663 (COI); entre a estação de Reguengo e As Virtudes, ao longo da via férrea, 30-III-1954, J. Matos,

<sup>1</sup> Nous pourrions supposer qu'il y a chez ces plantes un mécanisme génétique empêchant la formation de tri- et tétravalents. Cependant, étant donné la diversification entre les deux garnitures que nous avons constaté, nous croyons plus probable que des altérations structurelles soient les responsables de cette diversification.

A. Matos & A. Santos 4664 (COI); entre As Virtudes e Azambuja, 30-III-1954, J. Matos, A. Matos & A. Santos 4675 (COI); Ribatejo, Samora Correia, Monte da Adema, Pé de Galinha, 7-III-1946, Bento Rainha 903 (COI; LISE).

La section *Jonquilla* DC., telle que nous l'avons délimitée dans un travail antérieur (FERNANDES, 1951), est un taxon hétérogène au point de vue caryologique. En effet, *N. rupicola* Duf., *N. Watieri* Maire, *N. scaberulus* Henriq. et *N. calcicola* Mendonça appartiennent à un caryotype défini par la formule  $n = 1 LL + 2 Ll + 1 Lp + 1 li + 1 lp + 1 Pp'$ , tandis que les autres espèces — *N. jonquilla* L., *N. Fernandesii* G. Pedro, *N. Willkommii* (Samp.) A. Fernandes (= *N. jonquilloides* Willk.), *N. viridiflorus* Schousb., *N. Requierii* Roem. (= *N. juncifolius* Requier in Lag.), *N. gaditanus* Boiss. et Reut. et *N. minutiflorus* Willk. — appartiennent à un autre dans lequel les chromosomes longs isobranchiaux manquent<sup>1</sup>.

Il est curieux de remarquer que ces deux groupes peuvent se distinguer aisément en ce qui concerne les caractères de la morphologie externe. Ainsi, au premier correspondent des plantes à feuilles glauques, canaliculées supérieurement et pourvues à la page inférieure de 2-3 côtes saillantes, à spathe à 1-4 fleurs avec les fleurs blanches ou jaunes, presque sessiles ou plus ou moins pédicellées et légèrement odorantes et à graines sphériques ou ellipsoïdes, d'un noir brillant et à strophiole très développé. Par contre, chez les plantes du deuxième groupe, les feuilles sont vertes, cylindrique-jonciformes ou parfois canaliculées à la face supérieure et toujours légèrement striées à la page inférieure, à spathe à 1-6 fleurs avec les fleurs jaunes, toujours pédicellées et très odoriférantes, et à graines anguleuses, d'un noir terne et dépourvues de strophiole.

Étant donné que nos dernières recherches montrent qu'on doit attribuer à la présence ou à l'absence de strophiole une

<sup>1</sup> Il est vrai que les idiogrammes de *N. Requierii*, *N. gaditanus* et *N. minutiflorus* s'écartent de celui de *N. jonquilla* en ce qui concerne certaines particularités. Ce fait signifie, peut-être, que ce groupe devra être divisé en deux sous-groupes.

certaine importance au point de vue taxonomique, nous proposons que le premier groupe soit élevé à la catégorie de section. De cette façon, on aura:

Sect. *Jonquilla* DC. emend. A. Fernandes

Folia viridia, erecta vel  $\pm$  prostrata, cylindrico-junciformia vel interdum supra canaliculata, infra semper leviter striata. Spatha 1-6-flora, floribus  $\pm$  longe pedicellatis, luteis, valde odoratis. Semina angulosa, 2,5-3 mm diam., nigra, opaca, astrophiolata.  $\chi = 7$ ; idiogrammata: 2 Ll + 1 Lm + 1 Lp + 1 h + 1 lp + 1 lp' vel 2 Ll + 2 Lp + 1 li + 1 Pp + 1 Pp' vel 2 Ll + 1 Lp' + 1 Lp + 1 li + 1 Pp + 1 P.; polyploidia in *N. Fernandesii* et *N. viridifloro* cognita.

- N. jonquilla* L.
- N. Fernandesii* Pedro
- N. Willkommii* (Samp.) A. Fernandes
- N. viridiflorus* Schousb.
- N. Requierii* Roem.
- N. gaditanus* Boiss. et Reut.
- N. minutiflorus* Willk.

Sect. *Apodanthae* A. Fernandes

Sect. *Queltia* sensu Willk. & Lange, Prodr. Fl. Hisp. 1: 152 (1861) non Haw.

Folia glaucescentia, erecta vel  $\pm$  prostrata, supra canaliculata, infra 2-3-costata. Spatha 1-4-flora, floribus fere sessilibus vel  $\pm$  longe pedicellatis, albis vel luteis, leviter odoratis. Semina sphaerica vel ellipsoidea, nigra, nitida, 2,5-3 mm diam., conspicue strophiolata.  $\chi = 7$ ; idiogramma: 1 LL + 2 Ll + 1 Lp + 1 li + 1 lp + 1 Pp'; polyploidia non cognita.

- N. rupicola* Duf.
  - var. *Marvieri* Jah. & Maire
- N. Watieri* Maire
- N. scaberulus* Henriq.
- N. calcicola* Mendonça

## RÉSUMÉ ET CONCLUSIONS

1. D'accord avec les observations de DE CANDOLLE, BOWLES et les nôtres, *N. jonquilla* L. est une espèce peu variable. Si nous pensons à ce qui arrive chez *N. bulbocodium* et *N. pseudonarcissus*, ce manque de variabilité est certainement dû, tout au moins en partie, à l'absence de polyploïdie. En effet, toutes les populations examinées — Barca d'Alva, Torrão, Minas do Lousal, rivière do Roxo et alentours de Castro Verde — étaient constituées exclusivement par des plantes diploïdes dont la garniture peut se traduire par la formule suivante:

$$2n = 14 = 4 L1 + 2 Lm + 2 Lp + 2 l1 + 2 lp + 2 lp'$$

2. Les spécimens des Minas do Lousal, de la rivière do Roxo et des alentours de Castro Verde correspondent plutôt au type de l'espèce qu'à la var. *Henriquesii* Samp. qu'on trouve sur le lit de la rivière Xarrama, aux environs de Torrão. De cette façon, l'aire géographique (Alentejo) indiquée par SAMPAIO pour sa variété semble n'être pas exacte, puisque ce taxon possède une distribution plus restreinte.

3. Le nom *N. jonquilloides* Willk. ne peut pas s'utiliser par le fait que l'épithète avait été déjà attribué à une autre espèce (*N. jonquilloides* Willd. ex Schult. f.). Par ce fait, nous appelons l'espèce correspondant à celle décrite par WILLKOMM *N. Willkommii* (Samp.) A. Fernandes.

Cette espèce possède un idiogramme composé de 14 chromosomes semblables à ceux de *N. jonquilla* L. et elle se comporte d'une façon comparable à ce taxon en ce qui concerne la Polyploidie, puisque, bien que nous ayons étudié 150 individus d'une population croissant aux alentours de Loulé, nous n'avons trouvé aucun polyploïde. Cependant, des secteurs tétraploïdes ont été rencontrés dans quelques racines.

4. Contrairement à la conclusion à laquelle nous avons été amenés en 1939 (FERNANDES, 1939α) de que *N. Willkommii* (Samp.) A. Fernandes (= *N. jonquilloides* Willk.) serait un hybride issu du croisement d'une forme tétraploïde de *N. jonquilla* et d'une forme diploïde de *N. gaditanus* Boiss. et Reut.,



nous avons mis ici en évidence que *N. Willkommii* est une espèce diploïde à 14 chromosomes. En Algarve on trouve aussi à Silves un hybride (que nous avons étudié en 1939), engendré au moyen du croisement d'un gamète diploïde de *N. Willkommii* avec un autre haploïde de *N. gaditanus*. Comme il était à prévoir, cet hybride ressemble fort *N. Willkommii* et il n'a rien d'étonnant qu'il ait été considéré comme appartenant à cette espèce. L'examen du pollen du type de l'espèce, montrant qu'il possède seulement ca. 7,8 % de grains dégénérés, révèle que la plante de WILLKOMM ne correspond pas à l'hybride chez lequel le pourcentage de pollen dégénéré est de ca. 40 %, mais à la plante diploïde de Loulé, chez laquelle le pourcentage de pollen dégénéré est 11 %, c'est à dire du même ordre de grandeur que chez le type.

5. Il est probable que l'hybride *N. Willkommii* X *N. gaditanus* ait été engendré par suite du croisement d'un gamète à 2n chromosomes produit par une plante diploïde de la première espèce avec un gamète haploïde de *N. gaditanus*.

6. P. COUTINHO considère *N. jonquilloides* Willk. comme une variété de *IV. jonquilla* L. et *N. jonquilla* L. var. *Henriquesii* Samp. comme une forme de *N. jonquilloides* Willk. Ces points de vue ne sont pas d'accord avec les faits, car *N. jonquilloides* se distingue très bien de *N. jonquilla* particulièrement par la moindre longueur du tube du périgone et la var. *Henriquesii* appartient à *N. jonquilla* L.

7. Étant donnée la ressemblance existant entre *N. jonquilla* et *N. Willkommii* et que les deux espèces présentent des idiogrammes semblables, il est presque certain que la deuxième s'est engendrée à partir de la première au moyen de mutation de gènes. La distribution géographique se montre d'accord avec ce point de vue.

8. Chez *IV. Fernandesi* il y a, à l'état spontané, des plantes à  $2n = 14$  et d'autres à  $2n = 28$ . La garniture des dernières ne correspond pas à la duplication de celle des premières, car on y trouve des chromosomes des types MP, PP', Pp et M. qu'on ne rencontre pas chez les plantes diploïdes. Sous ce point de vue, il y a encore deux catégories de plantes :

1) celles dans lesquelles les chromosomes nouveaux sont 2 MP, 2 Pp et 2 M. ; 2) et celles dans lesquelles les chromosomes nouveaux sont 2 PP', 2 Pp et 2 M. Il est à remarquer que ces deux types de garnitures ne diffèrent que par une paire chromosomique. Chez une plante du deuxième type, des plaques équatoriales ont été trouvées possédant, en dehors des 28 chromosomes, un fragment pourvu de centromère, qui était éliminé fréquemment.

Il semble qu'à présent les formes diploïdes sont rares et qu'elles se trouvent en voie d'extinction, tandis que les formes à  $2n = 28$  se répandent, bien qu'éprouvant des difficultés par suite des cultures. La récolte originelle de GOMES PEDRO correspond à des plantes à  $2n = 14$  et l'holotype est donc diploïde. Les plantes à  $2n = 28$  ont été séparées dans la var. *major* ici décrite.

9. La cytomixie est fréquente chez les cellules-mères du pollen des formes à  $2n = 28$  de *N. Fernandesii*. Le phénomène, qui est décrit en détail, résulte, d'accord avec MESQUITA-RODRIGUES (1954), du retard de la formation de la cloison après la division qui amène à la formation des cellules-mères des grains du pollen. La séparation complète des cellules peut avoir lieu plus tôt ou plus tard, des cas ayant été rencontrés dans lesquels la séparation n'était pas achevée à la télophase II.

10. Dans la majorité des cellules-mères du pollen, la méiose chez les plantes à  $2n = 28$  découle normalement, avec la formation presque constante de 14 bivalents. Ce fait est certainement dû à que les 4 garnitures réunies se sont diversifiées deux à deux par suite d'altérations structurelles, point de vue qui est d'accord avec l'apparition de nouveaux types chromosomiques.

11. Les conséquences de la cytomixie sont discutées en détail et on souligne les difficultés qu'il y a à distinguer entre des ponts engendrés par suite de la cytomixie et ceux provenant d'inversions.

12. Les données de la morphologie externe et de la distribution géographique montrent que les formes diploïdes

de *N. Fernandesii* sont certainement issues de *N. jonquilla*. Les formes diploïdes ont engendré ensuite des tétraploïdes et la naissance des nouveaux types chromosomiques qu'on trouve chez ces plantes est attribuée à la cytomixie. La diversification des garnitures qui a amené à la presque exclusive formation de bivalents est attribuée non seulement au fait que l'ancêtre diploïde était un hybride structurel, mais aussi à la cytomixie, survenue chez les tétraploïdes, laquelle a intensifié les altérations structurelles. Les plantes issues de la fusion de gamètes très semblables se comporteraient comme des diploïdes et elles seraient stables et fertiles. Par suite de leur plus grande fertilité, elles auraient éliminé les vrais tétraploïdes.

13. Étant donné que la cytomixie peut amener à l'accroissement ou à la diminution des nombres chromosomiques et à la naissance de tous les types d'altérations structurelles des chromosomes connues, nous pouvons considérer comme démontrées les suggestions de MENDES & RUO (1951) et de KAMRA (1960), d'après lesquelles le phénomène aurait d'importance en ce qui concerne l'évolution.

14. La section *Jonquilla* DC, telle qu'elle a été délimitée par nous en 1951, est divisée en deux sections — *Jonquilla* et *Apodanthae*—d'après les caractères caryologiques et ceux de la morphologie externe, en particulier la présence ou l'absence de strophiole dans les graines.

Nous remercions Madame MARGARIDA QUEIRÓS de l'aide qu'elle a bien voulu nous accorder en exécutant les dessins des figures du texte. Nous remercions aussi Monsieur JOSÉ LUÍS FERREIRA CABRAL, à qui nous devons les photographies des planches, ainsi que beaucoup d'assistance technique. Nos meilleurs remerciements sont dûs encore à Messieurs FRANCISCO CABRAL JÚNIOR, JOSÉ DOS SANTOS FIGUEIRA et ANÍBAL DA CONCEIÇÃO SANTOS.

## BIBLIOGRAPHIE

- BÖCHER, T. W.  
 1938 Cytological studies in the genus *Ranunculus*. *Dansk Bot. Ark.* 9, 4: 1-33.  
 1950 Chromosome behaviour and syncyte formation in *Phleum pheoides* (L.) Karst. *Bot. Not.* 1950: 353-368.
- BOWLES, E. A.  
 1934 *Handbook of Narcissus*. Martin Hopkinson Ltd. London.
- CAMPIN, M. G.  
 1925 A cytological study of pollen development in *Nolana*. *New Phytol.* 24: 17-23.
- CHURCH, L.  
 1929 Meiotic phenomena in certain *Graminiaceae*. II. *Paniceae* and *Andropogoneae*. *Bot. Gaz.* 88: 608-629.
- COUTINHO, A. X. P.  
 1939 *Flora de Portugal*, ed. 2. Lisboa.
- DE CANDOLLE, A.  
 1807 in REDOUTÉ, P. J., *Les Liliacées*, 3: tab. 159.
- DE NETTANCOURT, D. & GRANT, W. F.  
 1964 La cytogénétique de *Lotus* (*Leguminosae*). III. Un cas de cytomixie dans un hybride interspécifique. *Cytologia*, 29: 191-195.
- DIGBY, L.  
 1909 Observations on «chromatin bodies» and their relation to the nucleolus in *Galtonia candicans* Decne. *Ann. of Bot.* 23: 491-502.  
 1910 Cytology of *Primula kewensis* and other *Primula* hybrids. *Ann. of Bot.* 26: 357-388.
- FERNANDES, A.  
 1939a Sur l'origine du *Narcissus jonquilloides* Willk. *Scientia Genetica*, 1: 16-60.  
 1939b Sur la caryo-systématique du groupe *Jonquilla* du genre *Narcissus* L. *Bol. Soc. Brot. sér. 2*, 13: 487-544.  
 1951 Sur la phylogénie des espèces du genre *Narcissus* L. *Bol. Soc. Brot. sér. 2*, 25: 113-190.
- FERNANDES, A. & MESQUITA, J. F.  
 1963 Sur le comportement des chromosomes surnuméraires hétérochromatiques à la méiose. II. Chromosomes courtes hétérobrachiaux et isobrachiaux. *Port. Acta Biol. (A)*, 7, 1-2: 139-168.
- GATES, R. R.  
 1911 Pollen formation in *Oenothera gigas*. *Ann. of Bot.* 25: 909-940.
- GATES, R. R. & REES, E. M.  
 1921 A cytological study of pollen development in *Lactuca*. *Ann. of Bot.* 35: 365-398.

- HERBERT, W.  
1837 *Amaryllidaceae*. London.
- INARIYAMA, S.  
1929 Karyological studies of *Iris Kaempferi* Sieb. *Japan. Journ. Bot.* 4: 405-426.
- KAMRA, O. M. K.  
1960 Chromatin extrusion and cytomixis in pollen mother cells of *Hordeum*. *Hereditas*, 46: 592-600.
- KATTERMANN, G.  
1932-33 Beitrag zur Frage der Dualität der Bestandteile des Bastardkernes. *Planta*, 18: 751-785.
- KURITA, M.  
1955 Cytological studies in *Narcissus*, II. The karyotypes of 3 species with  $2n = 14$  chromosomes. *Mem. Ehime Univ. Sect. II, Ser. B* (Biol.), 2, 2: 71-190.
- LA COUR, L.  
1937 Improvements in plant cytological technique. *Bot. Rev.* 3: 241-258.
- LINNERT, G.  
1955 Cytologische Grundlagen für Sterilitätserscheinungen in der Gattung *Salvia*. *Der Züchter*, 25: 237-241.
- LÖVE, A.  
1944 Cytogenetics studies on *Rumex* subgenus *Acetosella*. *Hereditas*, 30: 1-136.
- MENDES, E. J. & RIJO, L.  
A new interpretation for «cytomixis». *Port. Acta Biol. (A)*, 3, 2: 211-218.
- MENSINKAI, S. W.  
1939 Cytological studies in the genus *Gladiolus*. *Cytologia*, 10: 59-72.
- MESQUITA-RODRIGUES, J. E.  
1954 Notas sobre a cariologia de *Cistus Palhinhae* Ingram, *C. crispus* L., *Plantago maritima* L. e *Campanula Vidalii* Watson. *Bol. Soc. Brot. sér. 2*, 28: 117-129.
- MÜNTZING, A. & PRAKKEN, R.  
1941 Chromosomal aberrations in Rye populations. *Hereditas*, 27: 273-308.
- PEDRO, J. G.  
1947 Uma nova espécie de *Narcissus* L. *Bol. Soc. Brot. sér. 2*, 21: 59-62.
- RESENDE, F.  
1949 The karyotype of the *Aloineae* and its systematic value. *Proc. VIII Int. Congr. Genet.*
- ROSENBERG, O.  
1909 Zytologische und morphologische Studien on *Drosera rotundifolia* *X longifolia*. *K. Sv. Vet.-Akad. Handl.* 48, 11: 1-64.

- ROZEIRA, A. & MALATO-BELIZ, J.  
1957 Sobre a presença e distribuição de algumas plantas no Baixo Alentejo e no Algarve. *An. Fac. Ciênc. Porto*, 39: 130-140.
- SAKAMURA, T.  
1916 Über die Beeinflussung der Zell- und Kernteilung durch die Chloralisierung mit besonderer Rücksicht auf das Verhalten der Chromosomen. *Bot. Mag. Tokyo*, 30: 375-379.
- SAMPAIO, G.  
1901 Um passeio botânico ao Torrão. *Bol. Soc. Brot.* 18: 47-79.  
1931 Adições e correções à flora portuguesa. *BoZ. Soc. Brot. sér. 2*, 7: 111-168.  
1947 *Fl. Portuguesa*, ed. 2, Porto.
- SARVELLA, P.  
1958 Cytomixis and the loss of chromosomes in meiotic and somatic cells of *Gossypium*. *Cytologia*, 23: 14-24.
- SINÔTO, Y.  
1922 On the extrusion of nuclear substance in *Iris japonica* Thunb. *Bot. Mag. Tokyo*, 36: 99-110.
- TISCHLER, G.  
1951 *Allgemeine Pflanzenkar y ologie*, ed. 2. Berlin-Nikolassee.
- VAARAMA, A.  
1941 Beobachtungen über die Cytomixis in meiotischen Pollenmutterzellen von *Sagittaria natans* Pall. *Ann. Acad. Sci. Fenn. ser. A. IV. Biol.* 1: 3-20.
- WEST, C. & LECHMERE, A. E.  
1915 On chromatic extrusion in pollen mother cells of *Lilium candidum* Linné. *Ann. of Bot.* 29: 285-291.
- YASUI, K.  
1921 On the behaviour of chromosomes in the meiotic phase of some artificially raised *Papaver* hybrids. *Bot. Mag. Tokyo*, 35: 154-166.

# PLANCHES

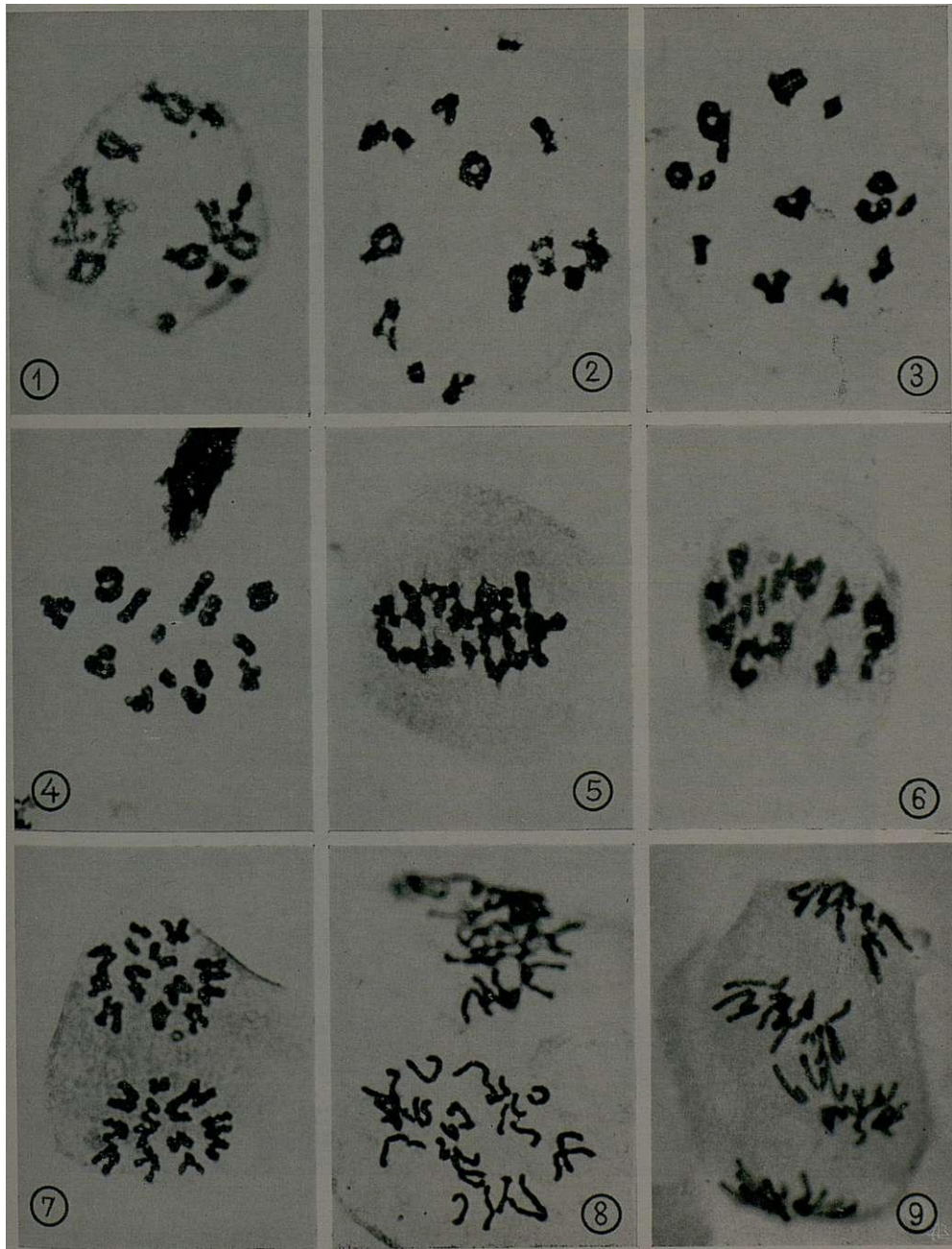
**PLANCHE I**

**Narcissus Fernandesii G. Pedro**

- Figs. 1 et 2.** — Cellules-mères du pollen à la diacinèse, montrant 14 bivalents.
- Figs. 3 et 4.** — Prométaphases à 14 bivalents.
- Figs. 5 et 6.** — Métaphases I aussi à 14 bivalents.
- Fig. 7.** — Anaphase I montrant une disjonction régulière (14 chromosomes s'acheminant vers chaque pôle).
- Fig. 8.** — Début de l'anaphase II où on peut voir deux groupes de 14 chromosomes qui viennent de se séparer.
- Fig. 9.** — Stade de l'anaphase II plus avancé que celui montré sur la figure antérieure.

X 850





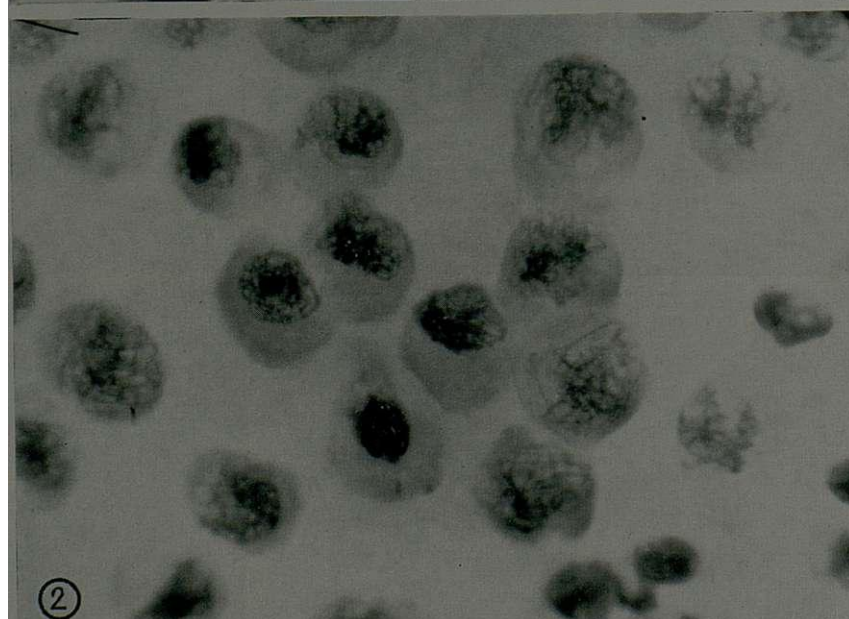
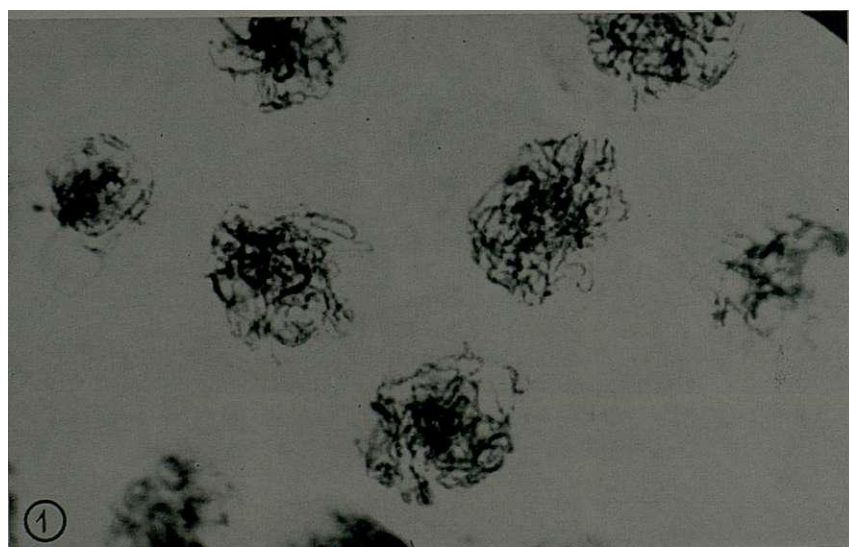


PLANCHE II

**Narcissus Fernandesii G. Pedro**

**Fig. 1.** — Pachytènes normaux.

**Fig. 2.** — Cellules-mères du pollen pas encore séparées, avec les filaments pachyténiques poussés vers la périphérie des cellules.

X 500

*[ml*

PLANCHE III

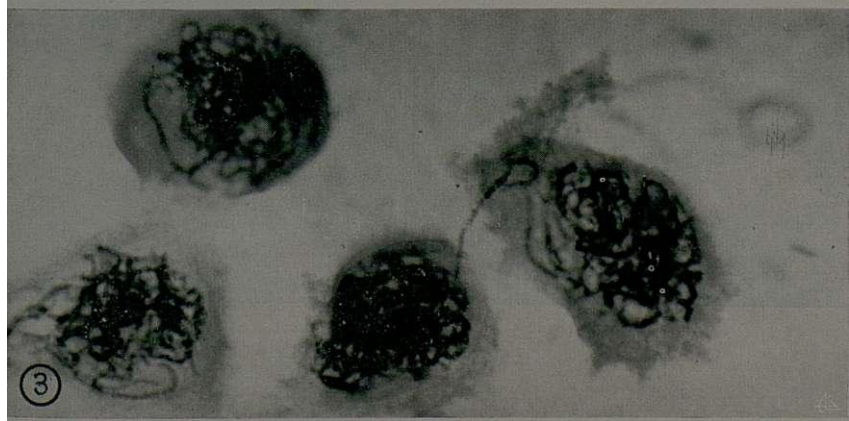
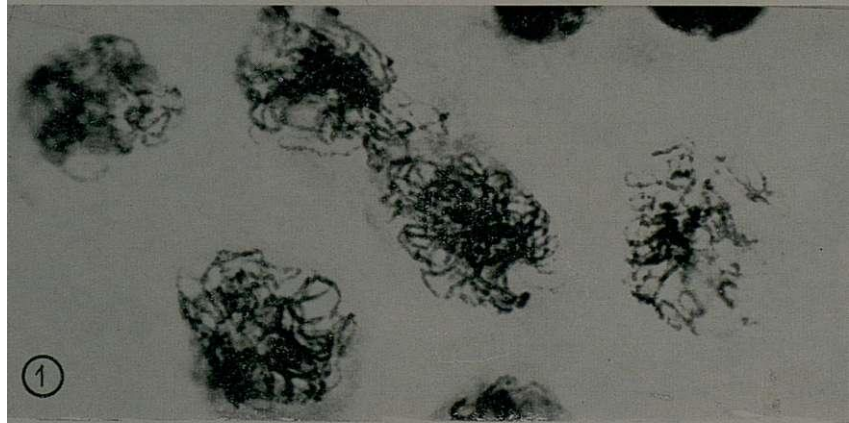
*Narcissus Fernandesii* G. Pedro

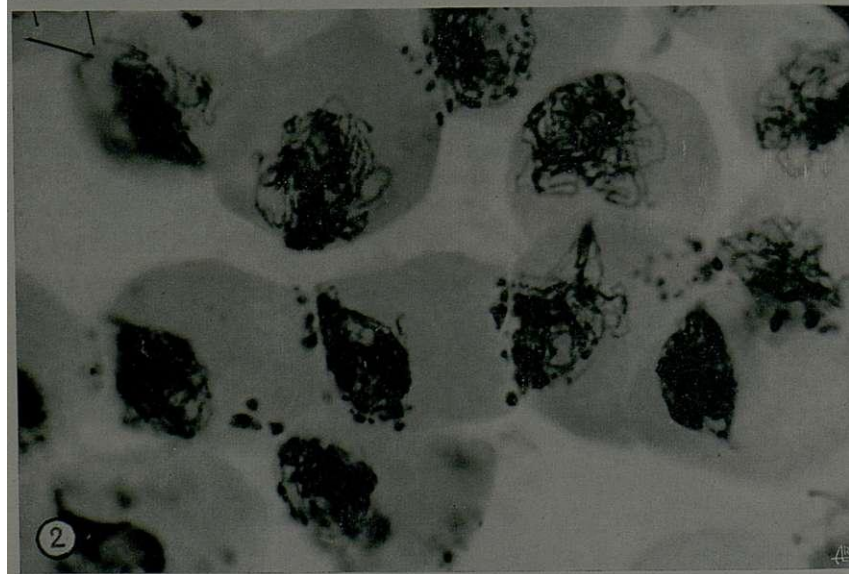
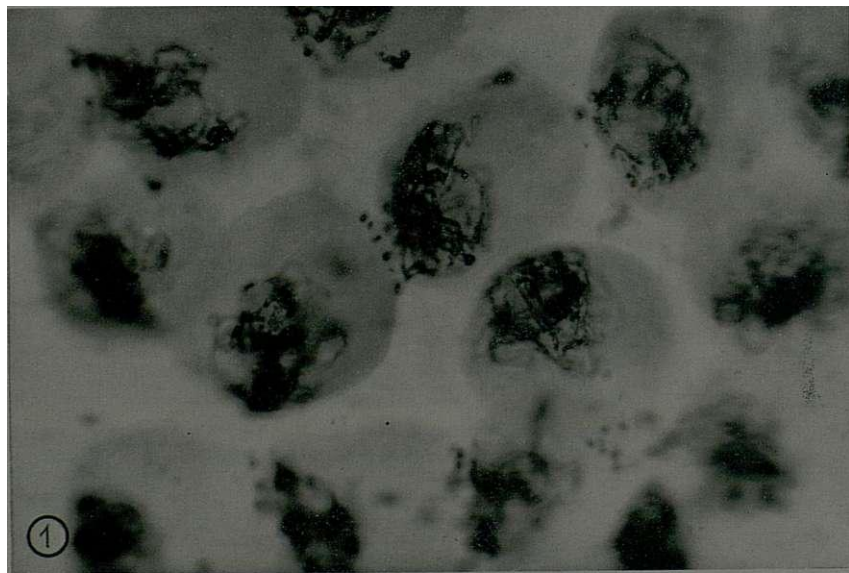
**Fig. 1.** — Cellules-mères du pollen dont deux montrent les filaments pachyténiques mêlés dans la région où le mécanisme du cloisonnage fonctionnera.

**Fig. 2.** — Idem.

**Fig. 3.** — Filament pachyténique réunissant deux cellules-mères du pollen à travers la région de la cloison. L'écartement des cellules pourra être, tout au moins en partie, conséquence de la pression exercée sur le couvre-objet pendant l'exécution de la préparation.

X 500





**PLANCHE IV**

**Narcissus Fernandesii G. Pedro**

**Figs. 1 et 2. — Cellules-mères du pollen, montrant assez nettement des phénomènes de cytomixie. Remarquer les globules d'aspect pycnotique engendrés par suite du passage de la cloison à travers les filaments pachyténiques.**

**X 500**

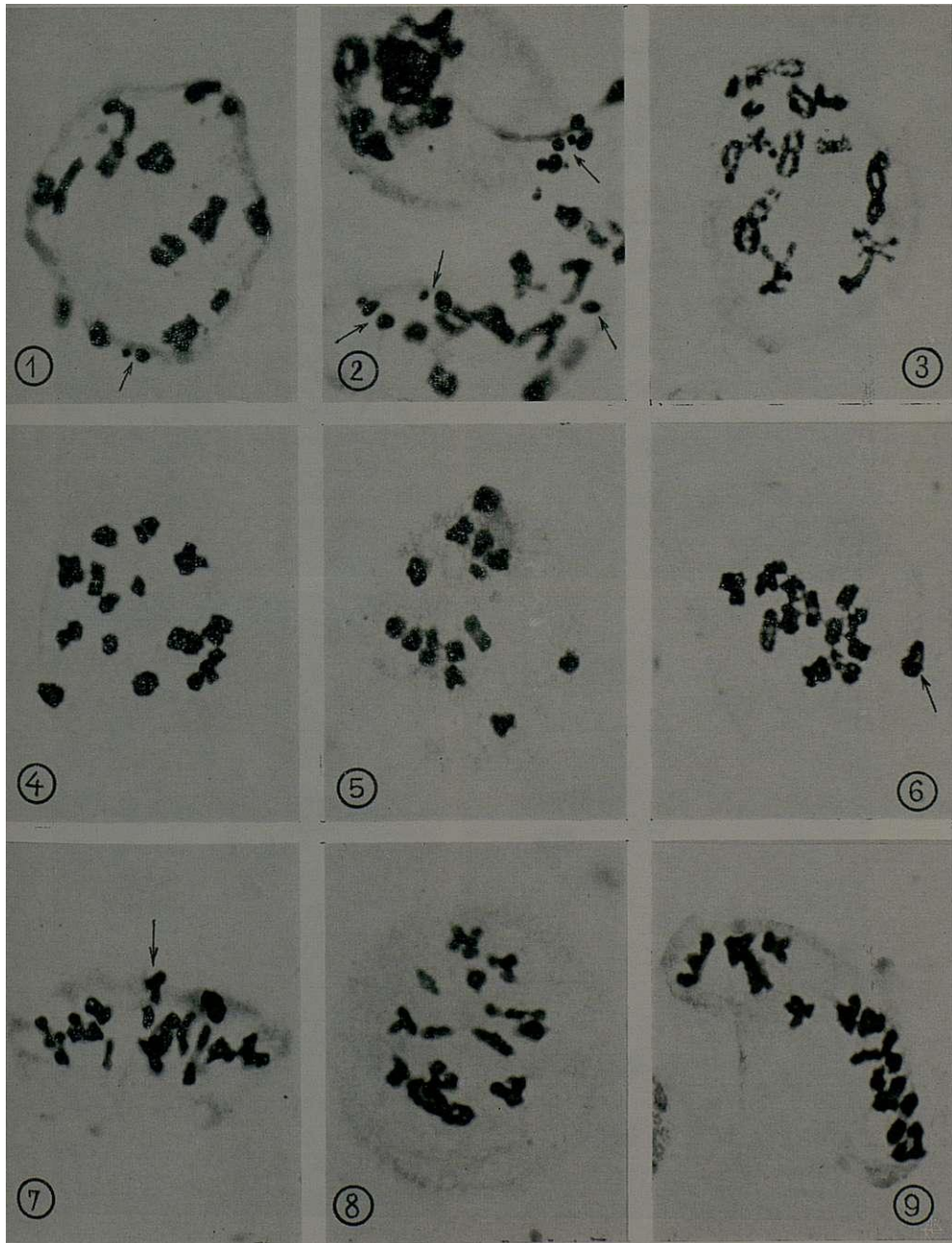
PLANCHE V

*Narcissus Fernandesii* G. Pedro

- Fig. 1.** — Diacinèse à 14 bivalents, montrant à la périphérie deux corpuscules (flèche) résultant de la fragmentation de bivalents.
- Fig. 2.** — Deux cellules-mères du pollen: la supérieure, qui semble être en voie de dégénérer, montre des corpuscules à la périphérie (flèche) et l'inférieure les présente à la périphérie et au dedans (flèches).
- Fig. 3.** — Stade avancé du diplotène montrant 16 bivalents.
- Figs. 4 et 5.** — Diacinèses où l'on peut dénombrer 15 bivalents.
- Figs. 6 et 7.** — Métaphases I à 15 bivalents. Les flèches indiquent les bivalents situés près de la périphérie qui sont rentrés dans ces cellules par suite de la cytomixie.
- Fig. 8.** — Métaphase I à 16 bivalents.
- Fig. 9.** — Idem.

X 850





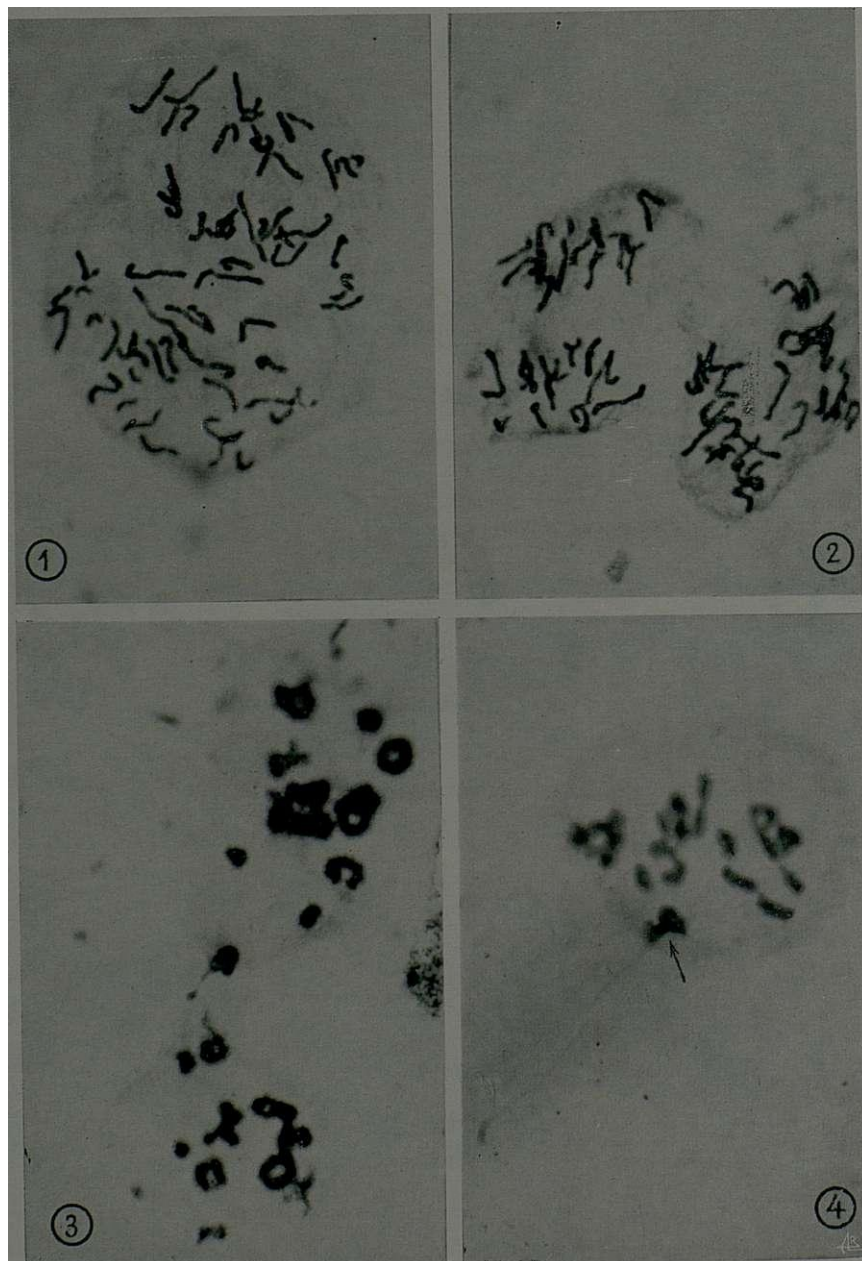


PLANCHE VI

*Narcissus Fernandesii* G. Pedro

- Figs. 1 et 2.** — Anaphases II à 15 chromosomes.  
**Fig. 3.** — Diacinèses montrant deux bivalents avec une portion despiralisée et en voie d'être fracturé, située dans la région de la cloison.  
**Fig. 4.** — Métaphase I. Remarquer que le bivalent indiqué par la flèche montre un long filament hors de la cellule. Ce filament doit avoir été engendré par despiralisation rendue plus poussée par suite de la technique de l'écrasement.

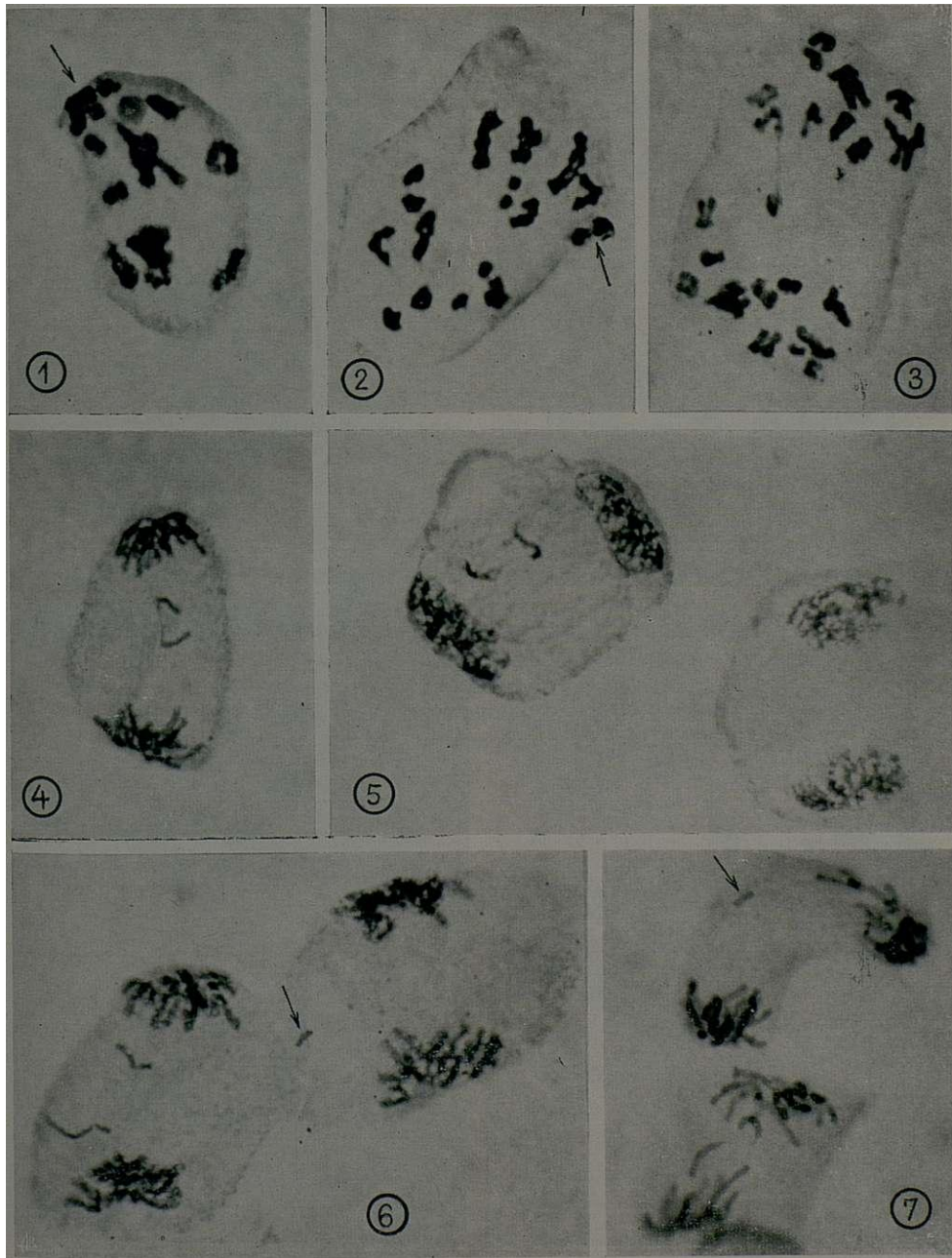
X 850

PLANCHE VII

*Narcissus Fernandesii* G. Pedro

- Fig. 1.** — Diacinèse montrant, à la périphérie, des bivalents fragmentés (flèche) par la cloison.
- Fig. 2.** — Début de l'anaphase I: la flèche indique un bivalent à demi au dehors de la cellule dont un des chromosomes montre nettement l'endommagement provoqué par la cloison.
- Fig. 3.** — Anaphase I présentant un pont non accompagné de fragment.
- Figs. 4 et 5.** — Ponts à l'anaphase II non accompagnés de fragments.
- Fig. 6.** — Anaphase II, montrant la séparation de deux chromatides inégaux dans une cellule et un fragment (flèche) dans la cellule-soeur.
- Fig. 7.** — Anaphase II. Pont court dans une cellule et fragment (flèche) dans la cellule-soeur.

X 850



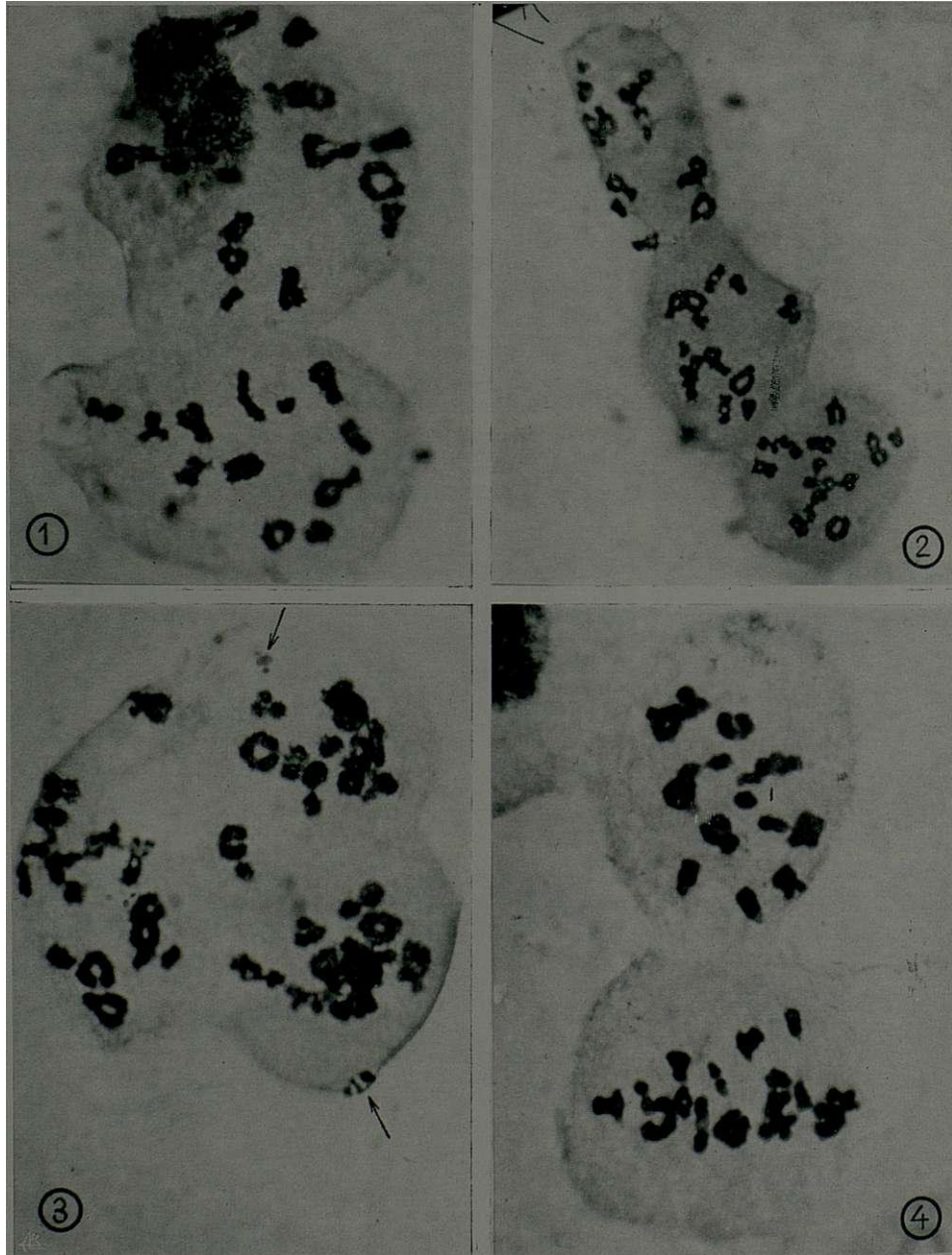


PLANCHE VIII

*Narcissus Fernandesii* G. Pedro

- Fig. 1.** — Syncytium de deux cellules à la diacinèse dont l'inférieure possède 13 bivalents et la supérieure 15 (dans cette cellule quelques bivalents sont cachés par le noyau d'une cellule du tapis qui a demeuré superposée). X 850.
- Fig. 2.** — Syncytium de trois cellules dont la supérieure présente deux bivalents dans la région de la cloison. Remarquer que les trois cellules sont en synchronisme. X 500.
- Fig. 3.** — Syncytium de trois cellules. Remarquer l'existence à la périphérie de globules pycnotiques (flèches) et que les cellules sont en synchronisme. X 500.
- Fig. 4.** — Syncytium de deux cellules à la métaphase I, dont chacune possède 14 bivalents. X 500.

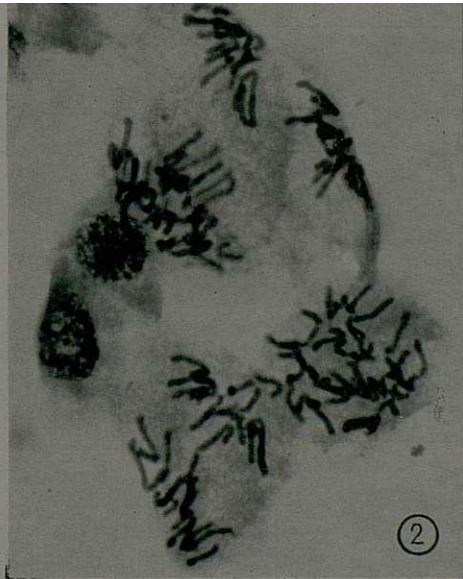
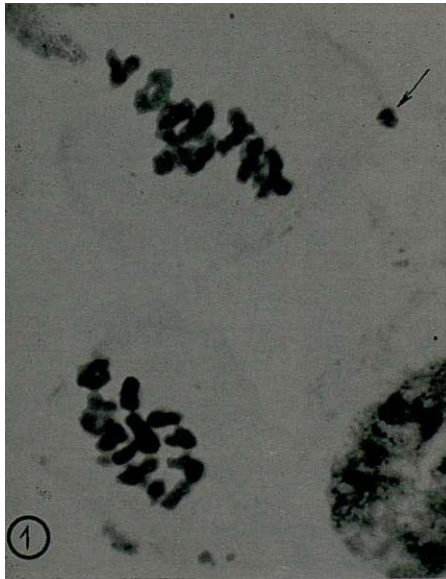
PLANCHE IX

*Narcissus Fernandesii* G. Pedro

- Fig. 1.** — Syncytium formé par des cellules-mères à la métaphase I et des cellules du tapis. Remarquer l'existence d'un fragment (flèche) à la périphérie, qui présente un aspect semblable aux bivalents.
- Fig. 2.** — Syncytium constitué par des cellules à l'anaphase II et d'autres à la télophase II.
- Fig. 3.** — Syncytium à l'anaphase II.
- Fig. 4.** — Syncytium à trois cellules dont deux à la diacinèse et une à la télophase I.

X 500





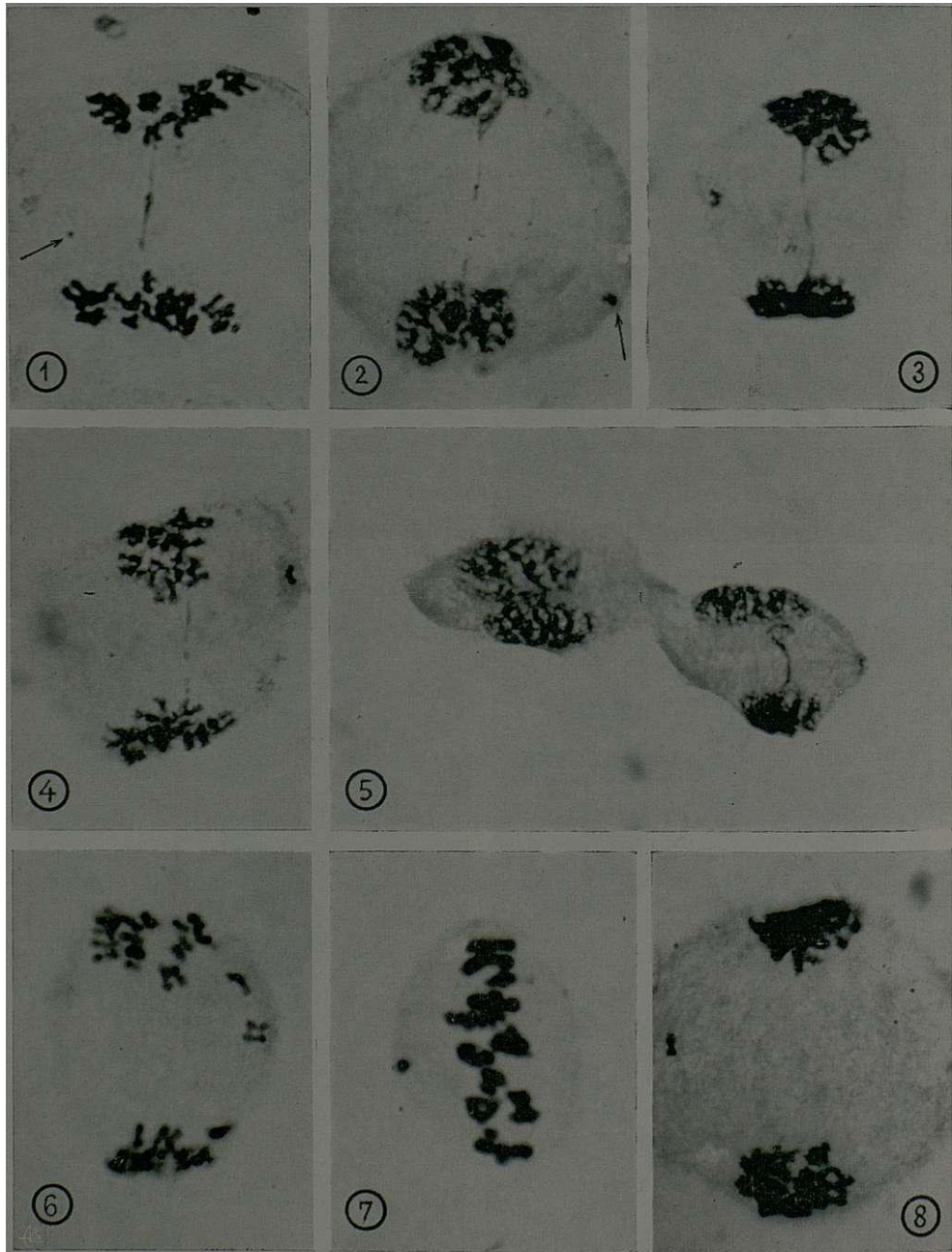


PLANCHE X

*Narcissus Fernandesii* G. Pedro

- Fig. 1. — Anaphase I. Pont long accompagné de fragment très court (flèche).
- Fig. 2. —Télophase I. Pont long et fragment (flèche) un peu plus long que sur la figure antérieure.
- Fig. 3. —Idem.
- Fig. *i*. — Idem.
- Fig. 5. — Télophase II, montrant pont et fragment dans la cellule à droite.
- Fig. 6. — Anaphase I, présentant probablement la disjonction d'un trivalent.
- Fig. 7. — Métaphase I à 13 bivalents et 2 univalents.
- Fig. 8. — Télophase I montrant un univalent au plan équatorial.

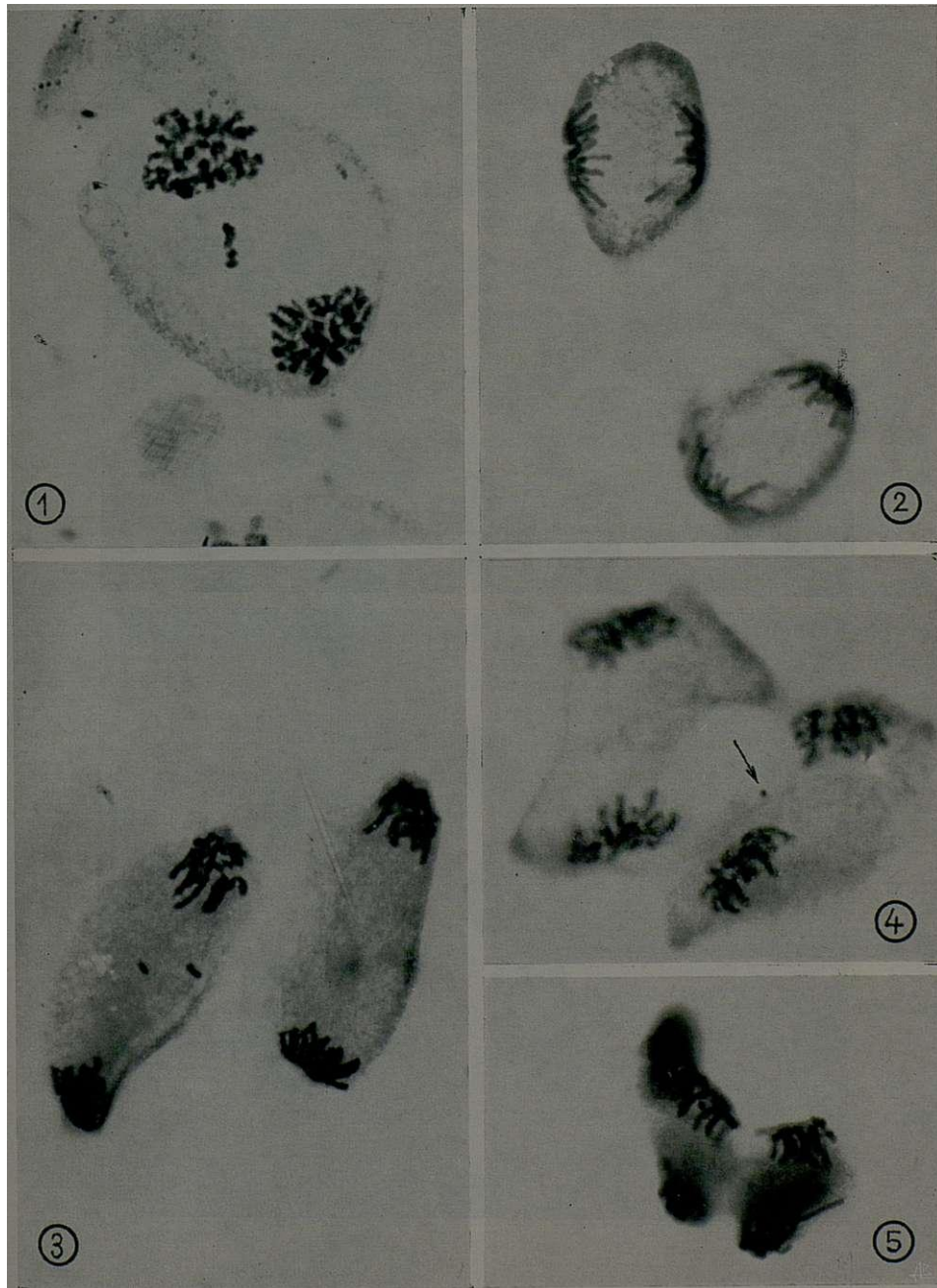
X 850

PLANCHE XI

*Narcissus Fernandesii* G. Pedro

- Fig. 1.** — Fin d'anaphase I, présentant au plan équatorial un univalent qui s'est divisé à la première division.
- Fig. 2.** — Retardataire (chromosome ou fragment?) à l'anaphase II.
- Fig. 3.** — Retardataires (chromosomes ou fragments?) à l'anaphase II.
- Fig. 4.** — Fragment (flèche) à la télophase II.
- Fig. 5.** — Anaphase II dans laquelle on peut remarquer la présence d'un chromosome très long engendré probablement par translocation.

X 850



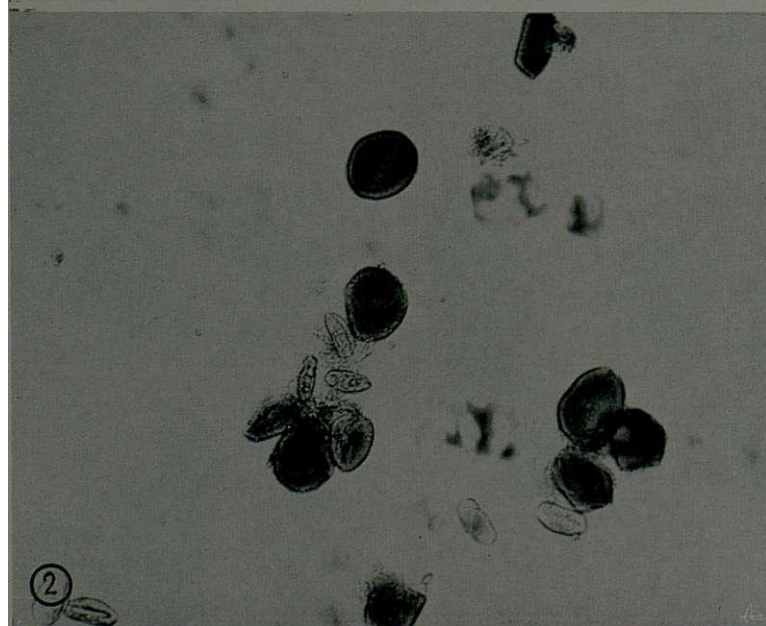
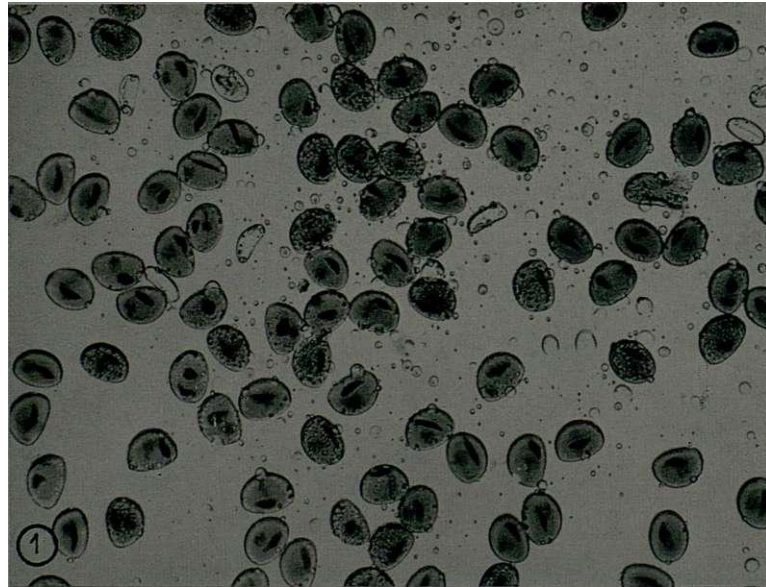


PLANCHE XII

**Narcissus Willkommii (Samp.) A. Fernandes**

**Fig. 1. — Pollen montrant peu de grains avortés (11 %).**

**Narcissus Willkommii X gaditanus**

**Fig. 2. — Pollen présentant à peu près 40 % de grains avortés.**

**X 180**





# SUBSIDIOS PARA O CONHECIMENTO DA FLORA DE MOÇAMBIQUE —

*por*

**J. A. R. PAIVA**

Instituto Botânico da Universidade de Coimbra

NA série de trabalhos que agora iniciamos, propomo-nos ir dando conhecimento das novidades para a flora de Moçambique que se nos depararem ao identificarmos material para efeitos de inclusão nos herbários de COI e LISC.

Nesta primeira nota assinalamos, como mais importante, a presença de uma espécie nova (*Homalium mossambicense* J. Paiva), de um género (*Grandidiera* Jaub.) novo para a área da *Flora Zambesiaca* e duas espécies (*Polygalaxanthina* Chod. e *Corrigiola drymarioides* Bak. f.) inéditas para a flora de Moçambique.

Ao Ex.<sup>mo</sup> Sr. Prof. Dr. ABÍLIO FERNANDES, Dirigente do Agrupamento Científico de Estudos Biológicos da Junta de Investigações do Ultramar anexo à Faculdade de Ciências da Universidade de Coimbra, estamos gratos pelo apoio e auxílio prestados na elaboração destas notas.

## **Podocarpus milanjanus** Rendle

Não estava assinalado ainda para o distrito de Tete.

*Espécime*: Angónia, monte Dómuè, alt. ca. 1850 m, fr. 9-III-1964, Torre & Paiva 11104 (LISC).

*Distribuição em Moçambique*: Tete, Zambézia e Manica e Sofala.

\* Trabalho realizado no Agrupamento Científico de Estudos Biológicos da Junta de Investigações do Ultramar anexo à Faculdade de Ciências da Universidade de Coimbra.

**Rinorea ilicifolia** (Oliv.) Kuntze var. **ilicifolia**

Conhecida sòmente do distrito de Manica e Sofala, foi herborizada mais a norte, no distrito de Moçambique. Pela forma da folha, poderia identificar-se como *R. spinosa* (Tul.) Baill., de Madagáscar, que TENNANT (in Kew Bull. **16**, **3**: **409** (1963) considerou como sinónimo. As duas espécies distinguem-se, porém, por *R. spinosa* ter folhas mais estreitas e alongadas e inflorescências mais curtas.

*Espécime*: Eráti, andados 12 km de Namapa para Alua, Monte Geovi, fl. e fr. 8-I-1964, Torre & Paiva 9888 (LISC).

*Distribuição em Moçambique*: Moçambique e Manica e Sofala.

## GRANDIDIERA Jaub.

Grandidiera Jaub. in Bull. Soc. Bot. Fr. **13**: **467** (1866)

Arbusto ou pequena árvore. Folhas alternas, pecioladas, inteiras, com estípulas frequentemente persistentes. Flores unissexuadas, por vezes com uma flor bissexuada por inflorescência, em cachos curtos, axilares; flor terminal \$ ou bissexuada, as restantes ♂ com pedicelos mais curtos. Sépalas **3**, livres, imbricadas, côncavas. Pétalas **5-7**, livres, imbricadas. Flores ♂: estames **8**, filetes maiores que as anteras; anteras **2**-tecas deiscantes por fendas longitudinais. Flores s ou bissexuadas: ovário **1**-locular com **2-4** placentas parietais, e muitos óvulos; estilete curto, provido de **2-3(4)** estigmas curvos. Fruto uma cápsula pouco lenhosa, com **6** asas. Sementes numerosas.

Este género da família das *Flacourtiaceae* distingue-se facilmente de qualquer dos outros da área por ter os frutos alados.

Grandidiera **boivinii** Jaub. in Bull. Soc. Bot. Fr. **13**: **467** (1866).—Gilg in Engl., Bot. Jahrb. **40**: **453** (1908).—Engl. & Prantl, Nat. Pflanzenfam. ed. **2**, **21**: **399**, t. **170** (1925).—Brenan, T. T. C. L.: **232** (1949).—TAB. **I**.

Arbusto ou pequena árvore de **2-6** m, raramente até **10** m. Ramos jovens cinzento-acastanhados, com lentículas esbran-

quigadas, revestidos de pêlos crespos aplicados, tornando-se glabros. Folhas com pecíolo de 0,7-2 cm longo, piloso; estípulas 6-7 mm, assoveladas, pubescentes; limbo oblanceolado a obovado, 8-18 X 2,5-5,5 cm, acuminado, longamente cuneado na base, de margem inteira, plana ou levemente ondulada, glabro na página superior, ± pubescente na inferior; nervuras laterais 8-12 pares, pouco nítidas na página superior, proeminentes na inferior, ± crespo-pubescentes. Flores em cachos axilares até 2 cm longos. Flor terminal **9**, bissexuada ou ♂, as restantes ♂. Pedicelos ca. 2 mm longos (o da flor terminal com ca. 5 mm), pubescentes; brácteas lanceoladas, 1-1,5 mm longas, pubescentes no dorso. Flores ♂: sépalas 3, 2,5-3 mm diâm., subcirculares, muito côncavas, verdes, pubescentes por fora, glabras por dentro. Pétalas 5-7, obovado-elípticas, 4,5-6 X 3-3,5 mm, brancas ou amarelas, glabrescentes a glabras. Estames numerosos com filetes ca. 2,5 mm longos, filiformes, glabros e anteras oblongas, ca. 0,5X0,8 mm, longitudinalmente deiscentes. Flores ♀ ou bissexuadas semelhantes à ♂; ovário ca. 4 mm longo, piloso, **6**-alado, **1**-locular com numerosos óvulos; estilete curto (ca. 0,7 mm), dividido em 2-3(4) ramos estigmáticos curvos, de ca. 0.7 cm longos. Fruto uma cápsula ca. 1,7 cm longa, com 6 asas largas, providas de estrias transversais, em regra crenadas na extremidade, pubescentes. Sementes com testa espessa, albumen abundante e embrião muito pequeno.

*Espécime*: Manica e Sofala: rio Conduè, fl. e fr. 28-X-1961, *Gomes e Sousa* 4722 (COI).

*Distribuição*: Quênia, Tanzania e Moçambique. Na floresta sempre verde de baixa altitude e florestas ribeirinhas.

Nome vern.: «Muruvuru».

#### *Oncoba spinosa* Forsk.

Não estava ainda assinalada para o distrito de Cabo Delgado.

*Espécime*: Macondes, andados 15 km de Mueda para Chomba, alt. ca. 800 m, 15-IV-1964, *Torre & Paiva* 12035 (LISC).

*Distribuição em Moçambique:* Cabo Delgado, Niassa, Moçambique, Zambézia, Tete, Manica e Sofala, Inhambane e Lourenço Marques.

**Homalium** mossambicense J. Paiva, sp. nov.

Subgen. **Blackwellia** (Comm. ex Juss.) Benth., Sect. **Symphostylium** Warb.

*H. laurentii* De Wild. affine sed planta minus robusta, rachidulis gracilioribus et foliis papyraceis, differt.

*Frutex* vel *arbor* 3-5 m altus. *Ramulis* pubescentibus vel glabris, cinereo-rubescens, lenticellis dealbatis ornatis. *Folia* petiolata; petiolo 5-10 mm longo, brevissime pubescenti; lamina obovata vel elliptica, 5-11 X 2,5-5,5 cm, papyracea, concolor, apice sensim acuminata vel rotundata, raro emarginata, margine irregulariter et leviter obtuso-crenata, singulis crenaturis apice glandula instructis, basi symmetrica vel leviter asymmetrica, late cuneata, decurrens, glaberrima sed subtus costam mediam brevissime pubescens et nonnunquam in nervis lateralibus, saepe in axilla inter nervos laterales et costam mediam pilis longis munita; nervi laterales utrinsecus 6-8 arcuatim adscendentes, supra paululum prominentes, subtus valde prominentes, venatio laxa reticulata, supra inconspicua sed subtus conspicue elevata. *Flores* virides, in racemos pedunculatos, multifloros, usque ad 15 cm longos, dispositi; racemi autem in paniculas multiramosas, amplas, 20-25 cm longas, collecti, rachide et rachidulis dense ac brevissime velutinis; pedicelli tenuissimi, 2-3 mm longi, dense pubescentes, ad medium articulati, 1-2 (raro 3) fasciculati, fasciculis bractea minima, pubescente instructis. *Receptaculum* obconium, dense pilosum. *Sepala* 5-7, anguste linearilanceolata, 1-1,5 X 0,5 mm, angustata, extra et intus pubescentia. *Petala* 5-7, spatulata vel oblongo-obovata, 2,5-3 X 0,8-1 mm, apice rotundata vel brevissime emarginata, supra et subtus pubescentia. *Disci glandulae* 5-7, sepalis oppositae, reniformes, 0,3-0,4 mm diam., dense pubescentes. *Stamina* 5-7, petalis opposita, filamentis linearibus, ca. 2 mm longis, glabrescentibus vel glabris, antheris subcircularibus ca.

0,3 mm diam. *Ovarium* conicum, uniloculare, extra pilosum, intus breviter pilosum, in receptaculo semi-submersum, placentis 3 ab apice suspensis, ovulis 9-12, pendulis, compressis; stylus columnaris, ca. 1,5 mm longus, apice in 3-4 ramos ca. 0,7 mm longos, revolutos soluto. *Fructus* capsularis, usque ad ca. 2 mm diam. in maxima longitudine, petalis accrescentibus usque ad 11 X 3 mm. *Semen* unicum, ovoideum, ca. 2 mm diam., testa tenuissima brunea.

Icon. nostr.: TAB. II et III.

MOÇAMBIQUE: Cabo Delgado, andados 15 km de Palma para Mocímboa da Praia, fl. & fr. 5-XI-1960, *Gomes e Sousa* 4603 (COI, holotypus).

Nome vern.: «M'fuiá» (quimuane).

*H. mossambicense* é muito próximo de *H. laurentii* De Wild., da República do Congo, mas difere consideravelmente, não só pelo aspecto geral, mas também por outros caracteres, entre os quais se destacam as inflorescências mais ramificadas, os eixos dos cachos mais delgados e as folhas não subcoriáceas.

Damos a seguir um quadro comparativo de algumas diferenças de tamanho entre as duas espécies.

<i>H. mossambicense</i>	<i>H. laurentii</i>
Coluna do estilete e respectivos ramos com ca. 2 mm.	Coluna do estilete e respectivos ramos com ca. 1 mm.
Ramos do estilete até 0,7 mm.	Ramos do estilete até 0,4 mm.
Pétalas acrescentes no fruto até 11 mm.	Pétalas acrescentes no fruto até 15 mm.
Pedicelos 1,5-2 mm.	Pedicelos 4-5 mm.
Peciolos 5-10 mm.	Peciolos 12-15 mm.
Limbo foliar 5-11 X 2,5-5,5 cm.	Limbo foliar 8-13,5 X 4,5-7 cm.

*H. mossambicense* assemelha-se também a *H. calodendron* Gilg de Usambara (Tanganhica), mas este último tem as pétalas muito pouco acrescentes no fruto e as folhas mais profundamente crenadas.

*Polygala adamsonii* Exell

Alarga-se a área de distribuição desta espécie um pouco mais para o norte, pois foi herborizada na serra de Ribáuè. Na *Flora Zambesiaca* descreve-se este taxon como «anual?». Tivemos ocasião de verificar, quando o herborizámos, que os exemplares que vimos não eram anuais, mas sim subarbustos com ca. 50 cm de altura.

*Espécime*: Ribáuè, serra de Ribáuè (Mepalué), alt ca. 1600 m, fl. 28-I-1964, *Torre & Paiva* 10303 (LISC).

*Distribuição*: Malawi (Milange) e Moçambique (Moçambique e Zambézia).

*Polygala senensis* Klotzsch

EXELL (in Fl. Zamb. 1, 1: 315, 1960) diz não ter observado material colhido para norte do rio Zambeze. Tivemos ocasião de a herborizar a ca. de 15 km de Zóbuè.

*Espécime*: Moatize, andados 50 km de Zóbuè para Tete, alt. ca. 350 m, fl. e fr. 12-III-1964, *Torre & Paiva* 11173 (LISC).

*Distribuição*: Etiópia?, Arábia?, Rodésia e Moçambique (Tete, Manica e Sofala, Gaza e Lourenço Marques).

*Polygala sphenoptera* Fresen

Aparece também no distrito do Niassa.

*Espécime*: Maniamba, monte Chicungulo, cadeia da serra Jéci, pr. Malulo, ca. 60 km a norte de Vila Cabral, alt. ca. 1400 m, fl. e fr. 2-III-1964, *Torre & Paiva* 10961 (LISC).

*Distribuição em Moçambique*: Cabo Delgado, Niassa, Moçambique, Zambézia, Tete, Manica e Sofala, Inhambane e Lourenço Marques.

*Polygala erioptera* DC.

Em Moçambique, *P. erioptera* só estava assinalada para o distrito de Lourenço Marques. Herborizámos esta espécie muito mais a norte, no distrito de Tete.

*Espécime:* Moatize, andados 50 km de Zóbuè para Tete, alt. ca. 350 m, fl. e fr. 12-III-1964, *Torre & Paiva* 11167 (LISC).

*Distribuição em Moçambique:* Tete e Lourenço Marques.

*Polygala virgata* Thunb. var. *decora* (Sond.) Harv.

A área de distribuição deste taxon em Moçambique estende-se também aos distritos de Moçambique e de Tete.

*Espécimes:* Ribáuè, serra de Ribáuè (Mepalué), alt. ca. 1000 m, fl. e fr. 23-I-1964, *Torre & Paiva* 10192 (LISC); Angónia, monte Dómuè, alt. ca. 1800 m, fl. e fr. 9-III-1964, *Torre & Paiva* 11101 (LISC).

*Distribuição em Moçambique:* Niassa, Moçambique, Zambézia, Tete e Manica e Sofala.

*Polygala usafuensis* Gürke

Alarga a área para o distrito de Moçambique.

*Espécime:* Imala, andados 36 km de Imala para Mocuburi, alt. ca. 450 m, fl. e fr. 16-I-1964, *Torre & Paiva* 10018 (LISC).

*Distribuição em Moçambique:* Niassa e Moçambique.

*Polygala xanthina* Chod.

Não era ainda conhecida em Moçambique.

*Espécimes:* Malema, Chefe Elema, base da serra de Mancussi, a 20 km do Mutuáli, alt. ca. 900 m, fl. e fr. 17-III-1964, *Torre & Paiva* 11236 (LISC); Ribáuè serra de Ribáuè (Mepalué), alt. ca. 800 m, fl. 23-III-1964, *Torre & Paiva* 11320 (LISC).

*Distribuição:* República do Congo, Zâmbia, Malawi e Moçambique.

*Polycarpaea eriantha* Hochst. ex A. Rich. var. *eriantha*

Não estava ainda assinalada para o distrito de Cabo Delgado.

*Espécime* : Montepuez, andados 31 km de Montepuez para Nantulo, alt. ca. 400 m, fl. e fr. 8-IV-1964, *Torre & Paiva* 11774 (LISC).

*Distribuição em Moçambique* : Cabo Delgado, Niassa, Moçambique, Zambézia, Tete e Manica e Sofala.

***Silene burchellii* Oth var. *angustifolia* Sond.**

Alarga a área para os distritos de Moçambique e de Tete.

*Espécimes*: Ribáuè, serra de Ribáuè (Mepalué), alt. ca. 1000 m, fl. e fr. 23-I-1964, *Torre & Paiva* 10191 (LISC); Angónia, monte Dómuè, alt. ca. 1450 m, fl. e fr. 9-III-1964, *Torre & Paiva* 11081 (LISC).

*Distribuição em Moçambique*: Niassa, Moçambique, Tete e Lourenço Marques.

***Corrigiola drymarioides* Bak. f.**

Não estava ainda assinalada para Moçambique.

*Espécime*: serra de Gúruè, na base do pico Namulí, fl. e fr. 29-IX-1944, *Mendonça* 2272 (LISC).

*Distribuição*: Tanganhica?, Malawi, Rodésia e Moçambique (Zambézia).

***Portulaca oleracea* L.**

Acrescenta-se à sua área de distribuição o distrito de Manica e Sofala.

*Espécime* : Gorongosa, Parque Nacional de Caça, ao km 1 do Acampamento de Chitengo para a entrada do Parque, fl. e fr. 11-XI-1963, *Torre & Paiva* 9173 (LISC).

*Distribuição em Moçambique*: Tete, Manica e Sofala, Inhambane e Lourenço Marques.



*Hypericum peplidifolium* A. Rich.

Em Moçambique só estava assinalado para o Gúruè e foi agora herborizado mais a norte, na serra de Massangulo.

*Espécime*: Vila Cabral, serra de Massangulo, alt. ca. 1450 m, fl. e fr. 25-II-1964, *Torre & Paiva* 10797 (LISC).

*Distribuição*: em Moçambique: Niassa e Zambésia.

**Harungana** madagascariensis Lam. ex Poir.

Não estava ainda assinalada para o distrito do Niassa.

*Espécime*: Marrupa, andados 36 km de Maúá para Marrupa, alt. ca. 600 m, fl. 19-II-1964, *Torre & Paiva* 10765 (LISC).

*Distribuição em Moçambique*: Cabo Delgado, Niassa, Moçambique, Zambésia e Manica e Sofala.

*Monotes katangensis* (De Wild.) De Wild.

Em Moçambique esta espécie estava só assinalada para o distrito de Tete. Foi agora herborizada no Niassa.

*Espécime*: Marrupa, andados 3 km de Marrupa para Maúá, alt. ca. 800 m, fl. 19-II-1964, *Torre & Paiva* 10680 (LISC).

*Distribuição*: Congo, Zâmbia, Tanganhica e Moçambique (Niassa e Tete).

*Monotes africanus* A. DC.

Alarga a área para o distrito de Moçambique. No Cabo Delgado só tinha sido herborizado no rio Messalo e nós encontramos-lo junto à fronteira norte.

*Espécimes*: Palma, monte ca. 2 km a sul do rio Rovuma e a 16 km de Nangade, alt. ca. 220 m, fl. e fr. 18-IV-1964, *Torre & Paiva* 12137 (LISC); Ribáuè, serra de Ribáuè (Mepalué), alt. ca. 800 m, fr. 23-I-1964, *Torre & Paiva* 10153 (LISC).

*Distribuição em Moçambique*: Cabo Delgado, Niassa, Moçambique e Tete.

**Filicium decipiens** (Wight & Arn.) Thw.

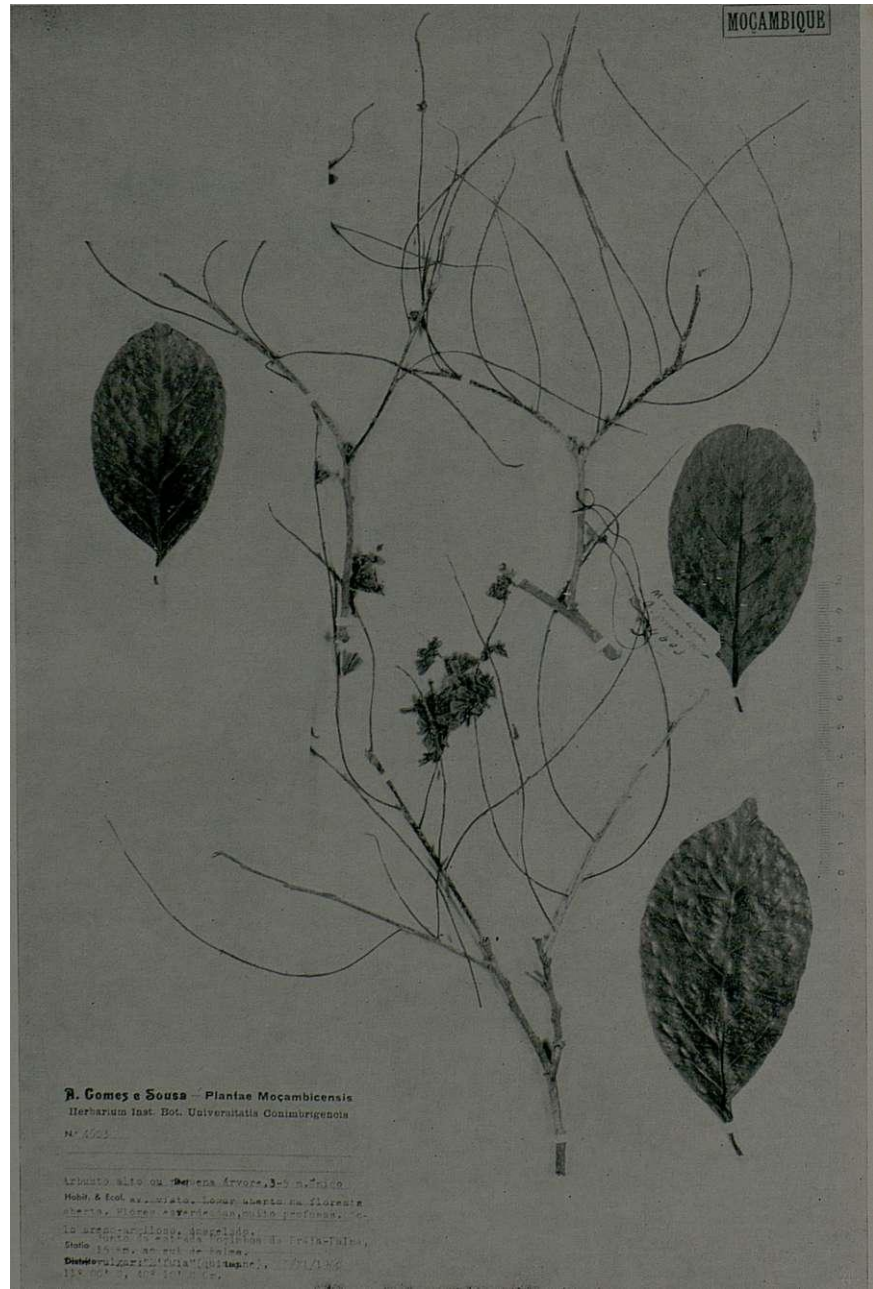
Em Moçambique este taxon estava só assinalado para o distrito de Manica e Sofala. Aparece também no Niassa.

*Espécime*: Vila Cabral, rio Luchilingo, fl. XII-1932, *Gomes e Sousa* 1047 (COI).

*Distribuição em Moçambique*: Niassa e Manica e Sofala.



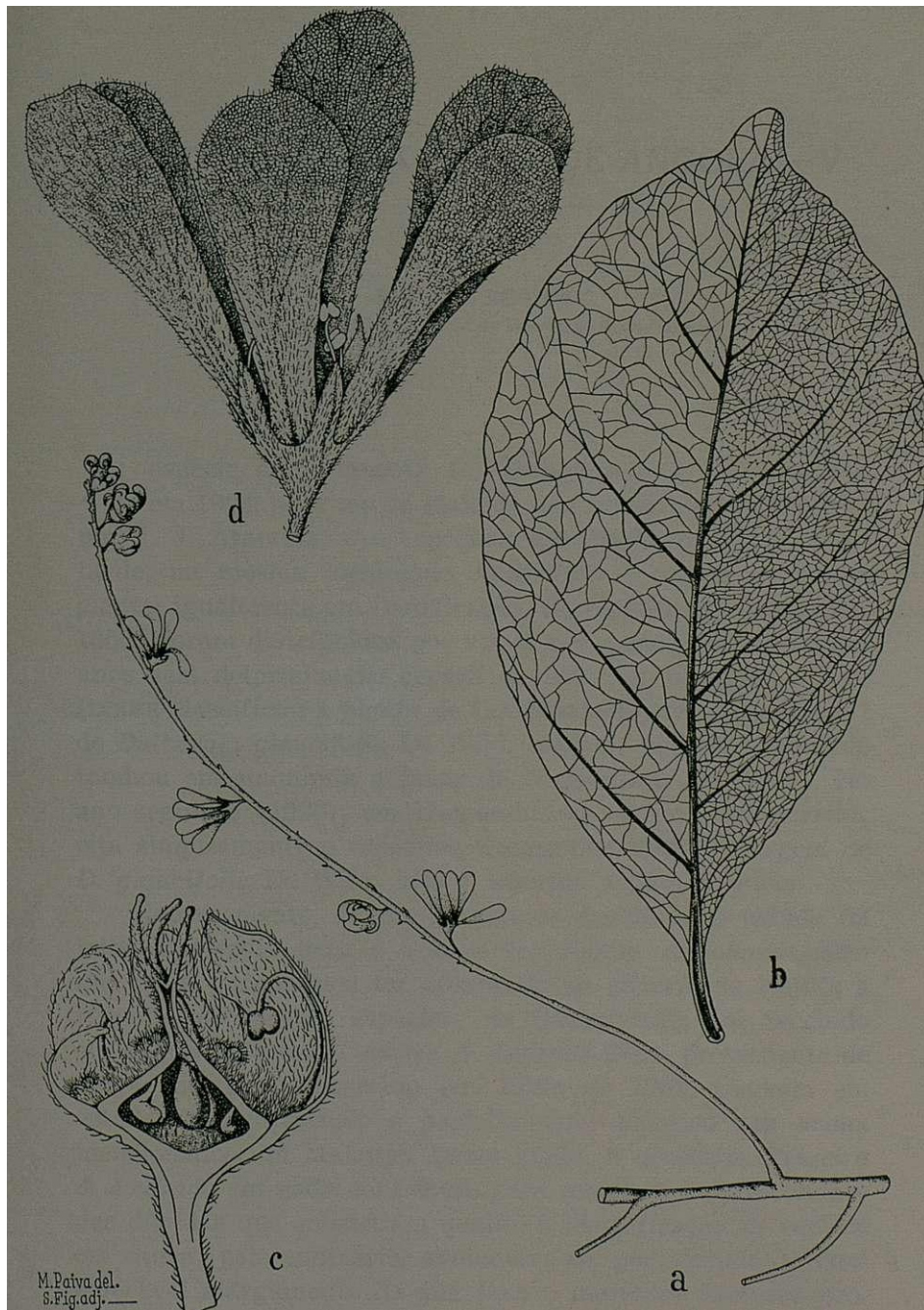
***Grandidiera boivinii* Jaub.**  
**Specimen *Gomes e Sousa* 4722**



MOCAMBIQUE

J. Gomes e Sousa - Plantae Mocambicensis  
Herbarium Inst. Bot. Universitatis Combrigensis  
N° 4503

Arbusto alto ou pequena árvore, 3-5 m. frut.   
Habit. & ecol. associada. Locus ubertim in florentia   
clerta, fides a veridica, cultu profano.   
In arboribus, dispersa.   
Sua in cultura videtur in Praia-Talpa,   
Sua in cultura videtur in Praia-Talpa,   
Dist. de Vilhena, 1911.   
11. 11. 11. 11. 11.



**Homalium mossambicense J. Paiva**

- a) Cacho com flores e fruto (× 1); b) Página superior da folha (× 1);  
c) Corte longitudinal da flor (× 12,5); d) Fruto (× 6).

*Gomes e Sousa 4603.*



## NOVOS TAXA DA FLORA DE ANGOLA — V

*por*

E. P. DE SOUSA

Centro de Botânica da Junta de Investigações do Ultramar

A espécie aqui descrita foi herborizada a primeira vez em 1903, próximo de Malanje, em estado de frutificação, por J. J. ALMEIDA, e o espécime arquivado em LISJC. Mais tarde, na mesma localidade, GOSSWEILER colheu a mesma planta, igualmente em frutificação. Os espécimes (*Gossweiler* 1350) foram distribuídos por BM, K e P, onde jazeram longos anos sem determinação específica, até que, em 1928, E. G. BAKER classificou a planta de GOSSWEILER como uma forma? de *Dalbergia glaucifolia* De Wild. (espécie que posteriormente tombou em sinonímia a favor de *D. florifera* De Wild.). No ano seguinte (1929), em «Leguminosae of Tropical Africa», cita simplesmente o espécime *Gossweiler* 1350 à margem de *D. glaucifolia* De Wild., isto é, acentua a dúvida inicial.

Recentemente, depois de termos concluído o estudo da tribo *Dalbergia* para o *Conspectus Florae Angolensis*, sem que nada pudéssemos ter adiantado ao critério de BAKER a respeito do mesmo espécime de GOSSWEILER, foi recebido em LISC o espécime *Teixeira & Andrade* 6704, proveniente de Nova Lisboa, herborizado em Julho de 1962, também em estado de frutificação e perfeitamente idêntico aos acima mencionados, de Malanje. Deste modo, o espécime *Teixeira & Andrade* em nada contribuiu para imediato esclarecimento das dúvidas que subsistiam quanto à identificação da espécie em causa; pelo contrário, avolumava-se, por virtude do considerável alargamento da sua área e inerentes factores geográficos. Parecia agora menos provável a subordinação deste *taxon*, proposto por BAKER e que admitíamos com o mesmo grau de incerteza no *Conspectus Florae Angolensis*. E digamos desde já, para conveniente emenda, que as informações

sobre hábito, ecologia e distribuição, transcritas no *Conspectus Florae Angolensis* são errôneas, pois que, conforme as informações de TEIXEIRA & ANDRADE, a nova espécie é arbusto ou pequena árvore, confinada aos planaltos centrais de Angola, de savanas ou floresta aberta decídua.

Devemos à costumada solicitude do Sr. Eng. B. TEIXEIRA, uma vez tomado conhecimento da insuficiência dos materiais de herbário para a identificação da planta que anteriormente enviara, a diligência com que se empenhou para obter espécimes em floração da mesma árvore em que havia colhido o exemplar em frutificação, o que conseguiu em Abril de 1965. De posse de espécime em flor, pudemos então definir a nova espécie.

Durante a nossa recente missão de estudo a Londres, tivemos oportunidade de comparar os nossos espécimes com materiais típicos de *Dalbergia florifera* De Wild. existentes no herbário de Kew e de anotar as diferenças capitais que os separam. Ulteriormente, por amável deferência do Ex.<sup>mo</sup> Sr. Prof. Dr. W. ROBYNS, Director do Jardim Botânico de Bruxelas, pudemos examinar o tipo da espécie de DE WILDEMAN, conservado no herbário daquele Jardim, e confirmar as diferenças relativamente à nossa espécie.

*Dalbergia teixeirae* P. Sousa, sp. nov., ex affinitate *D. floriferae* De Wild., sed bracteolis linearibus, calyce longiore (4,5-6 nec c. 3-5 mm longum), leguminis reticulo nervorum prominulo facile distinguenda.

*Dalbergia glaucifolia* De Wild. forma? Bak. f. in Journ. of Bot. 66, Suppl. Polypet.: 126 (1928).

*Dalbergia glaucifolia* sensu Bak. f., Leg. Trop. Afr. 2: 531 (1929) pro parte quoad specim. Gossweiler 1350.

*Dalbergia aff. florifera* De Wild. sensu P. Sousa in Consp. Fl. Angol. 3, 2: 353 (1966).

*Frutex* vel *arbor* parva; ramuli teretes, cortice brunneo, parce lenticellato, glabro. *Folia* imparipinnata, 5-7-foliolata, glabra; petiolus 1.3-3.5 cm longus; rhachis 3.5-11 cm longa; foliola alterna, nonnunquam opposita vel subopposita; petio-



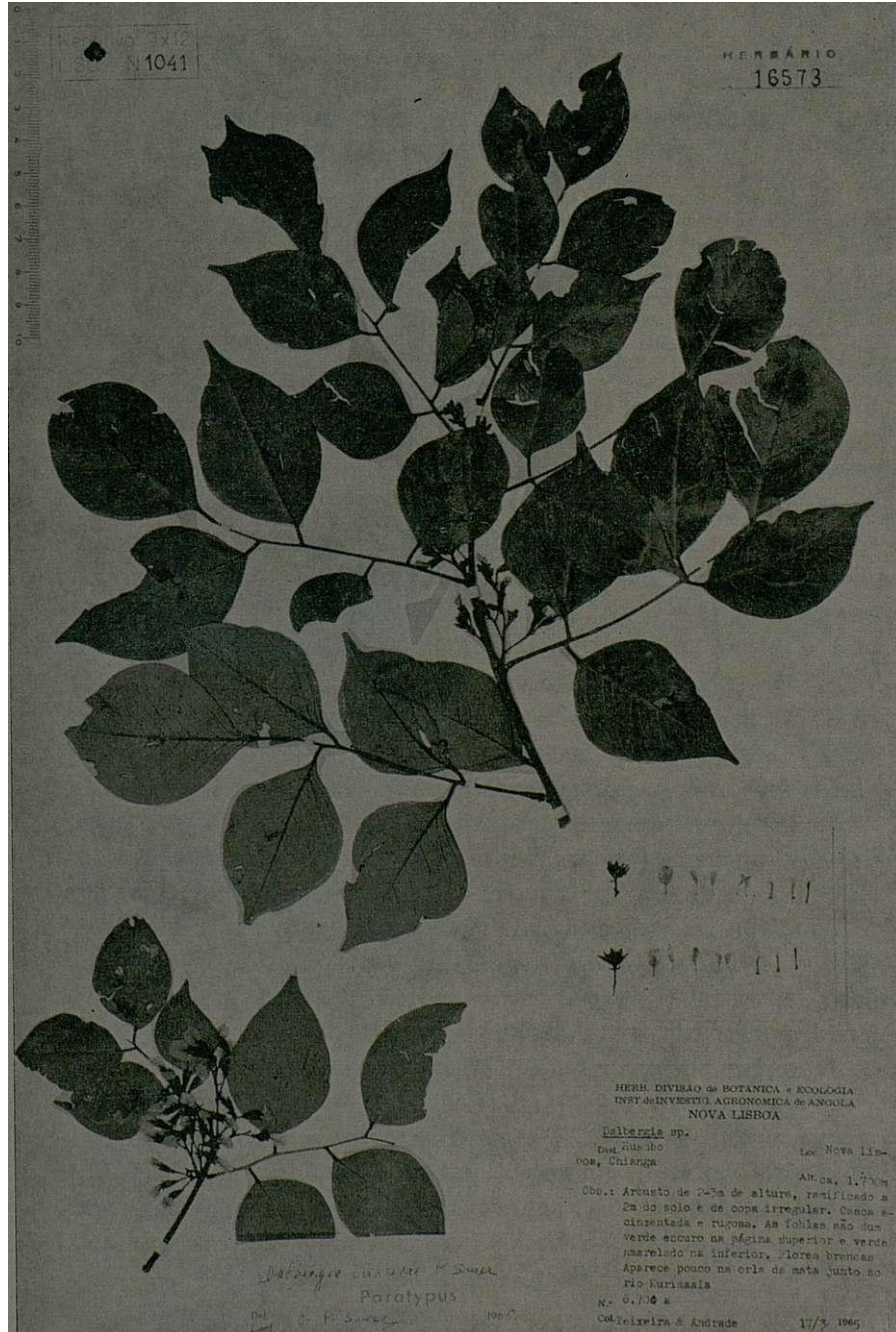
lus 3-6 mm longus; lamina 3-6 cm longa, 2-5 cm lata, subcircularis, late ovata vel subelliptica, apice obtusa vel repente acuminata vel subcaudata, basi rotundata vel breviter cuneata, chartacea, supra nitidula, subtus pallidior; costa subtus prominula; nervi laterales utrinque 4-6, ut reticulum venularum plus minusve obsoleti. *Paniculae* axillares, sessiles vel brevissime pedunculatae, 2-3 cm longae, minutissime fulvo-puberulae, ramulis 2-3-floribus; bracteae 0.6-0.9 mm longae, subovatae; pedicelli 3-5 mm longi; bracteolae lineares, 1-1.5 mm longae. *Calyx* ca. 5 mm longus, basi subturbinatus, minute fulvo-subsericeus, tubo 3.5-4 mm longo, dentibus dorsalibus 1.3-1.5 mm longis, deltoideis, ventralibus 1-1.3 mm longis, linearibus; vexilli lamina obovata, 5-6 mm longa, apice emarginata, basi calloso-glandulosa leviterque subcordata, ungue 3.5-4 mm longa; alae oblongo-obovatae, leviter auriculatae, ungue c. 4 mm longa; carina dorso arcuata, ungue c. 4 mm longa. Stamina in 2 phalanges fissa. *Ovarium* 2-ovulatum, glabrum, stipite ca. 4 mm longo; stylus brevis. *Legumen* 1-spermum, chartaceum, planum, cum reticulo nervorum prominulo, 4-5.5 cm longum, 1.5-1.8 cm latum, oblongo-subellipticum, apice obtuso vel rotundato, basi cuneato vel rotundato, stipite 7-10 mm longo. *Semina* compressa, ca. 10 X 6 mm.

Icon. nostr.: tab. I.

MALANJE: Fazenda Agrícola Guiné, *Almeida* s. n. (LISJC); Malanje, sem localidade precisa, *Gossweiler* 1350 (BM;  $\kappa$ ; P).

HUAMBO: Nova Lisboa, Chianga, alt. 1700 m, *Teixeira & Andrade* 6704 (LISC, **holotypus**; LUA), 6704a (LISC; LUA).





***Dalbergia teixeirae* P. Sousa**  
Specimen *Teixeira & Andrade 6704a* (LUA, paratypus).



LE PROBLEME  
DU *NARCISSUS AZETTA* L.

II. LES FORMES À 20, 21, 30, 31 ET 32 CHROMOSOMES  
SOMATIQUES

*par*

ABÍLIO FERNANDES  
Institut Botanique de l'Université de Coimbra

INTRODUCTION

DANS un travail antérieur (FERNANDES, 1931), nous avons dénombré 10 chromosomes dans les cellules d'un ovule jeune d'une plante de *N. tazetta* L. sens. ampl. provenant de l'Algarve. D'après ce résultat, nous avons conclu que le nombre de base de ce taxon était 5. Ayant le plus grand intérêt à retrouver cette plante, nous n'avons réussi à rencontrer dans notre collection, constituée par des individus récoltés soit en Algarve, soit en d'autres régions du Portugal, soit encore en des pays étrangers, que des plantes à 20, 21, 22, 30, 31 et 32 chromosomes somatiques. De cette façon, nous avons admis l'idée que le dénombrement de 10 chromosomes devait avoir été fait dans les divisions que conduisent à la formation du sac embryonnaire (FERNANDES, 1934).

Se basant sur l'étude des chromosomes somatiques et sur celle de la méiose de plusieurs formes horticoles, NAGAO (1933) a été amené à la conclusion que le nombre de base de *N. tazetta* est 10 et que le chiffre 11, qu'on trouve aussi chez ce taxon, a été dérivé de 10 par fragmentation d'un chromosome long.

Après avoir étudié les formes à  $2n = 22$  (FERNANDES, 1937b), nous avons suggéré que les nombres de base 10 et 11 devraient être secondairement dérivés de 7 et la même déduction a été faite selon les caractères de la méiose de l'hybride *N. poetaz* «Alsace» (FERNANDES, 1950).

L'évidence accumulée à la suite des études que nous avons poursuivies pendant les dernières années et dont nous pré-

sentons ici les résultats montre qu'en réalité le nombre de base de *N. tazetta* sens. ampl. est 5 et que, comme nous l'avons suggéré en 1931, les formes à  $2n = 20$  et celles à  $2n = 30$  sont des anciens tétra- et hexaploïdes respectivement.

#### MATÉRIEL ET TECHNIQUE

Les plantes, provenant soit de l'état spontané, soit de populations naturalisées, soit de Jardins Botaniques ou particuliers ou encore de Maisons Horticoles, ont été cultivées en pots au Jardin Botanique de Coimbra. Ces plantes nous ont fourni les méristèmes radiculaires et les anthères, matériaux sur lesquels nos observations ont été faites.

Les pointes végétatives des racines ont été le plus souvent fixées au Navachine (modification de Bruun) et ensuite enrobées à la paraffine, en utilisant la technique classique. Les coupes transversales, d'une épaisseur de  $18 \mu$ , ont été colorées au violet de gentiane.

Les anthères, avec les cellules-mères à la méiose ou avec les grains du pollen à la première mitose, ont été fixées à l'alcool-acétique (3:1). Après la fixation, elles étaient dissociées dans des gouttes de carmin-acétique ou d'orceïne-acétique et les préparations étaient rendues permanentes au moyen de la technique décrite par LA COUR (1937).

#### OBSERVATIONS

##### 1. Plantes à $2n = 20$

Nous avons dénombré 20 chromosomes dans les pointes végétatives des racines des plantes suivantes<sup>1</sup> (figs. 1 et 2) :

N.º 262 — Plantes provenant d'un jardin de Bencanta (alentours de Coimbra). Feuilles un peu plus longues que la hampe florale,  $\pm 2$  cm larges. Hampe ca. 27 cm haute, légèrement ancipitée. Spathe à 6-15 fleurs. Fleur 4 cm diam. ; tube 18 mm long ; divisions périgonales jaunes,  $17 \times 15-17$  mm ; couronne d'un jaune plus foncé que les divisions, 6 mm haute et 1 cm diam. Pollen à 27 % de grains avortés.

<sup>1</sup> Les chiffres indiquent les numéros que les plantes portent ou portaient dans nos cultures.

N.° 263 — Plante cultivée dans un jardin de Bencanta, aux alentours de Coimbra. Plante remarquable à cause des

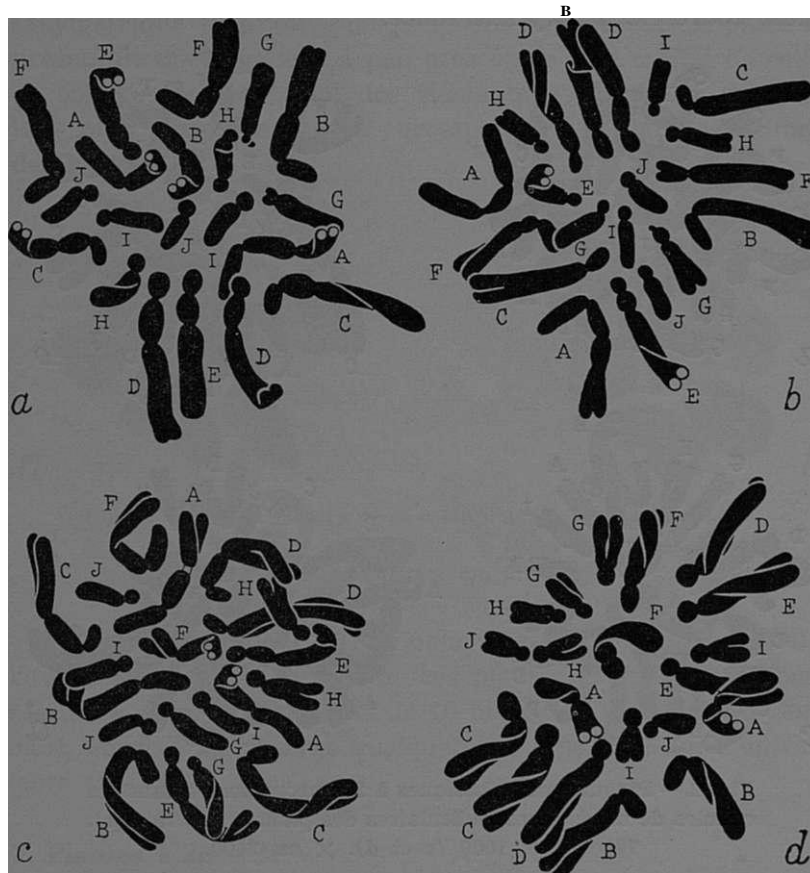


Fig. 1. — Plaques équatoriales à 20 chromosomes dans des cellules des méristèmes radiculaires des plantes n.°s 262 (a), 263 (b), 504 (c) et 1544 (d). Les paires chromosomiques sont indiquées par les lettres A-J. X ca. 2400.

petites dimensions des fleurs dont la couronne était jaune. Pollen à 14 % de grains avortés.

N.° 504 — Algarve, Lagos, Arneiros. Ombelle à 4 fleurs. Divisions périgonales blanches; couronne jaune.

N.° 798 — Baleares, Pinar dels Llades, legit P. Palau, 10-II-1948.

N.° 799—Balears, Pinar dels Llades, legit P. Palau, 10-II-1948.

N.° 1009 — Origine inconnue. Divisions périgonales blanches; couronne d'un jaune foncé.

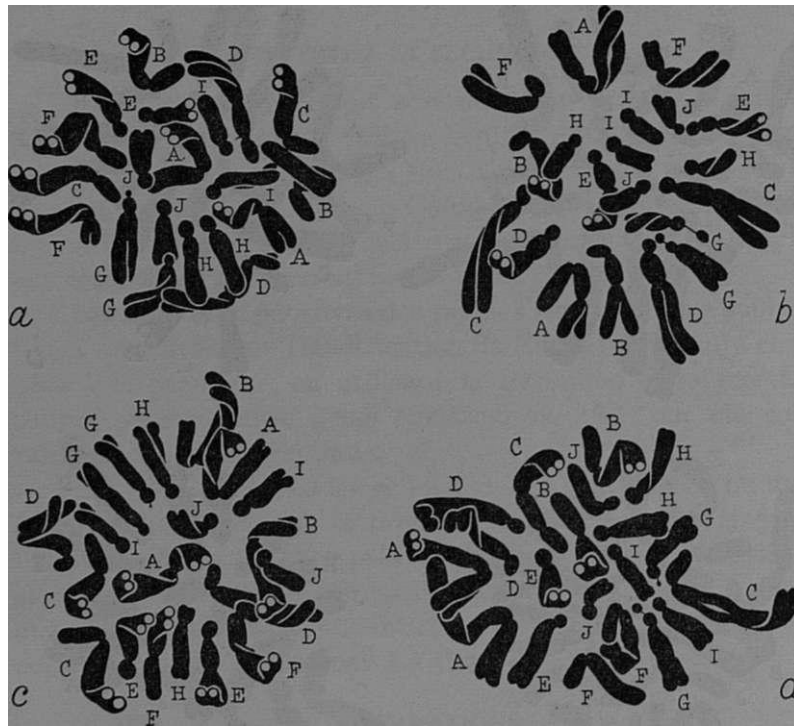


Fig. 2.—Plaques métaphasiques à 20 chromosomes dans les cellules de méristèmes radiculaires des plantes n.°s 798 (a), 799 (b) et 1009 (c et d). X ca. 2400.

N.° 1544—Algarve, Arneiros, route Lagos-Sagres, à 6 km de Lagos. Divisions périgonales blanches; couronne jaune.

D'accord avec les résultats rapportés dans un travail antérieur (FERNANDES, 1950) et en considérant que deux chromosomes classés alors comme *lm* et *Lp* doivent plutôt appartenir aux types *h* et *lp* respectivement, l'idiogramme de toutes ces plantes peut être représenté par la formule suivante :

$$2n = 20 = 2 \text{ li} + 4 \text{ Lp} + 4 \text{ L.} + 2 \text{ lp} + 2 \text{ P.}' + 6 \text{ P.}$$



Cette garniture correspond aussi à celle identifiée par KURITA (1954, 1955) chez les formes qu'il a étudiées.

Une des plantes du n.° 1009 a montré une garniture asymétrique (fig. 2*d*), puisqu'un des membres de la paire E présentait une longueur à peu près égale à la moitié de celle de son partenaire et un des éléments F possédait un bras long plus court que le bras correspondant de l'autre membre de la paire.

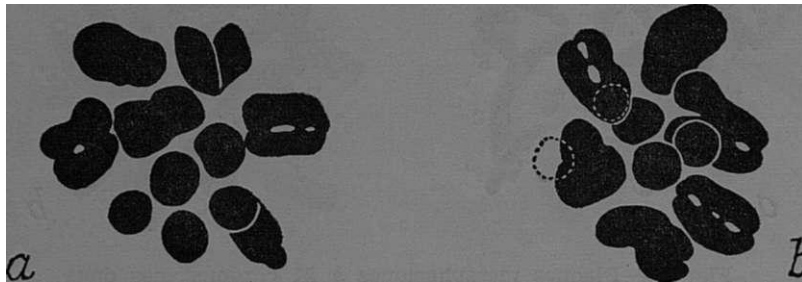


Fig. 3. — *a*, Vue polaire de la métaphase I, dans une plante à  $2n = 20$ , montrant 10 bivalents. *b*, Idem à 9 bivalents et 2 univalents. X ca. 2200.

Comme NAGAO (1933) et nous-même (FERNANDES, 1950) l'avons constaté, la méiose de ces plantes a lieu d'une façon régulière, avec la formation de 10 bivalents (fig. 3*a*). Cependant, nous avons observé quelquefois l'apparition de 2 univalents (fig. 3*b*).

## 2. Plantes à $2n = 21$

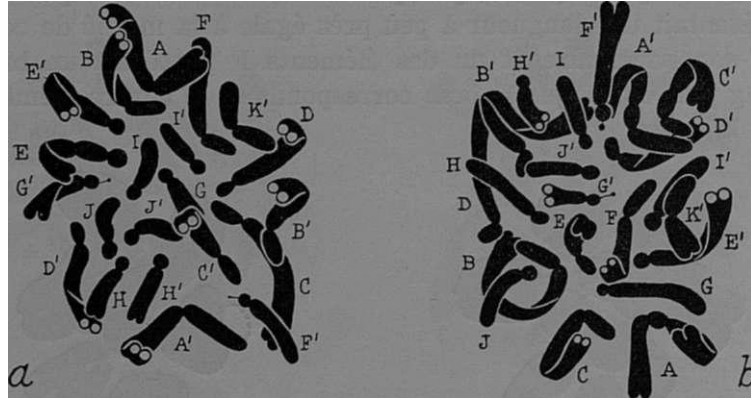
Nous avons dénombré 21 chromosomes dans les plantes mentionnées ci-dessous et dont les plaques métaphasiques sont montrées par les figs. 4-6:

N.° 58A — Bulbes fournis par l'«Orto Botanico di Catania», Sicile, sous le nom de *N. italicus*. Malheureusement, par le fait que les plantes n'ont pas fleuri, cette détermination n'a pas pu être vérifiée.

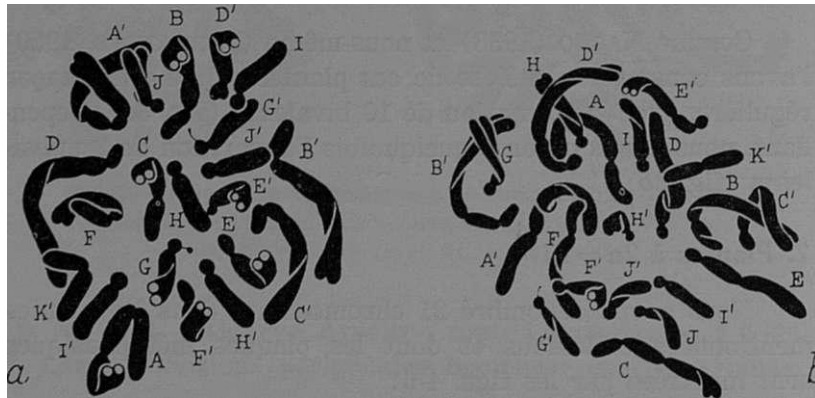
N.° 206A — Plante fournie par l'«Istituto ed Orto Botanico della Università di Genova», Italie, sous le nom de *N. tazetta* var. *italicus* Ker-Gawl.

N.º 228 — Origine inconnue. Couronne jaune.

N.º 256 — Maison Horticole «Fernandes Coimbra», Valadares, Gaia, Portugal. Feuilles plus hautes que la tige flo-



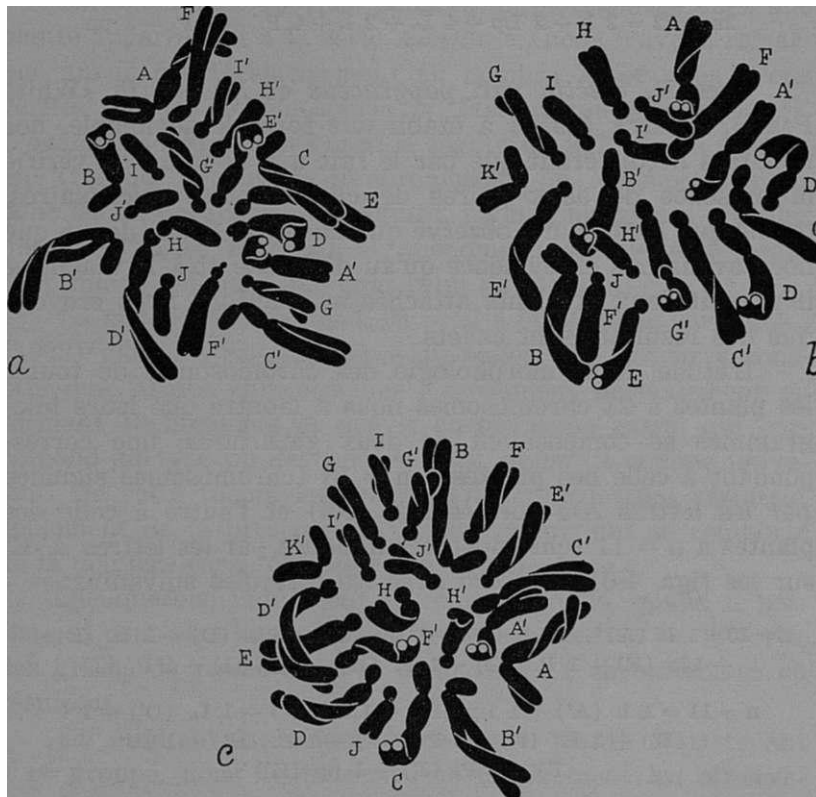
**Fig. 4.** — Plaques métaphasiques à 21 chromosomes dans des cellules de méristèmes radiculaires des plantes 58A (a) et 206A (b). Explication dans le texte.  $\chi$  ca. 2400.



**Fig. 5.** — Plaques somatiques à  $2n = 21$  chez les plantes 228 (a) et 256 (b). Explication dans le texte.  $\chi$  ca. 2400.

rifère, 2 cm larges. Hampe florale ancipitée, 26-35 cm haute. Spathe à 7-9 fleurs. Péricône à 3,5 cm diam.; tube 16 mm long; divisions périgonales  $14,5 \times 12$  mm; couronne 5 mm haute. Pollen à 14 % de grains dégénérés.

N.° 257 — Maison Horticole «Fernandes Coimbra», Valadares, Gaia, Portugal. Feuilles 4-5 par bulbe, plus longues que la hampe florale, ca. 2 cm larges. Tige florifère nettement comprimée, 30-40 cm haute. Spathe à 3-5 fleurs. Péricône à



**Fig. 6.** — *a*, Plaque exceptionnelle à  $2n=20$  dans le méristème radicaire de la plante n.° 257; remarquer l'absence du chromosome pp. *b*, Plaque à  $2n=21$  chez la même plante; remarquer la présence du chromosome pp ( $K'$ ). *c*, Plaque à  $2n=21$  chez la plante 1143. X ca. 2400.

5 cm diam.; tube 2 cm long, parfois légèrement courbé; divisions périgonales allongées, ca. 2,2 X 1 cm; couronne 5 mm haute; style atteignant l'ouverture de la couronne. Pollen à 98 % de grains imparfaits.

N.° 1143 — Cortes da Calçadinha, alentours de Santarém, Portugal.

En étudiant les plantes à  $2n = 22$  (FERNANDES, 1937b), nous avons constaté que celles-ci présentaient un idiogramme qui pouvait être traduit par la formule suivante (voir aussi R. FERNANDES, 1945) :

$$2n = 22 = 2 \text{ li} + 2 \text{ Lp} + 4 \text{ L.} + 2 \text{ l.} + 4 \text{ P.}' + 6 \text{ P.} + 2 \text{ pp}$$

Chez *N. tazetta* var. *papyraceus* et *N. tazetta* «White Pearl», KURITA (1954) a établi une formule semblable, nos résultats ne différant que par le fait que nous avons vérifié la présence de deux paires de chromosomes nucléolaires, tandis que KURITA n'a observé qu'une seule. Étant donné que nous avons mis en évidence qu'au diplotène et à la diacinèse il y avait deux bivalents attachés au nucléole, nous croyons que nos résultats sont exacts.

L'étude de la morphologie des chromosomes de toutes les plantes à 21 chromosomes nous a montré que leurs idiogrammes se composaient de deux garnitures, une correspondant à celle des plantes à  $n = 10$  (chromosomes signalés par les lettres A-J sur les figs. 4-6) et l'autre à celle des plantes à  $n = 11$  (chromosomes indiqués par les lettres A'-K' sur les figs. 4-6), d'accord avec les formules suivantes:

$$n = 10 = 1 \text{ li (A)} + 1 \text{ Lp (B)} + 1 \text{ Lp (C)} + 1 \text{ L. (D)} + 1 \text{ L. (E)} + 1 \text{ lp (F)} + 1 \text{ P.}' (G) + 1 \text{ P. (H)} + 1 \text{ P. (I)} + 1 \text{ P. (J)}$$

$$n = 11 = 1 \text{ li (A')} + 1 \text{ Lp (B')} + 1 \text{ L. (C)} + 1 \text{ L. (D')} + 1 \text{ l. (E')} + 1 \text{ P.}' (F) + 1 \text{ P.}' (G') + 1 \text{ P. (H')} + 1 \text{ P. (I')} + 1 \text{ P. (J')} + 1 \text{ pp (K')}^1$$

Ce résultat s'accorde avec celui rapporté par KURITA (1954) pour la forme horticole «Sicily White» (?).

Donc, d'après la constitution chromosomique mise en évidence chez ces plantes, il n'y a pas de doute que les formes à  $2n = 21$  sont des hybrides issus du croisement de formes à  $2n = 20$  avec celles à  $2n = 22$ .

Chez *N. Bertolonii* Parl. et *N. patulus* Lois., qui appartiennent au complexe *Tazetta*, MAUGINI (1953) a trouvé dans

<sup>1</sup> Lorsque les chromosomes sont semblables dans les deux garnitures, les éléments sont choisis arbitrairement sur les figures.

le même méristème radulaire des plaques à 22 et d'autres à 20. D'autre part, l'auteur a constaté que, dans les plaques à 20, les chromosomes pp étaient toujours ceux qui manquaient.

En examinant 70 vues polaires de métaphases chez une plante appartenant à la série *Albiflorae*, nous n'avons remarqué aucun écart relativement au nombre 22 et nous avons vérifié que les chromosomes pp étaient toujours présents. L'examen de 60 plaques chez la plante n.° 257 nous a montré une (fig. 6α) dépourvue du chromosome pp. Nous confirmons donc les observations de MAUGINI, mais nous devons signaler que chez notre matériel le phénomène semble être beaucoup moins fréquent que chez celui de MAUGINI.

La méiose des plantes à  $2n = 21$  a été étudiée par NAGAO (1933) dans les cellules-mères du pollen. Cet auteur a constaté que 20 des chromosomes s'accouplent normalement en formant 10 bivalents et que le chromosome extra, qui correspond au type pp des formes à 22, apparaît comme univalent. De cette façon, les irrégularités rencontrées résultent seulement de la présence de cet univalent, qui se comporte de la manière caractéristique des univalents.

Quelquefois, l'univalent est éliminé, mais, quand il persiste, il peut être inclus dans un des noyaux-fils. De la sorte, des grains de pollen à 10 et d'autres à 11 chromosomes en résultent.

En étudiant la méiose d'une autre plante appartenant à ce groupe, nous avons confirmé entièrement les observations de NAGAO (1933). Les divisions réductrices montrent donc que, bien qu'il y a quelques différences entre les garnitures des plantes à  $2n = 20$  et à  $2n = 22$ , leurs chromosomes possèdent des régions homologues assez étendues pour qu'ils puissent s'accoupler. Cependant, le chromosome pp ne s'apparie en général avec aucun autre élément de la garniture.

Outre les anomalies résultant de l'occurrence d'univalents (Pl. I, figs. 1 et 2), d'autres, dues à la production de ponts accompagnés de fragments, ont été aussi trouvées (Pl. I, figs. 3, 4 et 5). Des phénomènes de cytomixie entre des cellules-mères du pollen ont été observés au cours de la prophase et même à la métaphase I (Pl. I, fig. 6). Bien que

rarement, des diacinèses et des métaphases I montrant la formation de tétravalents soit par les chromosomes longs, soit par les chromosomes courts, ont été observées (Pl. I, figs. 7, 8 et 9).

### 3. Plantes à $2n=30$

Nous avons dénombré 30 chromosomes dans les méristèmes radiculaires de plantes des provenances suivantes (fig. 7) :

N.° 52A — Plante fournie par l'«Orto Botanico di Catania», Sicile, Italie.

N.° 229 — Plante cultivée au Jardin Botanique de Coimbra, dont l'origine était inconnue. Couronne jaune.

N.° 230 — Plante naturalisée aux environs de Torres Novas, Portugal. Forme à fleur double.

N.° 261 — Maison Horticole «Fernandes Coimbra», Valadares, Gaia, Portugal. Feuilles 3-4 par bulbe. Hampe florale ancipitée. Spathe à 6 fleurs. Péricône 4 cm diam. ; divisions périgonales  $16 \times 14$  mm ; couronne 7 mm haute et 10 mm diam. à l'ouverture. Pollen à 43 % de grains avortés.

N.° 265 — Plante naturalisée à Paúl de Portunhos, Ançã, Portugal. Feuilles 2-4 par bulbe, égalant ou dépassant peu la tige florifère, celle-ci légèrement ancipitée. Spathe à 2-4 fleurs. Péricône 35-45 mm diam. ; divisions périgonales blanches, cordées, 15-20 X 10-15 mm ; couronne d'un jaune foncé, 4,5-5,5 mm haute et 8-10 mm diam. à l'ouverture ; style entre les deux rangs des anthères. Pollen à 29 % de grains dégénérés.

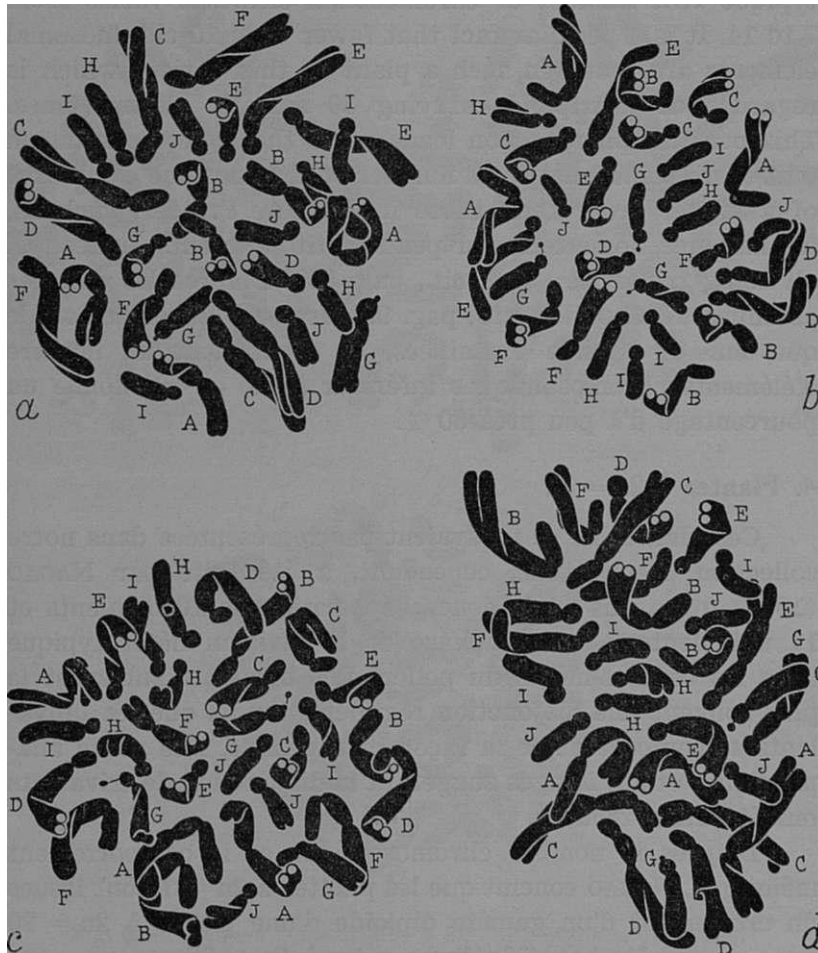
N.° 1293 — *N. tazetta* var. *chinensis*. Osaka-Fu, Japan.

S. n. — S. Tiago do Cacém, Portugal. Plante échappée d'un jardin. Forme à fleur double.

D'accord avec les observations de KURITA (1954) chez la var. *suisen*, nous avons constaté que la garniture des plantes ci-dessus mentionnées (fig. 7) correspondait à la triplification de celle des plantes à  $n=10$ , pouvant, par conséquent, être représentée par la formule :

$$2n=30 = 3 h + 6 Lp + 6 L. + 3 lp + 3 P.' + 9 P.$$

Malheureusement, nous n'avons pas réussi à trouver des cellules-mères du pollen à la méiose chez tout ce matériel. Cependant, l'étude de la méiose a été faite par NAGAO (1933)



**Fig. 7.** — Plaques métaphasiques à  $2n = 30$  chez les plantes n.<sup>os</sup> 230 (a), 265 (b), 1293 (c) et celles de S. Tiago do Cacém s. n. (d). Remarquer l'existence de trois garnitures à  $n = 10$ . X ca. 2400.

chez les formes horticoles «Yellow Prince» et «Chinese Sacred Lily». Chez la première, l'auteur a constaté la formation de 10 trivalents, ainsi que l'apparition d'autres associations telles que  $9_{III} + 3_{I}$ ,  $9_{III} + 1_{II} + 1_{I}$ , etc. Les irrégularités provenant de

la disjonction des trivalents ont été aussi figurées. La méiose de la forme «Chinese Sacred Lily» s'est montré plus intéressante, puisque NAGAO a constaté qu'à la métaphase hétérotypique «the number of chromosomal elements varies from 7 to 14. It is a peculiar fact that fewer than 10 chromosomal elements are found in such a plant as this variety which is regarded as a triploid carrying 30 somatic chromosomes. This peculiar phenomenon leads us to the logical conclusion that there must exist some number of chromosome complexes of a higher order than those in «Yellow Prince», such as, for instance, some tetra- or pentapartite elements, instead of all being tripartite» (loc. cit., pag. 89). D'après les données obtenues, NAGAO (loc. cit., pag. 92) arrive à la conclusion de que, sur 64 figures examinées, 39 montraient un nombre d'éléments chromosomiques inférieur à 10, ce qui donne un pourcentage d'à peu près 60 %.

#### 4. Plantes à $2n = 31$

Ces plantes ne se trouvaient pas représentées dans notre collection. Leur étude, cependant, a été faite par NAGAO (1933) qui a mis en évidence l'apparition de 10 bivalents et 11 univalents à la métaphase de la division hétérotypique dans les cellules-mères du pollen. Les bivalents subissent le plus souvent une disjonction régulière, tandis que les univalents se comportent de la façon bien connue. Des ponts anaphasiques et des images suggérant la disjonction de trivalents ont été aussi trouvés.

D'après le nombre chromosomique et le comportement méiotique, NAGAO conclut que les plantes à  $2n = 31$  sont issues du croisement d'un gamète diploïde d'une plante à  $2n = 20$  avec un gamète haploïde d'une autre à  $2n = 22$ .

#### 5. Plantes à $2n = 32$

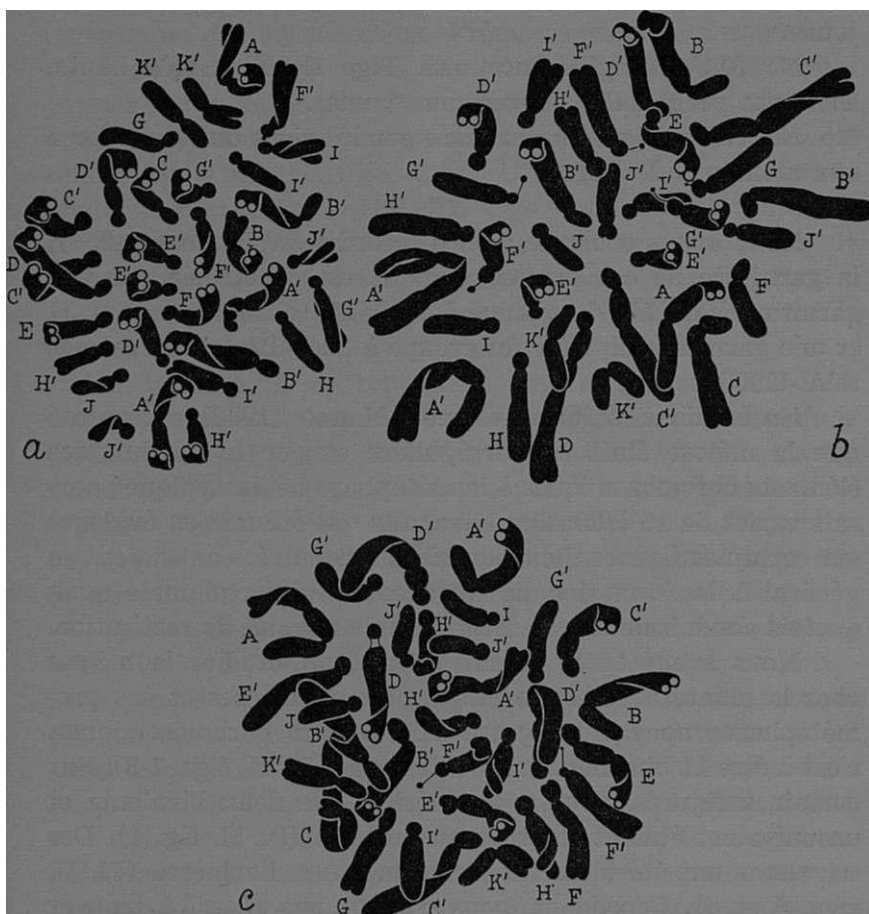
Ce nombre chromosomique a été dénombré dans les méristèmes radiculaires des plantes suivantes (fig. 8) :

N.° 16A—Jardin Botanique de Copenhague.

N.° 187—Plante cultivée dans un jardin de Coimbra. Corolle d'un jaune très clair.



N.° 255 — Plante provenant d'un jardin de Tovim de Cima (alentours de Coimbra).



**Fig. 8.** — Plaques équatoriales à 32 chromosomes dans des cellules du méristème racinaire des plantes n.° 258 (a), 274 (b) et 311 (c). A-J, chromosomes de la garniture de la plante à  $n = 10$ . A'A'-K'K', chromosomes de la garniture de la plante à  $n = 11$ .  $\chi$  ca. 2400.

N.° 258 — Maison Horticole «Fernandes Coimbra», Valadares, Gaia, Portugal. Feuilles plus hautes que la tige florifère, 2 cm larges. Hampe florale ancipitée, 26-30 cm haute. Péricône 3,5 cm diam.; tube 16 mm long; divisions périgonales

presque blanches, 14,5 X 12 mm ; couronne d'un jaune clair, 5 mm haute. Pollen á 14 % de grains avortés.

N.º 274 — Jardin Botanique de Copenhague. Couronne jaune.

N.º 311 — Origine inconnue. Tige florifère très haute. Divisions périgonales et couronne jaunes.

N.º 479 — Plante naturalisée sur les rives du fleuve Leça aux alentours de Porto.

Nous avons constaté que, d'accord avec KURITA (1954), la garniture de ces plantes (fig. 8) est constituée par une garniture haploïde du groupe à  $2n = 20$  (chromosomes A-J) et une garniture diploïde du groupe à  $2n = 22$  (chromosomes A'A'-K'K').

En étudiant la forme «Luna», NAGAO (1933) a constaté que la méiose était très irrégulière et que le nombre des éléments chromosomiques à la métaphase hétérotypique pourrait varier de 16 à 20. Des trivalents ont été mis en évidence sur certaines figures. Les anomalies rencontrées amenaient en général à la formation de tétrades irrégulières, mais quelquefois conduisaient à la formation de noyaux de restitution.

Nous avons eu la chance de pouvoir étudier la méiose chez la plante n.º 258. La plupart des diacinèses et des prométaphases nous ont montré 21 éléments chromosomiques, c'est à dire 11 bivalents et 10 univalents (Pl. II, figs. 1-3). Sur certaines figures, nous avons vérifié que deux bivalents et un univalent étaient attachés au nucléole (Pl. II, fig. 4). Des trivalents ont été identifiés dans quelques diacinèses (Pl. II, figs. 5 et 6). Cependant, nous n'avons pas réussi à trouver un nombre supérieur à un dans une même figure.

Comme les diacinèses, la plupart des métaphases hétérotypiques possédaient 11 bivalents et 10 univalents (Pl. II, figs. 7 et 8). Des trivalents ont été aussi identifiés (Pl. II, fig. 9).

Quelquefois, par le fait que les univalents se localisent au voisinage des pôles ou bien qu'ils se trouvent au dedans du fuseau d'un et d'autre côté du plan équatorial, des télophases seulement avec deux noyaux sont engendrées. Cependant, le plus souvent, après la disjonction des bivalents, les

univalents se placent au plan équatorial et se divisent (Pl. III, fig. 1). Parfois, les chromatides se séparent, mais, n'arrivant pas à temps d'être inclus dans les noyaux principaux, se transforment en des micronoyaux. Fréquemment, les chromatides ne réussissent pas à se séparer et des micronoyaux formés par les deux chromatides en résultent (Pl. III, fig. 2). Des ponts anaphasiques accompagnés de fragments ont été rencontrés (Pl. III, figs. 3-5). L'existence simultanée de ponts et d'univalents (Pl. III, figs. 3-5) donne origine à des figures complexes, lesquelles peuvent venir à former de larges liaisons entre les noyaux principaux (Pl. III, figs. 6 et 7). Ces liaisons amènent sans doute à la formation de noyaux de restitution.

À notre avis, ce type de noyau, si fréquent chez les Narcisses, peut être engendré aussi pendant la prophase de la division homéotypique. En effet, nous avons vérifié qu'assez souvent la cloison ne se développe pas à la télophase hétérotypique. Dans ces cas, les noyaux principaux et les micronoyaux peuvent se mettre tous ensemble pendant la prophase, en aboutissant à la formation de noyaux de restitution.

Quelquefois, on constate que le fuseau ne fonctionne pas à la division hétérotypique et que les bivalents et les univalents, placés au plan équatorial, subissent les transformations télophasiques (Pl. III, fig. 8). Des noyaux de restitution seront aussi engendrés par suite de cette anomalie, comme nous l'avons établi dans un travail antérieur (FERNANDES, 1950).

Comme il était à prévoir, la division homéotypique présente aussi beaucoup d'irrégularités en conséquence de l'existence de ponts et d'un nombre élevé d'univalents. Un fragment localisé au plan équatorial a été identifié sur une anaphase II (Pl. III, fig. 9).

L'analyse du pollen de cette plante nous a montré qu'il y avait un pourcentage élevé de grains avortés et de grains géants. Dans quelques-uns de ces derniers, qui présentaient un aspect bien conformé, nous avons dénombré 32 chromosomes. Ce fait montre que la formation de noyaux de restitution est ici un phénomène fréquent.

D'après la garniture chromosomique et le comportement des chromosomes à la méiose, il n'y a pas de doute que les

plantes étudiées ont été issues du croisement d'un gamète à 22 (diploïde) avec un autre à 10 (haploïde).

Deux autres plantes, l'une provenant du Jardin des Plantes de la ville de Rennes (n.º 384A) et l'autre naturalisée au Portugal entre Colares et Praia das Maças (n.º 549), nous ont montré une garniture chromosomique remarquable (fig. 9). En effet, elles possédaient 30 chromosomes correspondant aux types qu'on rencontre chez les plantes à  $2n=32$  et deux autres chromosomes plus petits : un à peu près sphérique (fig. 9,  $f_1$ ) et l'autre plus long et un peu courbe (fig. 9,  $f_2$ ). Tous les deux possédaient des centromères, puisqu'ils étaient présents sur toutes les plaques et à l'anaphase ils s'acheminaient vers les pôles d'une façon tout à fait régulière.

Par le fait que ces plantes présentaient deux chromosomes pp, il n'y a pas de doute qu'un des gamètes qui les a engendrés a été un gamète non réduit produit par un individu à  $2n=22$ . D'autre part, étant donné qu'on peut identifier dans les plaques équatoriales la garniture haploïde à  $n=10$  (fig. 9, chromosomes signalés A-J), l'autre parent a été un individu à  $2n=20$ . Donc l'origine de ces plantes a été la même que celle des autres individus à  $2n=32$  que nous avons étudié. Cependant, le gamète produit par le parent à  $2n=22$  possédait 20 chromosomes normaux et les deux exceptionnels que nous avons trouvés.

On constate que deux chromosomes du type P., probablement les chromosomes H' ou  $\Gamma$  (nous avons admis sur les figures qui c'étaient les chromosomes I'), manquent dans cette garniture et que le chromosome plus petit semble correspondre à la tête d'un de ces chromosomes et l'autre au bras long. Nous pourrions donc penser que les deux chromosomes exceptionnels ont été engendrés au moyen de la division transversale du centromère d'un chromosome P. Cependant, étant donné que deux chromosomes P. manquent, il pourra arriver que chaque chromosome exceptionnel ait été formé à partir d'un chromosome différent. La formation de ces nouveaux types de chromosomes a été certainement due à la fragmentation, qui pourra avoir été engendrée soit par la rupture d'univalents, soit par la rupture de ponts,

soit encore par la cytomixie, suivie dans chaque cas de la guérison de l'extrémité fracturée.

Les plantes avec cette constitution représentent probablement un clône qui a pris naissance dans les pépinières et

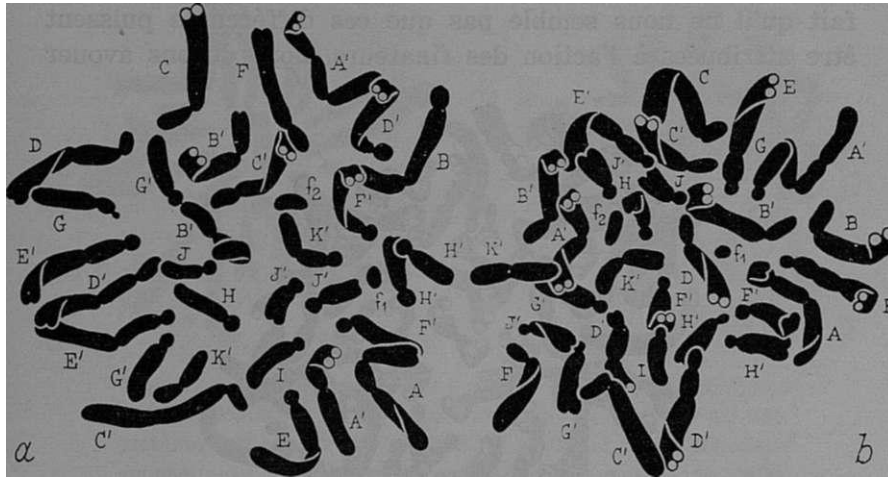


Fig. 9. — Plaques équatoriales à 32 chromosomes, dont deux ( $f_1$  et  $f_2$ ) exceptionnels, chez les plantes n.<sup>os</sup> 348A (a) et 549 (b). Explication dans le texte.  $\chi$  ca. 2400.

s'est répandu dans les jardins. Au Portugal, il a réussi même à se naturaliser.

## 6. Plantes des sections *Aurelia* (J. Gay) Baker et *Serotini* Parl.

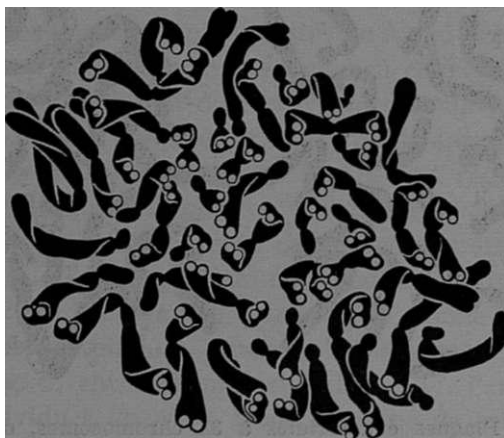
### a) *Narcissus Broussonetii* Lag.

Grâce à l'obligeance de l'Institut Scientifique Chérifien de Rabat, nous avons pu étudier des plantes de *N. Broussonetii* Lag. récoltées à Souss, au bord de l'oued Tidli, près de la plage d'Agadir. Les dénombrements faits dans les méristèmes radiculaires de ces plantes nous ont amené à établir l'existence de 44 chromosomes (fig. 10).

Étant donné que dans un travail antérieur (FERNANDES, 1940) nous avons constaté que des plantes provenant de

Sidi-Ifni possédaient  $2n = 22$ , les plantes d'Agadir sont donc des tétraploïdes.

Il est à remarquer que les chromosomes des types P. et pp que nous avons identifié chez les plantes diploïdes, se présentent beaucoup plus longs chez la plante étudiée. Par le fait qu'il ne nous semble pas que ces différences puissent être attribuées à l'action des fixateurs, nous devons avouer



**Fig. 10.** — *N. Broussonetii* Lag. Plaque métaphasique dans une cellule du méristème radulaire, montrant 44 chromosomes. X ca. 2400.

que nous ne connaissons pas encore la cause à laquelle elles doivent être attribuées.

b) *N. elegans* (Haw.) Spach var. *elegans*

Grâce aussi à l'obligeance de l'Institut Scientifique Chérifien, nous avons eu l'opportunité d'étudier des plantes du type de l'espèce [var. *oxypetalus* (Boiss.) Maire] croissant au Moyen Sebou, au reboisement de l'oued Beth, route Rabat-Meknès. Nous avons dénombré 20 chromosomes dans les cellules des méristèmes radulaires (fig. 11) de ces plantes. La morphologie des chromosomes peut être représentée par la formule suivante:

$$2n = 20 = 2 \text{ h (A)} + 2 \text{ Lp (B)} + 2 \text{ Lp (C)} + 2 \text{ L. (D)} + 2 \text{ L. (E)} + 2 \text{ lp (F)} + 2 \text{ P.' (G)} + 2 \text{ P. (H)} + 2 \text{ P. (I)} + 2 \text{ P. (J)}$$

Il est à remarquer que cette garniture ressemble considérablement celle des plantes de *N. tazetta* L. sens. ampl. à  $2n = 20$ .

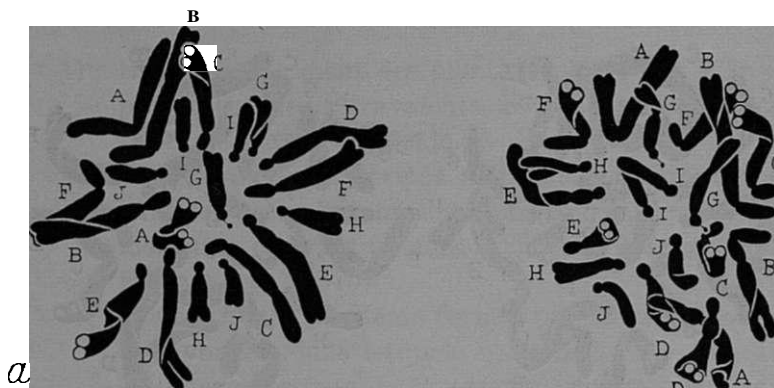


Fig. 11. — *N. elegans* (Haw.) Spach var. *elegans*. Plaques métaphasiques à 20 chromosomes dans des cellules du méristème racinaire de la plante n.° 1233. Les paires chromosomiques sont indiquées par les lettres A-J.  $\chi$  ca. 2400.

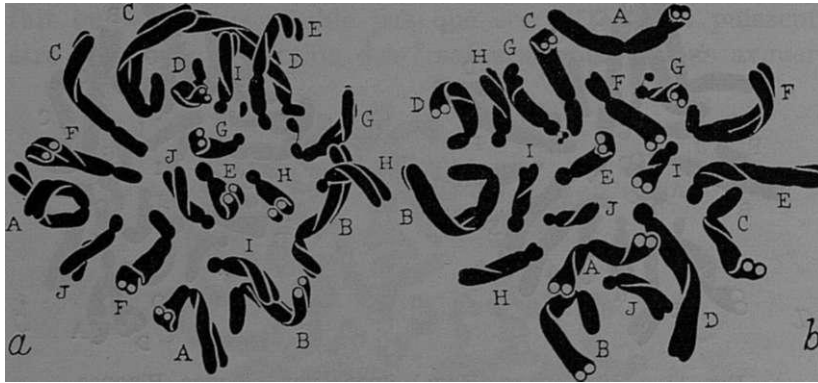
c) *N. elegans* (Haw.) Spach var. *intermedius* J. Gay

Chez des plantes récoltées aux environs de Tetuan, nous avons dénombré aussi 20 chromosomes et nous avons constaté que la garniture chromosomique est semblable à celle de la var. *elegans*.

MAIRE (1959) considère cette variété comme un hybride entre *N. elegans* et *N. serotinus*.

Dans un travail sous presse, nous avons mis en évidence qu'il y a chez *N. serotinus* des formes diploïdes à  $2n = 10$  et des formes hexaploïdes à  $2n = 30$ . Le croisement des premières formes avec *N. elegans* devrait donner naissance à des plantes pourvues de 15 chromosomes, tandis que le croisement avec les deuxièmes devrait engendrer des formes à  $2n = 25$ . Les données caryologiques semblent donc n'être pas d'accord avec l'origine hybride de la var. *intermedius*. Cependant, il pourra-t-arriver qu'il y aura chez *N. serotinus* des formes tétraploïdes, lesquelles, croisées avec *N. elegans*, engendreraient des plantes à  $2n = 20$ . Nous pourrions encore

penser qu'il y a eu une erreur d'identification et que les plantes que nous sont parvenues de Tetuan correspondent plutôt à la var. *elegans* qu'à la var. *intermedius* [*X N. obsoletus* (Haw.) Spach].



**Fig. 12.** — *N. elegans* Spach var. *intermedius* J. Gay. Plaques métaphasiques à 20 chromosomes dans des cellules du méristème racinaire chez la plante n.º 441. Les paires chromosomiques sont indiquées par les lettres A-J. X ca. 2400.

#### DISCUSSION

Comme nous l'avons remarqué, notre premier avis (FERNANDES, 1931) a été que le chiffre de base de *N. tazetta* L. sens. ampl. était 5. NAGAO (1933) admet que le nombre de base est 10 et que 11 a été dérivé de 10 par fragmentation. N'ayant réussi à trouver aucune plante à  $2n = 10$  et en nous basant sur les résultats obtenus par l'étude de la méiose des formes à  $2n = 22$ , nous (FERNANDES, 1937&) avons été portés à penser que le nombre 10 était secondairement dérivé de 7, puisque ce nombre, existant chez le plus grand nombre d'espèces du genre, avait plus de probabilités d'être primitif. KURITA (1954) admet que 10 et 11 sont tous les deux nombres de base de *N. tazetta*.

Par le fait que nous avons trouvé chez *N. serotinus* des populations à  $2n = 10$  (FERNANDES, sous presse), il n'y a à présent aucun doute que 5 est aussi le nombre de base de *N. tazetta*, pouvant même arriver que des plantes à  $2n = 10$



existent encore dans quelque île de la Méditerranée ou sur les côtes de cette mer. Les nombres 10 et 11 sont évidemment secondairement dérivés de 5 et en faveur de ce point de vue nous pouvons présenter les arguments suivants:

- 1) Bien que rarement, les plantes à  $2n=20$  et à  $2n=21$  présentent des tétravalents, ce qui met en évidence son caractère tétraploïde.
- 2) Des tétravalents formés soit par les chromosomes longs, soit par les chromosomes courts, ont été aussi identifiés chez les plantes à  $2n=22$  (NAGAO, 1933; FERNANDES, 1937b).
- 3) Apparition de bivalents formés par autosyndèse chez les hybrides dans lesquels n'existe qu'une garniture à 10 chromosomes de *N. tazetta* (FERNANDES, 1950).
- 4) Formation de tétra- et pentavalents chez la forme horticole «Chinese Sacred Lily» à  $2n=30$  (NAGAO, 1933).

Les plantes à 20 et à 30 chromosomes sont donc des anciens tétra- et hexaploïdes qui à présent se comportent presque comme des diploïdes et triploïdes respectivement.

La garniture des formes diploïdes de *N. serotinus* peut être représentée par la formule suivante:

$$2n = 10 = 2 LL + 2 'Ll + 2 Lp + 2 L. + 2 li$$

Il est probable que l'ancêtre du *N. tazetta* sens. ampl. aurait eu une garniture ayant de ressemblances avec celle de *N. serotinus*. Cet ancêtre, probablement par suite de la formation de gamètes non réduits, aurait engendré des tétraploïdes. Comme BATEMAN (1952, 1954) et nous-même (FERNANDES, 1964) l'avons fait remarquer, les espèces de *Narcissus* sont assez souvent incompatibles, ce qui les rend plus ou moins hétérozygotes. Alors, les deux garnitures provenant de chaque gamète non réduit auront plus de tendance à s'apparier que les garnitures issues de gamètes différents. Par le fait que les types chromosomiques qu'on trouve chez le *N. tazetta* actuel présentent des différences par rapport aux types existant chez les ancêtres, il est certain que les tétra-

ploïdes ont subi des altérations structurelles qui ont certainement contribué à rendre plus intense la diversification des garnitures. La cytomixie aurait peut-être joué ici son rôle, comme nous l'avons mis en évidence chez *N. Fernandesii* (FERNANDES, 1966b). De la sorte, les formes tétraploïdes se sont converties en des diploïdes fonctionnels et leur chiffre 10 semble un nombre de base. Les formes tétraploïdes, probablement au moyen de la copulation d'un gamète non réduit à 20 chromosomes avec un autre haploïde à 10, auraient engendré ensuite les formes à 30 qui, bien qu'hexaploïdes, se comportent comme des triploïdes.

Digne de remarque est le fait que, chez les hybrides à  $2n = 31$  et  $32$ , on trouve le plus souvent 10 et 11 univalents. Ça veut dire qu'il y a eu une diversification relativement considérable entre les garnitures des formes à  $2n = 20$  et à  $2n = 22$ . En tout cas, lorsque les deux garnitures sont mises en présence, les 10 éléments d'une s'accouplent avec les 10 de l'autre, tandis que le surnuméraire (pp) demeure généralement comme univalent (jusqu'à présent, il n'a pas été possible de mettre en évidence son appariement avec quelque autre élément de la garniture).

Les différences les plus importantes entre les garnitures des plantes à  $2n = 20$  et à  $2n = 22$  concernent principalement le chromosome F, qui est du type  $Lp$  chez les premières et du type P.' chez les deuxièmes, et l'existence d'un chromosome pp (K) qui n'existe pas dans les premières. Étant donné qu'il y a chez les hybrides (plantes à 21 chromosomes) formation régulière de 10 bivalents, les deux garnitures ont beaucoup d'analogies, ce qui nous porte à la conclusion de que la garniture des plantes à  $2n = 22$  a été dérivée de celle des formes à  $2n = 20$ .

En étudiant la mitose dans les grains du pollen d'une plante à  $2n = 20$  (FERNANDES, 1950), nous avons trouvé une prophase (fig. 3b, pag. 5) pourvue d'un chromosome surnuméraire pp, c'est à dire du type de la paire surnuméraire qu'on trouve chez les plantes à  $2n = 22$ . Nous avons alors suggéré que ce chromosome pourrait avoir été engendré par suite de la rupture d'un univalent du type  $Lp_1$ , effectuée par le développement de la cloison.

À notre avis, les plantes à  $2n = 22$  ont pris naissance à partir de celles à  $2n = 20$  au moyen de translocations qui ont amené à la diminution de la longueur des bras courts de quelques chromosomes (B, C et D) et à la transformation d'un chromosome lp dans un autre P.'. De plus, ces translocations auraient été accompagnées de la formation d'un nouveau type de chromosome (pp).

Dans un travail récent (FERNANDES, 1966b), nous avons mis en évidence l'importance que la cytomixie pourra jouer chez les tétraploïdes en ce qui concerne la naissance d'altérations structurelles de tous les types et la création de nouveaux types chromosomiques. Étant donné que nous avons mis en évidence que le phénomène a aussi lieu chez les plantes étudiées, nous croyons que la cytomixie pourrait avoir joué son rôle dans la différenciation des plantes à  $2n = 22$ .

Le chromosome pp pourrait avoir été engendré par suite de la rupture d'un univalent ou d'un pont, mais il pourrait aussi avoir pris naissance pendant la prophase par suite de la cytomixie. Les trois processus pourraient amener donc à la formation du même type de chromosome, mais il est très difficile de dire quel a été le processus qui a eu plus de probabilités. Quel que soit le mécanisme de la formation de ce chromosome, ce qui a d'importance est le fait que, d'après les observations de MAUGINI (1953) et des nôtres, le comportement de ce chromosome, que, comme nous l'avons vu, est quelquefois éliminé pendant les mitoses somatiques, est rendu clair en admettant qu'il s'agit d'un chromosome dont une extrémité a été rompue, ce qui est d'accord avec les processus envisagés en ce qui concerne sa formation. Dans certains cas, comme il semble être chez les plantes de la série *Tazettinae Albae*, l'extrémité rompue de ce chromosome est guérie et, par conséquent, il se comporte normalement, tandis que chez certaines plantes de la série *Tazettinae Luteae* la guérison n'est pas encore complète et il forme parfois des ponts qui amènent souvent à son élimination. La suggestion de NAGAO (1933), d'après laquelle le chiffre 11 a été dérivé de 10 par fragmentation d'un chromosome long, semble donc être confirmée.

Par suite de la beauté et du parfum de leurs fleurs, du fait qu'elles peuvent fleurir en automne, en hiver et au printemps et de la facilité de culture, les plantes appartenant à *N. tazetta* sens. ampl. ont été remarquées par l'homme depuis les temps les plus reculés (vide HANNIBAL, 1946). Par ce fait, elles ont été transportées de la région méditerranéenne dans d'autres endroits, même en Inde, Chine et Japon, où elles se sont naturalisées assez souvent. D'autre part, ces plantes ont été utilisées par les pépiniéristes dans le but de fournir les marchés de bulbes. En outre, les pépiniéristes et les personnes passionnées de la culture de ces plantes ont pratiqué la sélection et effectué des hybridations pour obtenir de nouvelles formes. Ces plantes se sont répandues et elles se sont échappées souvent des jardins et devenues naturalisées à beaucoup d'endroits. Il est donc à présent très difficile de distinguer entre ce qui est spontané et ce qui ne l'est pas. De cette façon, l'établissement de l'aire géographique et l'éclaircissement de la taxonomie de ces plantes sont devenus des problèmes de grande difficulté.

En ce qui concerne la distribution géographique, nous croyons que l'aire de ces plantes se borne au pourtour de la Méditerranée et aux îles de cette mer, à la côte atlantique du Maroc, aux îles Canaries et aux côtes atlantiques de la Péninsule Ibérique, où elle ne dépasse pas probablement le bassin du Tage. Cette distribution correspond à peu près à celle représentée sur la fig. 12 de notre travail de 1951 (FERNANDES, 1951), à la condition de supprimer l'aire correspondante à la côte atlantique de la Péninsule Ibérique située au nord du bassin du Tage, puisque nous croyons que les localités indiquées pour cette région sont des endroits où les plantes se sont échappées des jardins.

Comme on le sait, BAKER (1888) a rassemblé dans une seule les 6 dizaines (ou peut-être plus) d'espèces qui avaient été décrites par HAWORTH et d'autres auteurs. Les taxa qu'il distingue dans cette espèce sont rangés en trois séries qu'il nomme *Tazettinae Bicolores*, *Tazettinae Albae* et *Tazettinae*

*Luteae*<sup>1</sup>, d'après la couleur de la couronne et de celle des divisions périgonales. **BAKER** sépare 4 sous-espèces dans la première série, 6 dans la seconde et 4 dans la troisième.

En tenant compte des critères qui ont été suivis plus récemment en ce qui concerne la délimitation des espèces dans d'autres groupes du genre, nous considérons aujourd'hui le critère de **BAKER** très drastique. Étant donné que les plantes de la série *Hermione* possèdent un caryotype différent de celui des membres des séries *Albiflorae* et *Luteiflorae*, la distinction en deux groupes se justifie du point de vue caryologique. Cependant, les différences morphologiques existant entre ces deux groupes (série *Hermione* d'un côté et séries *Albiflorae* et *Luteiflorae* de l'autre) sont de l'ordre de celles qui permettent séparer la série *Albiflorae* de la *Luteiflorae*. De cette façon, nous sommes à présent de l'avis qu'on devra considérer comme des espèces les sous-espèces distinguées par **BAKER**. Ce point de vue est aussi partagé par **MAUGINI** (1952, 1953). Nous aurons donc les espèces mentionnées sur la liste suivante (on ajoute aux taxa distingués par **BAKER** les espèces *N. Barlae* Parl. et *N. Gussonei* Rouy et on supprime *N. dubius* Gouan<sup>2</sup>):

**Ser. Hermione**

- N. tazetta* L.
- N. corsyrensis* Herb.
- N. patulus* Lois.
- N. ochroleucus* Lois.

**Ser. Luteiflorae** Rouy

- N. italicus* Ker-Gawl.
- N. Gussonei* Rouy

<sup>1</sup> Il est évident que la nomenclature employée par **BAKER** ne peut pas se maintenir, puisque *Series*, comme l'article 4 du Code de Nomenclature l'établi, est un taxon compris entre la *Subsectio* et la *Species*. D'autre part, la terminaison *inae* s'applique à la *Subtribus*. De cette façon, nous devons utiliser pour les séries de **BAKER** les désignations suivantes: Ser. *Hermione* (celle qu'englobe le type, c'est à dire l'espèce *N. tazetta* L.), Ser. *Albiflorae* Rouy et Ser. *Luteiflorae* Rouy,

<sup>2</sup> Voir **FERNANDES** (1937α).

- N. Bertolonei* Parl.  
*N. aureus* Lois.  
*N. cupularis* (Salisb.) Bertol. ex Schultes

Ser. Albiflorae Rouy

- N. papyraceus* Ker-Gawl.  
*N. Barlae* Parl.  
*N. Panizzianus* Parl.  
*N. polyanthos* Lois.  
*N. pachybolbus* Dur.  
*N. canariensis* Herb.

Nous avons montré dans un travail antérieur (FERNANDES, 1951, pag. 14) que, bien qu'il y a chez le genre *Narcissus*, tel qu'il a été compris par LINNÉ, deux caryotypes distincts, il ne devra pas être divisé en deux. Dans ce genre, nous séparons deux sous-genres, *Hermione* (Haw.) Spach et *Narcissus*, dont les différences ont été établies dans un autre travail (FERNANDES, sous presse).

La figure de la Pl. TV montre les rapports phylogénétiques que nous croyons les plus probables chez le sous-genre *Hermione*. Comme nous l'avons référé dans un travail antérieur (FERNANDES, 1966α), TRAUB (1963) est amené à la conclusion de que probablement le nombre de base de la famille des *Amaryllidaceae* est 6. Il est donc vraisemblable que l'ancêtre du genre *Narcissus* <sup>1</sup>ait été une plante pourvue de

<sup>1</sup> Bien que, comme le remarque CROZAT (1966), l'âge de fossilisation et l'âge d'origine puissent ne pas coïncider (il pourra cependant arriver qu'ils coïncident ou soient proches), le critère des fossiles, comme plusieurs auteurs le remarquent, reste encore le plus sûr pour déterminer l'âge des êtres vivants. Donc, en absence de fossiles, il est très difficile d'établir l'époque de l'apparition de l'ancêtre direct des Narcisses, car nous sommes bornés à utiliser seulement les données de la distribution géographique en corrélation avec celles de l'histoire de la terre établies par les géologues et les paléogéographes et l'analyse des caractères de la morphologie externe des plantes actuelles pouvant traduire «primitivité» ou «avancement». Nous basant sur ces données, nous avons suggéré (FERNANDES, 1939) que l'ancêtre direct du genre aurait fait son apparition au Tertiaire; «peut-être un peu après la

$2n = 12$ , ayant des rapports avec les ancêtres des *Galantheae* actuels, puisqu'on rencontre dans cette tribu, la plus proche des *Narcisseae*, des espèces à  $2n = 24, 36$  et  $48$ , c'est à dire à nombre de base 6.

La plante à  $2n = 12$ , par suite de translocations accompagnées de l'élimination d'un chromosome, aurait engendré des gamètes à  $n = 5$  dont la copulation aurait amené à la formation d'une autre plante à  $2n = 10$ , qui a été la souche du plus grand nombre des espèces du sous-genre *Hermione* (sections *Hermione* et *Serotini* Parl.). L'autre partie, c'est à dire la section *Aurelia* (J. Gay) Baker, aurait probablement pris naissance par amphidiploïdie, après l'hybridation d'une plante à  $n = 5$  avec l'ancêtre ( $5+6 \times 2 = 22$ ). Ce serait l'origine du *N. Broussonetii* Lag., espèce à couronne rudimentaire, caractère résultant peut-être de la dominance de la forme ancestrale. *N. Broussonetii* a engendré ensuite des formes tétraploïdes à  $2n = 44$ .

Le sous-genre *Narcissus* aurait probablement pris nais-

formation des chaînes alpines, une espèce primitive du genre est apparue» (loc. cit., pag. 532). Plus tard (FERNANDES, 1951), en constatant que l'évolution des Narcisses s'opère d'une façon très rapide (pour s'en rendre compte il ne faut que penser aux innombrables formes apparues dans les cultures pendant les dernières 200 années) et que la paléogéographie de la région méditerranéenne au début du Quaternaire d'après WEGENER nous suffirait à expliquer les aires des espèces, nous avons considéré «très probable que l'espèce ancestrale ait fait son apparition au commencement du Quaternaire» (loc. cit., pag. 120). Cependant, pour expliquer certaines aires, nous avons admis que l'espèce ancestrale serait déjà établie avant les effondrements de la Méditerranée occidentale (loc. cit., pag. 127), événement que, d'après les géologues, a eu lieu vers la fin du Tertiaire. Donc, nous pourrions dire que nous avons situé toujours l'apparition de l'ancêtre du genre *Narcissus* au Tertiaire, non loin, par conséquent, de celle des *Crepis*.

Après avoir considéré longuement le problème, CROIZAT (1966) est amené à conclure que «*Narcissus* et *Leucojum* n'aient pas été loin... à l'époque où les Alpes, les Pyrénées, etc. commencèrent à se soulever au-dessus de simples collines» (loc. cit., pag. 102). On constate ainsi que CROIZAT est arrivé à la conclusion à laquelle nous avons été parvenus et alors nous ne comprenons pas le bruit fait par cet auteur aux pages 80, 81, etc. de son article. C'est dommage que CROIZAT n'ait pas lu notre travail de 1939.

sance au moyen de la fusion des gamètes à  $n = 7$  qui auraient été engendrés aussi lorsque de la formation des gamètes à  $n = 5$ <sup>1</sup>. De la sorte, nous pourrions expliquer que le genre soit monophylétique, bien qu'il possède deux nombres de base. Ce point de vue s'accorde avec le fait que quelques chromosomes de *N. poeticus* s'apparient avec des chromosomes de *N. tazetta* chez l'hybride *N. poetaz* «Alsace» (voir FERNANDES, 1950).

Quelques-unes des plantes à  $2n = 10$  ainsi différenciées auraient donné naissance à des tétraploïdes dont les garni-

<sup>1</sup> Nous ne croyons pas qu'un simple processus de non-disjonction ait été à la base de la formation des chiffres 5 et 7, mais nous admettons que la non-disjonction a agit ensemble avec des translocations, puisque la simple non-disjonction engendrerait vraisemblablement des gamètes à  $n = 5$  qui ne seraient pas viables.

La région où ces phénomènes ont eu lieu et, par conséquent, où se sont différenciées les souches des deux sous-genres est pour nous le centre d'origine et de dispersion du genre.

CROIZAT (1966) affirme que ce centre est de notre choix. Nous l'avons choisi évidemment, mais le choix n'a pas été fait arbitrairement, comme cet auteur (loc. cit., pag. 82) semble l'insinuer. Ainsi, voyons ce que nous avons écrit en 1939 (FERNANDES, 1939, pag. 532):

«En laissant de côté toutes les espèces qui ont eu une origine hybride et auxquelles aucune station vraiment spontanée n'a été assignée et en considérant la plupart des autres espèces *sensu amplo*, nous pourrions dire que le genre *Narcissus* se compose de 12 espèces (*N. bulbocodium*, *N. pseudonarcissus*, *N. triandrus*, *N. juncifolius*, *N. jonquilla*, *N. rupicola*, *N. serotinus*, *N. elegans*, *N. viridiflorus*, *N. poeticus*, *N. tazetta* et *N. Broussonetii*).

L'étude de la répartition géographique montre que toutes ces espèces, sauf peut-être *N. poeticus*, possèdent des représentants dans les montagnes comprises entre les anciens détroits Bétique et Sud-Rifain. On constate aussi que beaucoup d'espèces se trouvent simultanément de part et d'autre de la Méditerranée (*N. bulbocodium*, *N. rupicola*, *N. serotinus*, *N. elegans*, *N. tazetta* et *N. viridiflorus*). Il est donc probable, d'après ces faits, que le centre d'origine et de dispersion du genre *Narcissus* ait été la région constituée par le Sud de l'Espagne, le Nord du Maroc et la zone intermédiaire qui se trouve à présent effondrée sous les eaux de la Méditerranée».

Nous pourrions ajouter que dans cette région et dans ses alentours se situent les taxa diploïdes—les plus anciens évidemment—, tandis qu'aux bords des aires il y a abondance de formes polyploïdes



tures auraient ensuite subi une diversification telle que les aurait changé en des diploïdes fonctionnels. Ce serait la souche des espèces de la série *Hermione* qui, probablement par mutation de gènes, aurait engendré les espèces de cette série mentionnées sur le schéma. Par l'action combinée de translocations et du processus que nous avons décrit (fracture d'un chromosome long provoquée soit par la cytomixie, soit par l'action du développement de la cloison sur un univalent retardataire, soit encore par la rupture d'un pont) des gamètes à 11 chromosomes auraient pris naissance. Au moyen de la copulation de ceux-ci, des plantes à  $2n = 22$ , c'est à dire les souches des séries *Luteiflorae* et *Albiflorae*, auraient été engendrées. À partir de ces souches, les espèces mentionnées sur le schéma se seraient différenciées.

Comme nous l'avons signalé, la garniture des anciens tétraploïdes s'est diversifiée de telle sorte que 10 semble être maintenant un nombre de base. Des plantes à  $2n = 30$  se sont alors engendrées. Celles-ci sont des hexaploïdes quant au nombre de chromosomes, mais des triploïdes fonctionnels. Cependant, le caractère hexaploïde se révèle quelquefois. Les plantes à  $2n = 22$  ont donné aussi origine à des pseudo-triploïdes à  $2n = 33$ <sup>1</sup>.

(voir surtout dans nos travaux de 1951, 1959a, b et 1963 les cartes de distribution des espèces des sections *Corbularia*, *Ajax*, *Jonquilla* et *Hermione*). D'autre part, les routes de migration de presque toutes les espèces divergent de la région que nous avons considéré comme centre d'origine et de dispersion.

Nos raisonnements pourront être mal conduits ou même faux, mais ce sont les faits que nous mentionnons ci-dessus qui nous ont imposé le choix, qui n'est donc nullement arbitraire.

<sup>1</sup> Bien que nous ayons parlé assez souvent de mutations de gènes, d'altérations structurelles des chromosomes, de Polyplodie, d'hybridations, etc. et malgré le fait que nous avons (FERNANDES, 1951, pag. 165) écrit un chapitre sur «Les processus évolutifs chez le genre *Narcissus* L.», CROZAT (loc. cit., pag. 82) dit que, selon notre conception, «la formation de ces espèces serait donc le fait des émigrations, qui se sont déchargées d'elles par-ci, par-là au cours de leurs déplacements».

A notre avis, qui correspond aussi à celui de presque tous les biologistes, les processus évolutifs dont nous avons parlé peuvent avoir lieu partout, provoqués par des causes qui ne peuvent pas être analysées ici. Dans certaines conditions de milieu, les nouvelles formes,

BOWLES (1934) remarque que « None of the forms in Series I, Section b (c'est à dire les plantes à couronne d'un jaune clair), have been found wild; they seem to have been raised in Holland, perhaps by crossing orange-cupped forms with white ». D'accord avec BOWLES, nous croyons que les formes à  $2n = 21$ , 31 et 32, issues respectivement des croisements 10 X 11, 20 X 11 et 10 X 22, sont d'origine horticole, bien que quelques-unes se soient échappées des jardins en devenant naturalisées dans quelques localités.

Il est à remarquer que *N. elegans* var. *elegans* et var. *intermedius* possèdent une garniture chromosomique semblable à celle qu'on trouve chez les plantes de la sér. *Hermione*. En tenant compte de cette particularité et du fait que *N. elegans* présente, comme nous l'avons signalé (FERNANDES, 1943), des caractères de la morphologie externe qui ressemblent à ceux du groupe *Tazetta* — feuilles planes jusqu'à 7 mm larges, contemporaines des fleurs, hampe florale un peu comprimée, fleurs à divisions périgonales blanches et couronne jaune et ombelles multiflores — nous avons rangé cette espèce

engendrées au moyen des processus ci-dessus mentionnés, peuvent n'être pas viables, tandis que les anciennes le sont. Les anciennes continueront. Cependant, il peut arriver que les conditions du milieu permettent la vie des nouvelles formes et des anciennes. Dans ce cas, elles pourront cohabiter. S'il y a des habitats différents dans la même région, les anciennes pourront continuer à vivre dans les habitats originels, mais les nouvelles pourront s'adapter aux nouveaux. Et alors si les habitats originels disparaissent et que les régions n'offrent que les nouveaux, les formes anciennes seront arrêtées, tandis que les autres continueront. Ainsi apparaissent de nouveaux taxa pendant les émigrations. Il est évident que dans l'aire occupée par un certain taxon, des conditions peuvent survenir qui peuvent amener à la disparition de la forme ancienne qui peut ou non être substituée par une autre. Nous pourrions présenter des exemples de tout ceci, mais ils se trouvent dans des articles antérieurs (FERNANDES, 1939, 1943, 1951, 1959 $\alpha$ , *b*, 1963, 1966b).

Le rôle des migrations est donc très important, non seulement par le fait que les nouvelles conditions du milieu auxquelles les diaspores ou les plantes peuvent passer à être soumises sont quelquefois à la base des modifications du génome qui pourront conduire à la naissance de nouveaux taxa, mais aussi par le fait que la sélection naturelle pourra aboutir à des résultats différents de ceux auxquels elle abou-

dans la section *Hermione*, bien qu'elle présente aussi des ressemblances avec *N. serotinus* L.

L'inclusion de *N. elegans* dans la section *Hermione*, amène à la division de cette section en deux sous-sections, ainsi caractérisées :

Subsect. *Hermione* — Folia plana, usque ad 50 cm (vel ultra) alta et 2 cm lata; perigonii lobi ovati vel obovati, ± apiculati; coronna cupuliformis, 4-5 mm alta. Fl. Dec-Apr,

Subsect. **Angustifoliae**, subsect. nov. — Folia plana vel subcylindrica, usque ad 40 cm alta et 7 mm. lata; perigonii lobi lineari-lanceolati, acuti; coronna conica, 1,5-2 mm alta. Fl. Oct.-Nov.

Étant donnée l'analogie des garnitures, nous croyons que la série *Hermione* et la sous-section *Angustifoliae* sont issues

tirait dans l'ancien habitat. D'autre part, les émigrations peuvent amener à l'isolement géographique dont l'importance est bien connue en ce qui concerne l'établissement de nouveaux taxa.

Cependant, la formation des espèces ne pourra être attribuée qu'aux processus évolutifs dont nous avons parlé et il est évident qu'il pourra y avoir différenciation d'espèces sans qu'il y en ait des migrations et vice-versa.

Nous espérons que, après cette explication, notre pensée sera rendue claire à Mr. CROIZAT et nous nous permettons d'ajouter qu'il nous semble que cette notre façon d'envisager les choses, basée sur les résultats expérimentaux de la génétique et de la cytogénétique, est *plus scientifique* que celle de Mr. CROIZAT, qui fait appel à des mystérieuses *tendances* («une tendance nettement marquée *veut* — souligné par nous — que chez les végétaux en général...», loc. cit., pag. 75, «un groupe de plantes qui, pour nous du moins, ne serait pas loin des Córystospermacées et de leurs alliées *fut touché* — souligné par nous — par une modification du processus jadis normal de son embryogénie. Cette modification déclencha une tendance... Cette tendance prit un cours très différent...», loc. cit., pag. 77, etc.) et à l'orthogénèse, théorie dont la fausseté a été montrée par les données de la génétique. D'autres fois, Mr. CROIZAT fait appel aux mots magiques *formation vicariante* (loc. cit., pags. 94, 121, etc.), pour expliquer l'origine de certains taxa. Le vicarisme existe certes (cependant, il faut faire attention au vicarisme *sensu latissimo* de Mr. CROIZAT auquel nous reviendrons dans un travail ultérieur), mais il faut expliquer le mécanisme de la différenciation des taxa vicariants, puisque, à notre avis, les mots magiques seuls ne suffisent pas.

de la même souche tétraploïde à  $2n = 20$ . Le type de l'espèce de *N. elegans* aurait donné naissance à la var. *intermedius* qui, à son tour, aurait engendré la var. *fallax*, probablement au moyen du mécanisme que nous avons envisagé dans un travail antérieur (vide FERNANDES, 1943, pag. 28).

Dans la vaste aire occupée par *N. serotinus* L., il y a des formes diploïdes à  $2n = 10$  (Maroc et Portugal) et des formes hexaploïdes (côtes de la Catalogne et des îles Baléares). En considérant que des populations de beaucoup de régions n'ont pas encore été étudiées au point de vue caryologique, il est à présumer que *N. serotinus* formera un complexe polyploïde et que des formes triploïdes et tétraploïdes existeront aussi.

Nous croyons que la garniture des formes diploïdes de cette espèce, composée par des chromosomes très longs isobrachiaux ou presque et une seule paire céphalobrachiale, se ressemblerait beaucoup à celle de l'ancêtre direct du sous-genre *Hermione*. Par le fait que *N. elegans* possède des ressemblances avec *N. serotinus*, nous croyons que la forme diploïde qui a engendré les tétraploïdes qui ont été les souches des sous-sections *Hermione* et *Angustifoliae* serait proche de l'ancêtre du *N. serotinus* actuel. L'évolution dans cette espèce a eu lieu par polyploïdie accompagnée d'altérations structurelles des chromosomes, comme la garniture des formes hexaploïdes (FERNANDES, 1943 et sous presse) le montre. Ces altérations structurelles ont changé ces hexaploïdes en des diploïdes fonctionnels.

La comparaison des aires de distribution géographique des espèces appartenant aux sous-genres *Hermione* (figs. 10-13 de notre travail de 1951) et *Narcissus* (figs. 1-9, 14, 15, 16 et 18 du même travail) montre que les premières sont particulièrement des plantes du littoral, tandis que les deuxièmes sont surtout des plantes de montagne qui ont cependant récemment donné origine à des taxa qui se sont approchés du littoral à plusieurs endroits. Il semble donc que les deux sous-genres peuvent être considérés comme vicariants.

À notre avis, deux hypothèses sont possibles pour expliquer ces faits:

1) La distribution des deux sous-genres serait la conséquence des conditions créées dans la région méditerranéenne par les glaciations du Quaternaire. Les espèces du sous-genre *Hermione*, incapables de s'adapter aux températures basses, se sont réfugiées au bord de la Méditerranée et des côtes plus chaudes de l'Atlantique. Après le rétrécissement des glaces, ces plantes se sont bornées à avancer des régions côtières vers l'intérieur des pays, ainsi qu'à poursuivre dans quelques endroits le long des côtes.

Par contre, les espèces du sous-genre *Narcissus* ont réussi à résister au froid, en demeurant des plantes de montagne. Après le rétrécissement des glaces, ces plantes se sont répandues vers le nord en peuplant les montagnes libres de glaces et en donnant origine à d'autres taxa qui sont descendus des montagnes vers les régions côtières à latitudes diverses.

2) Les deux sous-genres se sont différenciés avant les mouvements qui ont donné naissance aux chaînes alpines. Les représentants du sous-genre *Hermione*, distribués sur les terres basses, ont toujours y persisté en peuplant les côtes de la Méditerranée et celles de l'Atlantique comprises dans la région méditerranéenne. Les taxa déjà différenciés du sous-genre *Narcissus* auraient monté avec les terrains, en devenant des plantes de montagne, d'où elles sont descendues à plusieurs endroits.

Nous croyons que la première hypothèse est la plus probable, puisqu'elle nous explique les aires de toutes les espèces et les directions des migrations actuelles, tandis que la deuxième ne s'accorde pas avec la distribution de *N. rupicola*, *N. jonquilla*, *N. viridiflorus*, *N. triandrus* et *N. bulbocodium*.

Cependant, nous devons avouer qu'on connaît encore peu de choses en ce qui concerne la dissémination des espèces de *Narcissus*. Nous espérons que des recherches déjà entreprises pourront nous aider à éclaircir les processus au moyen desquels les espèces ont élargi leurs aires <sup>1</sup>.

<sup>1</sup> Ces recherches pourront, nous le croyons, répondre concrètement à certaines questions soulevées par l'article de CROIZAT (1966).

## RÉSUMÉ ET CONCLUSIONS

1. L'éventuelle formation de tétravalents chez les plantes de *N. tazetta* L. sens. ampl. à  $2n = 20, 21$  et  $22$ , ainsi que l'apparition occasionnelle d'associations de chromosomes à nombre supérieur à 4 chez des plantes à  $2n = 30$  du même taxon et encore la découverte de plantes de *N. serotinus* L. à  $2n = 10$  montrent que 5 est le nombre de base primaire de *N. tazetta* sens. ampl.

2. Le nombre 10 a été engendré par tétraploïdie, mais il y a eu dans les tétraploïdes une diversification des garnitures telle qu'ils sont devenus des diploïdes fonctionnels. Le nombre 10 se comporte donc à présent presque comme un véritable chiffre de base.

3. Le nombre haploïde 11 a été probablement dérivé de 10 au moyen de la fragmentation d'un chromosome long, provoquée soit par la rupture d'un univalent ou d'un pont, soit par la cytomixie. L'addition d'un chromosome à la garniture de 10 a été accompagnée d'altérations structurelles qui ont amené à des changements dans la morphologie de certains chromosomes.

4. La guérison de l'extrémité fracturée du chromosome extra semble être complète chez les plantes de la série *Albiflorae*, mais non chez quelques-unes de la série *Luteiflorae*, car chez celles-ci le chromosome est parfois éliminé probablement par suite de la formation de ponts anaphasiques pendant les mitoses somatiques.

5. L'apparition de nouveaux types chromosomiques a été vérifiée aussi chez une plante à  $2n = 32$ . Un des chromosomes était presque sphérique ayant l'aspect d'une tête d'un des chromosomes P. et l'autre était plus long et un peu courbe. Tous les deux se comportaient normalement pendant les mitoses, ce qui montre qu'ils étaient pourvus de centromères. Ils ont été certainement engendrés à partir de chromosomes P., puisque deux éléments de ce type manquent dans la garniture de ces plantes.

6. Les formes de *N. tazetta* L. sens. ampl. à  $2n = 21$ , 31 et 32 chromosomes ont été probablement obtenues dans les cultures au moyen, respectivement, des croisements 10 X 11, 20 X 11 et 10 X 22 (les chiffres indiquent les nombres chromosomiques des gamètes).

7. La formation de noyaux de restitution a joué un rôle très important dans l'évolution du genre *Narcissus*. Ce type de noyau peut être engendré au moyen de trois processus différents: 1) établissement de connexions entre les noyaux principaux, en conséquence de la persistance des ponts auxquels les micronoyaux provenant des univalents vont se joindre; 2) non formation de la cloison à la télophase I et réunion ensemble pendant les derniers stades de la prophase des chromosomes issus des noyaux et des micronoyaux; 3) non fonctionnement du fuseau à l'anaphase I, ce qui donne lieu à la persistance des chromosomes au plan équatorial où ils subissent les transformations télophasiques et engendrent un noyau avec tous les chromosomes. Le dernier processus est sans doute le plus important.

8. La classification du sous-genre *Hermione* et les rapports phylogénétiques des taxa qui le constituent sont présentés sur le schéma de la Pl. IV.

9. Les espèces du sous-genre *Hermione* se distribuent particulièrement le long des côtes de la Méditerranée et de celles de l'Atlantique comprises dans la région méditerranéenne. Par contre, les espèces du sous-genre *Narcissus* sont surtout des plantes de montagne qui sont descendues à quelques endroits jusqu'aux régions côtières situées à plusieurs latitudes, où elles ont engendré quelquefois de nouveaux taxa. Deux hypothèses sont formulées dans le but d'expliquer cette différence de distribution: 1) action de la glaciation quaternaire sur les plantes; 2) différenciation des deux sous-genres avant les mouvements qui ont conduit à la formation des chaînes alpines.

\*

\* \*

Je suis extrêmement reconnaissant envers ma Femme, Madame ROSETTE BATARDA FERNANDES, qui a bien voulu lire

le manuscrit et me faire profiter de sa critique clairvoyante. D'autre part, je leur doit beaucoup de suggestions et d'améliorations du texte.

Je remercie aussi Madame MARGARIDA QUEIROZ de l'aide qu'elle a bien voulu m'accorder, en exécutant les dessins des plaques métaphasiques. Mes meilleurs remerciements sont dus encore à Messieurs FRANCISCO CABRAL JÚNIOR, JOSÉ LUÍS FERREIRA CABRAL, JOSÉ DOS SANTOS FIGUEIRA et ANÍBAL DA CONCEIÇÃO SANTOS qui nous ont beaucoup aidé dans la partie technique de ce travail.

#### BIBLIOGRAPHIE

- BAKER, J. G.  
1888 *Handbook of the Amaryllideae*. London.
- BATEMAN, A. J.  
1952 Trimorphism and Self-incompatibility in *Narcissus*. *Nature*, **170**: 496-497.  
1954 The genetics of *Narcissus*. I — Sterility. *The Daffodil and Tulip Year Book*, 1954: 1-10.
- CROIZAT, L.  
1966 L'âge des Angiospermes en général, et de quelques Angiospermes en particulier. *Adansonia*, **6**, 1: 65-104 et **6**, 2: 217-242.
- FERNANDES, A.  
1931 Estudos nos cromosomas das Liliáceas e Amarilidáceas. *Bol. Soc. Brot.* sér. 2, **7**: 3-110.  
1934 Nouvelles études caryologiques sur le genre *Narcissus* L. *Bol. Soc. Brot.* sér. 2, **9**: 3-195.  
1937a Sur l'origine du *Narcissus dubius* Gouan. *Bol. Soc. Brot.* sér. 2, **12**: 93-118.  
1937b Le problème du *Narcissus tazetta* L. I — Les formes à 22 chromosomes somatiques. *BoZ. Soc. Brot.* sér. 2, **12**: 159-219.  
1939 Sur la caryo-systématique du groupe *Jonquilla* du genre *Narcissus* L. *Bol. Soc. Brot.* sér. 2, **13**: 487-544.  
1940 Sur la position systématique et l'origine de *Narcissus Broussonetii* Lag. *Bol. Soc. Brot.* sér. 2, **14**: 53-66.  
1943 Sur la caryo-systématique de la section *Autumnales* Gay du genre *Narcissus* L. *Bol. Soc. Brot.* sér. 2, **17**: 5-54.  
1950 La méiose chez *Narcissus poetaz* «Alsace». *Genética Ibérica*, **2**: 149-174.  
1951 Sur la phylogénie des espèces du genre *Narcissus* L. *Bol. Soc. Brot.* sér. 2, **25**: 113-194.  
1959a On the origin of *Narcissus cantabricus* DC. *Bol. Soc. Brot.* sér. 2, **33**: 47-60.



## FERNANDES, A.

- 1959b On the origin of *Narcissus Romieuxii* Br.-Bl. & Maire. *Bol. Soc. Brot. sér. 2*, 33: 104-117.
- 1963 Sobre a evolução no subgénero *Corbularia* do género *Narcissus* L. *Mem. Acad. Ciênc. Lisboa, Cl. Ciênc.* 8: 3-21.
- 1964 Contribution à la connaissance de la génétique de l'hétérostylie chez le genre *Narcissus* L. I—Résultats de quelques croisements. *Bol. Soc. Brot. sér. 2*, 38: 81-96.
- 1966a Sur la position systématique du genre *Hannonia* Br.-Bl. & Maire. *Bol. Soc. Brot. sér. 2*, 40: 27-39.
- 1966b Nouvelles études caryologiques sur la section *Jonquilla* DC. du genre *Narcissus* L. *Bol. Soc. Brot. sér. 2*, 40: 207-261.
- Sous presse Sur la caryologie de *Narcissus serotinus* L.

## FERNANDES, ROSETTE

- 1945 Sobre a cariologia de *Narcissus canariensis* (Herb.) Burb. *Bol. Soc. Brot. sér. 2*, 19: 597-605.

## HANNIBAL, L. S.

- 1946 Our Tazettas and their Hybrids. *Journ. Calif. Hort. Soc.* 7, 2: 375-379.

## KURITA, M.

- 1954 Cytological studies in *Narcissus*. I. Karyotypes of some varieties and cultivated forms of *N. tazetta* L. *Mem. Ehime Univ.*, Sect. II, Ser. B, 2, 1: 23-31.
- 1955 Cytological studies in *Narcissus*. IV. The karyotype of 2 forms of *N. poetaz.* *Mem. Ehime Univ.*, Sect. II, Ser. B, 2, 2: 85-89.

## LA COUR, L.

- 1937 Improvements in plant cytological technique. *Bot. Rev.* 5: 241-258.

## MAIRE, R.

- 1959 *Flore de l'Afrique du Nord*, 6: 66.

## MAUGINI, ELENA

- 1952 Osservazioni cariologiche su *Narcissus italicus* Ker-Gawl. (*Amaryllidaceae*). *Caryologia*, 5: 101-112.
- 1953 Citosistemica di alcuni *Narcissus* della flora italiana appartenenti alla sect. *Hermione*. *Caryologia*, 5: 313-341.

## NAGAO, S.

- 1933 Number and behavior of chromosomes in the genus *Narcissus*. *Mem. Coll. Sci. Kyoto Imp. Univ.* B, 8: 81-200.

## TRAUB, H. P.

- 1963 *The Genera of Amaryllidaceae*. The American Plant Life Society.



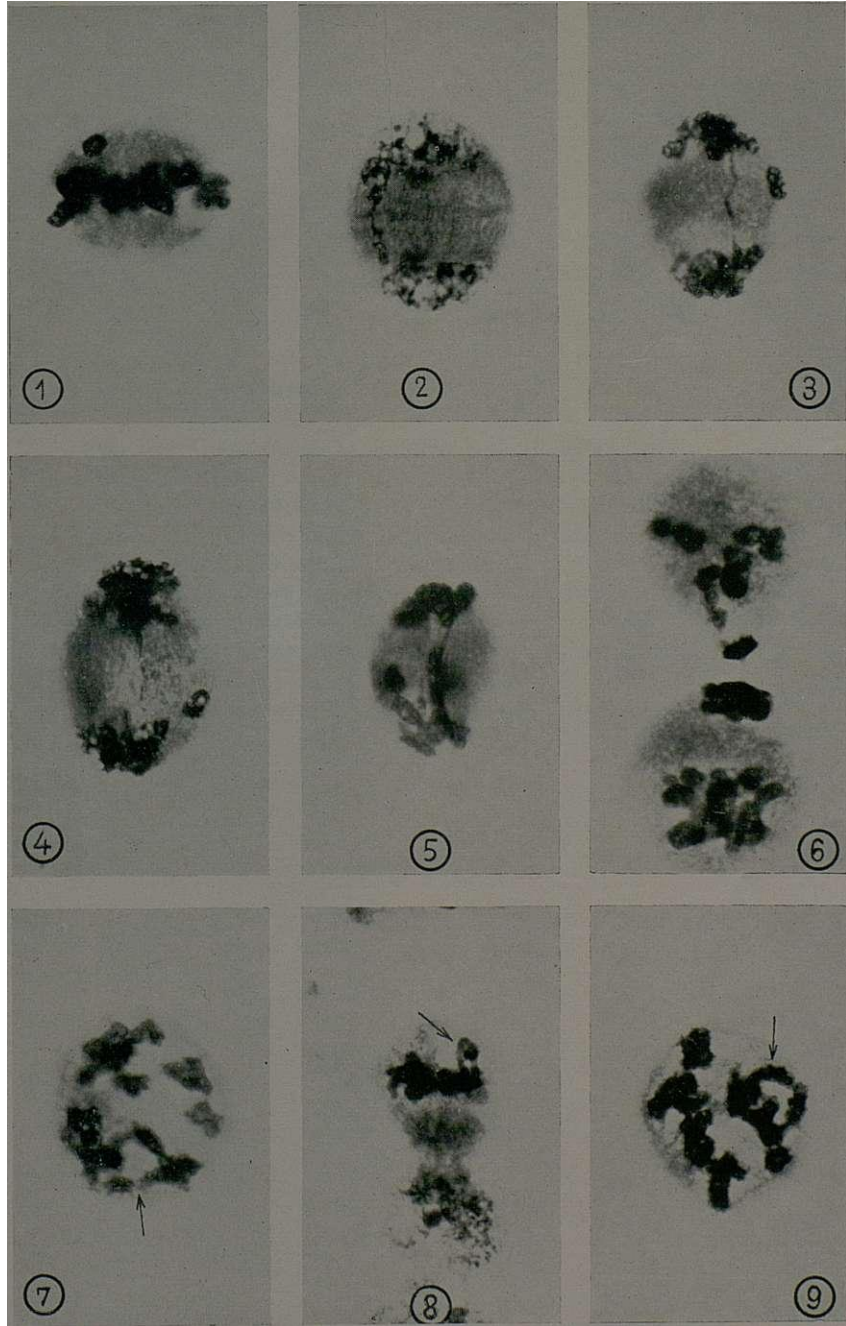
# PLANCHES

## PLANCHE I

Méiose chez une plante à  $2n = 21$

- Fig. 1. — Métaphase I montrant un univalent.
- Fig. 2. — Télaphase I sur laquelle on peut voir à gauche un micronoyau très allongé provenant probablement d'un univalent long qui s'est divisé.
- Fig. 3. — Télaphase I montrant un pont et le fragment respectif converti déjà en micronoyau.
- Fig. 4. — Idem.
- Fig. 5. — Pont à la télaphase I, accompagné d'autres anomalies résultant probablement de l'existence d'univalents.
- Fig. 6. — Cytomixie à la métaphase I. Remarquer que la cellule en haut a perdu beaucoup de chromatine qui a rentrée dans la cellule en bas.
- Fig. 7. — Diacinèse montrant un tétravalent (flèche) formé par des chromosomes longs.
- Fig. 8. — Métaphase I pourvue d'un tétravalent (flèche) sur lequel un univalent se trouve superposé.
- Fig. 9. — Diacinèse à tétravalent (flèche) formé par des chromosomes courts.

X 850



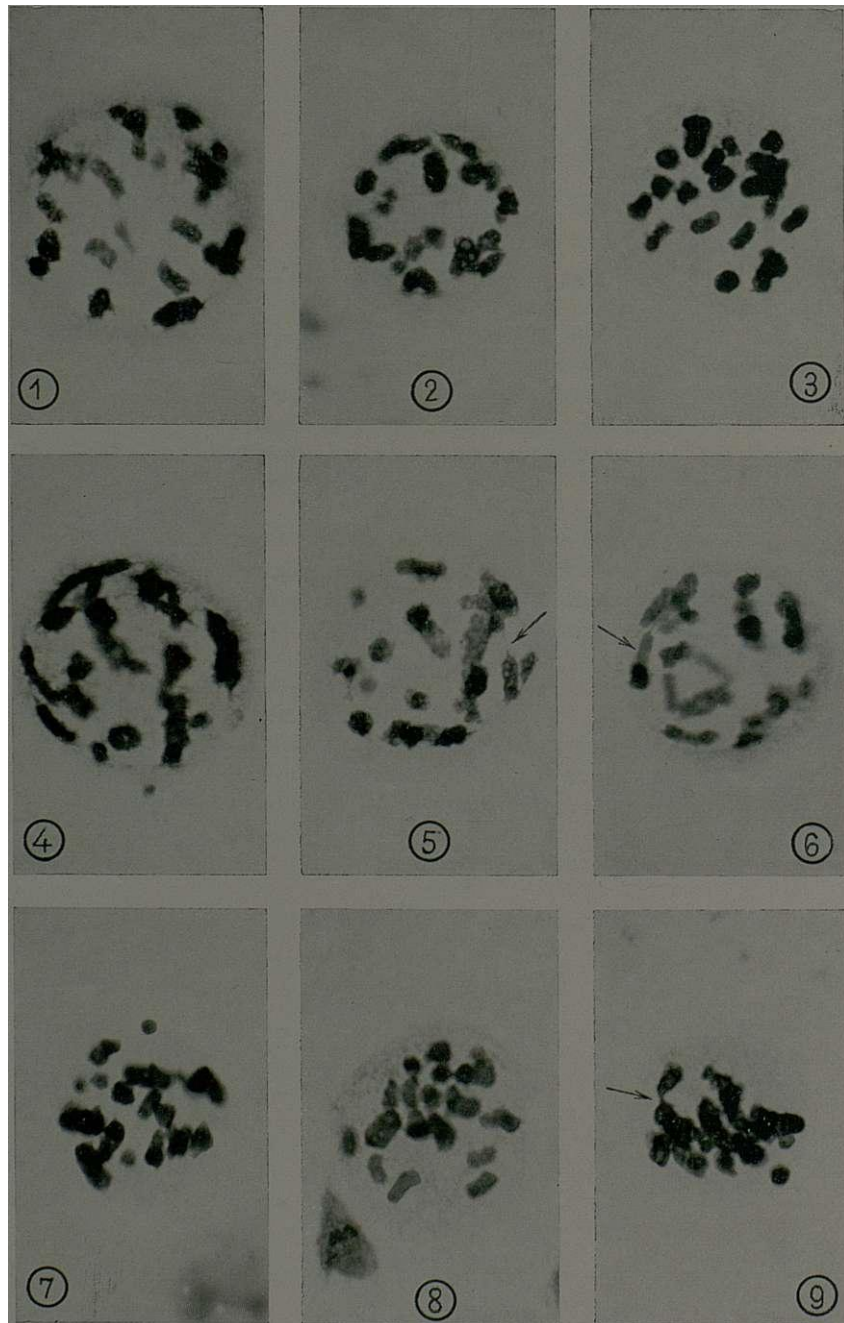


PLANCHE II

Méiose chez une plante (n.° 258) à  $2h = 32$

- Fig. 1. — Diacinese à 11 bivalents et 10 univalents.
- Fig. 2. — Idem.
- Fig. 3. — Prométaphase à 11 bivalents et 10 univalents.
- Fig. 4. — Diacinese montrant deux bivalents et un univalent attachés au nucléole.
- Fig. 5. — Diacinese où on peut voir un trivalent (flèche).
- Fig. 6. — Idem (flèche).
- Fig. 7. — Métaphase I à 11 bivalents et 10 univalents.
- Fig. 8. — Idem.
- Fig. 9. — Métaphase I sur laquelle un trivalent est visible (flèche).

× 850

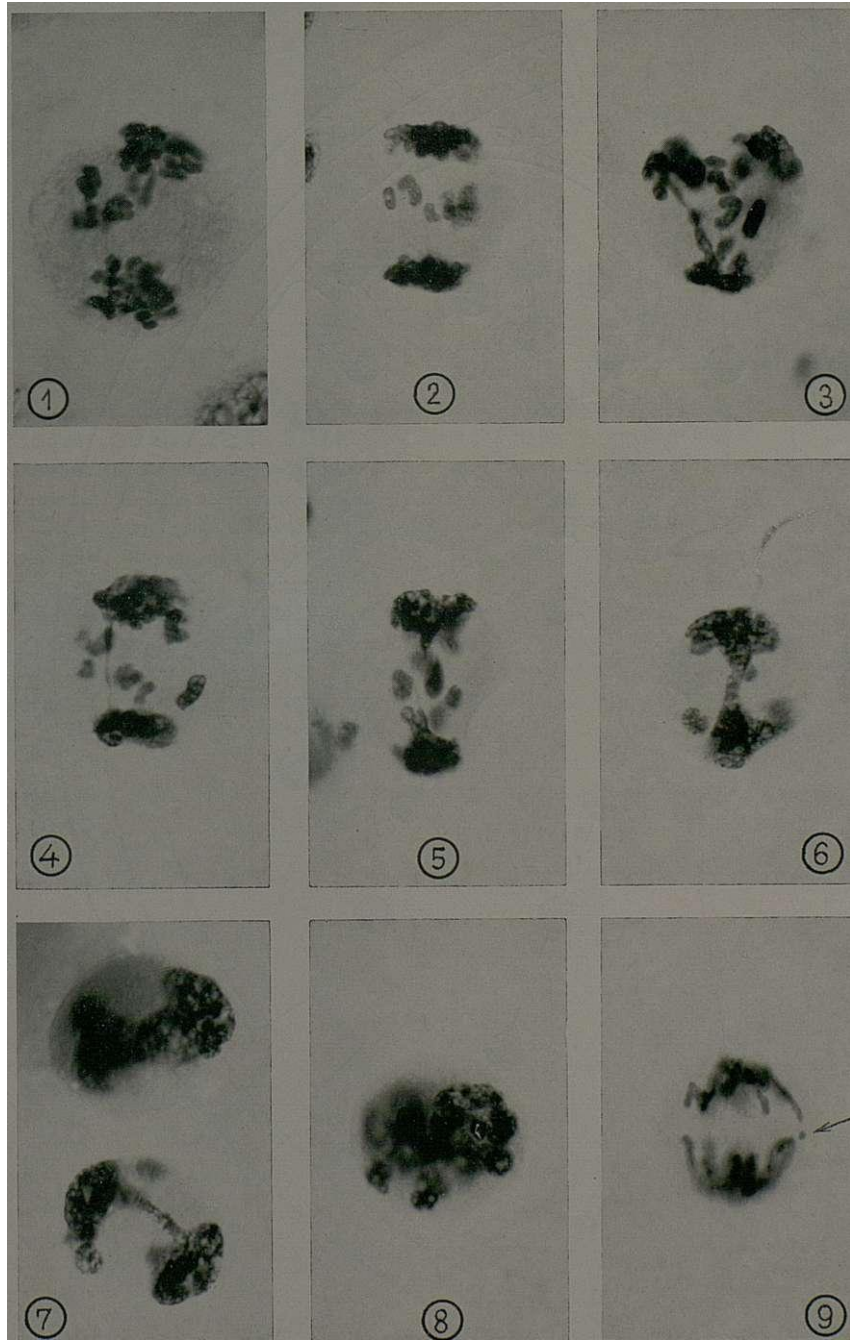
### PLANCHE III

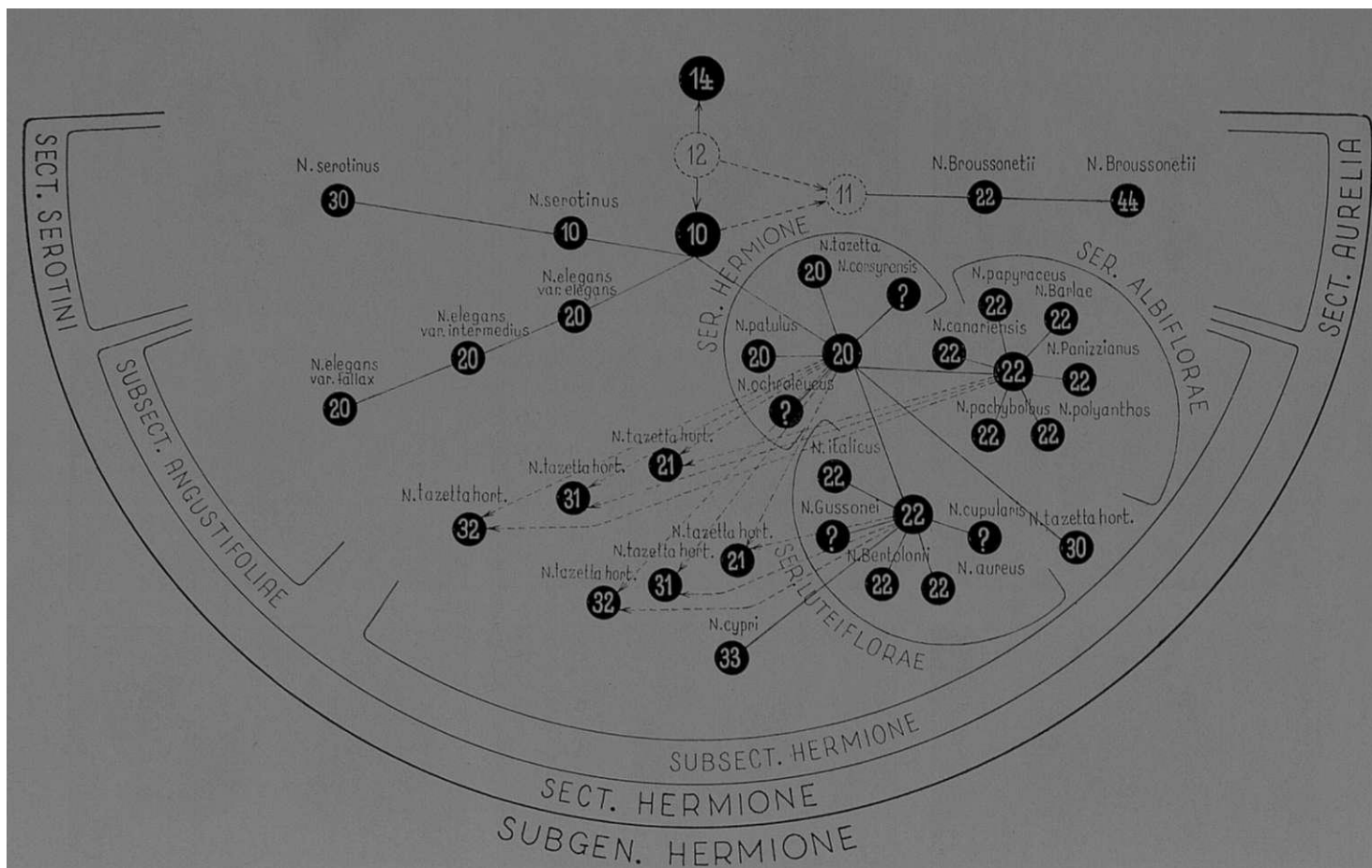
Méiose chez une plante (n.° 258) à  $2n = 32$

- Fig. 1.** — Anaphase I montrant des univalents divisés longitudinalement.
- Fig. 2.** — Anaphase I. Les univalents, placés au plan équatorial, se sont divisés, mais les chromatides n'ont pas réussi à se séparer.
- Fig. 3.** — Anaphase I sur laquelle on peut voir un fuseau tripolaire, un pont avec fragment et des univalents retardataires.
- Fig. 4.** — Télaphase I sur laquelle on peut remarquer l'existence d'un pont accompagné de fragment et des univalents retardataires.
- Fig. 5.** — Idem.
- Fig. 6.** — Formation d'une connexion entre les deux noyaux-fils. Remarquer aussi la présence de micronoyaux engendrés par les univalents.
- Fig. 7.** — Idem.
- Fig. 8.** — Les bivalents et les univalents subissent les transformations télophasiques qui amèneront à la formation d'un noyau de restitution.
- Fig. 9.** — Anaphase II montrant un fragment placé au plan équatorial (flèche).

X 850







#### PLANCHE IV

Schéma montrant la classification et les relations phylogénétiques du sous-genre *Hermione* (Haw.) Spach du genre *Narcissus* L. Les taxa sont représentés par des cercles, au dedans desquels les chiffres indiquent les nombres de chromosomes somatiques respectifs. Les cercles en pointillé correspondent à des formes qui n'existent plus. Les croisements à partir desquels d'autres formes sont issues sont indiqués par des lignes à trait et à flèches qui, en partant des parents, convergent vers les hybrides. Pour rendre la figure plus claire, les noms des auteurs ont été supprimés. Cependant, on pourra les trouver dans le texte où une explication détaillée de ce schéma est donnée.



ESTUDOS  
NAS ANACARDIACEAE AFRICANAS

IV — REVISÃO DAS ESPÉCIES DOS GÊNEROS *L ANNEA*. RICH.  
E *SORINDEIA* THOU. DE ANGOLA

por

ROSETTE BATARDA FERNANDES  
Instituto Botânico da Universidade de Coimbra

OMO já foi dito a propósito da revisão das espécies do género *Rhus* de Angola, as explorações botânicas realizadas após 1954, ano em que foi publicado no *Conspectus Florae Angolensis* o estudo sobre as Anacardiáceas, permitiram reunir bastante material desta família. Por esse facto, tornou-se necessário empreender trabalhos de revisão dos seus representantes em Angola. No que a seguir apresentamos, estudam-se os géneros *Lannea* e *Sorinãeia*, tendo-se adoptado, na sua apresentação, os mesmos plano e critério seguidos no artigo acima mencionado.

No que se refere a *Lannea*, há a assinalar, além do alargamento da área de algumas espécies, o reconhecimento da existência de *L. discolor* (Sond.) Engl. Devido a isso e ainda porque recentemente foi descrita a nova espécie *L. angolensis* R. Fernandes & E. J. Mendes, achámos conveniente elaborar novas chaves, nas quais aqueles dois taxa fossem incluídos.

Quanto ao género *Sorindeia*, foi também indispensável a elaboração de chaves, porquanto se reconheceu existirem na nossa província espécies não mencionadas no *Conspectus*. Além disso, nesta obra, alguns exemplares tinham sido incorrectamente determinados, motivo por que se citou para Angola *Sorinãeia juglandifolia* (A. Rich.) Planch. ex Oliv.  $\Gamma = S. simplicifolia$  (Don) Exell], espécie que não se encontra nesta nossa província ultramarina.

## LANNEA A. Rich.

1. *Lannea Welwitschii* (Hiern) Engl. in Bot. Jahrb. 24: 498 (1898). — Exell & Mendonça, Consp. Fl. Angol. 2, 1: 131 (1954).

Acrescentem-se os seguintes espécimes à lista dos mencionados no *Conspectus*:

LUANDA: Ambriz, Camilemba, árvore de 30-40 m da floresta densa e húmida, flores amarelo-esverdeadas, nom. vern. «Mucumes», fl. 2 & fr. juv. 9-XII-1958, R. Monteiro, Santos & Murta 411 (LISC; LUAI).

CUANZA NORTE: Dembos-Ucua-Dande, árvore de 20-30 m, de ritidoma cinzento-esverdeado, flores pequenas, verde-amareladas, frutos verdes, pequenos, em cacho, muito frequente em solos castanhos, húmidos, húmíferos, nom. vern. «Mucumbi» (quimbundo), fr. 28-I-1961, R. Monteiro & Murta 308 (COI; LISC; LUAI); Dembos-Ucua-Dande, Cacundo, na picada para o Ucua, árvore de 20-30 m, fruto drupáceo, em cacho, avermelhado quando maduro e muito procurado pelos pássaros, muito frequente, nom. vern. «Mucumbi» (quimbundo), fr. 31-I-1961, R. Monteiro & Murta 328 (LISC; LUAI).

O exemplar *Gossweiler* 10316 encontra-se também em LISC, herbário não citado no *Conspectus* para esse número.

Existe em LISJC o espécime *Gossweiler* 5513, sem local nem data de colheita, não citado igualmente no *Conspectus*, o qual pertence a *L. Welwitschii*.

2. *Lannea antiscorbutica* (Hiern) Engl. in Bot. Jahrb. 24: 499 (1898). — Exell & Mendonça, Consp. Fl. Angol. 2, 1: 132 (1954).

Juntem-se os espécimes mencionados na lista seguinte aos referidos no *Conspectus*:

LUANDA: ao km 20 de Mabubas, estrada dos Dembos, árvore de 10 m da floresta decídua de *Adansonia digitata* e *Sterculia* sp., fl. juv. 6-XI-1955, Mendonça 4656 (BM; COI; LISC; LUAI; PRE); Quizambilo, Dande, alt. ca. 300 m, árvore

de grande porte, atingindo mais de **20** m, na floresta ou nos capinzais, fl. ♂ 25-VIII-1959, *Portugal Araújo* **80** (COI; LISC).

CUANZA SUL: Mussuando, Quibala, alt. ca. **1300** m, moxito Calangulungo, árvore de **6** a **8** m, frutos verdes, fr. 2-VIII-1963, *Murta* **281** (COI; LUA).

MOXICO: Vila Luso, na cidade, alt. ca. **1050** m, árvore de grande porte, casca lisa cinzento-acastanhada, ramos grossos, quase verticais, largamente copada, folhas caducas na época da floração, flores pequenas amarelas, nom. vern. «Mulembe-Micumbi», fl. ♂ 29-VIII-1960<sup>1</sup>, *Portugal Araújo* **129** (COI; LISC).

LISC não é referido no *Conspectus* para os espécimes *Gossweiler* **12099** e **12509**. Encontra-se em LISJC o exemplar *Gossweiler* **12899**, colhido em Lepi. Como as outras indicações da etiqueta são idênticas às do espécime **12099** (LISC), supomos que há engano relativamente ao número, não nos sendo possível esclarecer qual deles é o correcto. No entanto, a etiqueta do exemplar de LISJC parece ser a originalmente preenchida por GOSSWEILER.

3. *Lanea ambacensis* (Hiern) Engl. in Bot. Jahrb. **24**: **497** (1898). —Exell & Mendonça, Consp. Fl. Angol. **2**, **1**: **133** (1954).

WHITE (For. Fl. N. Rhod.: **210**, **1962**) considera esta espécie idêntica a *L. edulis* (Sond.) Engl., o que lhe deve ter sido sugerido não só pelo facto de ENGLER ter incluído a Zâmbia (Rodésia do Norte) na área de distribuição de *L. ambacensis* (cf. ENGLER, Pflanzenw. Afr. **3**, **2**: **185**, **1921**), mas também por o mesmo autor, ao transferir *Calesiam ambacensis* Hiern para o gén. *Lanea* (in Bot. Jahrb., loc. cit.), apresentar uma descrição que abrange, em parte, *L. edulis*. No entanto, a descrição original de HIERN, baseada apenas no espécime *Welwitsch* **4438** (Tab. I e II), que é, por conseguinte, o holótipo da espécie, difere consideravelmente

<sup>1</sup> O exemplar de COI tem a data de 29-VIII-1960 e o de LISC 29-VIII-1961.

da de ENGLER no que se refere às dimensões dos folíolos (até  $9 \times 5$  cm, segundo HIERN, e de 13-15 X 6-7 cm, segundo ENGLER). Por outro lado, ENGLER não cita o exemplar de *Welwitsch*, mas sim *Buchner* 670 e *Mechow* 253, tudo levando a crer que não viu o tipo de *Lannea ambacensis*. Conseguimos examinar o espécime *Mechow* 253 ( $\zeta$ )<sup>1</sup>, colhido em Malanje. Sendo este representado apenas por inflorescências masculinas e por frutos, não pode ter sido o que serviu a ENGLER para a descrição das folhas, a qual se baseou, portanto, num outro (*Buchner* 670?) que não observámos. Como no espécime de *Mechow* as flores possuem cor vermelha (que se manteve bem nítida mesmo após a secagem), pode ser atribuído a *L. ambacensis*. Conclui-se, pois, que ou *L. ambacensis* (de flores vermelhas) pode ter folhas com maiores dimensões do que as indicadas por HIERN, ou que ENGLER observou uma mistura de espécimes, pertencentes os de folhas grandes a *L. edulis* e os desprovidos de folhas (*Mechow* 253) a *L. ambacensis*.

Pelo estudo a que procedemos, verificámos que *L. edulis* é distinta de *L. ambacensis* pelos seguintes caracteres: as folhas são predominantemente maiores na primeira do que na segunda (folíolos de 9-20 X 4-12 cm em *L. edulis*, e até 9,5 X 4,5 cm em *L. ambacensis*); os folíolos são menos discolorados e estão cobertos de tomento mais frouxo e mais caduco em *L. edulis* do que em *L. ambacensis*; os pêlos estrelados, que constituem o tomento, mostram colorido diverso nos dois taxa, sendo esbranquiçados a rosado-salmão pálido no primeiro e nitidamente amarelos ou amarelados no segundo; as inflorescências são menos ramificadas e com ramos mais curtos em *L. edulis*, espécie na qual as flores possuem pétalas amarelas ou amarelo-rosadas, enquanto em *L. ambacensis* a sua cor é «splendide rubro-sanguinea» (sec. cl. WELWITSCH, in sched.).

Trata-se de duas entidades muito próximas cuja distinção só poderá ser melhor estabelecida quando houver mais colheitas de *L. ambacensis*, taxon ainda não suficiente-

<sup>1</sup> Pelos caracteres das inflorescências e dos frutos, este espécime poderá incluir-se também em *L. rubra* (Hiern) Engl.



mente estudado no que respeita à variação de certos caracteres. Caso se venha a demonstrar que as diferenças que registamos acima são inconstantes, *L. ambacensis* poderá reduzir-se a sinónimo de *L. edulis*. No entanto, sendo as características do indumento tão importantes para a distinção das espécies de *Lannea*, e havendo, além disso, também a considerar as diferenças de colorido das flores, as quais, geralmente amarelas na maior parte das espécies, possuem cor vermelha em *L. ambacensis*, parece-nos que esta última não poderá ser incluída em *L. edulis*.

Em nossa opinião, *L. ambacensis* mostra mais afinidades com *L. rubra* (Hiern) Engl., espécie também subarbustiva de Angola e que possui indumento, inflorescências, flores e frutos como os seus, separando-se dela por alguns caracteres das folhas. Assim, em *L. rubra* os folíolos, em regra mais estreitos do que em *L. ambacensis*, apresentam-se frequentemente decurrentes sobre a ráquis. No que respeita à largura dos folíolos, nota-se, porém, certa variabilidade em *L. rubra*, aparecendo até sobre o mesmo rizoma folhas com eles estreitos e outras com eles mais largos, havendo casos em que a sua largura se aproxima ou mesmo iguala a dos folíolos de certos espécimes de *L. ambacensis* [para incluir as plantas com folíolos largos de *L. rubra*, ENGLER descreveu a var. *latifolia* (Tab. V)]. Por outro lado, nem sempre os folíolos se mostram decurrentes, existindo espécimes em que nenhum assim se apresenta [Gossweiler s. η. LISJC; Barbosa 10729, LISC; Rui Correia 1139, LISC; B. Teixeira & Andrade 6323 (Tab. VI), LISC; B. Teixeira 1391, LISC; Anchieta 38, LISU; etc.]. Nalguns exemplares aparecem simultaneamente folhas de dois tipos: umas com folíolos não decurrentes e outras com um ou mais ou todos os folíolos decurrentes sobre a ráquis (Mendes 335, LISC e Mendes 767, LISC, por ex.)<sup>1</sup>. Como já dissemos, *L. ambacensis* está mal representada nos herbários, o que não permite ter uma noção exacta da sua variabilidade, motivo

<sup>1</sup> No exemplar Gossweiler 1403 (BM), citado no *Conspectus* em *L. ambacensis*, um dos folíolos de uma das folhas é nitidamente decurrente, caso semelhante ao dos espécimes de *L. rubra* acima referidos.

por que também não nos podemos pronunciar definitivamente sobre se deve ou não ser incluída em *L. rubra*.

4. *Lannea rubra* (Hiern) Engl. var. *rubra* in Bot. Jahrb. 24: 496 (1898).— Exell & Mendonça, Consp. Fl. Angol. 2, 1: 133 (1954).

*Lannea rubra* var. *elongata* Van der Veken in Bull. Jard. Bot. Brux. 29: 239 (1959); in Fl. Congo Belge, 9: 60 (1960), syn. nov.

Nas recentes herborizações, fizeram-se bastantes colheitas de *L. rubra*, de que damos aqui menção. Além disso, existiam em LISU alguns exemplares antigos que não foram incluídos nas citações do *Conspectus*.

BENGUELA: Caconda, IX-1877, *Anchieta* 38 (LISU)<sup>1</sup>; Caconda, IX-1882, *Anchieta* 90 (LISU); Balombo, alt. 1800 m, nos caminhos e na savana queimada, fl. ♂ 18-VIII-1962, *P. Daman* 2165 (LUA); Huambo, Chianga, alt. ca. 1700 m, aqui e ali em terrenos vermelhos, planta vivaz de 30-60 cm de altura, folhas verde-escuras na face superior, amareladas no verso, frutos comestíveis, vermelhos na maturação, veget. 8-III-1962, *B. Teixeira & Andrade* 6323 (LISC); idem, planta de 5 cm de altura, de base vivaz, cespitosa e de caules revestidos de indumento, flores vermelhas, frutos (de X-XI) comestíveis, fl. ♂ & ? (s. fol.) 9-VIII-1963, *B. Teixeira & Andrade* 6550 (LISC; LUA).

HUILA: Gambos, a 11 km a jusante de Chimbolelo, margens da Mulola, em areias, abundante no local, raízes e caules

<sup>1</sup> Este exemplar foi determinado por EXELL, O qual, no entanto, o não refere no *Conspectus*. Consta das folhas de herbário 57704, só com a parte basilar de uma planta e frutos, e 57705, com folhas e também frutos. No primeiro exemplar, as drupas são um pouco mais alongadas do que é o caso geral de *L. rubra*; o segundo, pelos caracteres das folhas e frutos, pertence incontestavelmente a esta espécie. Como tanto um como o outro possuem etiquetas originais idênticas, é de admitir que tenham sido herborizados no mesmo local, devendo a forma um pouco diferente das drupas do espécime da fol. herb. 57704 representar o caso extremo da relação comprimento-largura dos frutos desta espécie.

subterrâneos grossos e lenhosos, flores ao rés do solo, de cor vermelho-vinosa, frutos idem, folhas depois da frutificação, fl. ♂ & fr. 2-IX-1963, *Barbosa* 10727 (LISC); Gambos, a 16 km a jusante de Chimbolelo, local de queimada, fr. 2-IX-1963, *Barbosa* 10729 (LISC); Tchivinguiro, entre a Escola e a Missão Católica, numa pequena clareira de mato secundário, em local sujeito a queimada, erva vivaz, rizoma até 5 cm de diâm., com os frutos na base, vermelho-escuros, fl. & fr. 10-XI-1961, *R. Correia* 1139 (LISC); s. l., fl. ♂ & fr. juv. s. d., *Dekindt* 439<sup>1</sup> (LISC; MPU); s. l., fl. ♀ & fr. s. d., *Antunes vel Dekindt* s. n. (LISC); Humpata, margem direita do Buraco do Bimbe, pr. da aresta da escarpa da Serra da Chela, rizomatosa de 20-25 cm, folhas discolores, frutos cor de borra de vinho, f r. 25-IX-1955, *Mendes* 177 (LISC; LUAI); Huíla, entre o Posto Administrativo e o apeadeiro do C. F. em floresta secundária de *Berlinia-Brachystegia*, rizomatosa de 20-30 cm, flores antes das folhas, flores e frutos de cor vinosa, folhas discolores, fl. & fr. 29-IX-1955, *Mendes* 231 (COI; LISC; LUAI); entre Huíla e Palanca, no rizomatofruticeto das chanas pr. rio Nene, rizomatosa, flores antes das folhas, flores e frutos cor de borra de vinho, nom. vern. «Otyingongolua», fr. 7-X-1955, *Mendes* 335 (LISC); Cacula, nos morros rochosos da aresta da Serra da Chela, rizomatosa multicaule, folhas discolores, fr. rosado, fr. 21-XI-1955, *Mendes* 767 (LISC); Gambos, Chibemba, Chimbolelo, planta rizomatosa, flores vermelhas, fl. ♀ 13-VIII-1963, *A. de Menezes* 645 (LISC); Humpata, no rizomatofruticeto entre Humpata e Leba, alt. ca. 1900 m, caule subterrâneo ramificado, folhas anuais depois da floração, flores e frutos saindo directamente do caule, fruto maduro vermelho-purpúreo, 26-X-1956, *B. Teixeira* 1391 (COI; LISC; LUA).

Os exemplares *Gossweiler* 12350 e 12549, só referidos para BM, existem também em LISC e LISJC.

<sup>1</sup> No espécime de LISC, indica-se como colector *Antunes vel Dekindt*; no do herbário da Universidade de Montpellier o colector referido é *Dekindt*, esclarecendo-se assim a dúvida expressa no exemplar de LISC.

ENGLER (loc. cit.) descreveu a var. *angustifolia* de *L. rubra* baseada nos espécimes *Antunes 1121*, colhido na Huíla, e *Ramalho* s. n. (COI), herborizado em Humpata. No herbário de Coimbra encontra-se o exemplar *Antunes 112* (e não *1121*), que pertence a esse taxon, devendo a citação de ENGLER estar errada no que se refere ao número. Com efeito, tendo o n.º *318* do mesmo colector (tipo da var. *latifolia* Engl. de *L. rubra*) sido herborizado em Maio de *1895* e sendo esta também a data de colheita que ENGLER indica para o exemplar *Antunes 1121*, seria improvável que este colector tivesse herborizado num só mês tão elevado número de espécimes, de forma a aumentar a sua numeração de *318* para *1121*. Trata-se, pois, de erro de citação ou de gralha tipográfica.

Por outro lado, embora, em nossa opinião, a var. *angustifolia* não se possa manter, visto corresponder exactamente ao tipo específico, designamos como seu lectótipo o exemplar *Ramalho* s. n. (COI) que possui determinação da autoria de ENGLER, o que não sucede relativamente a *Antunes 112*.

*Lannea rubra* varia muito no que respeita à forma e dimensões dos folíolos (Tab. III-VI), motivo pelo qual têm sido descritas as vars. *angustifolia* Engl., *latifolia* Engl., *elongata* Van der Veken e *serrata* Van der Veken. Destas, as duas primeiras já foram incluídas na sinonímia do tipo por EXELL & MENDONÇA (loc. cit.), sendo a terceira agora considerada por nós também como seu sinónimo. Quanto à quarta, reservamo-nos, para nos pronunciarmos, que a possamos examinar detidamente.

Uma particularidade interessante de *L. rubra* é a frequência com que os folíolos se mostram decurrentes ao longo da ráquis (Tab. V), dando-se também, muitas vezes, a confluência entre o folíolo terminal e os dois laterais que lhe são imediatos, do que resulta a formação de um pseudo-folíolo terminal mais ou menos amplo e, nalguns casos, trilobado. A decurrência não é, porém, constante, havendo, por vezes, nos mesmos indivíduos folhas de folíolos decurrentes e outras com eles todos independentes; e ainda, em certas plantas, todas as folhas possuem os folíolos não decurrentes (Tab. VI). Estes factos foram já assinalados também a propósito de *L. ambacensis*.

5. *Lanea edulis* (Sond.) Engl. var. *edulis* in Engl. & Prantl, Nat. Pflanzenfam. Nachtr. 1: 213 (1897).— Consp. Fl. Angol. 2, 1: 133 (1954).

*Lanea ambacensis* sensu Auct. quoad specim. Zambiae.

Pertencem a este taxon os seguintes exemplares, a incluir na lista referida no *Conspectus*:

HUÍLA: Tchivinguiro, pr. Missão, s. d., *Barbosa* 9593 (SRGH); Huíla, s. L, s. d., *Antunes vel Dekindt* 1072 (LISC); nos morros rochosos da margem da Lagoa Eiva-Nthala, rizomatosa multicaule de 50 cm, 5-6 folhas por cada caule, veget. 11-XII-1955, *Mendes* 1124 (BM; COI; LISC; LUA); Ganguelas, Vila Artur de Paiva, Granja da Administração, alt. 1470 m, fendas das rochas em zona de floresta clara, rizomatosa multicaule, nom. vern. «Endjondja», veget. 2-I-1960, *Mendes* 1918 (LISC; LUAI; SRGH).

6. *Lanea Gossweileri* Exell & Mendonça var. *Gossweileri* in Bol. Soc. Brot. sér. 2, 26: 280, t. 5 (1952); Consp. Fl. Angol. 2, 1: 134, t. 32 (1954).

BIÉ: Menongue, andados ca. 80 km de Caiundo para Vila Serpa Pinto, alt. ca. 1300 m, no rizomatofruticeto de borra-chíferas, rizomatosa paucicaule, erecta, veget. 4-II-1960, *Mendes* 2362 (COI; LISC; LUAI); Menongue, Caiundo, Capico, pr. da Missão, alt. ca. 1200 m, em floresta clara degradada, rizomatosa 1-2-caule, rizoma corredor, caules 6-8-folhosos, veget. 1-II-1960, *Mendes* 2296 (COI; LISC).

Uma descrição desta espécie, mais pormenorizada que a original, foi recentemente publicada (cf. Fl. Zamb. 2, 2: 566, 1966). Nela se indica para comprimento máximo dos folíolos 8 cm, dimensão que é ultrapassada no exemplar de Angola *Mendes* 2296, cujos folíolos atingem 10,7 X 4 cm. Estas plantas com folíolos grandes assemelham-se, devido também à forma e contorno destes, aos indivíduos com folhas de folíolos menores de *L. edulis*, distinguindo-se, no entanto, desta espécie pelo seguinte: o retículo dos folíolos é muito menos

saliente na página inferior e de malhas mais largas; existe glabridade em ambas as páginas (em *L. edulis* os folíolos apresentam tomento ou, pelo menos, pêlos esparsos nas duas faces); a cor das folhas é menos escura na página superior em *L. Gossweileri* do que em *L. edulis*.

7. *Lannea angolensis* R. Fernandes & E. J. Mendes in Bol. Soc. Brot. sér. 2, 38: 115, t. 1-4 (1964).

BENGUELA: andados 20 km de Lobito para Novo Redondo, arbusto de 1,5 m, fr. 2-XI-1955, *Mendonça* 4641 (LISC; LUAI); ao km 50 de Lobito, estrada de Novo Redondo, f. 1. ♂ & 2-XI-1955, *Mendonça* 4643 (LISC); idem, fr. 2-XI-1955, *Mendonça* 4643a (LISC; LUA).

MOÇÂMEDES: Bibala, Camucio, alt. 800 m, no hiemifruticeto, arbusto de 1 m, muito ramificado, com hastes procumbentes, flexíveis e casca fétida, fl. ♂ 13-IX-1941, *Gossweiler* 13069 (LISC); idem, fr. 13-IX-1941, *Gossweiler* 13069b (BR; COI; LISC; LUA; SRGH); andados 31 km de Lucipa para S. Nicolau, nas colinas subdesérticas, fl. d 5-I-1956, *Mendes* 1210 (COI; LISC); andados ca. 12 km de Lungo para Caitô, nas colinas xerofíticas, arbusto sub-hemisférico de 3 m, ramificado da base, fr. 7-I-1956, *Mendes* 1740 (LISC); Bibala, Cacanda, alt. 850 m, no mato xerofítico, arbusto de perfil subesférico, de 3 m, veget. 7-V-1960, *Mendes* 4028 (BM; COI; LISC; LUAI); ao km 30 de Capira (Mundas do Humbo), estrada de Tchicambi, sobre rochedos graníticos, fl. ♂ 19-X-1955, *Mendonça* 4532 (BM; BR; LISC; LUAI; SRGH); Dois Irmãos, nas areias de um batólito, subarbusto prostrado-ascendente, de 2-2,5 m, veget. 19-I-1956, *S. Santos* 166 (LISC; LUAI; SRGH); lugares pedregosos do deserto de Moçâmedes, arbusto virgado de 1-1,5 m, flores amarelo-esverdeadas, fl. d 2-XII-1955, *Torre* 8263 (LISC); ao km 25 de Vila Arriaga, estrada de Moçâmedes floresta decídua, junto a rochedos, fl. 9 & fr. 23-XII-1955, *Torre* 8292 (BM; COI; LISC, holotypus).

8. *Lanea discolor* (Sond.) Engl. in Engl. & Prantl, Nat. Pflanzenfam. Nachtr. I zu II-IV: 213 (1897); Pflanzenw. Afr. 3, 2: 185 (1921).

*Odina discolor* Sond. in Linnaea, 23: 25 (1850). — Engl. in A. & C. DC, Mon. Phan. 4: 272 (1883).

É esta a primeira citação da espécie para Angola. A sua distribuição por territórios vizinhos (República Democrática do Congo, Zâmbia, Rodésia e Sudoeste Africano) fazia, no entanto, prever que ela ali se encontrasse também.

CUBANGO: Missão de Santa Cruz do Cuando, alt. 2000 m, frequente na mata pr. da Missão, árvore de 6-7 m, nom. vern. «Muzi» (camache), veget. 22-XI-1949, B. Teixeira 128 (LISC).

*Lanea* sp. A

BLÉ: Capico pr. Missão, alt. 1200 m, na orla de uma baixa graminosa, rizomatosa 1-3-caule, veget. 30-I-1960, Mendes 2244 (LISC).

Trata-se, possivelmente, de espécie nova, porquanto é diferente de todas as que conhecemos. A planta possui folíolos oblongos, pouco discolorados, em número de 9-19, com as dimensões de 4,7-7 X 0,7-1 cm e as nervuras laterais invisíveis na página superior mas nitidamente salientes e muito arqueadas na inferior. Outro carácter importante das folhas é a sua quase completa glabridade. Necessita-se mais material da mesma localidade, a fim de se apreciar o valor dos caracteres acima referidos.

*Lanea* sp. B

HUÍLA: Gambos, Chibemba, no vale do Chimbolelo, subarbusto rizomatoso, com ca. de 40 cm, frutos verde-encarniçados, fr. 10-IX-1963, A. de Menezes 730 (LISC); Huíla, Gambos, Chibemba, na baixa do Chimbolelo, subarbusto rizomatoso com ca. de 20 cm, fr. imaturo verde-encarniçado, fr. 8-X-1963, A. de Menezes 828 (LISC).

Pelo contorno dos folíolos e dos frutos, estes espécimes assemelham-se a algumas formas de *L. rubra*, mas os folíolos

são pouco discolores e com indumento muito menos denso, sobretudo na face inferior, do que nessa espécie. No entanto, como foi descrita para o Catanga a var. *serrata* Van der Veken de *L. rubra*, na qual os folíolos são quase glabros, é de encarar a hipótese de que também no tipo desta espécie, como sucede noutras, a densidade do indumento possa mostrar-se, por vezes, mais reduzida. Sendo assim, a planta do vale do Chimbolelo, região onde aparece a *L. rubra* típica, seria uma forma desta espécie, semelhante, no que se refere à fraca densidade do tomento, à var. *serrota*. São, porém, indispensáveis mais colheitas de material do mesmo local, quer com folíolos em estados progressivos de desenvolvimento, quer em flor e ainda com frutos maduros, acompanhados da indicação das respectivas cores, para se chegar a uma conclusão.

Este material foi identificado (pelo colector?) como *L. edulis*. Embora os pêlos das folhas tenham um colorido próximo do desta espécie, difere dela pelo número bastante mais elevado de folíolos [9-13 e não (1)3-7] e pelo seu tamanho bastante menor.

#### CHAVES

Árvores ou arbustos:

Flores contemporâneas das folhas, em panículas piramidais ± amplas (até 27 X 20 cm); folíolos adultos glabros, oblongo-ovais, acuminado-caudados, de 10-15(20) X 5-7(10) cm; drupas de 6-8 X 4-6 mm . . . . .

. . . . . 1. *L. Welwitschii*

Flores em inflorescências espiciformes ± longas e estreitas; folíolos geralmente menores, em regra nunca completamente glabros; drupas maiores:

Inflorescências solitárias, axilares, aparecendo com as folhas; folhas 1-3-folioladas (folíolo terminal muito maior que os laterais), cobertas de tomento albedo e denso em ambas as páginas quando jovens e verdes e glabrescentes na superior e de tomento ténue na inferior quando adultas; arbusto até 3 m . . . . .

. . . . . 7. *L. angolensis*



Inflorescências fasciculadas no extremo de ramos curtos, aparecendo antes das folhas; folíolos (3)5-11, o terminal subigual ou não muito diferente dos imediatos; geralmente árvores de 5-15 m:

Folíolos adultos muito discolores, verde-escuros a castanho-escuros e glabrescentes na face superior e esbranquiçados a amarelados na inferior (tomento denso e persistente); drupas de 9-15 X 7-10 mm

. . . . . 8. *L. discolor*

Folíolos adultos subconcolores, verdes (ou castanhos ± escuros pela secagem) em ambas as páginas e apenas com tufo de pêlos simples nas axilas das nervuras laterais com a mediana na face inferior; drupas de 7-9 X 6-7 mm . . . 2. *L. antiscorbutica*

Subarbustos ou ervas perenes com toixa lenhosa, 1-paucicaules; flores aparecendo antes das folhas:

Folhas adultas glabras; folíolos 3-11, pouco discolores, castanho-avermelhados a quase negros, ± brilhantes; retículo laxo, não ou pouco saliente na página inferior; drupas elipsóides ou oblongo-ovóides, de 10-12 X 5-9 X 5-6 mm, negras na maturação . . . . .

. . . . . 6. *L. Gossweileri* var. *Gossweileri*

Folhas adultas com tomento persistente, ± denso a laxo na página inferior; retículo mais apertado e saliente na página inferior (por vezes, encoberto pelo indumento); drupas ovóides a subcomprimidas, vermelhas na maturação:

Pétalas amarelas ou amarelo-rosadas; folhas com (1)3-7 folíolos, de (8)9-20 X 4-12 cm, não muito discolores, com o tomento dos folíolos jovens branco-rosado a cor de salmão. . . . . 5. *L. edulis*

Pétalas vinoso-purpúreas a rubras; folíolos em regra mais estreitos, os adultos muito discolores, verde-escuros a quase negros e glabrescentes na página superior, ocre-pálido a fulvos na inferior (com tomento denso e persistente):

Folíolos 5-13, lanceolados a oblongo-lanceolados, menos vezes lineares e agudos, elípticos *ou* obovado-

-oblongos e obtusiúsculos ou redondos no ápice, de 2-12 X 1-3 cm, frequentemente decurrentes . . .

. . . . . 4. *L. rubra*

Folíolos 3-7, obovados a elípticos, retusos ou curtammente acuminados, até 9 X 4,5 cm, em regra não decurrentes. . . . . 3. *L. ambacensis*

#### DISTRIBUIÇÃO GEOGRÁFICA

No Quadro I indica-se, por distritos, a distribuição das espécies de *Lannea* em Angola. Facilmente se pode verificar o seguinte:

- 1.º) O grau de endemismo não é muito elevado para este género, porquanto, entre as 8 espécies ali existentes apenas 2 (25 %) são endémicas<sup>1</sup>, devendo notar-se que, possivelmente, esse número se reduzirá ainda, pois que *L. ambacensis* poderá vir a ser incluída em *L. rubra*.
- 2.º) As espécies com mais vasta área de distribuição em Angola — *L. Welwitschii* e *L. antiscorbutica* — são ambas árvores, a primeira da floresta higrófila e a segunda não só dessa formação mas também da floresta xerófila. Tanto uma como a outra se distribuem por regiões bastante extensas fora da nossa província, encontrando-se *L. Welwitschii* desde a Costa do Marfim até ao Congo (inclusive) e *L. antiscorbutica* no Congo, Zâmbia e Moçambique.
- 3.º) As espécies subarbustivas não endémicas (com excepção de *L. edulis*) têm geralmente área mais restrita, não só em Angola, como na restante parte do continente.

\*

\* \*

Em nossa opinião, o género *Lannea*, quase exclusivamente africano, visto que apenas uma espécie — *L. Wodier*

<sup>1</sup> Compare-se com *Rhus*, género no qual, de entre as 18 espécies que vivem em Angola, são endémicas 11, o que representa uma percentagem muito mais elevada (61 %).

QUADRO I

	Cabinda	Zaire	Congo	Luanda	Cuanza Norte	Cuanza Sul	Malanje	Lunda	Benguela	Bié	Moxico	Moçâmedes	Huíla	Cubango	
<i>Lanea Welwitschii</i>	*	*		*	*	*									} Árvores
<i>Lanea antiscorbutica</i>		*		*	*	*	*	*	*	*	*	*			
<i>Lanea discolor</i>													*		
<i>Lanea angolensis</i>									**			**			} Arbusto
<i>Lanea edulis</i>								*		*			*		
<i>Lanea rubra</i>									*	*			*		} Subarbustos
<i>Lanea Gossweileri</i>										*					
<i>Lanea ambacensis</i>					**		**								

\* Espécies não endémicas

\*\* Espécies endémicas

(Roxb.) Adel. — é estranha ao continente negro, deve ter tido a sua origem na zona que L. CROIZAT (Man. Phytogeogr. : 1952) designa por «porta» (*gate*) africana da Angiospermia. Com efeito, pertencendo este género à tribo das *Spondiæae*, deve representar, pelo facto de possuir perianto tetrâmero e fruto com caroço unilocular e monospérmico, um tipo derivado relativamente aos mais antigos representantes do grupo, nos quais o perianto é pentâmero e o fruto tem caroço 5-locular.

Em Madagáscar e nas Ilhas Mascarenhas encontra-se o género *Poupartia*, constituído por árvores com as flores dispostas em inflorescências espiciformes ou em cachos, que difere de *Lannea* principalmente por possuir flores pentâmeras. No que se refere ao fruto, existem, naquele género, espécies com caroço unilocular (*P. gummifera*) e outras com ele 5- ou 3-locular, no qual, no entanto, só um dos lóculos é fértil. Quer-nos por isso parecer que *Poupartia* constitui um dos géneros mais próximos de *Lannea*, devendo, possivelmente, procurar-se no primeiro a origem do segundo, ou a de ambos num antepassado comum. Particularmente *P. gummifera* Sprague ex Jumelle é muito afim de certas espécies de *Lannea*, visto ser uma árvore com as flores anteriores às folhas e dispostas em inflorescências espiciformes do mesmo tipo das de muitas espécies de *Lannea*. Além de *Poupartia*, existe em Madagáscar uma espécie de *Sclerocarya* (perianto tetrâmero; caroço 2-3-locular e 2-3 sementes férteis), género afim não só de *Poupartia*<sup>1</sup> mas também de *Lannea* e que se deve ter originado na mesma região que os outros dois.

*Lannea* espalhou-se, por um lado, para oriente, atingindo a Índia, Ceilão, Indochina, etc. e, por outro lado, para ocidente, penetrando em África, onde deu origem a um número elevado de espécies.

*Sclerocarya* atingiu também o continente africano, diferenciando-se em duas espécies, uma — *S. caffra* — mais meri-

<sup>1</sup> PERRIER DE LA BATHIE (in Mém. Mus. 18: 245, 1944; in H. HUMBERT, Fl. Madag. 114<sup>e</sup> Fam.: 5, 1946) coloca *Sclerocarya caffra* Sond. no género *Poupartia*.

dional, outra — *S. birrea* — mais setentrional, ambas terminando por alcançar a parte ocidental de África.

Um outro género vizinho destes três, *Harpephyllum*, com perianto pentâmero, é representado unicamente por uma espécie, *H. caffrum*, que se encontra em Moçambique, Transval, Natal e Cabo.

No que se refere a *Lannea*, uma das espécies mais antigas é sem dúvida *L. Wodier*, aquela que se encaminhou para oriente, onde tem vasta área de distribuição (Índia, Ceilão, China, Birmânia, Laos, Vietnam, etc.). Em África, um dos representantes do género que igualmente deve ser bastante primitivo é *L. Stuhlmannii* (Engl.) Engl., tão próxima daquela que ENGLER a considerou como variedade (var. *brevifolia*). *L. Stuhlmannii* (incl. *L. Kirkii* Burt Davy) tem uma larga área de distribuição, a qual abrange Moçambique, Tanzânia, Quênia, Uganda, Zâmbia e Transval, área que testemunha a sua grande antiguidade.

Outra espécie também de área muito extensa é *L. Schimperi* (Hochst. ex A. Rich.) Engl., que, na África Oriental, existe em Moçambique e Tanzânia, estendendo-se para norte até à Abissínia; atravessa depois o continente pelo Sudão e Ubangui-Chari, indo até aos Camarões, Nigéria e Congo. A partir quer de *L. Stuhlmannii* (com flores em inflorescências axilares, contemporâneas das folhas), quer de *L. Schimperi* (com inflorescências espiciformes anteriores às folhas, em feixes no extremo de ramos), ou a partir de espécies próximas respectivamente de uma ou de outra, novas entidades se diferenciaram, adaptadas a diferentes condições de meio, entre elas as que, como *L. Welwitschii*, são árvores da floresta higrófila e as que, como *L. edulis*, *L. rubra*, *L. katangensis*, etc., são ervas perenes ou subarbustos das savanas sujeitas a queimadas periódicas. Entre as espécies deste Último grupo, *L. edulis* deve ter sido uma das primeiras a separar-se, porquanto possui área muito vasta (Moçambique, Transval, Rodésia, Zâmbia, Malawi, Tanzânia, Uganda, Ubangui, Congo, Angola e Sudoeste Africano). As restantes espécies subarbutivas de *Lannea* têm uma distribuição mais localizada [*L. Gossweileri*, no Congo (Catanga), Zâmbia e Angola; *L. rubra*, em Angola e no Congo (Catanga); *L. ka-*

*tangensis*, no Congo (Catanga), Zâmbia e Malawi; *L. ambacensis*, em Angola; etc.], devendo ser válido também para *Lannea* o que afirmámos a propósito de *Ozoroa*, isto é, que houve um centro de formação de espécies **subarbustivas** na zona que abrange parte da Zâmbia, o Catanga e parte de Angola, visto aparecer aí maior número de taxa deste grupo do que em qualquer outra região.

### **SORINDEIA** Thou.

1. *Sorindeia Gossweileri* Exell in Journ. of Bot. **70**, Suppl. Polypet.: **227** (1932).—Exell & Mendonça, Consp. Fl. Angol. **2**, **1**: **97** (1954).—Van der Veken in Fl. Congo Belg. **9**: **103** (1960).

VAN DEE VEKEN, tanto nas chaves das espécies de *Sorindeia* (loc. cit.: **92**), como na descrição que apresenta de *S. Gossweileri*, afirma que os folíolos basilares deste taxon são pseudoestipulares. Nas plantas de Angola, as quais estão representadas por **uma** só colheita (*Gossweiler*9313), observámos folíolos pseudo-estipulares apenas no espécime de COI (Tab. VII). Os exemplares de LISJC (Tab. VIII) e de  $\kappa$  apresentam o par inferior de folíolos inserido respectivamente **2,5 cm** e **4 cm** acima da base do pecíolo, não se notando cicatrizes no pecíolo deixadas pela queda de folíolos. Por outro lado, EXELL não se refere, na descrição da sua espécie, a uma inserção anormal dos folíolos inferiores, o que certamente não deixaria de fazer se as plantas que examinou assim os possuísem. Concluímos, pois, que a inserção do primeiro par de folíolos mesmo junto à base dos pecíolos não é constante. Será necessário colher mais material, a fim de se estudar a variação desse carácter e de se estabelecerem as relações entre *S. Gossweileri* e as espécies vizinhas.

Além de se encontrar em Angola, esta espécie aparece também na República Democrática do Congo.

2. *Sorindeia simplicifolia* (Don) Exell  
Vide S. Poggei Engl.
3. *Sorindeia lundensis* Exell & Mendonça  
Vide S. Poggei Engl.

4. *Sorindeia africana* (Engl.) Van der Veken in Bull. Jard. Bot. Brux. **29**: 242 (1959) ; in Fl. Congo Belge, 9: 92 (1960).

*Thyrsodium africanum* (Engl.) Engl. in Bot. Jahrb. 15: 106 (1892).

- Var. **lastourvillensis** (Pellegr.) Van der Veken in Fl. Congo Belge, **9**: 93 (1960).

*S. lastourvillensis* Pellegr. in Bull. Soc. Bot. Fr. **102**: 330 (1956).

*S. lundensis* Exell & Mendonça in Bol. Soc. Brot. sér. 2, 26: 277 (1952) ; Consp. Fl. Angol. 2: 98 (1954) p. p. quoad folia specim. COI et  $\kappa$ .

LUNDA: rive Caluembe, affl. Tchikapa (7.25 S. — 20.38 E.), forêt higrophile, nom. indig. «Lufula» (tschokwe), fl. ♂ 2-VIII-1961, *Sanjinje* 38 (BR; DIA — Tab. GX) ; idem, veget. (LISC) ; idem, fl. ♂ (LISC) ; Dundo, estrada de turismo, galeria florestal, nom. vern. «Lufula», fr. 25-GX-1961, *Sanjinje* 205 (COI; DIA — Tab. X; LISC).

Este taxon menciona-se agora pela primeira vez para Angola. Distingue-se **fácilmente** das outras espécies angolanas por possuir as pétalas e sépalas densamente **velutinas** na face externa, sendo as pétalas muito espessadas internamente no cimo; pelos ovários **com** pubescência do mesmo tipo que a do **perianto**; e pelas drupas **elipsóide-fusififormes**, curvas na parte superior, também velutinas.

**HÁBITO E ECOLOGIA**: arbusto, por vezes sarmentoso, ou pequena árvore de 2-8 m, do sub-bosque da floresta **higrófila** e das florestas-galerias. Fl. **VIII-IX**.

**DISTR. GEOGR.** : Gabão, República Democrática do Congo e Angola.

Nom. vern. «Lufula» (tschokwe).

- 5 *Sorindeia Gilletii* De Wild. in Ann. Mus. Congo Belge, Bot., Sér. 5, 1: 281, t. 66 (1906). — Van der Veken in Fl. Congo Belge, 9: 96, t. 10 (1960).

*Sorindeia simplicifolia* sensu Exell & Mendonça, Consp. Fl. Angol. 2, 1: 97 (1954) quoad specim. *Gossweiler* 13626b (non *Sapindus simplicifolius* Don).

LUNDA: Dundo pr. rio Luachimo, alt. 750 m, erect shrub of 3 m height, skirting the gallery woods the pluviifruticeta, fr. 9-IX-1946, *Gossweiler* 13626b (COI—Tab. XI; K).

HÁBITO E ECOLOGIA: arbusto, por vezes sarmentoso, ou árvore até 25 m, das florestas densas e húmidas e das florestas-galerias. Fr. LX.

DISTR. GEOGR.: Gabão, República Democrática do Congo e Angola.

No Congo, a espécie aparece, além de noutras, nas províncias do Cassai e Baixo Catanga, as quais contactam com a nossa Lunda. Esta espécie foi confundida no *Conspectus* com *S. juglandifolia* (A. Rich.) Planch. ex Oliv. [= *S. simplicifolia* (Don) Exell]. Embora o exemplar *Gossweiler* 13626b não possua flores, elementos de identificação bastante importantes no género, não pode, dadas a forma, consistência e nervação dos folíolos e a forma das drupas, ser incluído em *S. juglandifolia*.

Segundo informação que o Ex.<sup>mo</sup> Sr. Dr. VAN DER VEKEN teve a amabilidade de nos transmitir, o exemplar *Gossweiler* 13812 (que nós não estudámos), incluído igualmente no *Conspectus* em *S. juglandifolia*, pertence também a *S. Gilletii*. Esse investigador foi o primeiro a indicar esta espécie para Angola (cf. Fl. Congo Belge, 9: 98, 1960).

6. *Sorindeia mayumbensis* Van der Veken in Bull. Jard. Bot. Brux. 29: 246 (1959); in Fl. Congo Belge, 9: 104 (1960).

CABINDA: Bucu Zau, pr. Estação de Chiaca, no emaranhado da floresta húmida e densa, arbusto ramoso de 2-3 m, flores de cor vinosa intensa em inflorescências racemiformes, fl. \$ 20-VIII-1958, R. Monteiro, Santos & Murta 220 (LISC);



Buco Zau, Chiongo, pr. da nova serração da C.<sup>a</sup> de Cabinda, arbusto dióico, de 3-4 m, com os ramos intrincados, flores de cor vinosa e frutos verdes virando a vinosos, fr. juv. 5-IX-1958, R. Monteiro, Santos & Murta 280 (LISC); idem, fl. ♂, R. Monteiro, Santos & Murta 281 (LISC); dans la forêt a 20 km à l'Est de Cabinda, dans vieille forêt, arbuste de 4 m, type unique, belles petites fleurs rouge-bordeaux, 19-IX-1953, Wagemans 593 (BR); idem, liane à fleurs en grappe de couleur lie de vin, f 1. ♀ Wagemans 596 (BR).

HÁBITO E ECOLOGIA: arbusto, por vezes sarmentoso, ou pequena árvore até 5 m, do sub-bosque das florestas densas e húmidas e das florestas-galerias. Fl. VII-IX; fr. IX-X.

DISTR. GEOGR.: República Democrática do Congo e Angola.

VAN DER VEKEN (loc. cit.) refere já esta espécie para Cabinda.

7. *Sorindeia Poggei* Engl. in Bot. Jahrb. 15: 107 (1892). — Van der Veken in Fl. Congo Belge, 9: 102 (1960).

*Sorindeia simplicifolia* sensu Exell & Mendonça, Consp. Fl. Angol. 2, 1: 97 (1954), excl. specim. Gossweiler 13626b (non *Sapindus simplicifolius* Don).

*Sorindeia lundensis* Exell & Mendonça in Bol. Soc. Brot. sér. 2, 26: 277, t. 1 (1952); Consp. Fl. Angol. 2, 1: 98 (1954), quoad inflorest. omn. specim.

CUANZA NORTE: Salazar (Quiage), colinas junto à picada do Iculo, arbusto com cerca de 3 m, fr. vermelhos, f r. 8-V-1963, F. Cardoso 157 (COI—Tab. XIII).

LUNDA: Vila Henrique de Carvalho, estrada do Dundo, na floresta xerófila, arbusto, flores branco-cremes, f 1. ? & ♂ 22-IV-1937, Exell & Mendonça 958 (BM; COI; LISC); Vila Henrique de Carvalho, estrada do Dundo, arbusto da floresta subxerófila, fl. ? 22-IV-1937, Exell & Mendonça 968 (COI); Vila Henrique de Carvalho, pr. Chicapa, alt. 1015 m, a shrub with evergreen leaves, height 1,30 m, dispersed in savanna, fl. ♀ IV-1937, Gossweiler 11454 (COI; ⋈); Dala, pr. fl. Chiumbe, alt. 1150 m, an evergreen shrub in savannas, native

name «Mulamata», fl. ♂ IV-1937, *Gossweiler* 11557 (COI—Tab. XII); Dundo, alt. 700 m, fl. ♂ s. d., *Gossweiler* 14017 (COI; K; LISC; LISJC).

**BENGUELA:** Lepi, alt. 1800 m, fr. 5-VII-1940, *Gossweiler* 12181 (LISC); idem, f l. ♂ (LISC).

**HÁBITO E ECOLOGIA:** arbusto do sub-bosque das florestas xerófilas e ribeirinhas e também das savanas. Fl. I-VII; fr. V-VIII.

**DISTR. GEOGR.:** República Democrática do Congo e Angola. No Congo, encontra-se nas províncias de Cassai e do Baixo Catanga, que confinam com a Lunda angolense.

*S. Poggei* menciona-se agora, pela primeira vez, para Angola.

Os exemplares que EXELL & MENDONÇA atribuíram a *S. simplicifolia* (Don) Exell [= *S. juglandifolia* (A. Rich.) Planch. ex Oliv.] são apenas indivíduos de *S. Poggei* com os pecíolos e os eixos das inflorescências glabros ou glabrescentes.

No Quadro II estabelece-se a comparação entre *Sorindeia juglandifolia*, que não se encontra em Angola, e *S. Poggei*, sendo os dados relativos à primeira espécie extraídos de plantas da Guiné portuguesa.

*S. lundensis* Exell & Mendonça, representada apenas pela colheita *Gossweiler* 14017 (Tab. XIV), é constituída por uma mistura de elementos pertencentes a três espécies distintas, entre elas uma Leguminosa, conforme a seguir indicamos:

Espécime de COI—Folha de *S. africana* + inflorescência ♂ de *S. Poggei*.

Espécime de  $\kappa$  (holotypus) — Folha de *S. africana* + inflorescência ♂ de *S. Poggei*.

Espécime de LISC — Folha de *Leptoderris Laurentii*<sup>1</sup> + inflorescência ♂ de *S. Poggei*.

Espécime de LISJC — Inflorescência ♂ de *S. Poggei*.

<sup>1</sup> *Leptoderris Laurentii* (De Wild.) De Wild. Agradecemos ao Ex.<sup>mo</sup> Sr. Dr. J. PAIVA a determinação da espécie a que pertence a folha do exemplar de LISC.

QUADRO II

<i>Sorindeia juglandifolia</i>	<i>Sorindeia Poggei</i>
Inflorescências masculinas muito amplas (até 80 × 60 cm).	Inflorescências masculinas mais estreitas e geralmente mais curtas (20-50 × 15-25 cm).
Pedicelos 2-4 mm.	Pedicelos 0,5-2 mm.
Brácteas minúsculas, de cor clara.	Brácteas de c. 1,5 mm, quase negras.
Cálice das flores ♂ com lobos quase obsoletos.	Cálice das flores ♂ ligeiramente mais altos, com os lobos mais desenvolvidos.
Pétalas de c. 3,5 × 1,75 mm, não espessadas em cunha no cimo, de cor rosada.	Pétalas menores (2-3,2 × 1,25-1,75 mm), espessadas em cunha no cimo, amareladas.
Anteras de ± 2 mm.	Anteras ligeiramente menores.
Inflorescência ♀ pouco condensada, com eixo, ramos e pedicelos delgados.	Inflorescência ♀ com as flores bastante condensadas, com eixo ramos e pedicelos mais espessos.
Pétalas das flores ♀ não espessadas no cimo.	Pétalas das flores ♀ espessadas no cimo.
Estaminódios de c. de 1 mm.	Estaminódios ligeiramente menores.
Folíolos maiores, o terminal até 21,5 × 11,5 cm (ou mais?).	Folíolos menores, o terminal até 13 × 6,5 cm.
Cor dos folíolos verde-clara.	Cor dos folíolos verde mais viva (no seco).
Ramos não avermelhados, glabros.	Ramos avermelhados, hispíduos.
Pecíolos glabros.	Pecíolos por vezes com pêlos ± densos.
Folíolos glabros.	Folíolos com pêlos esparsos na página inferior.

*S. lundensis* Exell & Mendonça, por se basear em elementos heterogéneos, é nome ilegítimo.

## C H A V E S

Flores amareladas ou esbranquiçadas:

Pétalas e cálice densamente velutinos externamente; ovário velutino; drupas velutinas a puberulentas; folíolos  $\pm$  pubescentes na página inferior. . . . .

. . . . . *S. africana* var. *lastourvülensis*

Pétalas e cálice glabros ou apenas puberulentos; ovário glabro ou puberulento; folíolos glabros ou com pêlos esparsos na página inferior:

Botões florais ovóide-cónicos, apiculados; pecíolo e ráquis glabros; folíolos coriáceos, com a margem fortemente espessada, glabros; drupas ovóide-elipsóides, de 13-18(25) X 8-14 X 7-10 mm, bastante assimétricas, glabras ou puberulentas . . . *S. Gilletii*

Botões redondos no cimo, não apiculados; pecíolos e ráquis ferrugíneo-tomentosos, hispídulos ou esparsamente pilosos e pubérulos (poucas vezes glabros); folíolos papiráceos a subcoriáceos, de margem pouco espessada, esparsamente pilosos na página inferior; drupas oblongo-ovóides, de 10-13 X 8-10 mm, menos assimétricas. . . . . *S. Poggei*

Flores vermelhas ou purpúreas:

Folíolos contraídos em acúmen obtuso; folíolo terminal até 9,5 cm de largura, os basilares por vezes pseudo-estipulares; nervuras e retículo visíveis e ligeiramente salientes na página superior; peciólulos espessos . . .

. . . . . *S. Gossweileri*

Folíolos atenuados ou subatenuados em acúmen obtusísculo, mais estreito; folíolo terminal até 5,5(7) cm, os basilares nunca pseudo-estipulares; nervuras e retículo imersos na página superior; peciólulos delgados . . .

. . . . . *S. mayumbensis*

## DISTRIBUIÇÃO GEOGRÁFICA

O Quadro III representa a distribuição em Angola, por distritos, do género *Sorindeia*. Todas as 5 espécies que ali se encontram aparecem no vizinho Congo, onde se distribuem

QUADRO III

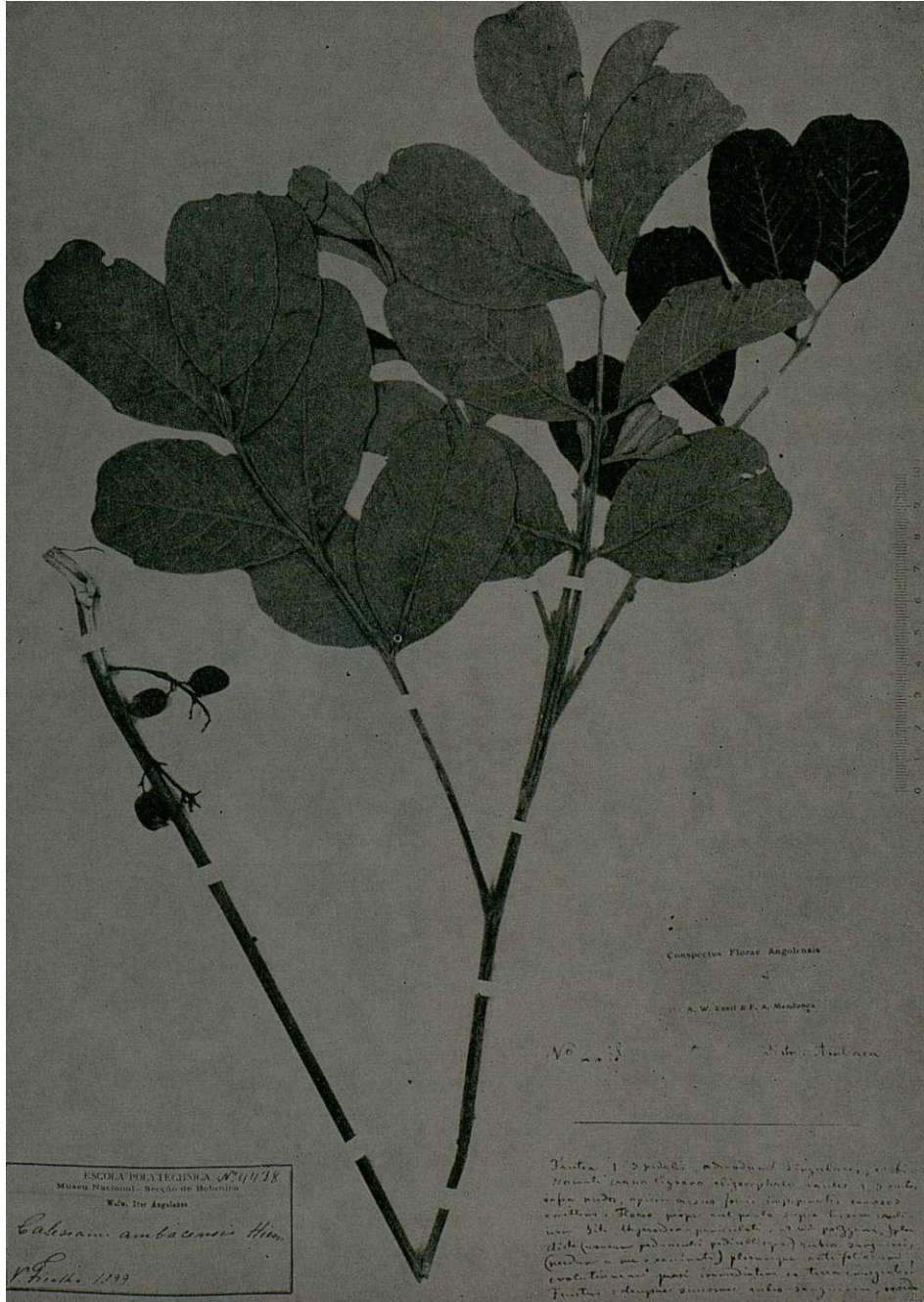
<i>S. Gossweileri</i>	<i>S. africana</i>	<i>S. Gilletti</i>	<i>S. mayumbensis</i>	<i>S. Poggei</i>	
			*		Cabinda
					Zaire
					Congo
					Luanda
*				*	Cuanza Norte
* ?					Cuanza Sul
					Malanje
	*	*		*	Lunda
				*	Benguela
					Bié
					Moxico
					Moçâmedes
					Huíla
					Cubango

por áreas, em regra, mais extensas do que as que ocupam na nossa província ultramarina. Com excepção de *S. Poggei*, a única bastante difundida em Angola, as quatro restantes parecem encontrar-se localizadas. Esta particularidade pode, porém, atribuir-se, pelo menos para algumas espécies, a

deficiência de herborizações. Ê, pois, de esperar que, de futuro, se venha a mostrar que se acham mais difundidas nas regiões em **que** existem formações que as espécies de *Sorindeia* preferem como habitats (florestas higrófilas, florestas ribeirinhas ou florestas **subxerófilas**).

O distrito de Benguela, onde foi encontrada *S. Poggei*, marca o limite sul actualmente conhecido para o género na África Ocidental.

Nos distritos de Moçâmedes, Huíla, **Bié**, Moxico e Cubango, dos quais não há nenhuma colheita de *Sorindeia*, não é de presumir vir a encontrar-se algum representante do género, porquanto as condições do meio dessas regiões são pouco favoráveis ao desenvolvimento de plantas deste tipo.



**Lanea ambacensis (Hiern) Engl.**  
**Espécime Welwitsch 4438 (LISU, isotypus)**







***Lanena ambacensis* (Hiern) Engl.**  
Espécime *Welwitsch* 4438 (LISU)





**Lansea rubra (Hiern) Engl.**

**Espécime Welwitsch 4439 (LISU, isotypus). Notar a forma e a largura dos folíolos.**

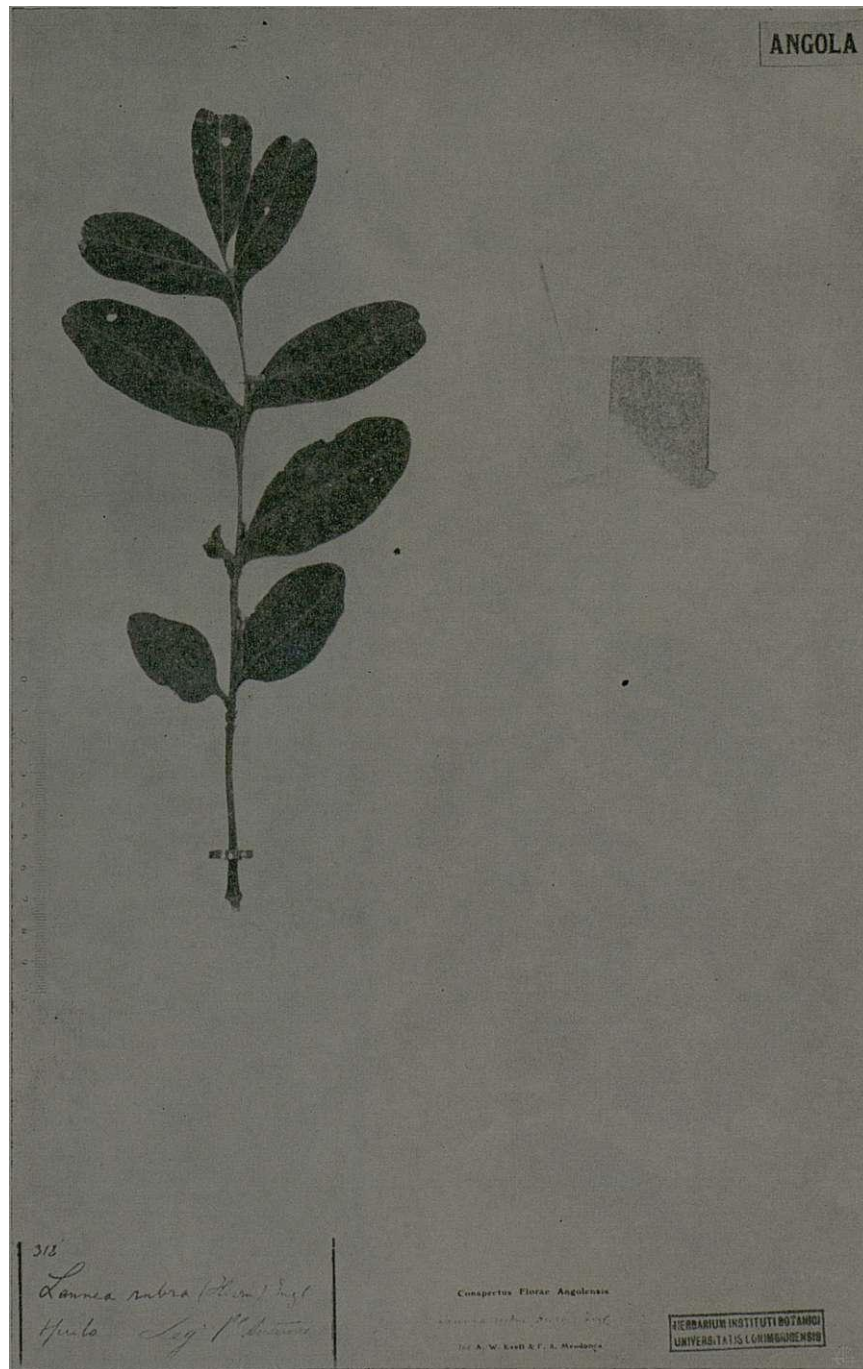




**Lansea rubra (Hiern) Engl.**

**Especime Welwitsch 4440 (LISU), mostrando folíolos mais largos do que os do exemplar 4439.**





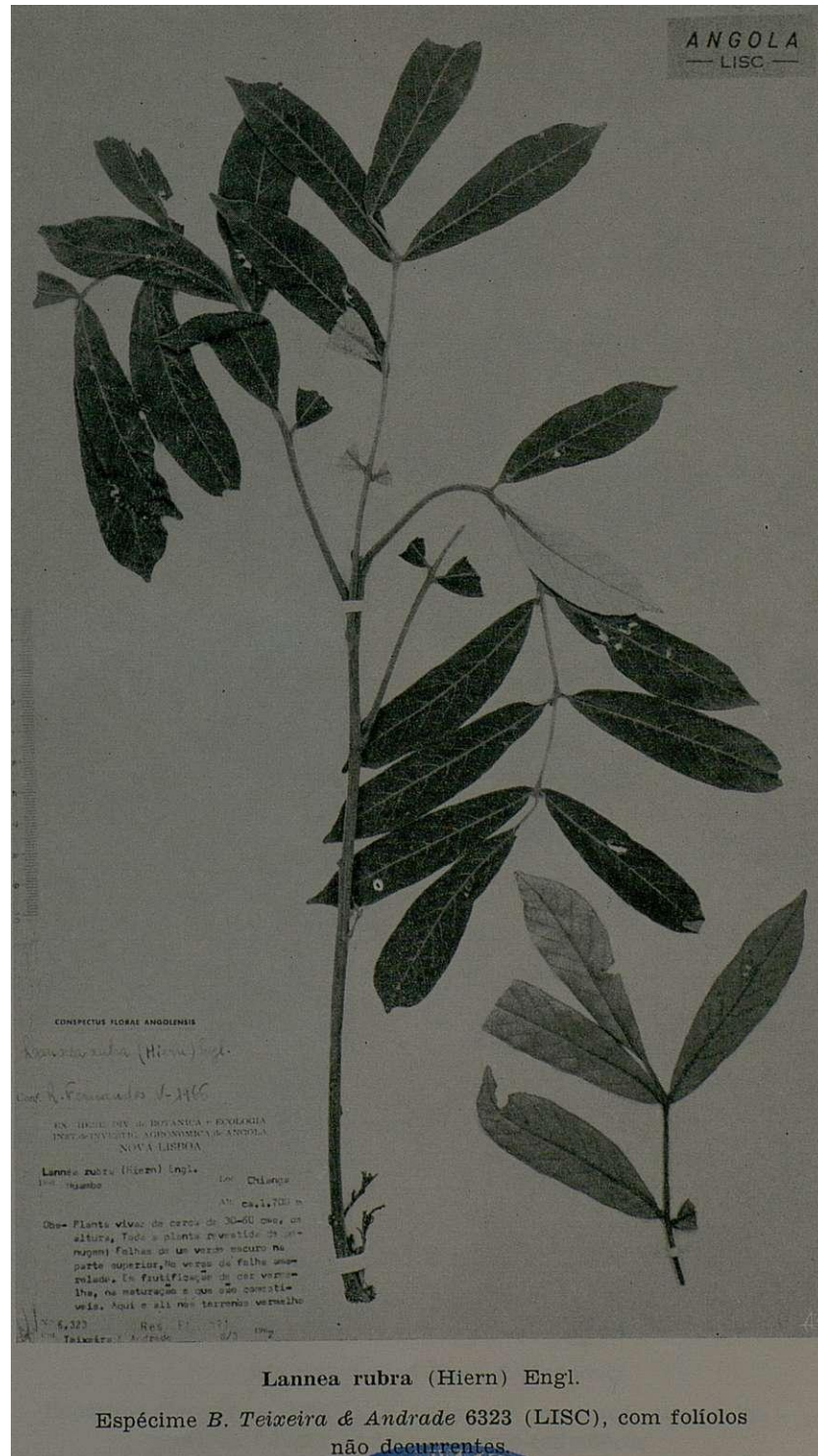
***Lannea rubra* (Hiern) Engl.**

Espécime Antunes 318 (COI, holotypus da var. *latifolia* Engl.).

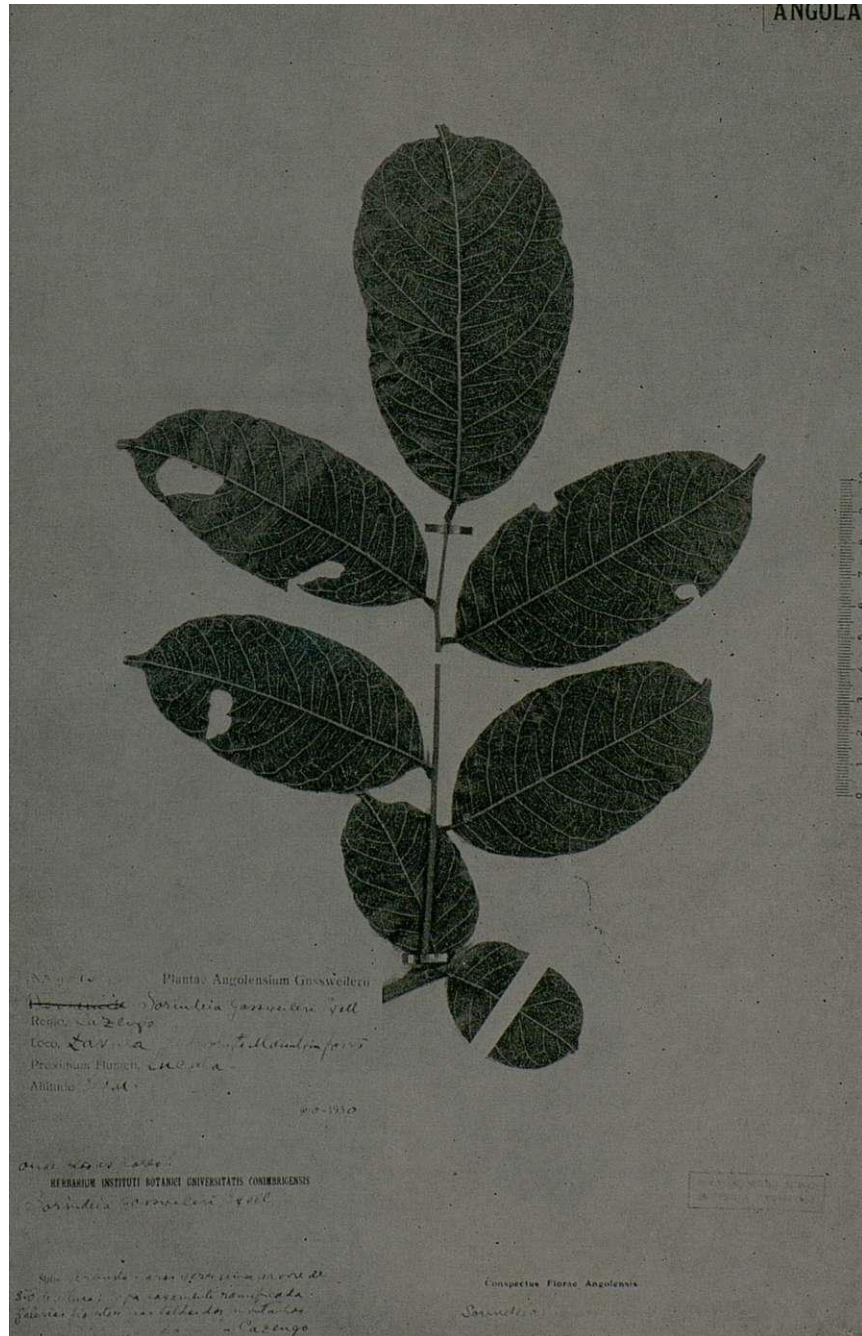
Notar os folíolos largos e decurrentes.







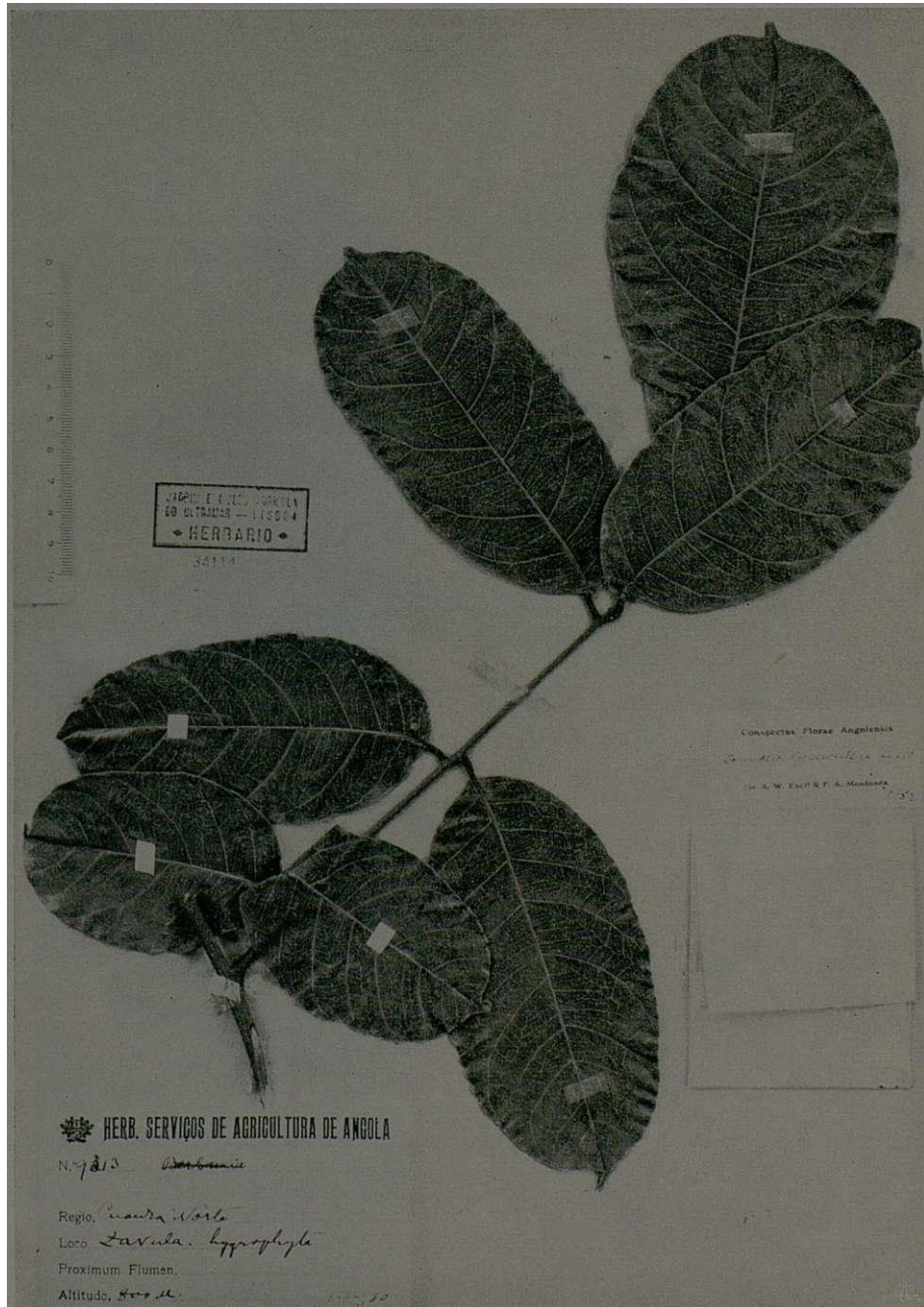




**Sorindeia Gossweileri Exell & Mendonça**

**Espécime Gossweiler 9313 (COI, isotypus), mostrando uma folha com os folíolos basilares pseudo-estipulares.**





**Sorindeia Gossweileri Exell & Mendonça**

Espécime *Gossweiler* 9313 (LISJC, isotypus), em que a folha não apresenta os folíolos basilares pseudo-estipulares.



TAB. IX

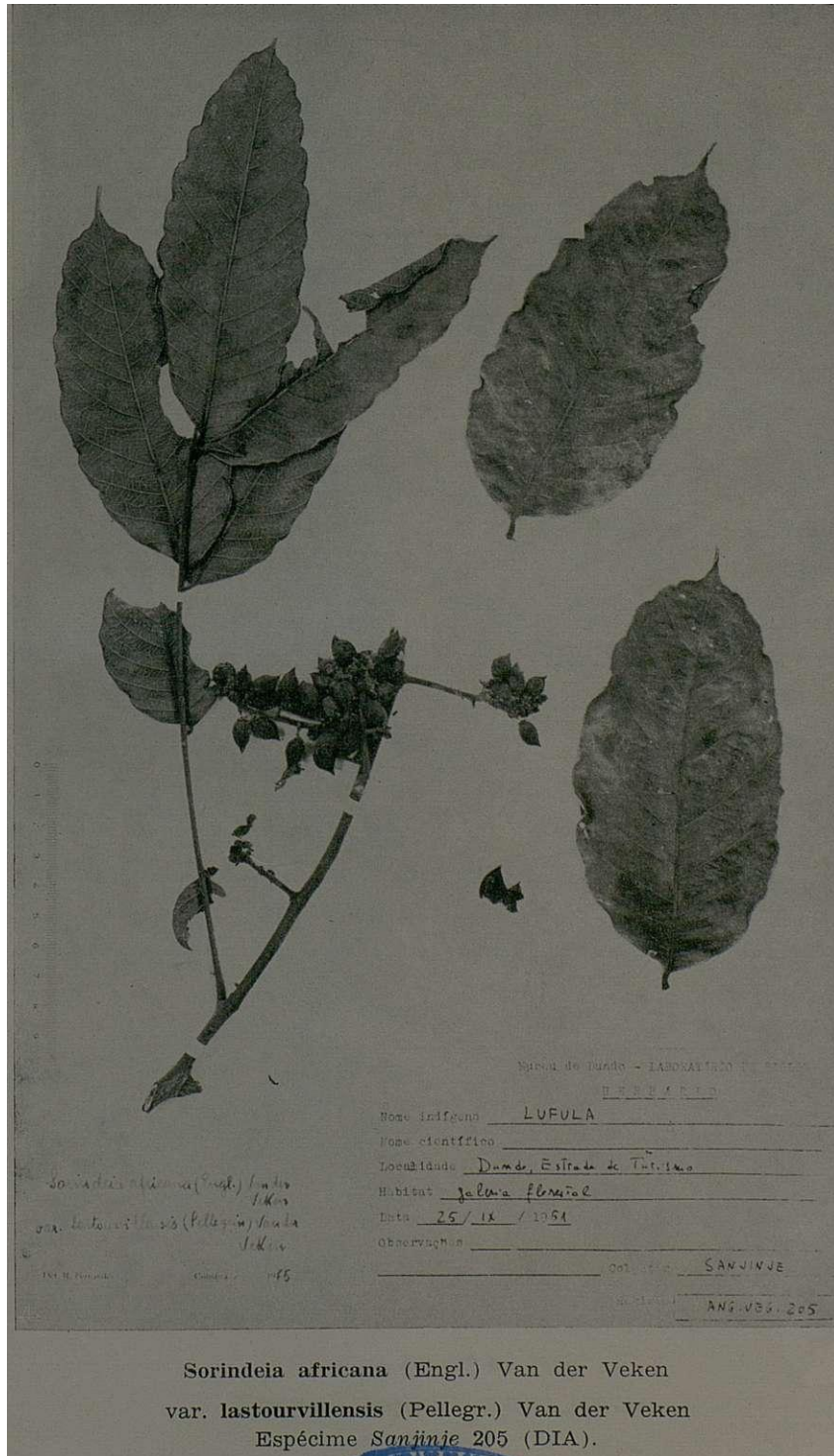


*Sorindeia africana* (Engl.) Van der Veken  
 var. *lastourvillensis* (Pellegr.) Van der Veken

Espécime *Sanjinje* 38 (DIA). Confronte-se a folha com a da Tab. XIV  
 que representa um isotypus de *S. tundenis* Exell & Mendonça.





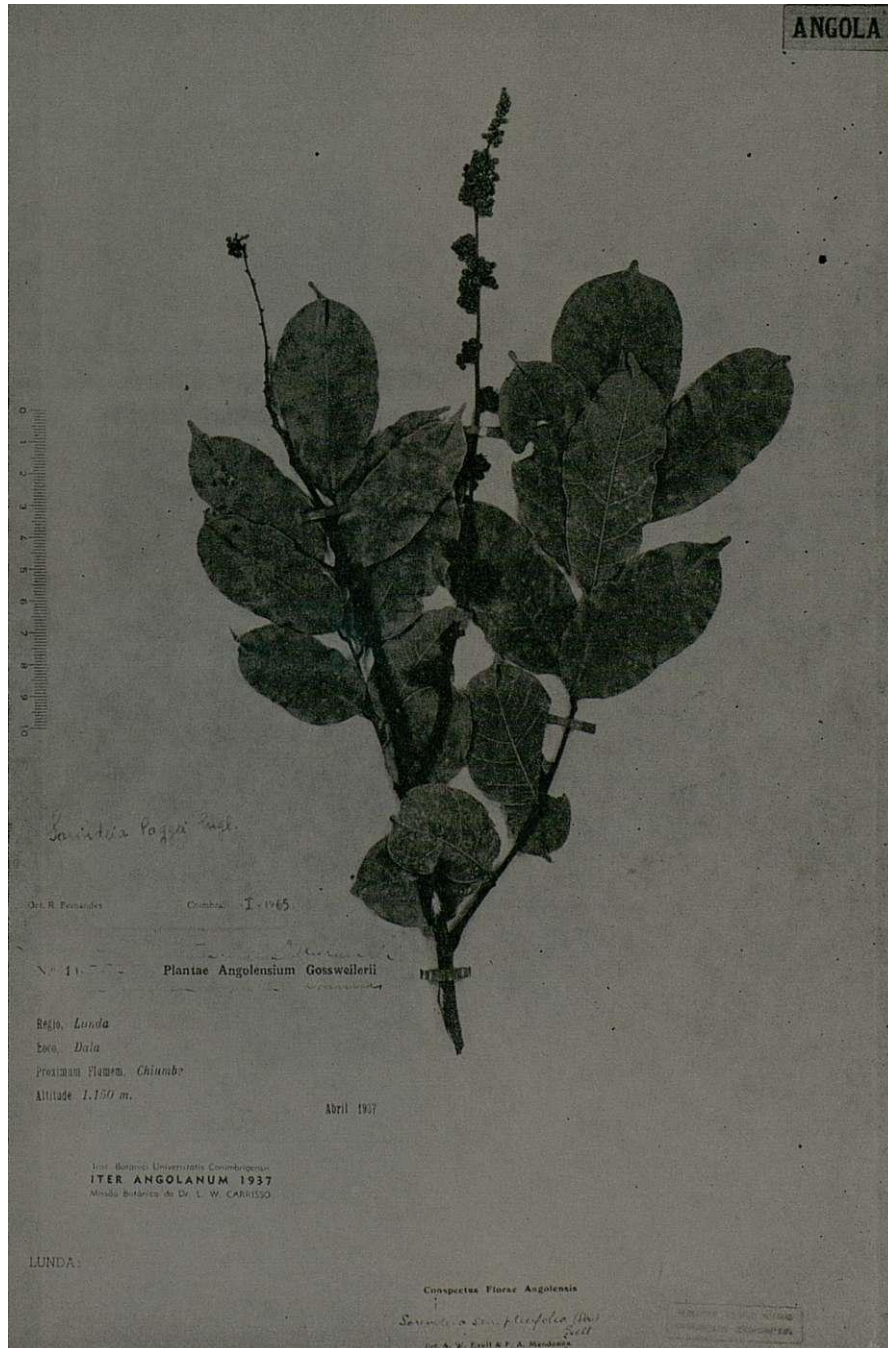






**Sorindeia Gilletii De Wild.**  
**Espécime Gossweiler 13626b (COI).**





**Sorindeia Poggei Engl.**  
Espécime Gossweiler 11557 (COI).



ANGOLA



Herb. Inst. Bot. Universitatis Coimbraensis  
PLANTAE ANGOLENSIS

*Anacardiaceae*

DISTRITO DE Luanda (Monte-Salazar (Luanda))  
A cerca de 2 metros. Frutos  
vermelhos - amarelo-claro. Solhos  
fundo a pirâmide de 10.  
Esp. F. Cardoso, Luanda. 1-5-1965 N.º 157

Det. R. Fernald

Coimbra 1-10-65

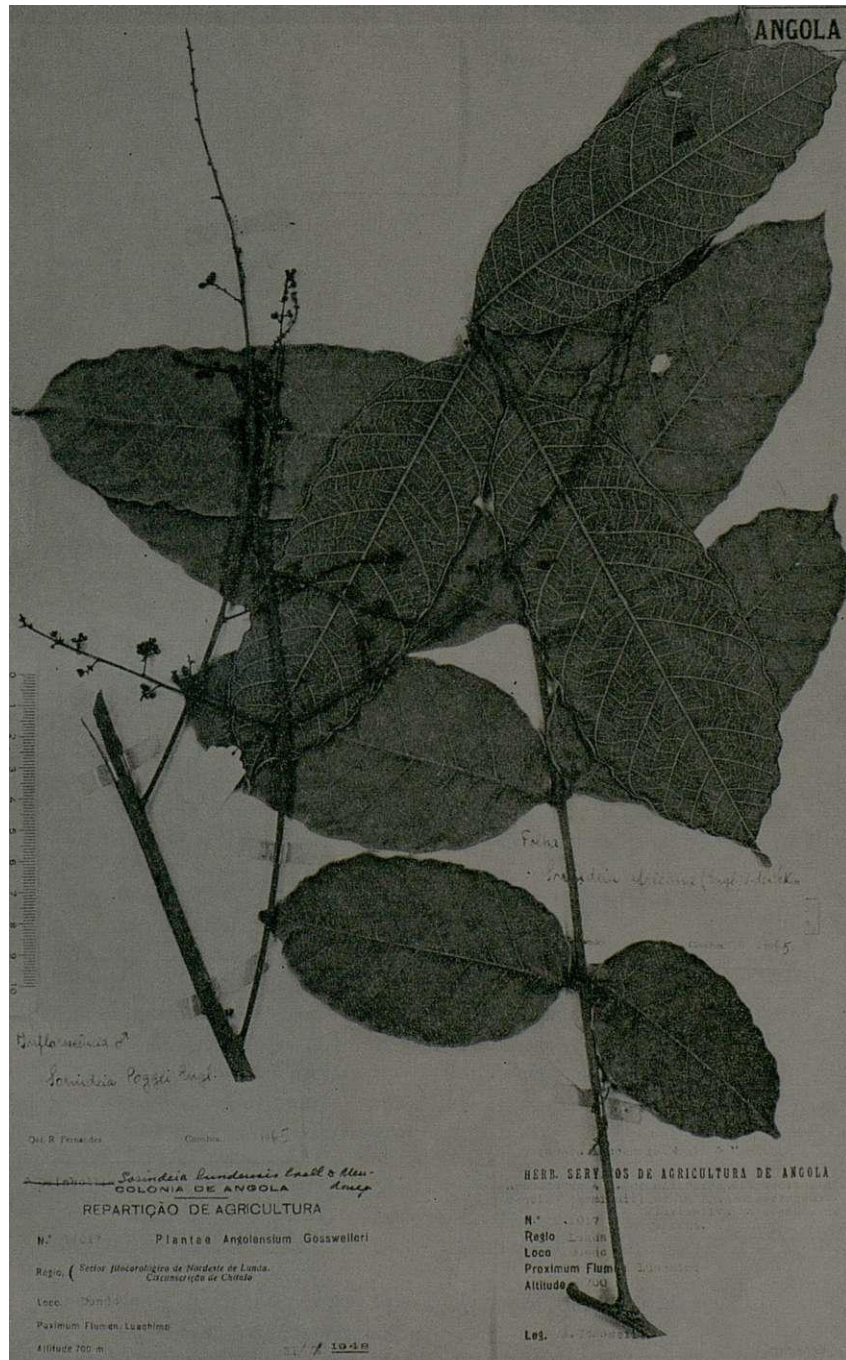
*Sorindeia Poggei* Engl.

**Sorindeia Poggei** Engl.

Espécime *F. Cardoso* 157 (COI).







*Sorindeia lundensis* Exell & Mendonça

Espécime Gossweiler 14017 (COI), representado por uma inflorescência ♂ de *S. Poggei* e uma folha de *S. africana* (confronte-se com as Tab. IX e X).



## ÍNDICE

AZEVEDO, NATALINA FERREIRA DOS SANTOS DE — Linhas negras produzidas pelo <i>Schizophyllum commune</i> Fr. em madeiras do Maiombe . . . . .	97
EXELL, A. W. & STACE, C. A. — Revision of the <i>Combretaceae</i> 5	
FERNANDES, ABÍLIO — Sur la position systématique du genre <i>Hannonia</i> Br.-Bl. & Maire. . . . .	27
FERNANDES, ABÍLIO - Nouvelles études caryologiques sur la section <i>Jonquilla</i> DC. du genre <i>Narcissus</i> L. . . . .	207
FERNANDES, ABÍLIO — Le problème du <i>Narcissus tazetta</i> L. — II. Les formes à 20, 21, 30, 31 et 32 chromosomes somatiques	277 <sup>†</sup>
FERNANDES, ROSETTE BATARDA — Estudos nas <i>Anacardiaceae</i> africanas — IV. Revisão das espécies dos géneros <i>Lannea</i> A. Rich. e <i>Sorindeia</i> Thou. de Angola. . . . .	321
GLEDHILL, D. — <i>Lepargochloa glabra</i> ; A new species from West Africa. . . . .	63
GLEDHILL, D. — Cytotaxonomic revision of the <i>Axonopus compressus</i> (Sw.) Beauv. complex. . . . .	125
MOLDENKE, HAROLD N. — New <i>Verbenaceae</i> from Mozambique	121
PAIVA, J. A R. — Subsídios para o conhecimento da flora de Moçambique— I . . . . .	263
PRANCE, G. T. — Notes on the <i>Chrysobalanaceae</i> of Angola . .	181
QUINTANILHA, A. & CABRAL, A. — Homologias cromossómicas no género <i>Gossypium</i> . . . . .	111
REED, CLYDE F. — Index Psilotales . . . . .	71
ROSS, J. H. — <i>Acacia albida</i> Del. in Africa. . . . .	187
SANTOS, ANICETA CLOTILDE DOS — Um novo fungo isolado do rizoma de <i>Hedychium gardnerianum</i> Roscoe — « Conteira »	41
SANTOS, ANICETA CLOTILDE DOS — <i>Phomopsis casuarinae</i> (F. Tassi) Diedicke. . . . .	45
SCHELPE, E. A. C. L. E. — The <i>Pteridophyta</i> of Gorongosa Mountain, Southern Mozambique. . . . .	149
SOUSA, E. P. DE — Novos taxa da flora de Angola— V. . . .	273
VERDCOURT, B. — The family <i>Cistaceae</i> in tropical Africa . . .	55

INDEX

CHAPTER I - THE HISTORY OF THE ... 1

CHAPTER II - THE HISTORY OF THE ... 2

CHAPTER III - THE HISTORY OF THE ... 3

CHAPTER IV - THE HISTORY OF THE ... 4

CHAPTER V - THE HISTORY OF THE ... 5

CHAPTER VI - THE HISTORY OF THE ... 6

CHAPTER VII - THE HISTORY OF THE ... 7

CHAPTER VIII - THE HISTORY OF THE ... 8

CHAPTER IX - THE HISTORY OF THE ... 9

CHAPTER X - THE HISTORY OF THE ... 10

CHAPTER XI - THE HISTORY OF THE ... 11

CHAPTER XII - THE HISTORY OF THE ... 12

CHAPTER XIII - THE HISTORY OF THE ... 13

CHAPTER XIV - THE HISTORY OF THE ... 14

CHAPTER XV - THE HISTORY OF THE ... 15

CHAPTER XVI - THE HISTORY OF THE ... 16

CHAPTER XVII - THE HISTORY OF THE ... 17

CHAPTER XVIII - THE HISTORY OF THE ... 18

CHAPTER XIX - THE HISTORY OF THE ... 19

CHAPTER XX - THE HISTORY OF THE ... 20



INSTITUTO BOTÂNICO DA UNIVERSIDADE DE COIMBRA

**BOLETIM**  
DA  
**SOCIEDADE BROTERIANA**

(FUNDADO EM 1880 PELO DR. JÚLIO HENRIQUES)

**VOL. XL (2.<sup>A</sup> SÉRIE)**

REDACTORES

**PROF. DR. A. FERNANDES**

Director do Instituto Botânico

**DR. J. BARROS NEVES**

Professor catedrático de Botânica



COIMBRA  
**1966**